

Ondas Electromagnéticas

Ondas, feixes gaussianos, difracção, propagação

Saleh B.E.A., Teich M.C., Fundamentals of Photonics (ch. 2 & 3)

J. W. Goodman, Introduction to Fourier Optics (ch. 2, 3, 4, 5)

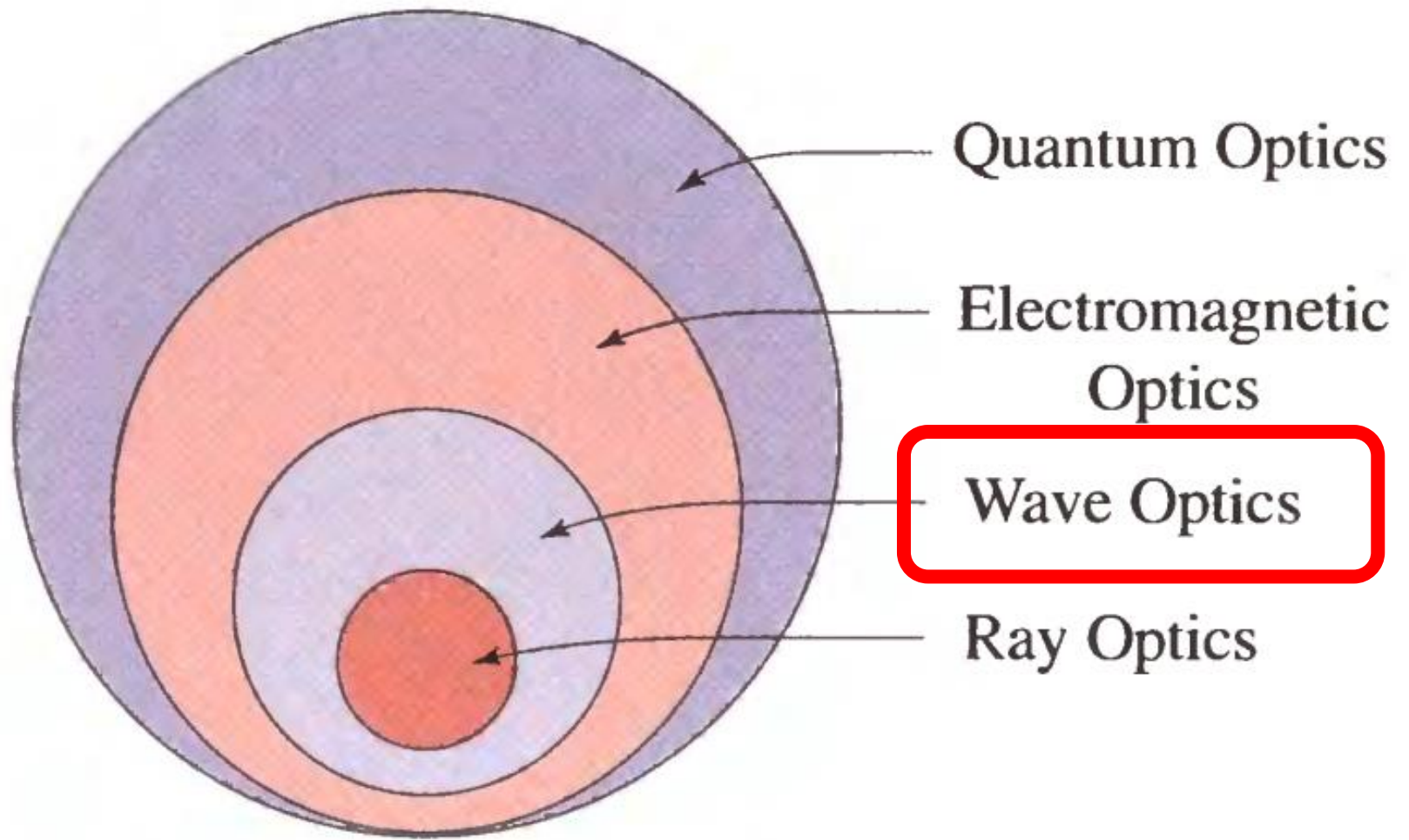
Hecht E., Optics (5ª ed.), (Cap. 7, 10)

http://www.chegg.com/homework-help/optics-5th-edition-chapter-n-solutions-***

Imagens disponíveis na internet

J. M. Rebordão

Níveis de aproximação em EM



Objectivos de aprendizagem: Ondas EM

1. Linearidade da **equação de ondas** e sua importância na geração de soluções complexas com base em combinações lineares de soluções simples.
2. A aproximação da óptica ondulatória deve ser bem entendida: se todas as componentes dos campos **E** e **B** satisfazem a mesma equação de ondas, então uma solução genérica da equação de ondas, $u(\mathbf{r},t)$ terá um potencial explicativo relevante.
3. A **irradiância** (observável), em W/m^2 , é dada por $2\langle |u(\mathbf{r},t)|^2 \rangle$, de modo a garantir coerência com os modelos decorrentes do vector de Poynting, em óptica electromagnética.
4. De entre as soluções **escalares**, $u(\mathbf{r},t)$ da equação de ondas, serão particularmente úteis as que, num dado ponto, \mathbf{r} , forem **periódicas** no tempo. Daqui decorre a equação de **Helmholtz** e a **Amplitude Complexa**, $U(\mathbf{r})$. Daqui decorre também a noção de onda **monocromática** e – dada a linearidade da equação de ondas – o modelo usual para ondas **policromáticas**.
5. As soluções monocromáticas mais simples da equação de Helmholtz são as ondas **planas** e as ondas **esféricas** – e suas aproximações, as **paraboloidais**. Admitindo que a amplitude das ondas monocromáticas possa variar lentamente com z , obtém-se as ondas **paraxiais**. Admitindo que a amplitude das ondas monocromáticas possam variar em (x,y) – mas não em z – obtém-se as ondas de **Bessel**.
6. As ondas **gaussianas** são casos especialmente relevantes de ondas paraxiais. Não só têm uma irradiância transversa gaussiana como admitem soluções de “ordem” elevada, associadas a polinómios de Hermite e de Legendre, que impõem os seus zeros às gaussianas.
7. Os parâmetros que caracterizam as ondas planas, esféricas, paraxiais, gaussianas, bem como o cálculo da Amplitude Complexa (em módulo e em fase) em qualquer plano à distância z do plano da fonte, devem ser bem conhecidos, bem como a distinção entre as soluções exactas da equação de Helmholtz e as soluções da equação de **Helmholtz paraxial**.

Ondas: Equações (lineares)

Maxwell

Sem cargas ($\rho = 0$)
nem correntes ($\mathbf{J} = \mathbf{0}$)

$$\begin{aligned}\nabla \times \mathcal{H} &= \frac{\partial \mathcal{D}}{\partial t} \\ \nabla \times \mathcal{E} &= -\frac{\partial \mathcal{B}}{\partial t} \\ \nabla \cdot \mathcal{D} &= 0 \\ \nabla \cdot \mathcal{B} &= 0.\end{aligned}$$

$$\begin{aligned}\mathcal{D} &= \epsilon_0 \mathcal{E} + \mathcal{P} \\ \mathcal{B} &= \mu_0 \mathcal{H} + \mu_0 \mathcal{M}.\end{aligned}$$

$$\begin{aligned}\mathcal{J} &= \sigma \mathcal{E} \\ \mathcal{P} &= \mathcal{P}(\mathcal{E}) \\ \mathcal{P} &= \epsilon_0 \chi \mathcal{E} \\ \mathcal{M} &= \mathcal{M}(\mathcal{H})\end{aligned}$$

Ondas

As 6 componentes de \mathbf{E} e de \mathbf{H}
satisfazem uma *mesma* equação
de 2ª ordem:

$$\mathbf{E}_i \text{ ou } \mathbf{H}_j \rightarrow u(\mathbf{r}, t)$$

$$\nabla^2 u - \frac{1}{c^2} \frac{\partial^2 u}{\partial t^2} = 0$$

$$c = \frac{1}{\sqrt{\epsilon \mu}}.$$

As suas soluções **não são**
necessariamente soluções das
Equações de Maxwell (1ª ordem)

Helmholtz

Equação de ondas para
ondas **monocromáticas**

$$e^{i\omega t} = e^{i2\pi \nu t}$$

$$U(\mathbf{r}, t) = U(\mathbf{r}) \exp(j2\pi \nu t)$$

$$(\nabla^2 + k^2)U(\mathbf{r}) = 0$$

$$k = \frac{2\pi \nu}{c} = \frac{\omega}{c}$$

Ondas paraxiais

Propagação “essencialmente”
ao longo e “próximo” do
Eixo dos ZZ

$$U(\mathbf{r}) = A(\mathbf{r}) \exp(-jkz)$$

$$\nabla_T^2 A - j2k \frac{\partial A}{\partial z} = 0.$$

Equação de ondas no **vazio**

-Aplicando o rotacional a cada equação rotacional,

-Usando a identidade vectorial:

$$\nabla \times (\nabla \times \mathbf{E}) = \nabla (\nabla \cdot \mathbf{E}) - \nabla^2(\mathbf{E})$$

-Aplicando a outra equação rotacional e uma das equações sobre a divergência, obtem-se:

$$\nabla^2 u - \frac{1}{c^2} \frac{\partial^2 u}{\partial t^2} = 0$$

$$c = \frac{1}{\sqrt{\epsilon\mu}}$$

No vazio:

$$c = c_0 \approx 3 \times 10^8 \text{ m/s}$$

$u(\mathbf{r},t)$ traduz **qualquer uma das 6 componentes** do campo EM.

-A eq. de ondas é linear \rightarrow **princípio da sobreposição**

-Pode ser resolvida isoladamente (aproximação escalar do EM) ou apenas constituir uma condição necessária a que qualquer solução das eq. de Maxwell tem de satisfazer.

Óptica ondulatória: postulados

A luz propaga-se sob forma de **ondas escalares**.

A **velocidade de propagação**, c , num meio de índice n é:

$$c = \frac{c_0}{n}$$

No vazio, $n = 1$ e $c = c_0$

Uma onda é descrita por uma função **real**, $u(\mathbf{r},t)$, $\mathbf{r}=(x,y,z)$ que satisfaz a equação de ondas (linear):

$$\nabla^2 u - \frac{1}{c^2} \frac{\partial^2 u}{\partial t^2} = 0$$

Na fronteira entre dois meios, $u(\mathbf{r},t)$ varia de acordo com os índices dos dois meios. **Todavia, a repartição dos fluxos só pode ser analisada pela óptica electromagnética.**

A equação de ondas mantém-se válida em **meios não homogéneos**, desde que o índice de refração $n(\mathbf{r})$ – logo $c(\mathbf{r})$ - varie lentamente.

Irradiância, Potência e Energia: Óptica ondulatória

A **Irradiância óptica** $E(\mathbf{r}, t)$ – fluxo óptico por unidade de área, em Wm^{-2} , define-se como:

$$E(\mathbf{r}, t) = 2\langle u^2(\mathbf{r}, t) \rangle$$

Infelizmente o símbolo para a **Irradiância** no SI é:

E

Unidades: W / m^2

O valor médio [$\langle \rangle$] é calculado durante um intervalo de tempo \gg **período** da onda ($\sim 2 \times 10^{-15}$ s, @ $\lambda = 600$ nm).

O Fluxo, P , (em W) através de uma área A perpendicular à direcção de propagação é:

$$P(t) = \iint_A E(\mathbf{r}, t) dA$$

A Irradiância, E , [Wm^{-2}] é um **observável**.

(Ondas e Radiometria)

- A maior parte dos livros refere-se ao fluxo de energia associada à radiação EM em termos da **intensidade, $I \sim E^2$**
- Este **I** tem unidades de **W/m^2** : é uma **Irradiância !**
- Em EM, estabelece-se que a quantidade **$S = E \times H$** (**vector de Poynting**) representa o fluxo (instantâneo) da energia EM através de uma área unitária cuja normal é paralela a **S** .
- **S** oscila à frequência ν para uma onda plana monocromática.
- A média temporal de **S** ao longo de um período representa a taxa efectiva de propagação de energia do campo EM.
- Para uma onda plana (polarização linear), a média temporal de **S** (em **W/m^2**) é:

$$\langle S \rangle = \frac{1}{2} \sqrt{\frac{\epsilon}{\mu}} E_0^2 k$$

No vazio:

$$\epsilon = \epsilon_0 = 8.85 \times 10^{-12} \text{ farad/m}$$

$$\mu = \mu_0 = 4\pi \times 10^{-7} \text{ henry/m}$$

Equação de Ondas: ondas monocromáticas

Será que a EO suporta funções reais **periódicas** no tempo? Sim. Forma geral:

$$u(\mathbf{r}, t) = a(\mathbf{r}) \cos[2\pi\nu t + \varphi(\mathbf{r})]$$

$$\nabla^2 u - \frac{1}{c^2} \frac{\partial^2 u}{\partial t^2} = 0$$

Amplitude $a(\mathbf{r})$ e **Fase espacial** $\varphi(\mathbf{r})$: podem depender, em geral, de \mathbf{r} .

Frequência ν de uma onda *luminosa*: $\sim 3 \times 10^{11} - 3 \times 10^{16}$ Hz.

A função de onda **real**, $u(\mathbf{r}, t)$, pode ser escrita de forma ainda mais geral sob a forma **complexa**, $U(\mathbf{r}, t)$ – que também satisfaz a equação de ondas:

$$U(\mathbf{r}, t) = a(\mathbf{r}) \exp[j\varphi(\mathbf{r})] \exp(j2\pi\nu t)$$

$$U(\mathbf{r}, t) = U(\mathbf{r}) \exp(j2\pi\nu t)$$

$$U(\mathbf{r}) = a(\mathbf{r}) \exp[j\varphi(\mathbf{r})]$$

Amplitude Complexa

$$u(\mathbf{r}, t) = \operatorname{Re}\{U(\mathbf{r}) \exp(j2\pi\nu t)\} = \frac{1}{2}[U(\mathbf{r}) \exp(j2\pi\nu t) + U^*(\mathbf{r}) \exp(-j2\pi\nu t)].$$

Equação de Ondas: Amplitude Complexa

A **Amplitude complexa** $U(\mathbf{r}) = a(\mathbf{r}) \exp[j\varphi(\mathbf{r})]$ satisfaz a **equação de Helmholtz**:

$$(\nabla^2 + k^2)U(\mathbf{r}) = 0$$

$$k = \frac{2\pi\nu}{c} = \frac{\omega}{c}$$

Relação de dispersão

$$\omega = \omega(k)$$

A **Irradiância óptica**, que se calcula com $E(\mathbf{r},t) = 2\langle u^2(\mathbf{r},t) \rangle$, é:

$$\begin{aligned} 2u^2(\mathbf{r}, t) &= 2a^2(\mathbf{r}) \cos^2 [2\pi\nu t + \varphi(\mathbf{r})] \\ &= |U(\mathbf{r})|^2 \{1 + \cos(2[2\pi\nu t + \varphi(\mathbf{r})])\}. \end{aligned}$$

Média sobre grande número de períodos: $E(\mathbf{r}) = |U(\mathbf{r})|^2 = a(\mathbf{r})^2$

Frentes de onda são **superfícies de igual fase**, $\varphi(\mathbf{r}) = c^{te}$.

As normais à frentes de onda, $\text{grad } \varphi(\mathbf{r})$, representam as direcções ao longo das quais a fase varia mais rapidamente - os **raios luminosos**, da óptica geométrica.

Resumindo:

$$\nabla^2 u - \frac{1}{c^2} \frac{\partial^2 u}{\partial t^2} = 0$$

$$u(\mathbf{r}, t)$$

Ondas monocromáticas

$$u(\mathbf{r}, t) = a(\mathbf{r}) \cos[2\pi\nu t + \varphi(\mathbf{r})]$$

$$U(\mathbf{r}, t) = a(\mathbf{r}) \exp[j\varphi(\mathbf{r})] \exp(j2\pi\nu t)$$

$$(\nabla^2 + k^2)U(\mathbf{r}) = 0$$

$$U(\mathbf{r}, t) = U(\mathbf{r}) \exp(j2\pi\nu t)$$

Relação de
Dispersão
 $\omega = \omega(k)$

$$k = \frac{2\pi\nu}{c} = \frac{\omega}{c}$$

$$U(\mathbf{r}) = a(\mathbf{r}) \exp[j\varphi(\mathbf{r})]$$

Amplitude complexa

$$\nabla_T^2 A - j2k \frac{\partial A}{\partial z} = 0$$

Aproximação paraxial

$$U(\mathbf{r}) = A(\mathbf{r}) \exp(-jkz)$$

Resolução da EH por separação de variáveis

Equação de Helmholtz:

$$\nabla^2 \psi + k^2 \psi = 0$$

Procuremos, em **coordenadas cartesianas**, soluções da forma $X(x)Y(y)Z(z)$ Existirão?

A EH toma a forma:

$$YZ \frac{d^2 X}{dx^2} + XZ \frac{d^2 Y}{dy^2} + XY \frac{d^2 Z}{dz^2} + k^2 XYZ = 0.$$

Dividindo por XYZ e rearranjando:

$$\frac{1}{X} \frac{d^2 X}{dx^2} = -\frac{1}{Y} \frac{d^2 Y}{dy^2} - \frac{1}{Z} \frac{d^2 Z}{dz^2} - k^2.$$

1º membro só é função de **x**. O 2º só é função de **y** e **z**. Logo, ambos têm de ser iguais a uma **constante**. Fazendo o mesmo para o 2º membro, obtem-se:

$$\frac{1}{X} \frac{d^2 X}{dx^2} = -l^2,$$

$$\frac{1}{Y} \frac{d^2 Y}{dy^2} = -m^2,$$

$$\frac{1}{Z} \frac{d^2 Z}{dz^2} = -n^2,$$

$$k^2 = l^2 + m^2 + n^2.$$

*A solução em variáveis separadas **existe**:*

$$\psi_{lmn}(x,y,z) = X_l(x) Y_m(y) Z_n(z)$$

A solução **geral** da EH será:

$$\psi(x,y,z) = \sum a_{lmn} \psi_{lmn}(x,y,z)$$

Terá significado **físico**?

As 3 equações deixam-se resolver facilmente (oscilador harmónico) → **Ondas Planas**

A separação de variáveis também pode ser feita em **coordenadas esféricas** → **Ondas Esféricas**

Ondas planas

$$U(\mathbf{r}) = A \exp(-j\mathbf{k} \cdot \mathbf{r}) = A \exp[-j(k_x x + k_y y + k_z z)]$$

$\mathbf{k}=(k_x, k_y, k_z)$ é um vector de constantes de integração, cujo módulo tem de ser igual a $k = \omega/c$:

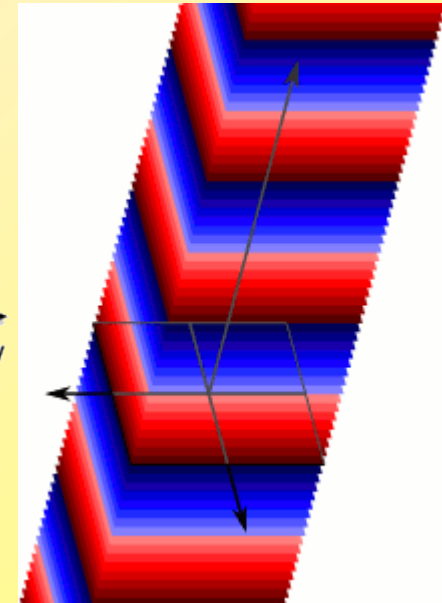
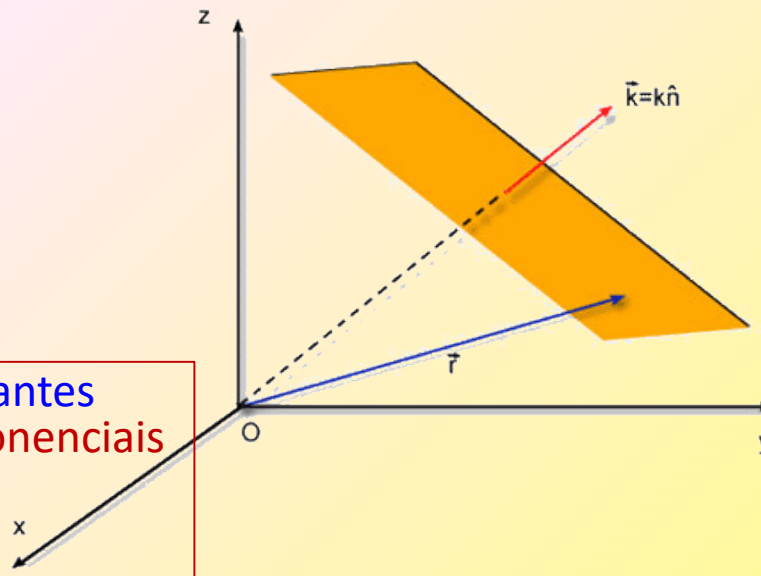
$|\mathbf{k}| = k = \omega/c \rightarrow$ Número de ondas (nº de ciclos por unidade de comprimento)

A fase $\varphi = \mathbf{k} \cdot \mathbf{r}$ tem o mesmo valor em todos os pontos do mesmo plano perpendicular a \mathbf{k} :

$$\begin{aligned} \frac{1}{X} \frac{d^2 X}{dx^2} &= -l^2, \\ \frac{1}{Y} \frac{d^2 Y}{dy^2} &= -m^2, \\ \frac{1}{Z} \frac{d^2 Z}{dz^2} &= -n^2, \end{aligned}$$

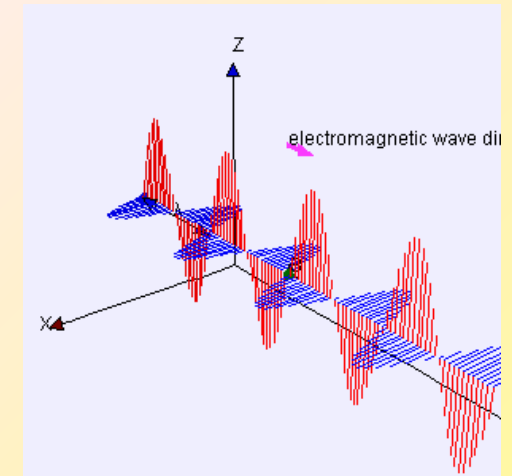
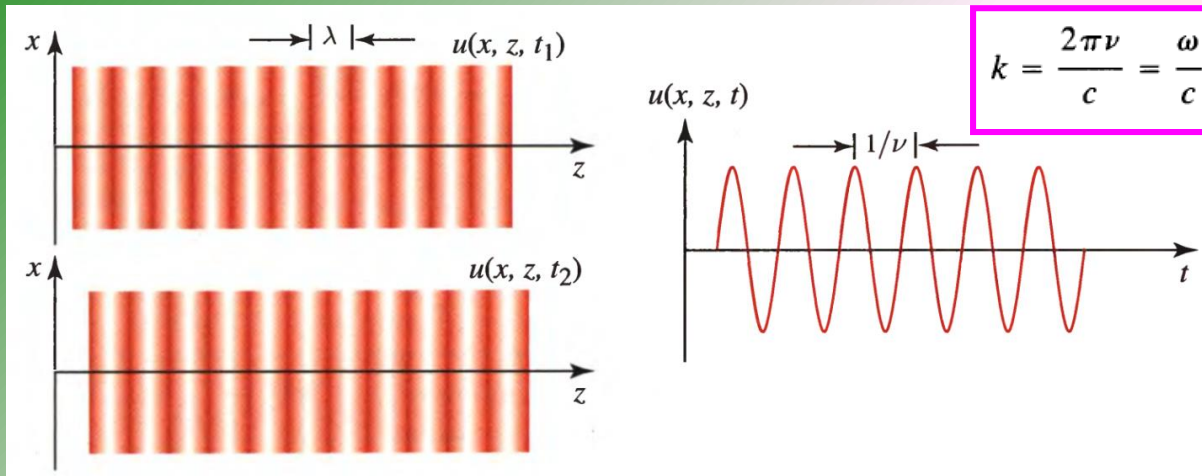
Se não se tivessem usado constantes **negativas**, teríamos obtido **exponenciais reais**:

- negativas (extinção) ou
- positivas (fisicamente inadmissíveis)...



Ondas planas

$$U(\mathbf{r}) = A \exp(-j\mathbf{k} \cdot \mathbf{r}) = A \exp[-j(k_x x + k_y y + k_z z)]$$



Superfícies de onda (**planas**) com a mesma fase e consecutivas, estão separados de um *comprimento de onda*, λ : $e^{ik(z+\lambda)} = e^{i(kz+2\pi)}$

$$\lambda = 2\pi/k, \text{ logo } \lambda = c/\nu \rightarrow \text{logo } k = 2\pi/\lambda \quad (\text{número de ondas!})$$

Onda plana monocromática (ao longo do eixo dos z):

é uma função periódica de z com período $\lambda = c/\nu$

É uma função periódica de t, com período $\tau = 1/\nu$.

A amplitude A é **constante** em todo o espaço

Irradiância (Wm^{-2}): $E(\mathbf{r})=A^2$

Num meio de índice n, $c=c_0/n$.

Como $\lambda=c/\nu \rightarrow \lambda=c_0/n\nu$ ou $\lambda=\lambda_0/n$

O cdo é reduzido de n.

Como $k = 2\pi/\lambda$, então $k = nk_0$.

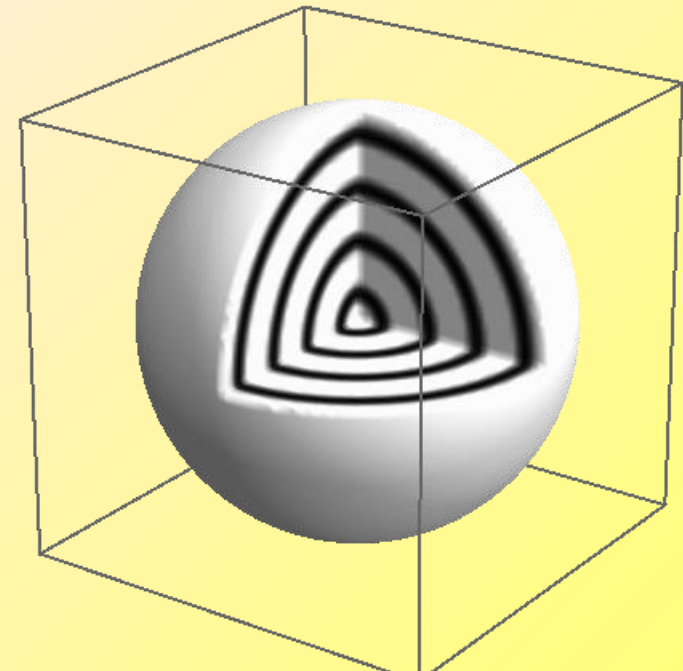
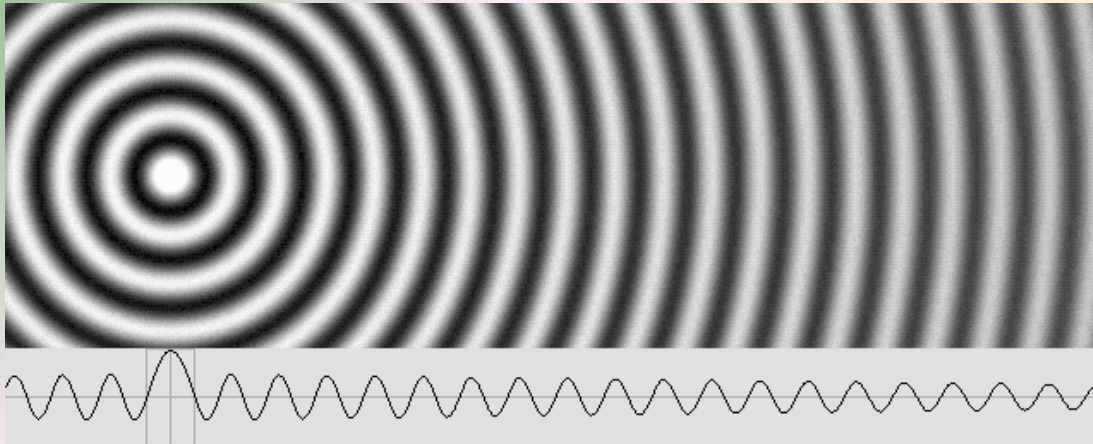
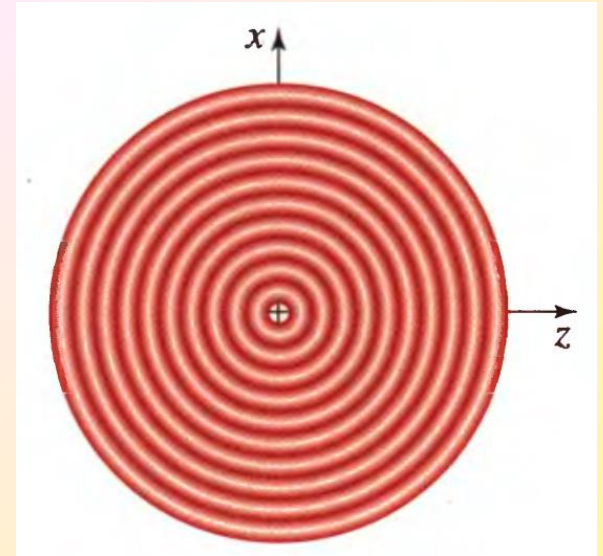
Ondas esféricas

$$U(\mathbf{r}) = \frac{A}{r} \exp(-jkr)$$

Irradiância (Wm^{-2}): $E(\mathbf{r}) = |A|^2/r^2$

Frentes de onda (igual fase) **esféricas**

Amplitude varia com $1/r$:



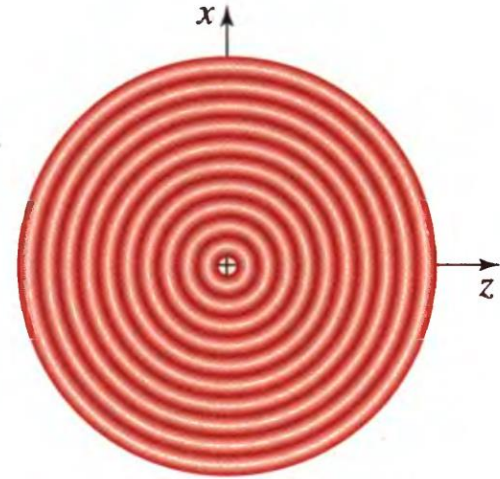
Ondas esféricas

Separação de variáveis em coordenadas esféricas.

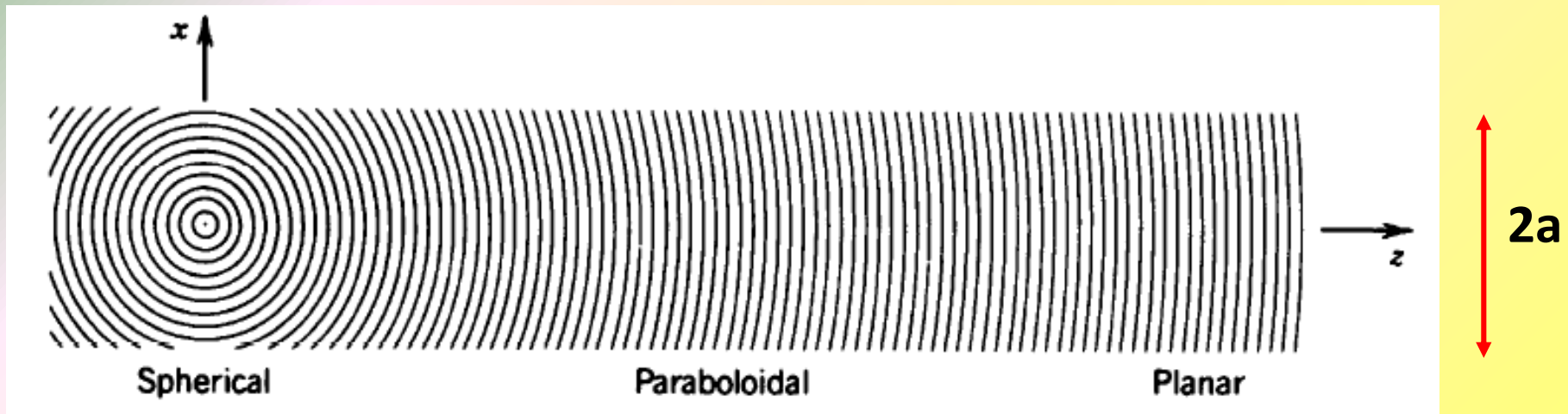
Irrelevância de θ e ϕ :

$$U(\mathbf{r}) = \frac{A}{r} \exp(-jkr)$$

Máximos consecutivos da amplitude separados de $\lambda = 2\pi/k$.



Muitas vezes só interessa o campo próximo do eixo de propagação (+/- a), a uma considerável distância da fonte:



Ondas paraboloidais

$$U(\mathbf{r}) = \frac{A}{r} \exp(-jkr)$$

$$U(\mathbf{r}) \approx \frac{A}{z} \exp(-jkz) \exp\left[-jk \frac{x^2 + y^2}{2z}\right]$$

Aproximação de Fresnel:

$$r = \sqrt{x^2 + y^2 + z^2} = z \sqrt{1 + \theta^2} = z \left(1 + \frac{\theta^2}{2} - \frac{\theta^4}{8} + \dots\right)$$

$$\approx z \left(1 + \frac{\theta^2}{2}\right) = z + \frac{x^2 + y^2}{2z}$$

$$\theta^2 = (x^2 + y^2)/z^2 \ll 1$$

Validade: $kz\theta^4/8 \ll \pi$, or $(x^2 + y^2)^2 \ll 4z^3\lambda$

Válido se:

$N_F \ll 1$ (Fraunhofer)

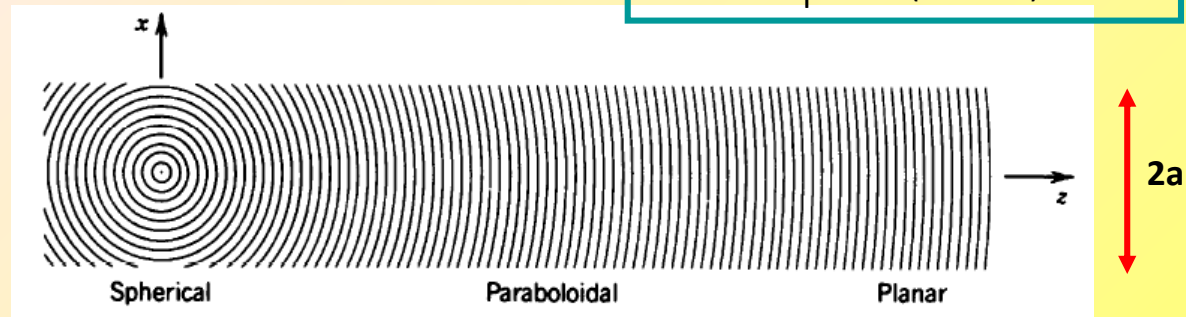
$N_F \sim 1$ (Fresnel)

$$\frac{N_F \theta_m^2}{4} \ll 1$$

$$N_F = \frac{a^2}{\lambda z}$$

$$\theta_m = a/z$$

Número de Fresnel

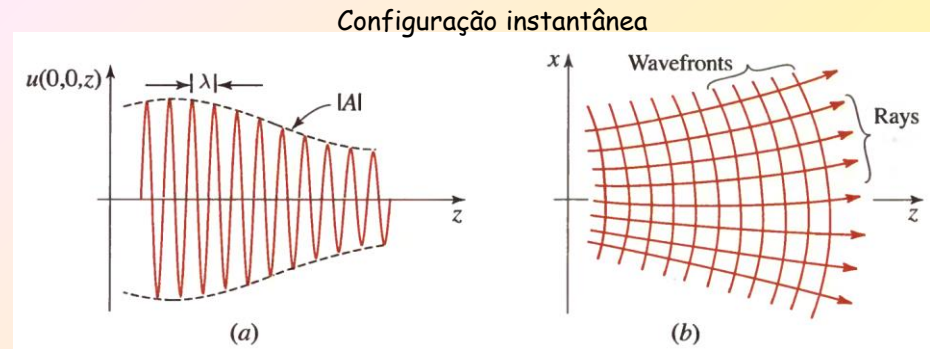


Ondas Paraxiais

Uma onda diz-se **paraxial**, se as normais às frentes de onda são paraxiais: **pequenos ângulos** com o eixo de propagação.

Modula-se a **amplitude** de de uma **onda plana** de uma forma **lenta** em relação a λ : **Será que existem soluções e servem para alguma coisa?**

$$U(\mathbf{r}) = A(\mathbf{r}) \exp(-jkz)$$



$U(\mathbf{r})$ satisfaz a equação de Helmholtz, $(\nabla^2 + k^2)U(\mathbf{r}) = 0$, desde que $A(\mathbf{r})$ (função *complexa*) satisfaça a **equação de Helmholtz Paraxial**:

$$\nabla_T^2 A - j 2k \frac{\partial A}{\partial z} = 0$$

$$u(\mathbf{r}, t) = |A(\mathbf{r})| \cos[2\pi\nu t - kz + \arg\{A(\mathbf{r})\}]$$

Ondas Paraxiais

$A(\mathbf{r})$ varia lentamente com \mathbf{r} , logo:

$$\frac{\partial A}{\partial z} \ll kA$$

$$\frac{\partial^2 A}{\partial z^2} \ll k^2 A$$

$$(\nabla^2 + k^2)U(\mathbf{r}) = 0$$

Desprezando várias derivadas parciais, obtém-se a **Equação de Helmholtz Paraxial (EHP)**:

$$\nabla_T^2 A - j 2k \frac{\partial A}{\partial z} = 0$$

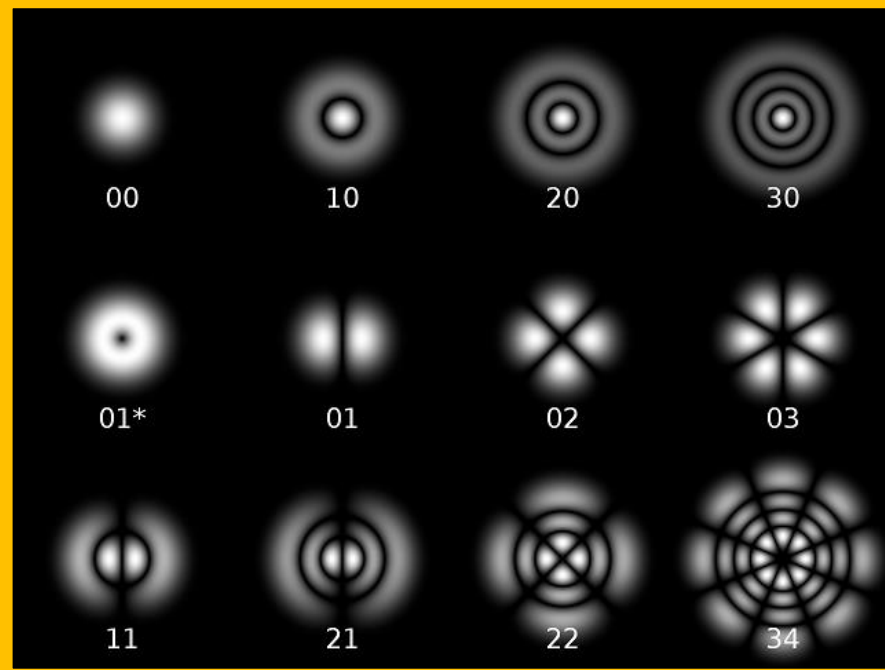
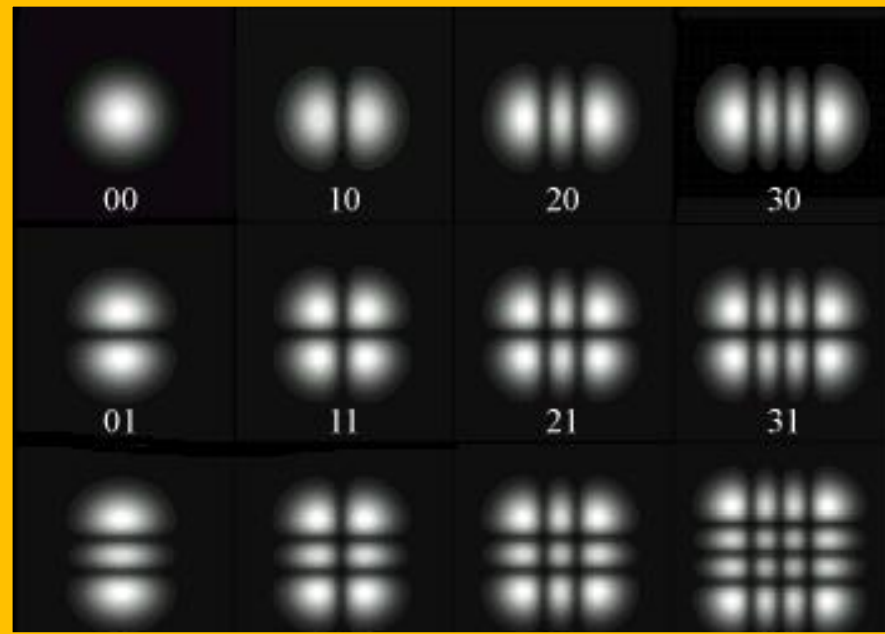
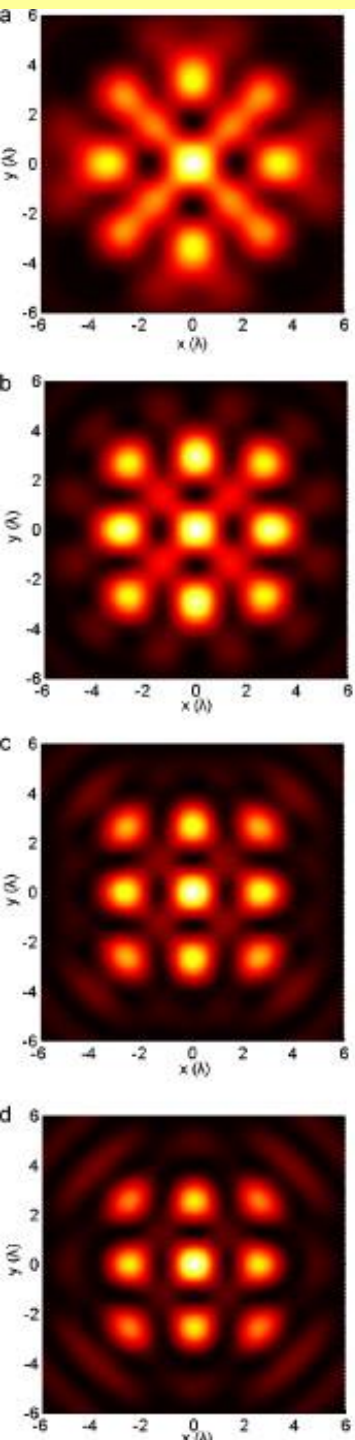
Matematicamente, esta equação é semelhante à equação de **Schrodinger**...

A solução mais *simples* é a **onda paraboloidal**

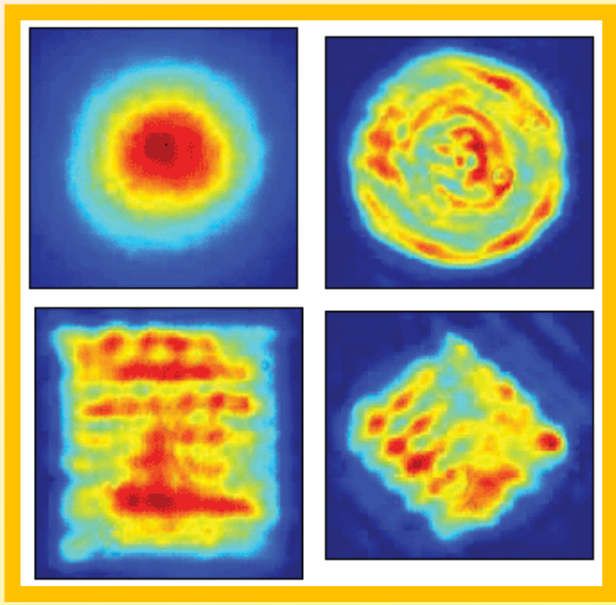
A solução mais **interessante** é a **onda Gaussiana**



Feixes gaussianos

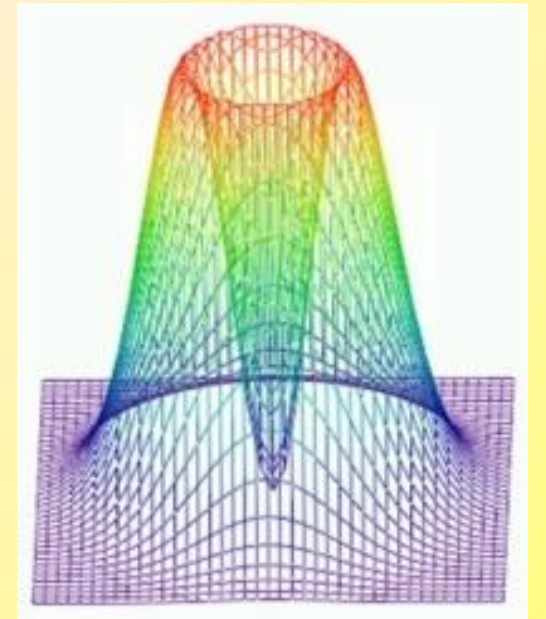
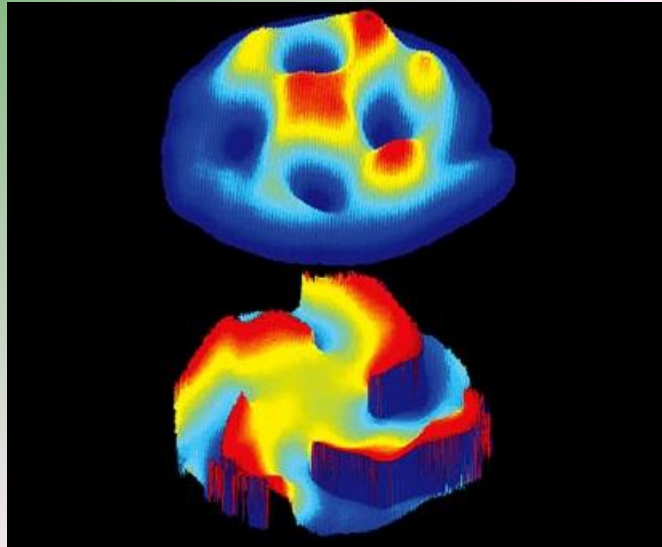
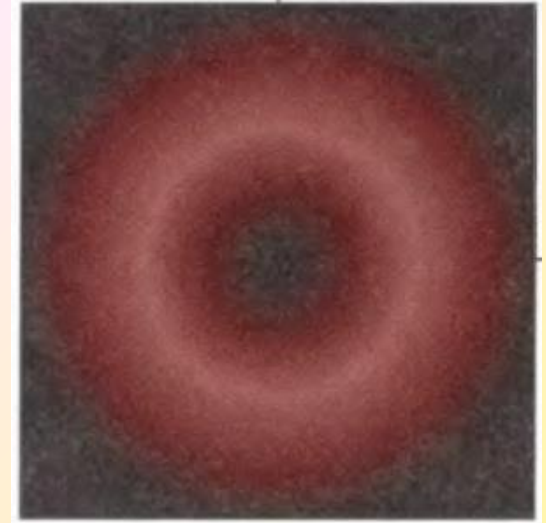
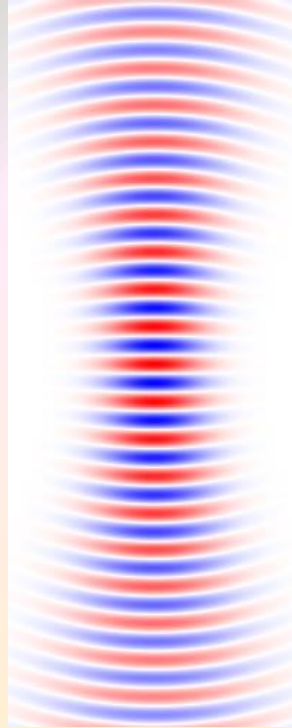


Modos de Hermite-Gauss



Modos de Laguerre-Gauss

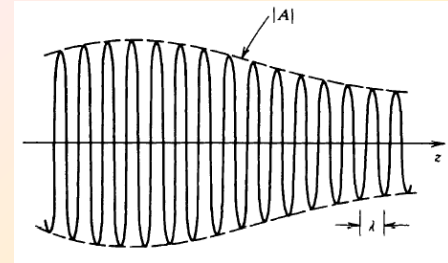
Feixes gaussianos



Feixes gaussianos: construção

Formato de solução da EHP:

$$U(\mathbf{r}) = A(\mathbf{r}) \exp(-jkz)$$



- Onda “essencialmente” plana ao longo do eixo dos z, ($\exp -ikz$)
- A variação **longitudinal** (em z) de $A(\mathbf{r})$ é **lenta**

Se a onda paraboloidal

$$A(\mathbf{r}) = \frac{A_1}{z} \exp\left(-jk \frac{\rho^2}{2z}\right), \quad \rho^2 = x^2 + y^2$$

é solução da EHP, uma sua **versão “transladada” de (ξ) também é:**

$$A(\mathbf{r}) = \frac{A_1}{q(z)} \exp\left[-jk \frac{\rho^2}{2q(z)}\right], \quad q(z) = z - \xi$$

ξ pode ser real **ou complexo**. Se $\xi = -iz_0$, (z_0 - **parâmetro de Rayleigh**)

$$A(\mathbf{r}) = \frac{A_1}{q(z)} \exp\left[-jk \frac{\rho^2}{2q(z)}\right], \quad q(z) = z + jz_0$$

Feixes gaussianos: amplitude complexa

Separando as partes real e imaginária de $1/q(z)$:

$$\frac{1}{q(z)} = \frac{1}{R(z)} - j \frac{\lambda}{\pi W^2(z)}$$

... e colando tudo, obtém-se a **Amplitude Complexa do modo (0,0) de um Feixe Gaussiano**:

$$U(\mathbf{r}) = A_0 \frac{W_0}{W(z)} \exp\left[-\frac{\rho^2}{W^2(z)}\right] \exp\left[-jkz - jk \frac{\rho^2}{2R(z)} + j\zeta(z)\right]$$

Com

$$W(z) = W_0 \left[1 + \left(\frac{z}{z_0} \right)^2 \right]^{1/2}$$

$$R(z) = z \left[1 + \left(\frac{z_0}{z} \right)^2 \right]$$

$$\zeta(z) = \tan^{-1} \frac{z}{z_0}$$

$$W_0 = \left(\frac{\lambda z_0}{\pi} \right)^{1/2}$$

$$A_0 = A_1 / jz_0$$

Parâmetros livres: A_0 , z_0 , λ .

Feixes gaussianos: Propriedades

$$U(\mathbf{r}) = A_0 \frac{W_0}{W(z)} \exp\left[-\frac{\rho^2}{W^2(z)}\right] \exp\left[-jkz - jk\frac{\rho^2}{2R(z)} + j\zeta(z)\right]$$

1 – Irradiância (W / m^2)

2 – Potência (W)

3 - Largura do feixe

4 - Divergência

5 - Profundidade de foco

6 - Fase

7 - Frentes de onda

8 - Qualidade do feixe

Feixes gaussianos: Irradiância

$$U(\mathbf{r}) = A_0 \frac{W_0}{W(z)} \exp\left[-\frac{\rho^2}{W^2(z)}\right] \exp\left[-jkz - jk\frac{\rho^2}{2R(z)} + j\zeta(z)\right]$$

$$\rho^2 = (x^2 + y^2)$$

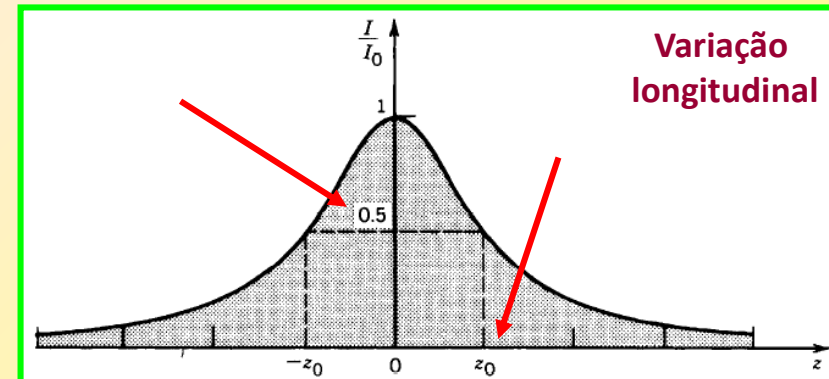
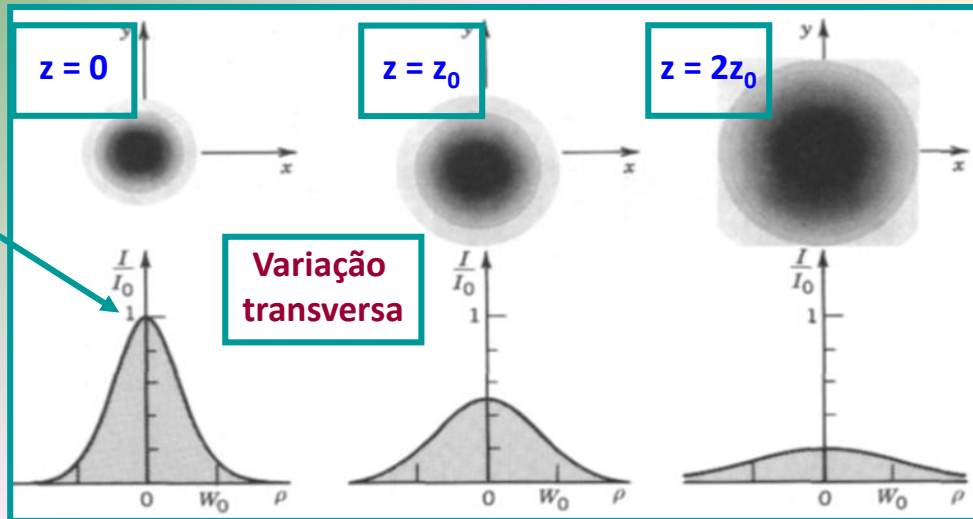
$$E(\mathbf{r}) = |U(\mathbf{r})|^2$$

$$E(\rho, z) = I_0 \left[\frac{W_0}{W(z)} \right]^2 \exp\left[-\frac{2\rho^2}{W^2(z)}\right]$$

$$W(z) = W_0 \left[1 + \left(\frac{z}{z_0} \right)^2 \right]^{1/2}$$

→ $E(z)$ é uma função gaussiana de ρ , com máximo em $z=0$.

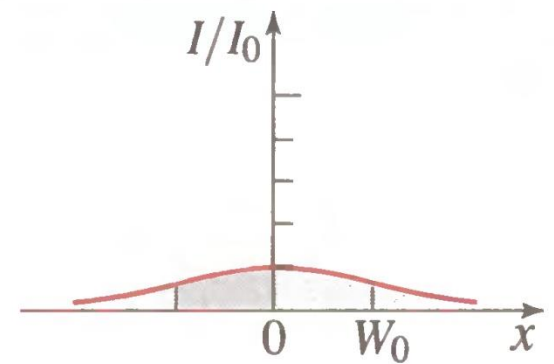
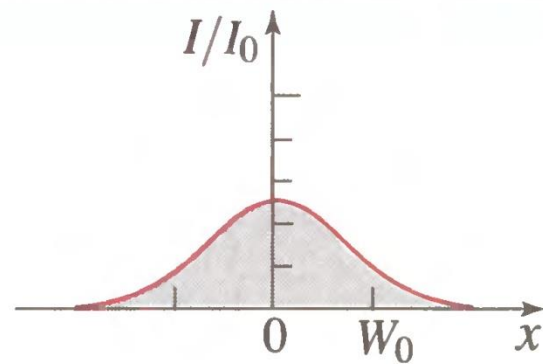
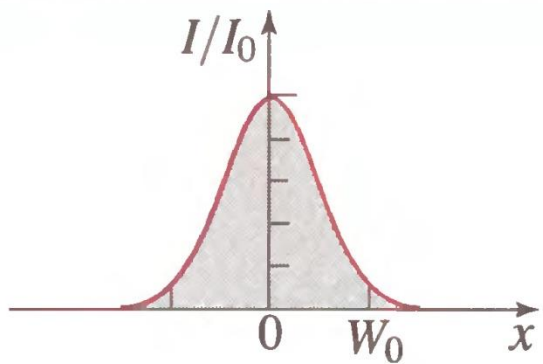
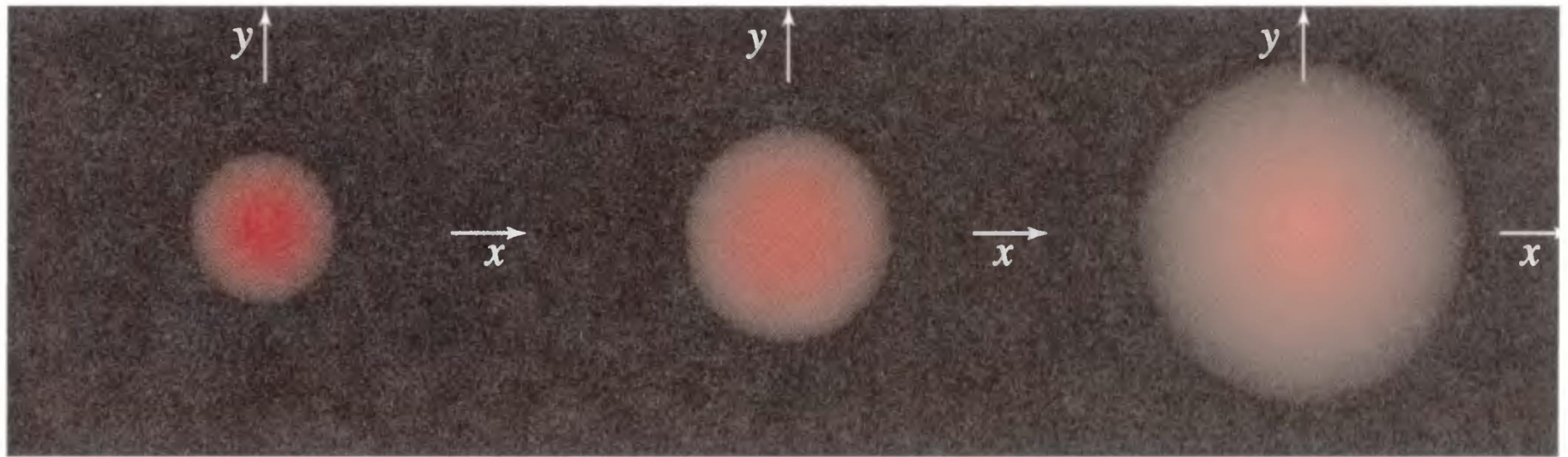
→ A largura do feixe $W(z)$ aumenta com z :



Ao longo do eixo, ($\rho=0$) (com $I_0 = |A_0|^2$),

$$I(0, z) = I_0 \left[\frac{W_0}{W(z)} \right]^2 = \frac{I_0}{1 + (z/z_0)^2}$$

Feixes gaussianos: Irradiância



Feixes gaussianos: Potência ou Fluxo

O **Fluxo (W) total** de um feixe obtém-se integrando a irradiância num plano transverso:

$$I_0 = |A_0|^2$$

$$P = \int_0^{\infty} E(\rho, z) 2\pi\rho d\rho = \frac{1}{2}I_0(\pi W_0^2)$$

O fluxo é metade da irradiância máxima multiplicado pela “área do feixe” no plano da cintura e não depende de z .

Em termos do fluxo, P , a **Irradiância (W/m²)** toma a forma:

$$E(\rho, z) = \frac{2P}{\pi W^2(z)} \exp\left[-\frac{2\rho^2}{W^2(z)}\right]$$

$$W(z) = W_0 \left[1 + \left(\frac{z}{z_0}\right)^2\right]^{1/2}$$

Num círculo de raio ρ_0 :

$$\rho_0 = W(z) \rightarrow 86\%$$

$$\rho_0 = 1.5W(z) \rightarrow 99\%$$

$$\frac{1}{P} \int_0^{\rho_0} E(\rho, z) 2\pi\rho d\rho = 1 - \exp\left[-\frac{2\rho_0^2}{W^2(z)}\right]$$

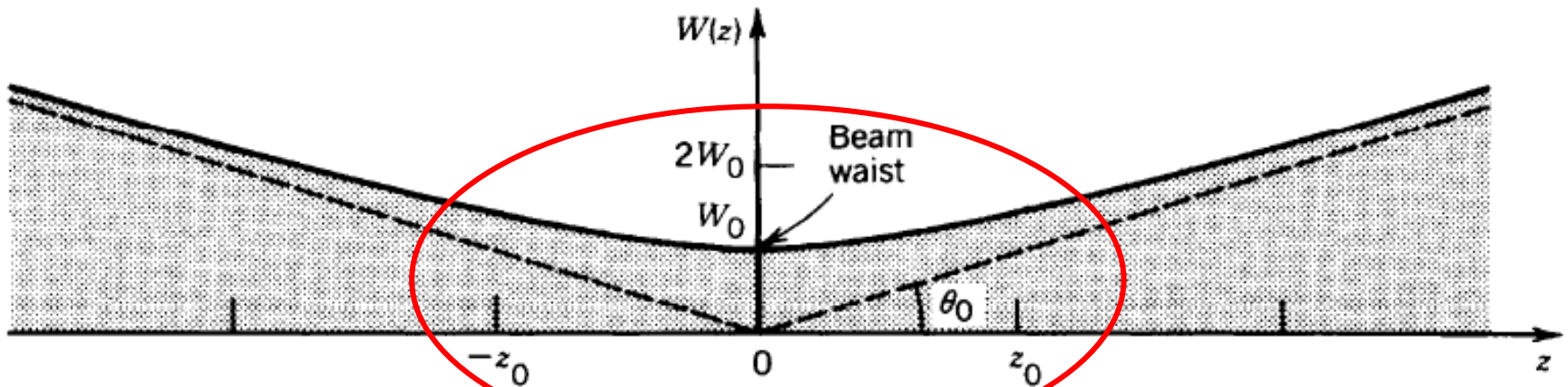
Feixes gaussianos: Largura de feixe

A Irradiância, E , diminui de $1/e^2 \sim 0.135$ para $\rho = W(z)$.

Como $\sim 86\%$ da fluxo (W) está contida num círculo de raio $W(z)$, $W(z)$ considera-se **Raio do feixe** em z :

$$W(z) = W_0 \left[1 + \left(\frac{z}{z_0} \right)^2 \right]^{1/2}$$

$$W_0 = \left(\frac{\lambda z_0}{\pi} \right)^{1/2}$$



Mínimo, W_0 , em $z=0 \rightarrow$ plano da cintura (**beam waist**)

Diâmetro do feixe (**spot size**): $2W_0$.

$W(z) = 2^{1/2} W_0$ para $z = \pm z_0$.

Feixes gaussianos: Divergência

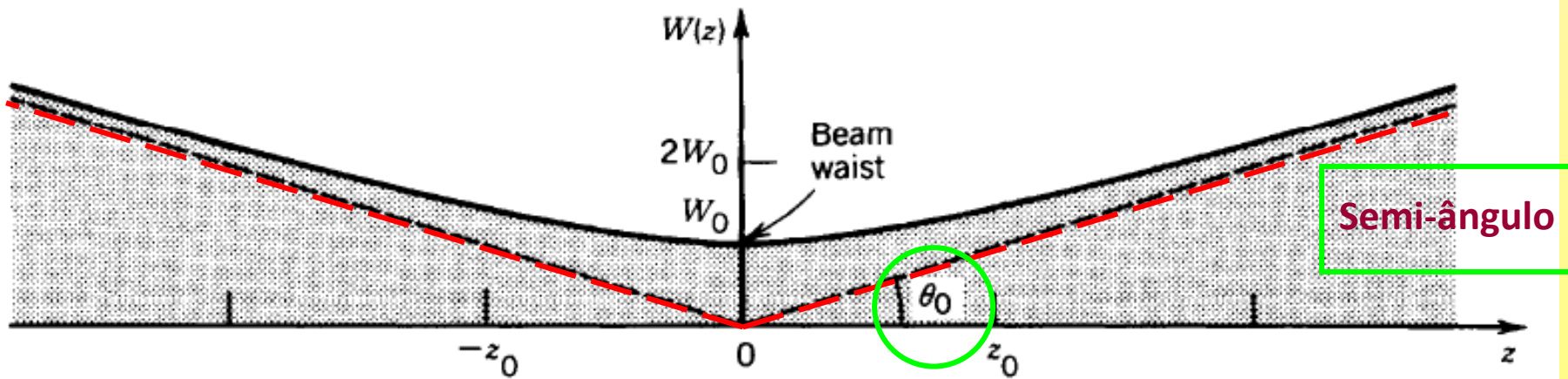
Se $z \gg z_0$, o factor 1 pode ser desprezado:

$$W_0 = \left(\frac{\lambda z_0}{\pi} \right)^{1/2}$$

$$W(z) = W_0 \left[1 + \left(\frac{z}{z_0} \right)^2 \right]^{1/2}$$

$$W(z) \approx \frac{W_0}{z_0} z = \theta_0 z$$

$$\theta_0 = W_0/z_0 = \frac{\lambda}{\pi W_0}$$



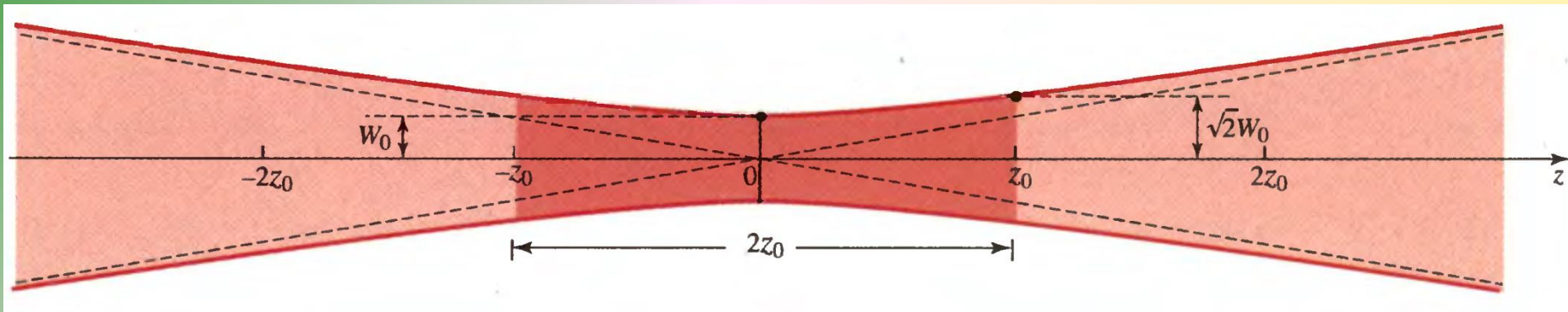
→ Se W_0 diminui, (z_0 diminui), θ_0 aumenta.

→ Feixe **muito direccional**: pequeno λ e grande cintura W_0

Feixes gaussianos: Profundidade de foco

O plano da cintura é o plano de melhor “foco”.

A **profundidade de foco** ou **distância confocal** é a distância ao longo da qual o raio do feixe não excede $2^{1/2}W_0$, e é igual ao dobro do **parâmetro de Rayleigh**:



$$2z_0 = \frac{2\pi W_0^2}{\lambda}$$

Se $\lambda = 633 \text{ nm}$ (HeNe):

$$2W_0 = 2 \text{ cm} \rightarrow 2z_0 = 1 \text{ km}$$

$$2W_0 = 20 \mu\text{m} \rightarrow 2z_0 = 1 \text{ mm}$$

Feixes gaussianos: Propriedades

$$U(\mathbf{r}) = A_0 \frac{W_0}{W(z)} \exp\left[-\frac{\rho^2}{W^2(z)}\right] \exp\left[-jkz - jk\frac{\rho^2}{2R(z)} + j\zeta(z)\right]$$

6 - Fase

7 - Frentes de onda

8 - Qualidade do feixe

Feixes gaussianos: Fase ao longo do eixo

A fase do feixe gaussiano é

$$\varphi(\rho, z) = kz - \zeta(z) + \frac{k\rho^2}{2R(z)}$$

$$R(z) = z \left[1 + \left(\frac{z_0}{z} \right)^2 \right]$$

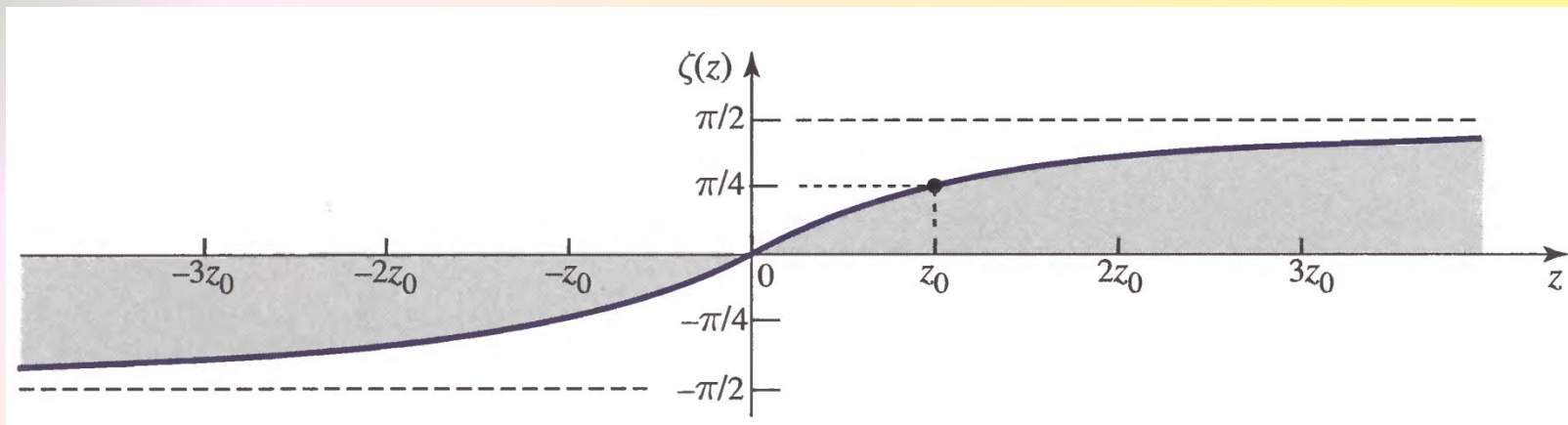
Ao longo do eixo ($\rho = 0$):

$$\varphi(0, z) = kz - \zeta(z)$$

→ kz é a fase de uma onda plana

→ $\zeta(z) = \text{atan } z/z_0$ desvio relativamente à fase da onda plana

- A diferença de fase associada à **passagem pela cintura** é π : **efeito Gouy**



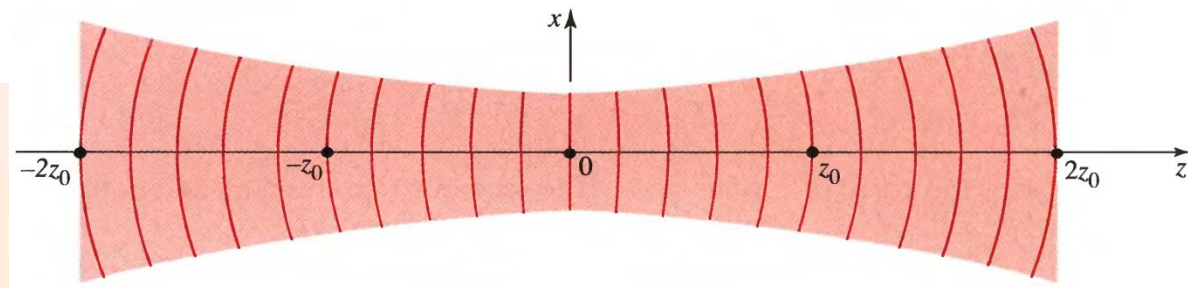
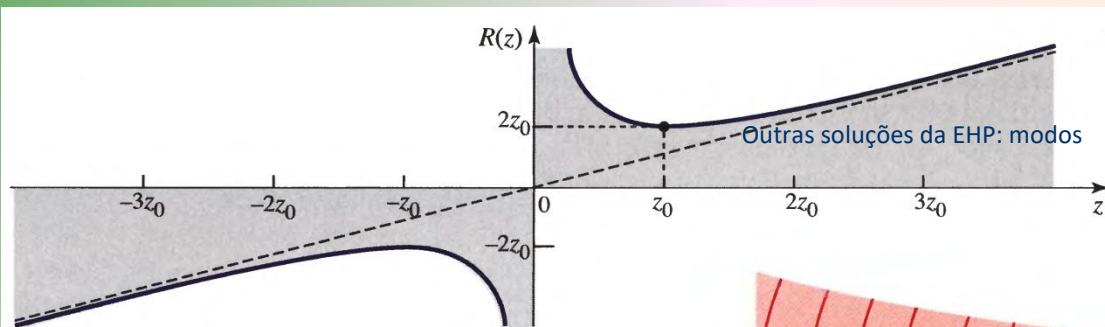
Feixes gaussianos: Frentes de onda

$$\varphi(\rho, z) = kz - \zeta(z) + \frac{k\rho^2}{2R(z)}$$

$$R(z) = z \left[1 + \left(\frac{z_0}{z} \right)^2 \right]$$

O 3º termo da fase representa, **para cada valor de z** , a fase de uma onda esférica na aproximação paraboloidal, com **raio de curvatura** na origem **$R(z)$**

$$U(\mathbf{r}) \approx \frac{A}{z} \exp(-jkz) \exp\left[-jk \frac{x^2 + y^2}{2z}\right]$$



$R(z) \rightarrow \infty$ quando $z \rightarrow 0$ (cintura): fase de uma onda **plana**

$|R(z)|$ é mínimo para $z = z_0$.

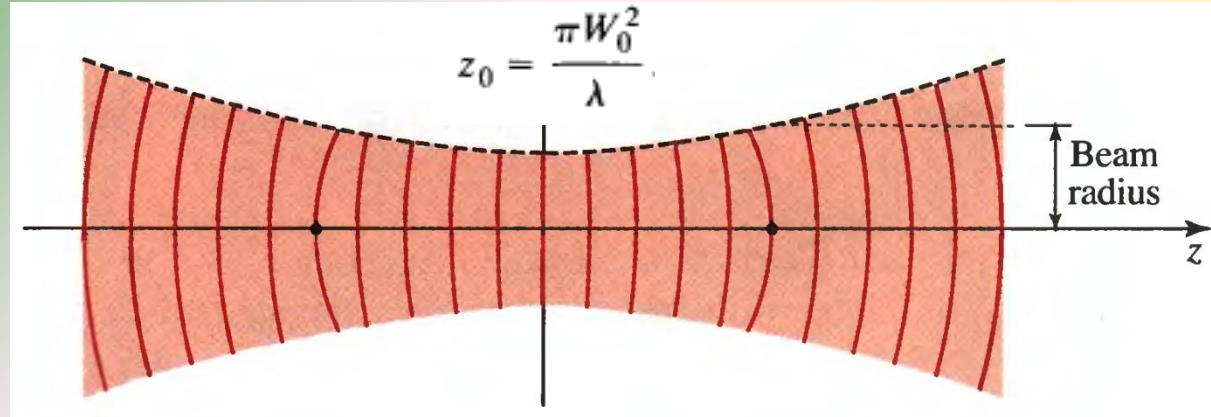
$R(z)$ varia linearmente com z quando $z \gg z_0$: onda **esférica**

Frentes de onda, modos

Feixes gaussianos (FG)

$$W(z) = W_0 \sqrt{1 + \left(\frac{z}{z_0}\right)^2}$$

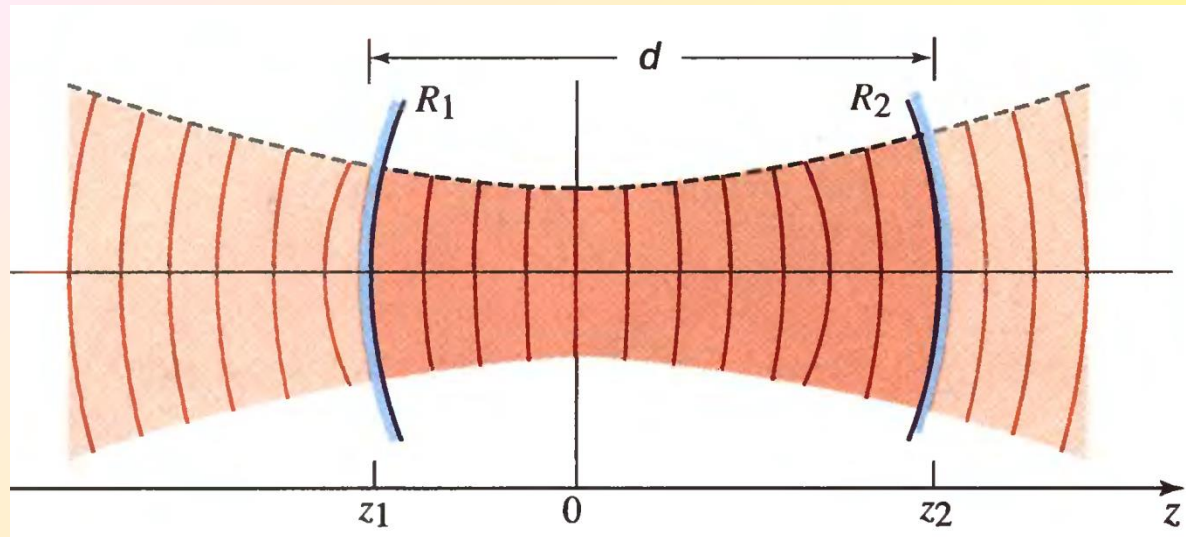
$$R(z) = z \left[1 + \left(\frac{z_0}{z}\right)^2 \right]$$



Os FG são modos das cavidades esféricas:

Se os raios de curvatura das FO forem **iguais** aos raios de curvatura dos espelhos, a onda reflecte-se sobre si própria e a configuração da onda mantém-se estável →

modo EM



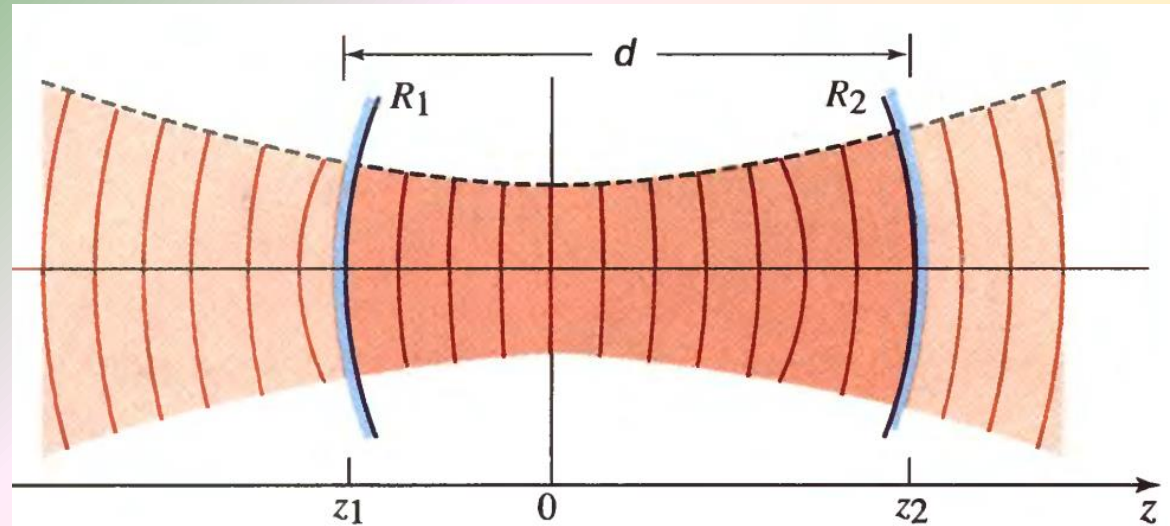
Parâmetros do feixe em cavidades ressonantes

Com dois espelhos separados de d , coloca-se a origem *algures*:

$$z_2 = z_1 + d$$

$$R_1 = z_1 + \frac{z_0^2}{z_1}$$

$$-R_2 = z_2 + \frac{z_0^2}{z_2}$$



$$W(z) = W_0 \left[1 + \left(\frac{z}{z_0} \right)^2 \right]^{1/2}$$

$$R(z) = z + \frac{z_0^2}{z}$$

$$z_0 = \frac{\pi W_0^2}{\lambda}$$

Resolve-se este sistema em ordem a z_0 , z_1 e z_2 :

$$z_1 = \frac{-d(R_2 + d)}{R_2 + R_1 + 2d}, \quad z_2 = z_1 + d,$$

$$z_0^2 = \frac{-d(R_1 + d)(R_2 + d)(R_2 + R_1 + d)}{(R_2 + R_1 + 2d)^2}$$

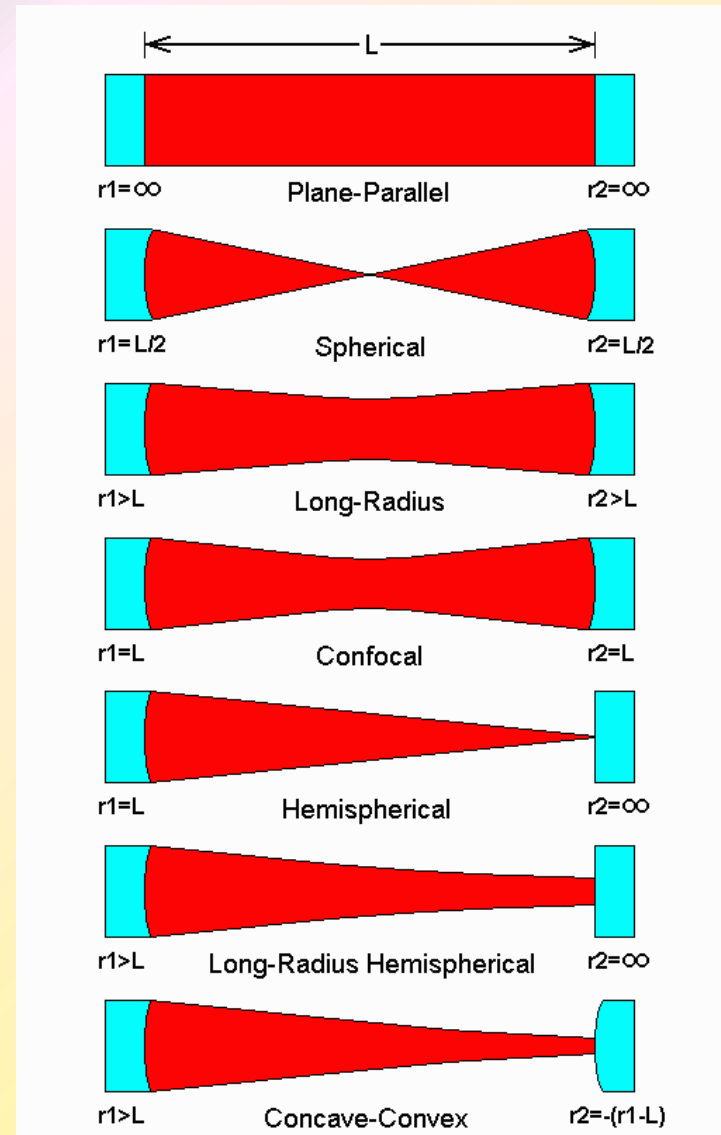
Feixe gaussiano em cavidades ressonantes

Para a solução ser gaussiana, z_0 deve ser **real**: $z_0^2 > 0$, isto é:

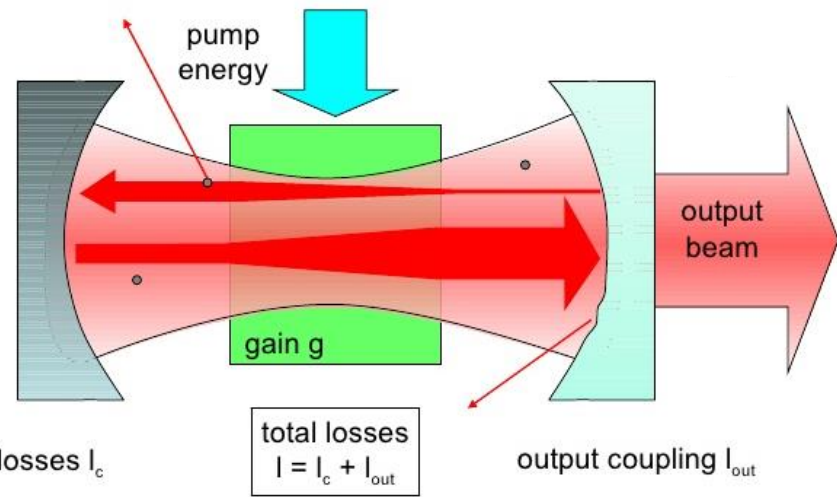
$$0 \leq \left(1 + \frac{d}{R_1}\right) \left(1 + \frac{d}{R_2}\right) \leq 1$$

Cavidades ressonantes laser
estáveis e instáveis...

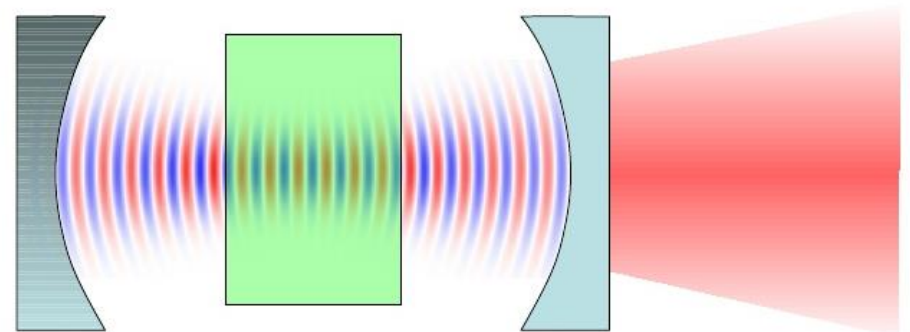
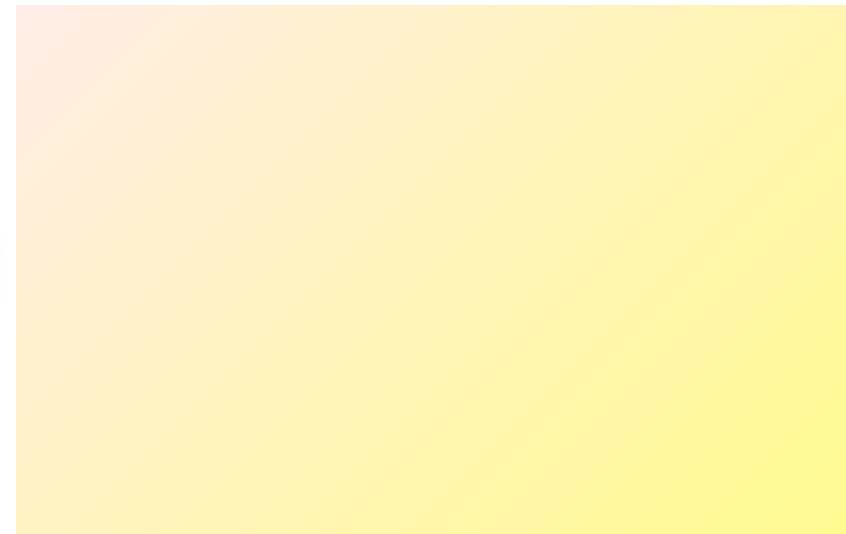
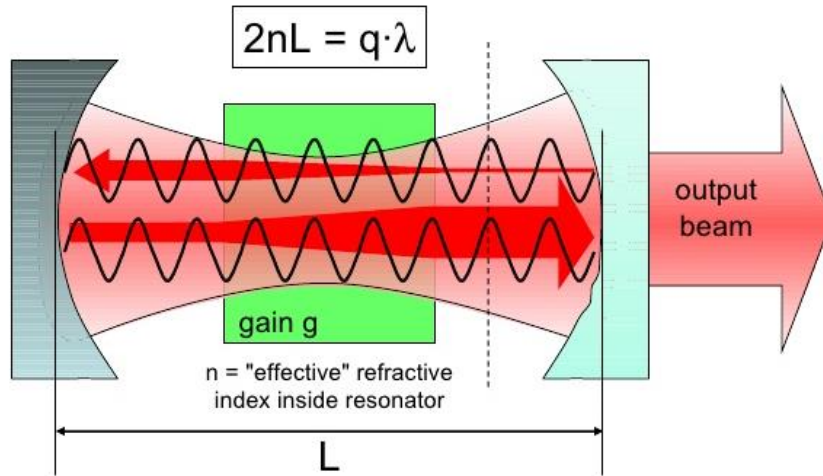
Cintura dentro ou fora
da cavidade ressonante



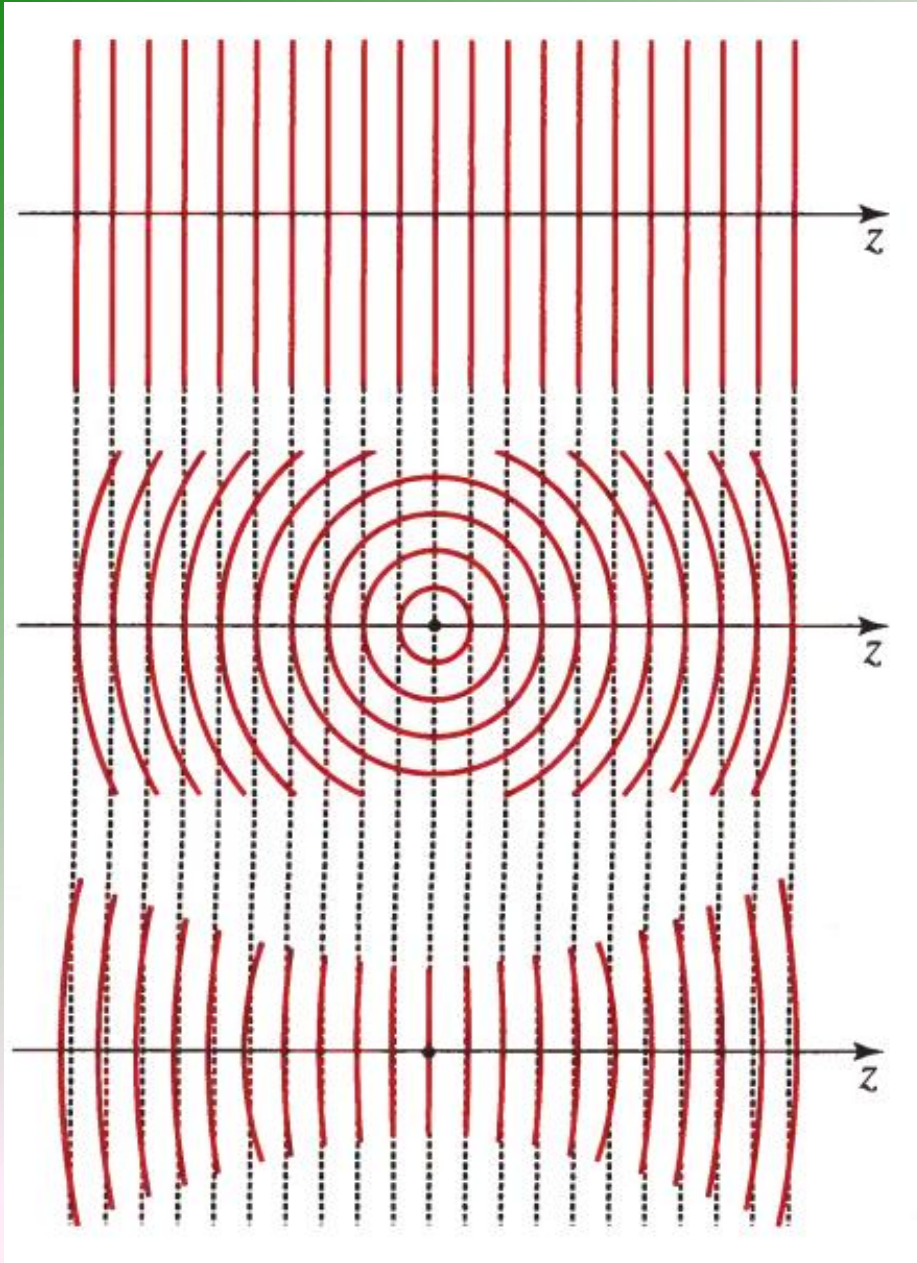
Lasers...



Resonator + Gain Medium



Feixes gaussianos: frentes de onda



$$U(\mathbf{r}) = A_0 \frac{W_0}{W(z)} \exp\left[-\frac{\rho^2}{W^2(z)}\right] \exp\left[-jkz - jk \frac{\rho^2}{2R(z)} + j\zeta(z)\right]$$

$$\varphi(\rho, z) = kz - \zeta(z) + \frac{k\rho^2}{2R(z)}$$

Feixes gaussianos: Parâmetros

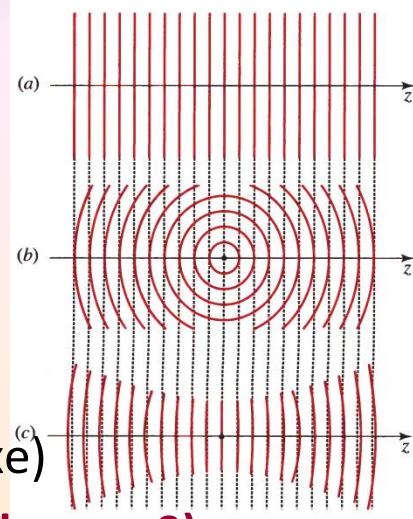
Onda plana

Amplitude complexa
Direcção de propagação

$$U(\mathbf{r}) = A_0 \frac{W_0}{W(z)} \exp\left[-\frac{\rho^2}{W^2(z)}\right] \exp\left[-jkz - jk \frac{\rho^2}{2R(z)} + j\zeta(z)\right]$$

Onda esférica

Amplitude complexa
Localização da origem



$$W(z) = W_0 \left[1 + \left(\frac{z}{z_0} \right)^2 \right]^{1/2}$$

$$R(z) = z \left[1 + \left(\frac{z_0}{z} \right)^2 \right]$$

$$\zeta(z) = \tan^{-1} \frac{z}{z_0}$$

$$W_0 = \left(\frac{\lambda z_0}{\pi} \right)^{1/2}$$

$$2z_0 = \frac{2\pi W_0^2}{\lambda}$$

Feixe Gaussiano

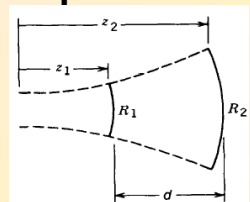
Amplitude máxima, A_0
Direcção (eixo de propagação do feixe)

Localização da cintura (posição do plano $z=0$)

Um parâmetro adicional, z_0 ou W_0

Se os parâmetros forem conhecidos num ponto qualquer ao longo do eixo de propagação → podem ser calculados para qualquer outro ponto

Por exemplo, se $R(z)$ for conhecido para dois pontos separados de $\Delta z=d$, todos os parâmetros do feixe podem ser determinados (Saleh, Problema 3.1-5)



$$z_1 = \frac{-d(R_2 - d)}{R_2 - R_1 - 2d}$$

$$z_0^2 = \frac{-d(R_1 + d)(R_2 - d)(R_2 - R_1 - d)}{(R_2 - R_1 - 2d)^2}$$

$$W_0 = \left(\frac{\lambda z_0}{\pi} \right)^{1/2}$$

Feixes gaussianos: Qualidade do feixe, factor M^2

O feixe gaussiano constitui um caso limite, ideal

Uma medida do desvio de um feixe real relativamente ao feixe gaussiano é uma **medida de qualidade** do feixe.

O factor de qualidade mais frequente é o **factor M^2** :

Para o feixe real e para o feixe gaussiano ideal, calcula-se o produto:

$$P = (\text{diâmetro da cintura, } 2W_m) \cdot (\text{divergência total, } 2\theta_m)$$

→ Para um feixe Gaussiano, $P_0 = 4\lambda/\pi$

O factor M^2 define-se como:

$$M^2 = P_{\text{feixeReal}} / P_0 = \pi/\lambda W_m \theta_m$$

Quanto mais **próximo de 1**, mais Gaussiano é o feixe:

HeNe: $M^2 < 1.1$

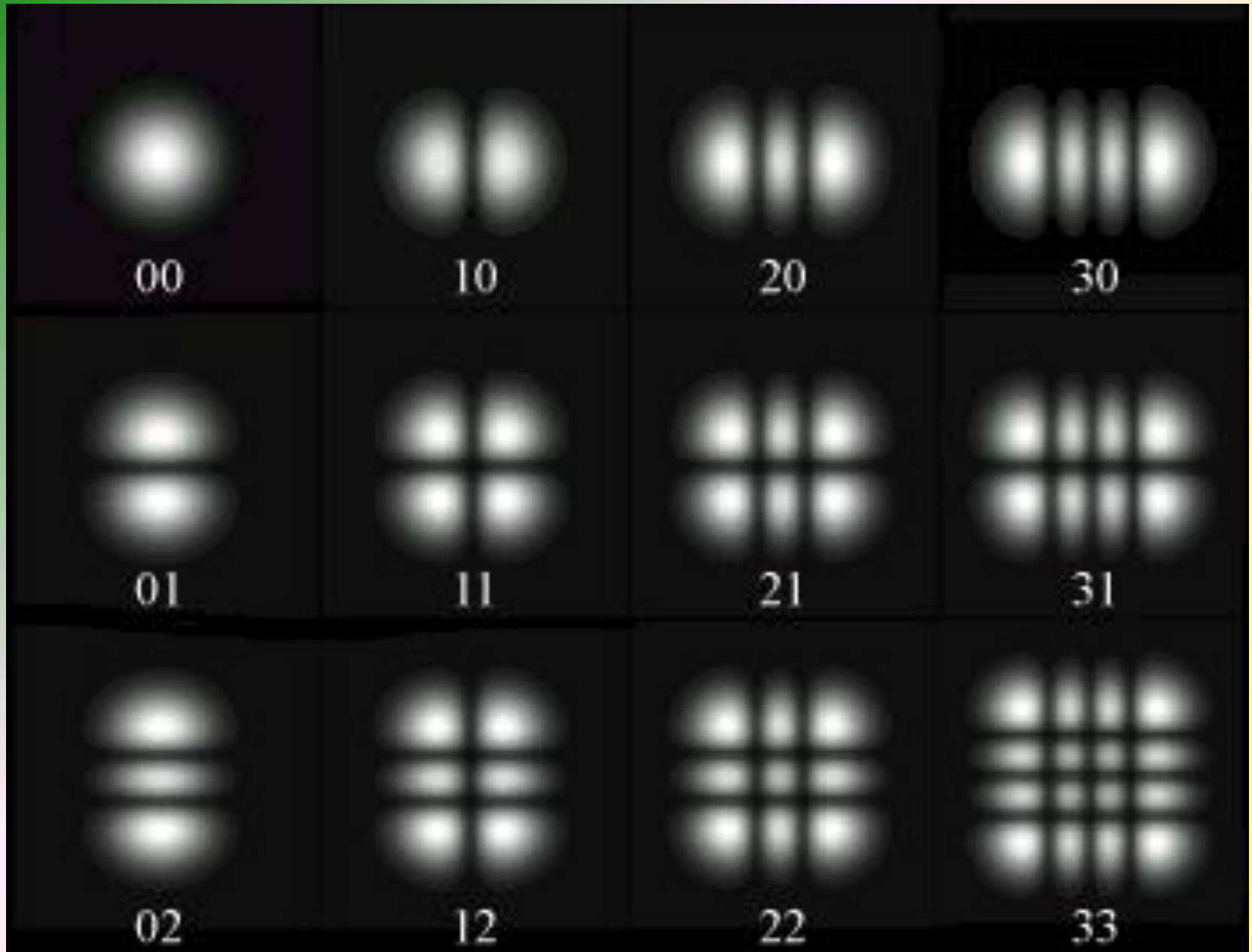
Lasers iónicos: $M^2 \sim 1.1 - 1.3$

Lasers díodo: $M^2 \sim 1.1 - 1.7$

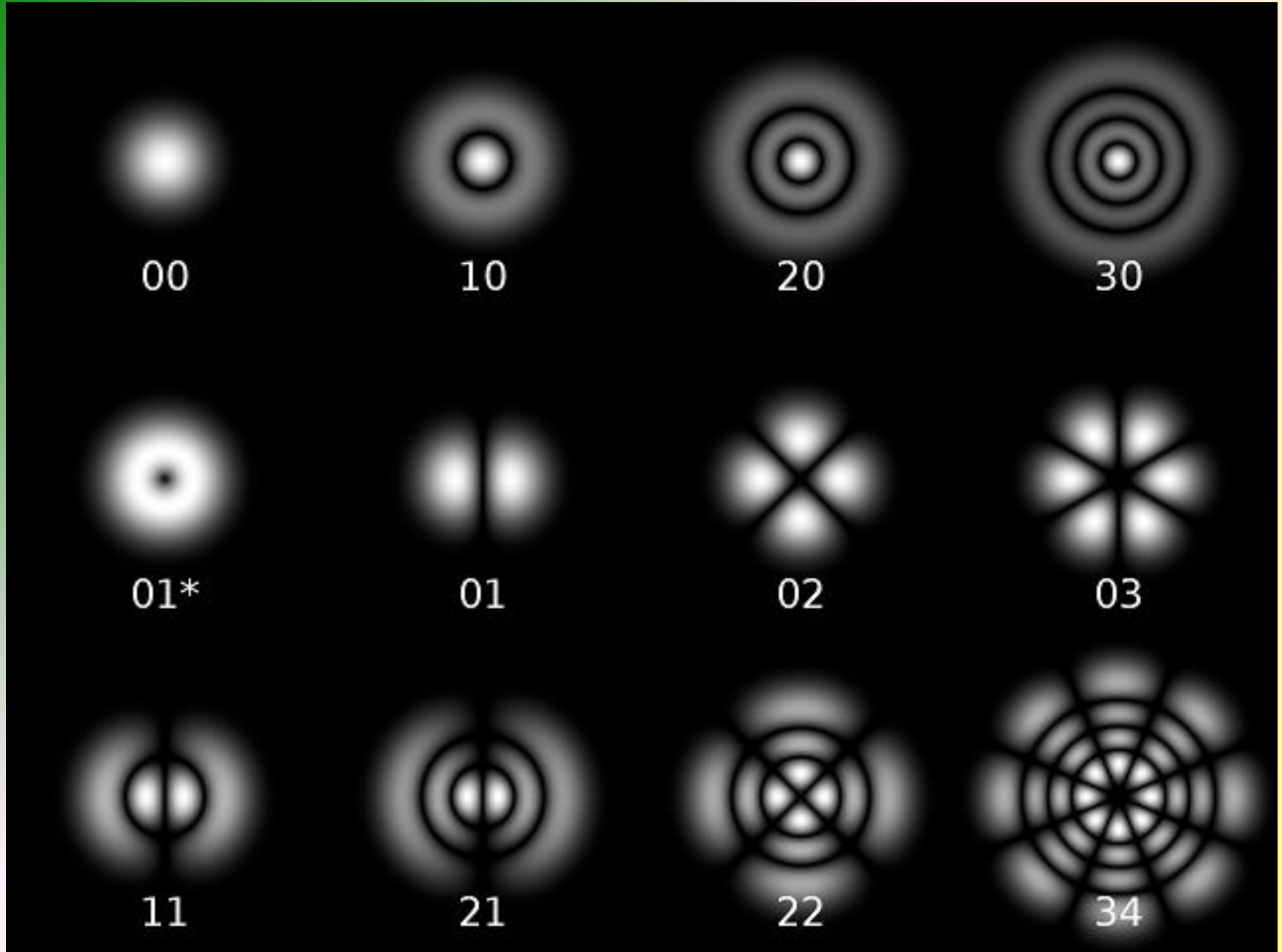
Potência elevada, multi-modo: $M^2 \sim 2 - 4$

A medida de M^2 faz-se com câmaras CCD a várias distâncias

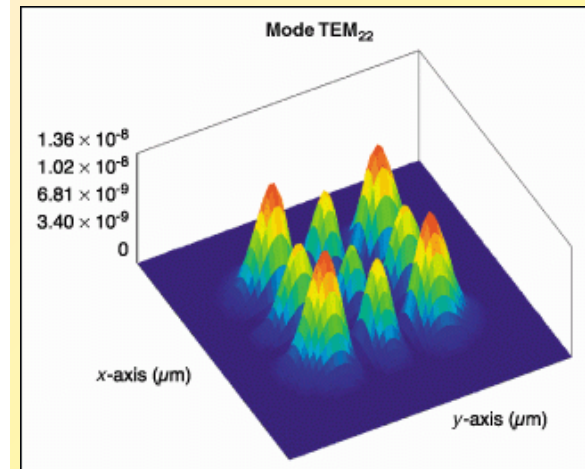
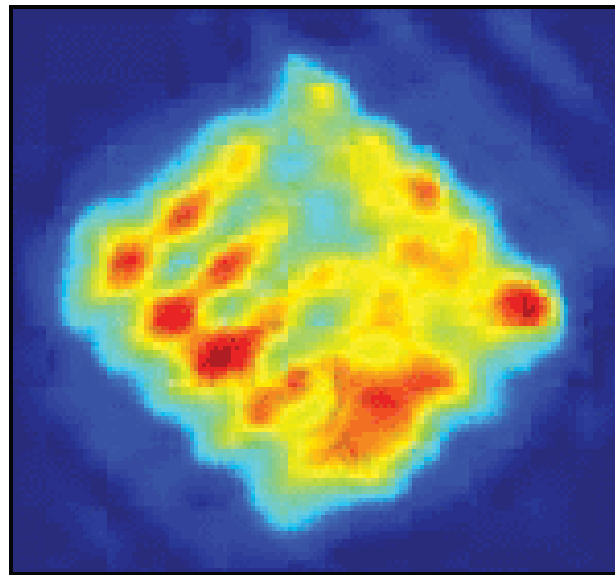
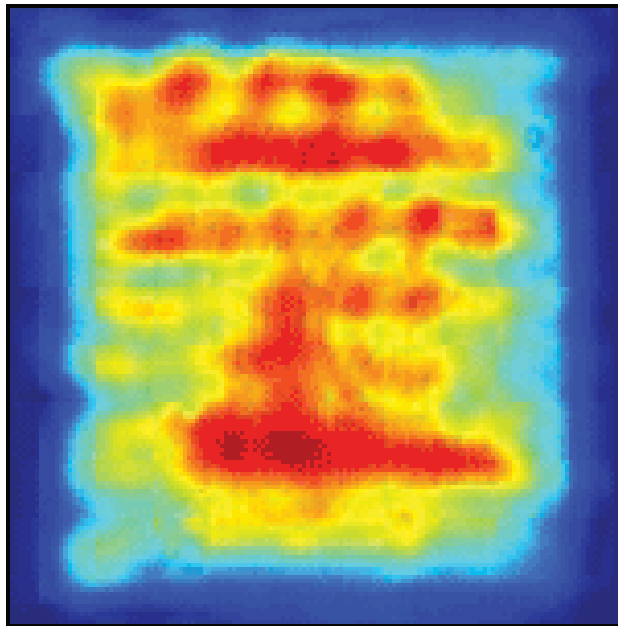
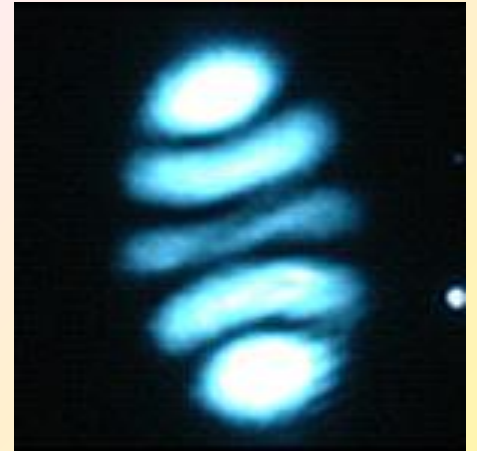
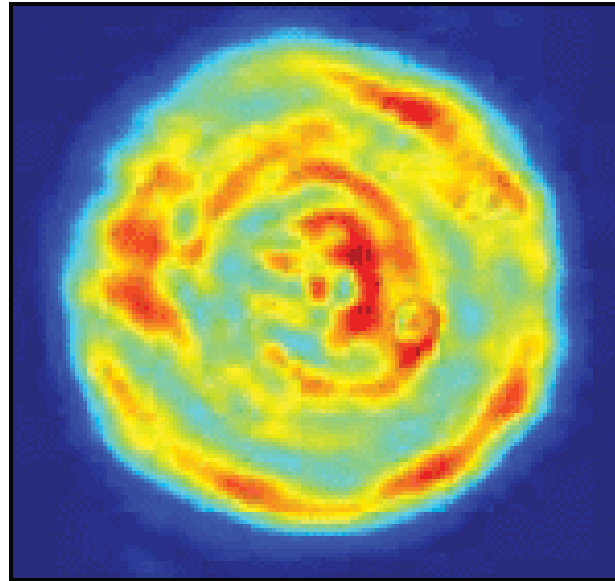
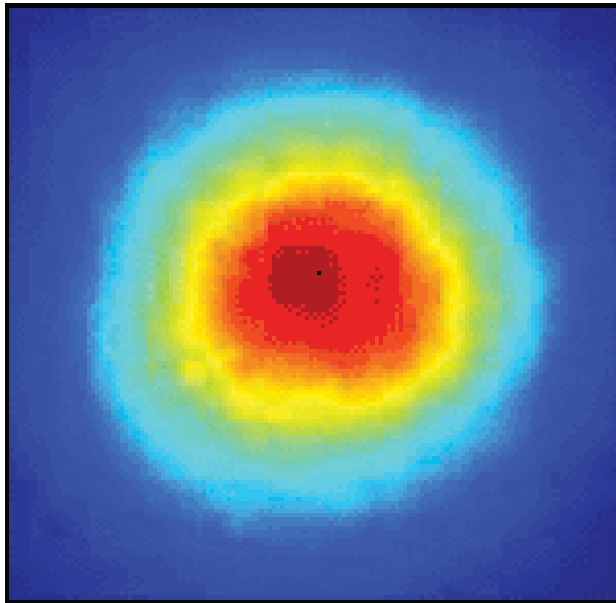
Outras soluções da EHP: modos laser



Outras soluções da EHP: modos laser



Outras soluções da EHP: modos laser



Feixes de Hermite-Gauss

Há outras soluções da EHP que **mantém a forma paraboloidal** das frentes de onda mas que possuem **outras distribuições da irradiância**:

Ondas paraboloidais ajustam-se aos espelhos da cavidade ressonante com grande raio de curvatura, viabilizando a auto-reprodução da onda na cavidade ressonante: os seus **modos**.

Partindo de uma **onda gaussiana**,

$$A_G(x, y, z) = \frac{A_1}{q(z)} \exp \left[-jk \frac{x^2 + y^2}{2q(z)} \right]$$

podem-se construir outras cujas amplitudes sejam versões **moduladas** das da onda gaussiana.:

$$A(x, y, z) = \mathcal{X} \left[\sqrt{2} \frac{x}{W(z)} \right] \mathcal{Y} \left[\sqrt{2} \frac{y}{W(z)} \right] \exp[j\mathcal{Z}(z)] A_G(x, y, z)$$

Existirão 3 funções **reais** compatíveis com a EHP?

Feixes de Hermite-Gauss

Calculando as derivadas, com

$$u = \sqrt{2} x/W(z) \text{ and } v = \sqrt{2} y/W(z)$$

$$\frac{1}{\mathcal{X}} \left(\frac{\partial^2 \mathcal{X}}{\partial u^2} - 2u \frac{\partial \mathcal{X}}{\partial u} \right) + \frac{1}{\mathcal{Y}} \left(\frac{\partial^2 \mathcal{Y}}{\partial v^2} - 2v \frac{\partial \mathcal{Y}}{\partial v} \right) + kW^2(z) \frac{\partial \mathcal{Z}}{\partial z} = 0$$

Logo:

$$-\frac{1}{2} \frac{d^2 \mathcal{X}}{du^2} + u \frac{d\mathcal{X}}{du} = \mu_1 \mathcal{X}$$

$$-\frac{1}{2} \frac{d^2 \mathcal{Y}}{dv^2} + v \frac{d\mathcal{Y}}{dv} = \mu_2 \mathcal{Y}$$

$$z_0 \left[1 + \left(\frac{z}{z_0} \right)^2 \right] \frac{d\mathcal{Z}}{dz} = \mu_1 + \mu_2$$

As equações em u, v são as equações aos valores próprios que definem os **polinómios de Hermite**.

Os valores próprios são **inteiros**, $l, m = 0, 1, 2, 3, \dots$

Feixes de Hermite-Gauss

Quanto à 3ª equação,

$$\mathcal{Z}(z) = (l + m) \zeta(z)$$

$$\zeta(z) = \tan^{-1}(z/z_0)$$

Juntando tudo:

$$U_{l,m}(x, y, z) = A_{l,m} \left[\frac{W_0}{W(z)} \right] \mathbb{G}_l \left[\frac{\sqrt{2} x}{W(z)} \right] \mathbb{G}_m \left[\frac{\sqrt{2} y}{W(z)} \right] \\ \times \exp \left[-jkz - jk \frac{x^2 + y^2}{2R(z)} + j(l + m + 1) \zeta(z) \right]$$

$\mathbb{G}_l(u)$ são as funções de **Hermite-Gauss**:

$$\mathbb{G}_l(u) = \mathbb{H}_l(u) \exp\left(\frac{-u^2}{2}\right), \quad l = 0, 1, 2, \dots$$

Polinômios de Hermite

Eq. diferencial de Hermite:

$$u'' - 2xu' = -2\lambda u$$

Funções próprias do oscilador harmônico quântico

Base de completa de funções ortonormada de funções em \mathbb{R}

[peso $w(x)$]

$$\int_{-\infty}^{\infty} H_m(x) H_n(x) w(x) dx = 0 \quad w(x) = e^{-x^2}$$

$$H_0(x) = 1$$

$$H_1(x) = 2x$$

$$H_2(x) = 4x^2 - 2$$

$$H_3(x) = 8x^3 - 12x$$

$$H_4(x) = 16x^4 - 48x^2 + 12$$

$$H_5(x) = 32x^5 - 160x^3 + 120x$$

$$H_6(x) = 64x^6 - 480x^4 + 720x^2 - 120$$

$$H_7(x) = 128x^7 - 1344x^5 + 3360x^3 - 1680x$$

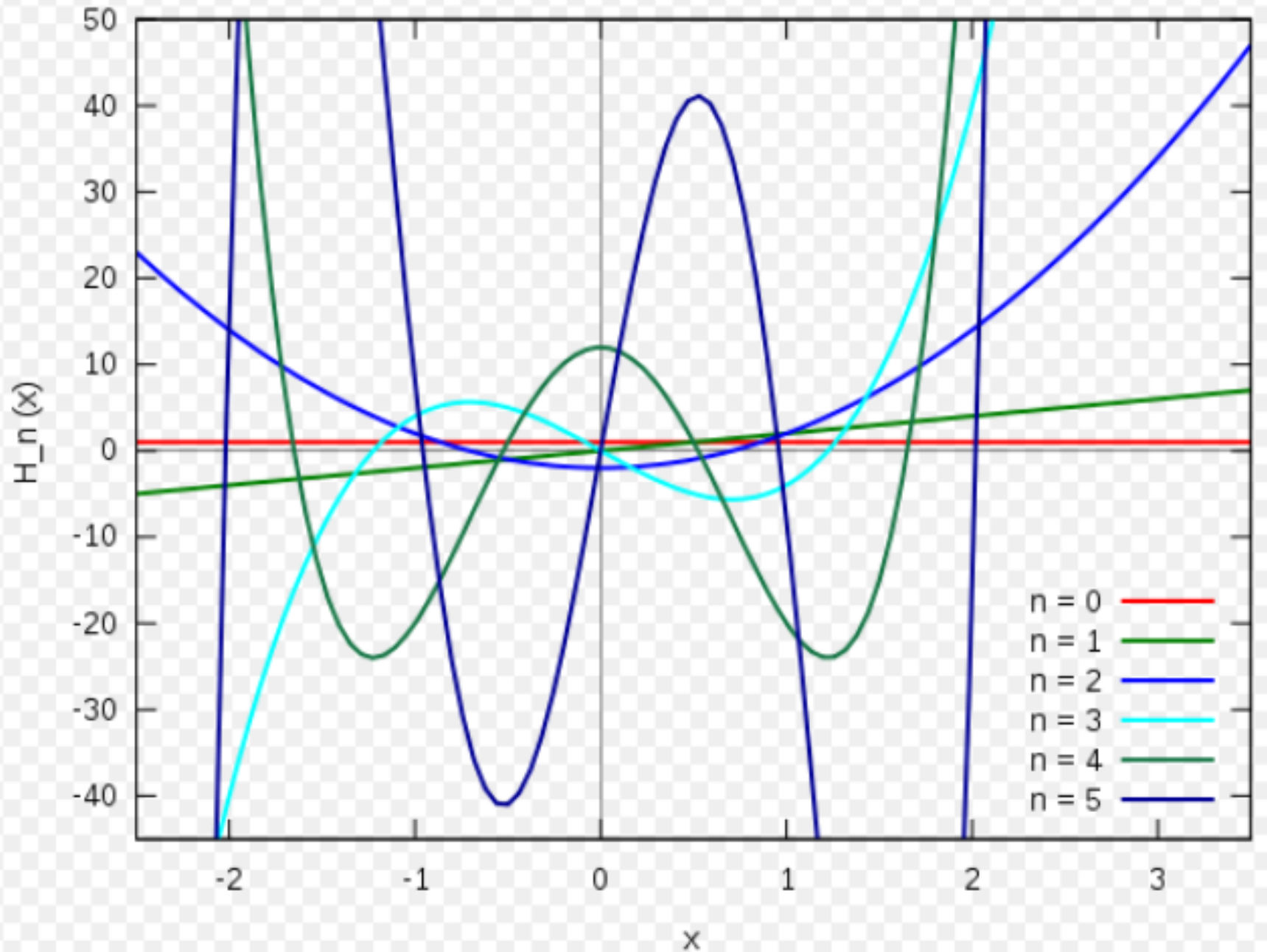
$$H_8(x) = 256x^8 - 3584x^6 + 13440x^4 - 13440x^2 + 1680$$

$$H_9(x) = 512x^9 - 9216x^7 + 48384x^5 - 80640x^3 + 30240x$$

$$H_{10}(x) = 1024x^{10} - 23040x^8 + 161280x^6 - 403200x^4 + 302400x^2 - 30240$$

$$\mathbb{H}_{l+1}(u) = 2u \mathbb{H}_l(u) - 2l \mathbb{H}_{l-1}(u)$$

Polinómios de Hermite

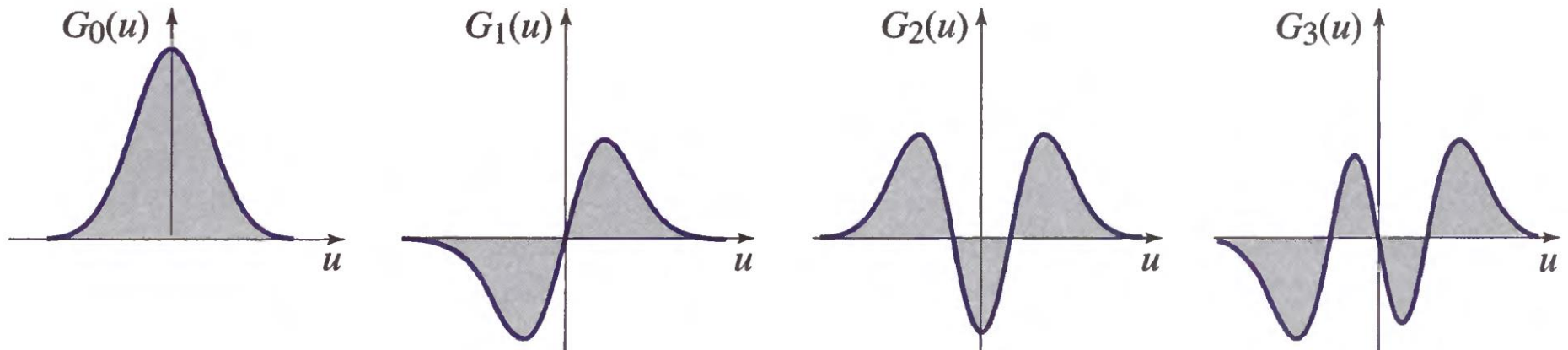


Feixes de Hermite-Gauss

$$\mathbb{H}_0(u) = 1, \quad \mathbb{H}_1(u) = 2u.$$

$$\mathbb{H}_2(u) = 4u^2 - 2, \quad \mathbb{H}_3(u) = 8u^3 - 12u, \quad \dots$$

Funções de Hermite-Gauss



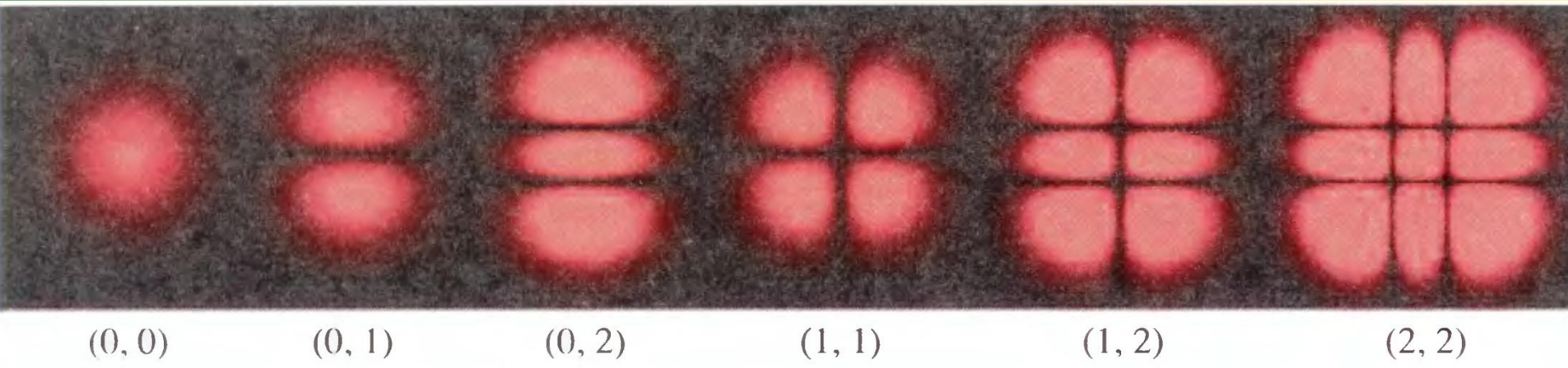
$$\mathbb{G}_l(u) = \mathbb{H}_l(u) \exp\left(\frac{-u^2}{2}\right), \quad l = 0, 1, 2, \dots$$

Feixes de Hermite-Gauss

Irradiância (W/m^2)

$$I_{l,m}(x, y, z) = |A_{l,m}|^2 \left[\frac{W_0}{W(z)} \right]^2 \mathbb{G}_l^2 \left[\frac{\sqrt{2} x}{W(z)} \right] \mathbb{G}_m^2 \left[\frac{\sqrt{2} y}{W(z)} \right]$$

Modos (l,m)



O Feixe Gaussiano é o modo TEM(0,0)

Feixes de Hermite- e Laguerre-Gauss

O Feixe Gaussiano é o modo TEM (0,0)

Os modos de Hermite-Gauss formam um conjunto completo de soluções da EHP

Qualquer feixe se pode considerar uma combinação linear de funções da base de Hermite-Gauss.

Os coeficientes da soma dependem da cavidade ressonante.

Há outras famílias completas de soluções:

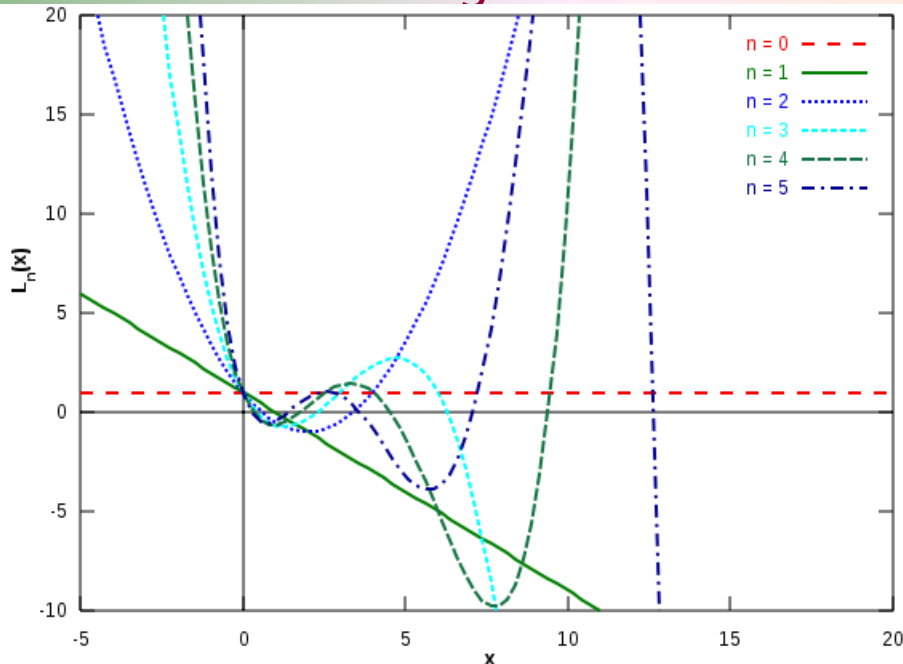
Os modos de **Laguerre-Gauss**, que se obtem a partir da EHP escrita em coordenadas cilíndricas (ρ, φ, z) , com separação de variáveis entre ρ e φ .

Equação de Laguerre: $xy'' + (1 - x)y' + ny = 0$

Feixes de Laguerre-Gauss

$$U_{l,m}(\rho, \varphi, z) = A_{l,m} \left[\frac{W_0}{W(z)} \right] \left(\frac{\rho}{W(z)} \right)^l L_m^l \left(\frac{2\rho^2}{W^2(z)} \right) \exp \left(-\frac{\rho^2}{W^2(z)} \right) \\ \times \exp \left[-ikz - ik \frac{\rho^2}{2R(z)} - il\varphi + (l + 2m + 1)\zeta(z) \right]$$

L – Polinómios generalizados de Laguerre, gerados a partir da *Fórmula de Rodrigues*:



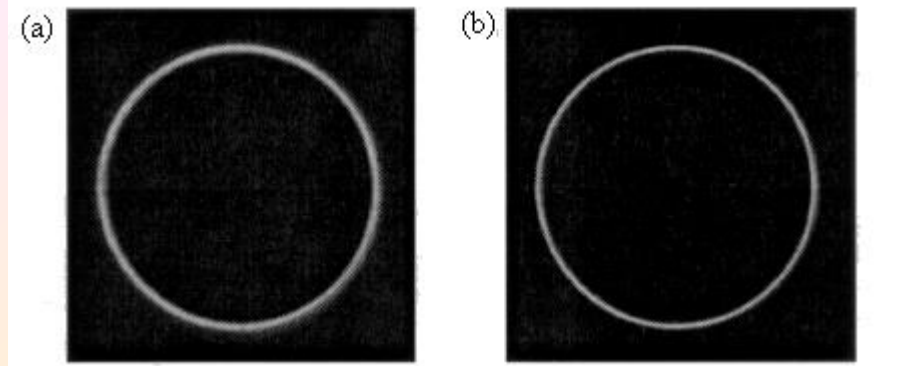
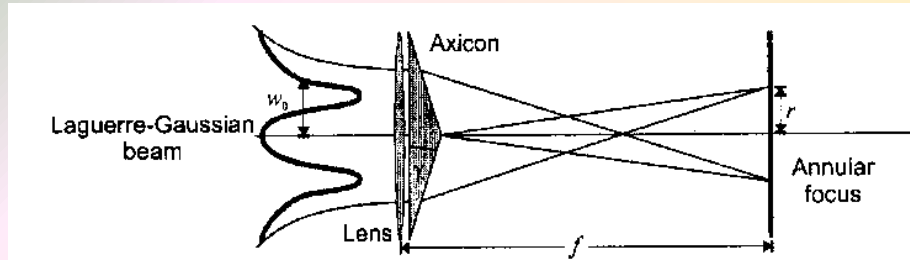
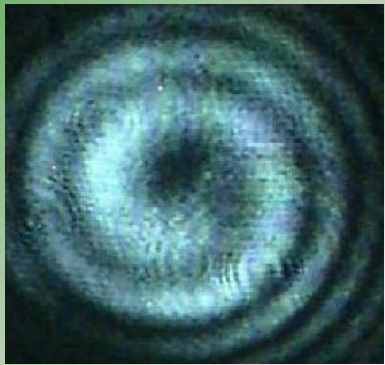
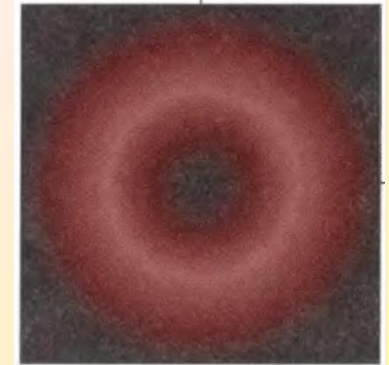
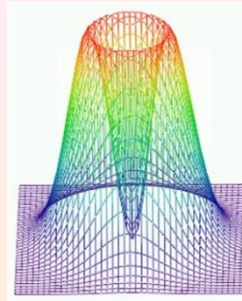
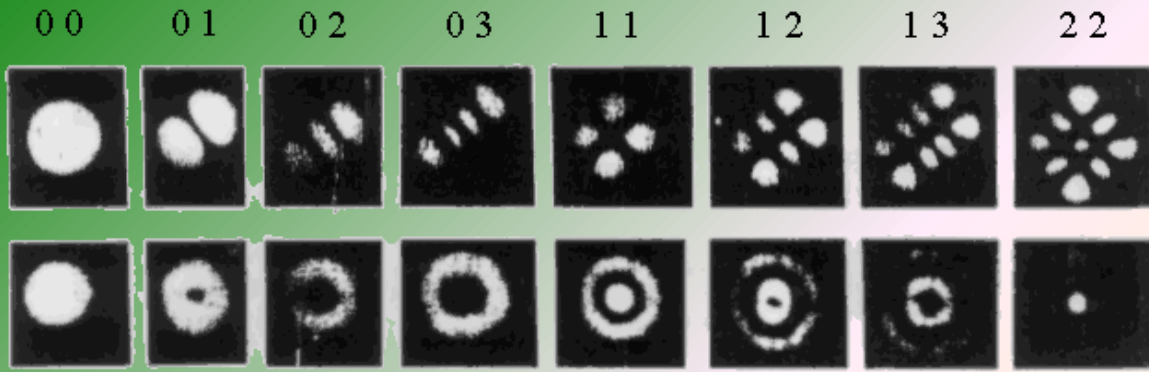
$$L_m^l(x) = \frac{x^{-l} e^x}{m!} \frac{d^m (x^{l+m} e^{-x})}{dx^m}$$

$$L_0^l(x) = 1$$

$$L_1^0(x) = 1 - x$$

$$L_2^0(x) = 1 - 2x + \frac{x^2}{2}$$

Feixes de Laguerre-Gauss



Feixes de Bessel

Existem ainda soluções **tipo onda plana** mas **não uniformes** em planos perpendiculares ao eixo de propagação.

Procuram-se soluções da EH (não da EHP) da forma:

$$U(\mathbf{r}) = A(x, y) e^{-j\beta z}$$

$A(x, y)$ [não depende de z] deve satisfazer:

$$\nabla_T^2 A + k_T^2 A = 0$$

$$k_T^2 + \beta^2 = k^2$$

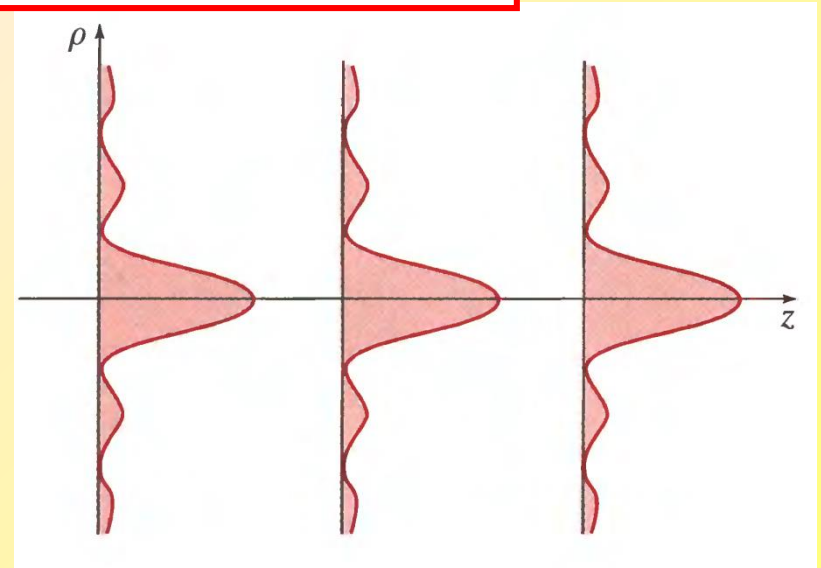
$$\nabla_T^2 = \partial^2 / \partial x^2 + \partial^2 / \partial y^2$$

Em variáveis **polares**, com separação de variáveis:

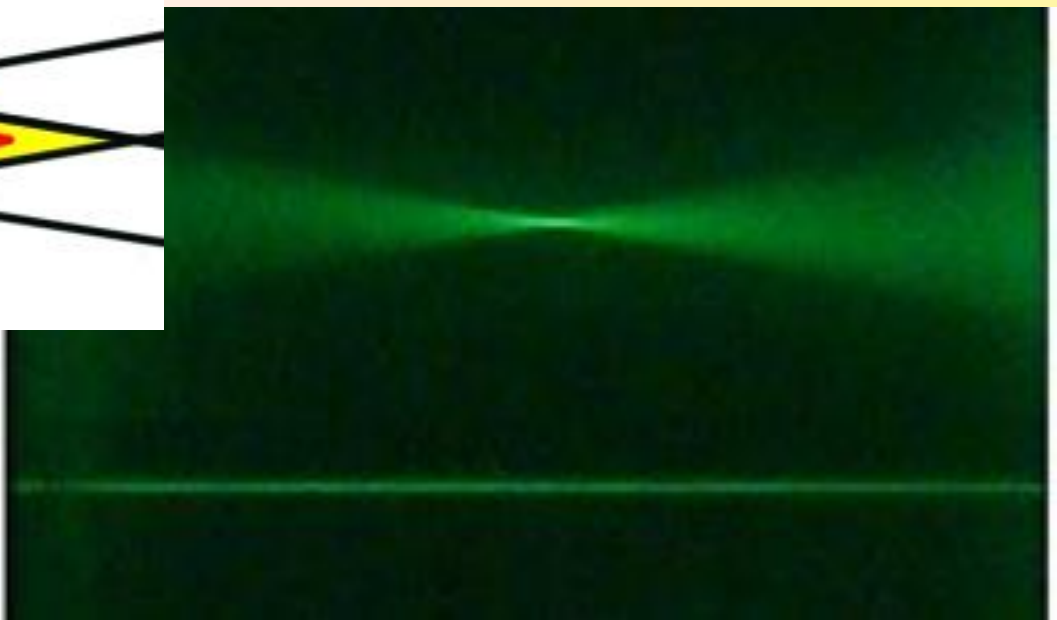
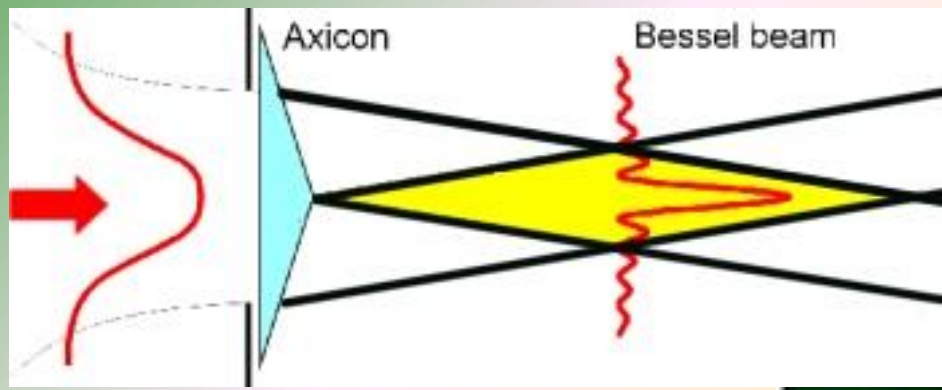
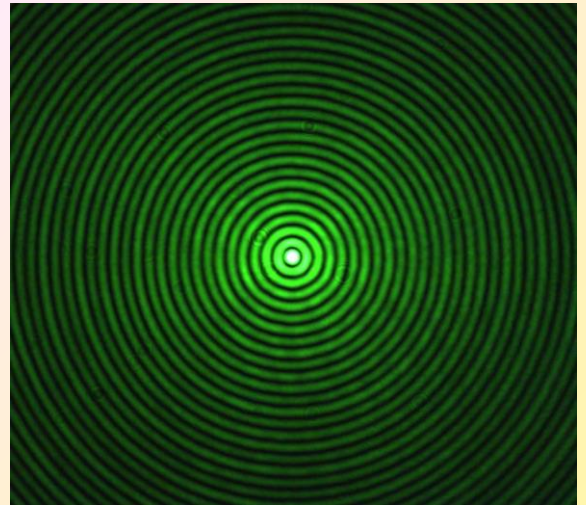
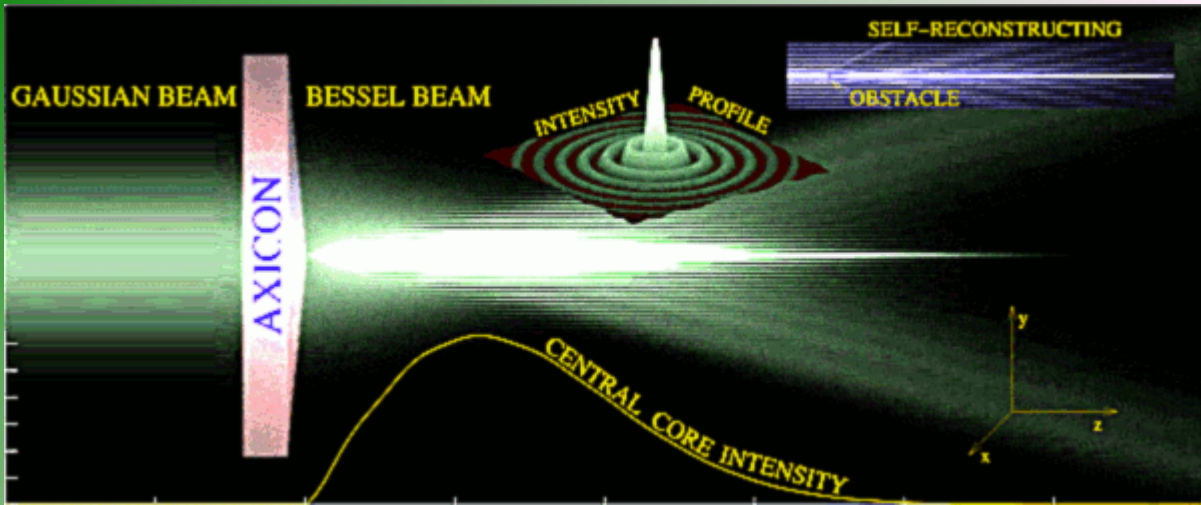
$$A(x, y) = A_m J_m(k_T \rho) e^{jm\phi}, \quad m = 0, \pm 1, \pm 2$$

$J_m()$ - funções de Bessel de 1ª ordem.

$$x^2 \frac{d^2 y}{dx^2} + x \frac{dy}{dx} + (x^2 - \alpha^2) y = 0$$



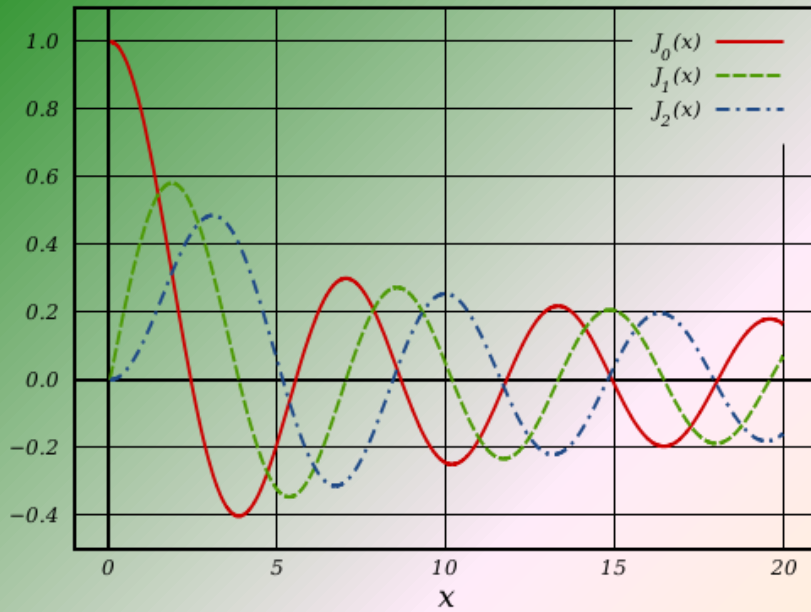
Feixes de Bessel



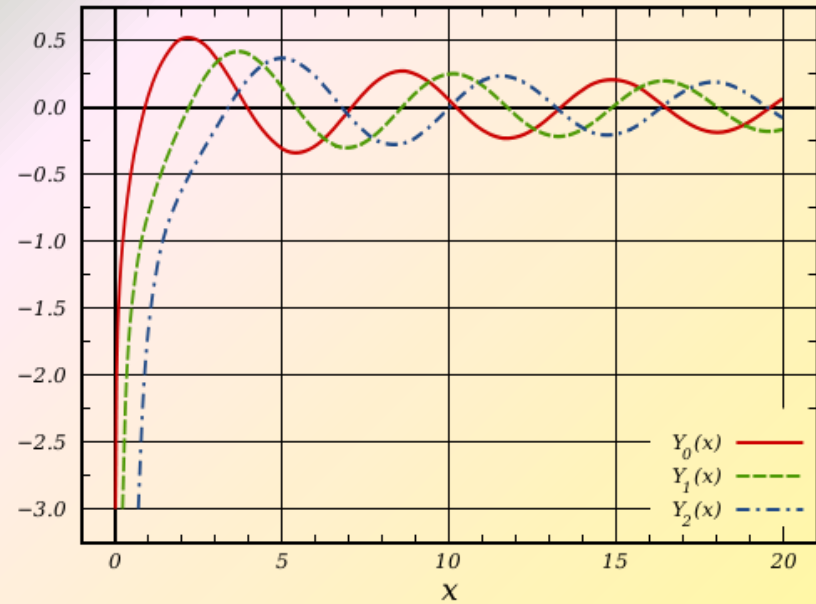
Funções de Bessel

$$x^2 \frac{d^2 y}{dx^2} + x \frac{dy}{dx} + (x^2 - \alpha^2) y = 0$$

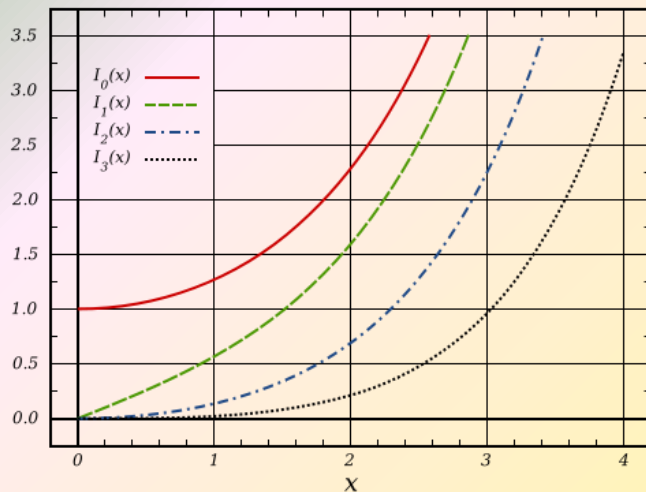
1ª espécie (1st kind), J_n



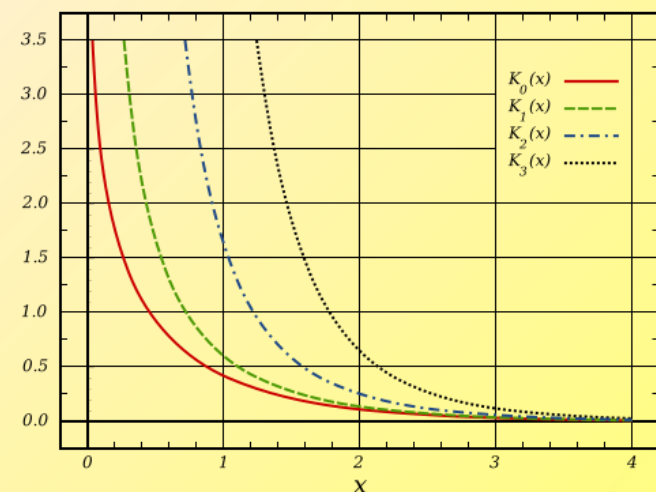
2ª espécie, Y_n



Modificadas, 1ª espécie, I_n



Modificadas, 2ª espécie, K_n



Handbook of Mathematical Functions

POCKETBOOK OF MATHEMATICAL FUNCTIONS

Abridged edition of

Handbook of Mathematical Functions

Milton Abramowitz and Irene A. Stegun (eds.)

Material selected by

Michael Danos and Johann Rafelski

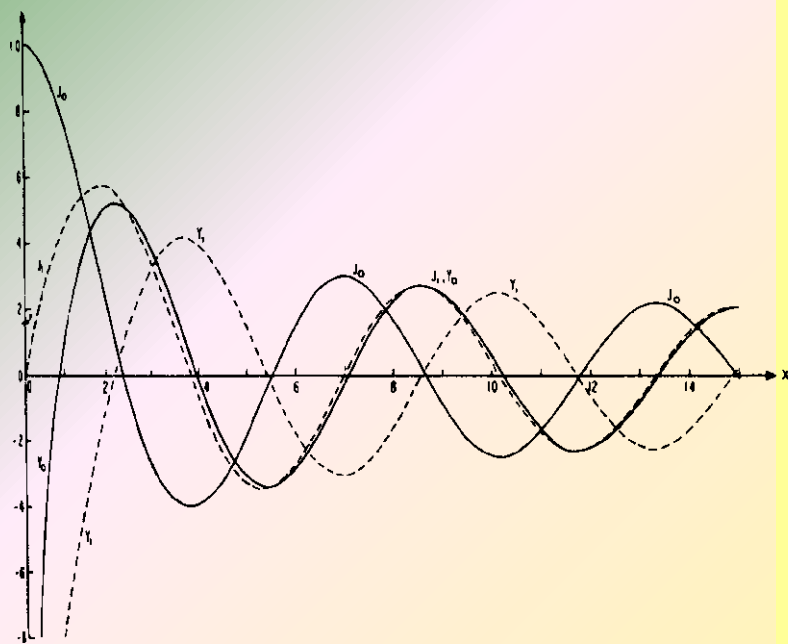


FIGURE 9.1. $J_0(x)$, $Y_0(x)$, $J_1(x)$, $Y_1(x)$.

Generating Function and Associated Series

$$9.1.41 \quad e^{\frac{1}{2}z(t-1/t)} = \sum_{k=-\infty}^{\infty} t^k J_k(z) \quad (t \neq 0)$$

$$9.1.42 \quad \cos(z \sin \theta) = J_0(z) + 2 \sum_{k=1}^{\infty} J_{2k}(z) \cos(2k\theta)$$

$$9.1.43 \quad \sin(z \sin \theta) = 2 \sum_{k=0}^{\infty} J_{2k+1}(z) \sin\{(2k+1)\theta\}$$

9.1.44

$$\cos(z \cos \theta) = J_0(z) + 2 \sum_{k=1}^{\infty} (-1)^k J_{2k}(z) \cos(2k\theta)$$

9.1.45

$$\sin(z \cos \theta) = 2 \sum_{k=0}^{\infty} (-1)^k J_{2k+1}(z) \sin\{(2k+1)\theta\}$$

$$9.1.46 \quad 1 = J_0(z) + 2J_2(z) + 2J_4(z) + 2J_6(z) + \dots$$

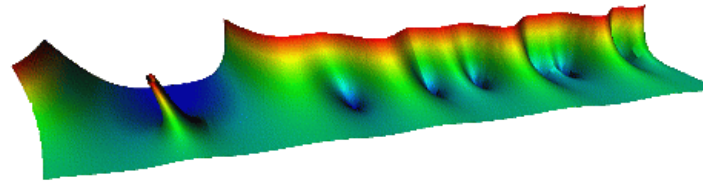
9.1.47

$$\cos z = J_0(z) - 2J_2(z) + 2J_4(z) - 2J_6(z) + \dots$$

$$9.1.48 \quad \sin z = 2J_1(z) - 2J_3(z) + 2J_5(z) - \dots$$

Handbook of Mathematical Functions

<https://dlmf.nist.gov/>



NIST Digital Library of Mathematical Functions

Project News

2018-03-27 [DLMF Update: Version 1.0.18](#)

2017-12-22 [DLMF Update: Version 1.0.17](#)

2017-12-22 [Tom M. Apostol, DLMF Author and Validator, dies at age 92](#)

2017-09-18 [DLMF Update: Version 1.0.16](#)

[More news](#)

Foreword	20 Theta Functions
Preface	21 Multidimensional Theta Functions
Mathematical Introduction	22 Jacobian Elliptic Functions
1 Algebraic and Analytic Methods	23 Weierstrass Elliptic and Modular Functions
2 Asymptotic Approximations	24 Bernoulli and Euler Polynomials
3 Numerical Methods	25 Zeta and Related Functions
4 Elementary Functions	26 Combinatorial Analysis
5 Gamma Function	27 Functions of Number Theory
6 Exponential, Logarithmic, Sine, and Cosine Integrals	28 Mathieu Functions and Hill's Equation
7 Error Functions, Dawson's and Fresnel Integrals	29 Lamé Functions
8 Incomplete Gamma and Related Functions	30 Spheroidal Wave Functions
9 Airy and Related Functions	31 Heun Functions
10 Bessel Functions	32 Painlevé Transcendents
11 Struve and Related Functions	33 Coulomb Functions
12 Parabolic Cylinder Functions	34 $3j$, $6j$, $9j$ Symbols
13 Confluent Hypergeometric Functions	35 Functions of Matrix Argument
14 Legendre and Related Functions	36 Integrals with Coalescing Saddles
15 Hypergeometric Function	Bibliography
16 Generalized Hypergeometric Functions & Meijer G -Function	Index
17 q -Hypergeometric and Related Functions	Notations
18 Orthogonal Polynomials	List of Figures
19 Elliptic Integrals	List of Tables

$$U(\mathbf{r}) = A \exp(-j\mathbf{k} \cdot \mathbf{r})$$

$$U(\mathbf{r}) = \frac{A}{r} \exp(-jkr)$$

$$(\nabla^2 + k^2)U(\mathbf{r}) = 0$$

$$k = \frac{2\pi\nu}{c} = \frac{\omega}{c}$$

$$\nabla^2 u - \frac{1}{c^2} \frac{\partial^2 u}{\partial t^2} = 0$$

$$U(\mathbf{r}, t) = U(\mathbf{r}) \exp(j2\pi\nu t)$$

$$U(\mathbf{r}) \approx \frac{A}{z} \exp(-jkz) \exp\left[-jk \frac{x^2 + y^2}{2z}\right]$$

$$U(\mathbf{r}) = A(\mathbf{r}) \exp(-jkz) \quad u(\mathbf{r}, t) = |A(\mathbf{r})| \cos[2\pi\nu t - kz + \arg\{A(\mathbf{r})\}]$$

$$\nabla_T^2 A - j2k \frac{\partial A}{\partial z} = 0$$

$$U(\mathbf{r}) = A_0 \frac{W_0}{W(z)} \exp\left[-\frac{\rho^2}{W^2(z)}\right] \exp\left[-jkz - jk \frac{\rho^2}{2R(z)} + j\zeta(z)\right]$$

$$U_{l,m}(x, y, z) = A_{l,m} \left[\frac{W_0}{W(z)}\right] \mathbb{G}_l\left[\frac{\sqrt{2}x}{W(z)}\right] \mathbb{G}_m\left[\frac{\sqrt{2}y}{W(z)}\right] \exp\left[-jkz - jk \frac{x^2 + y^2}{2R(z)} + j(l+m+1)\zeta(z)\right]$$

$$\mathbb{G}_l(u) = \mathbb{H}_l(u) \exp\left(\frac{-u^2}{2}\right), \quad l = 0, 1, 2, \dots$$

$$U_{l,m}(\rho, \varphi, z) = A_{l,m} \left[\frac{W_0}{W(z)}\right] \left(\frac{\rho}{W(z)}\right)^l L_m^l\left(\frac{2\rho^2}{W^2(z)}\right) \exp\left(-\frac{\rho^2}{W^2(z)}\right) \exp\left[-ikz - ik \frac{\rho^2}{2R(z)} - il\varphi + (l+2m+1)\zeta(z)\right]$$

$$U(\mathbf{r}) = A(x, y) e^{-j\beta z} \quad \nabla_T^2 A + k_T^2 A = 0 \quad k_T^2 + \beta^2 = k^2 \quad \nabla_T^2 = \partial^2 / \partial x^2 + \partial^2 / \partial y^2$$

$$A(x, y) = A_m J_m(k_T \rho) e^{jm\phi}, \quad m = 0, \pm 1, \pm 2$$

EHP & ...

$$\nabla_T^2 A - j 2k \frac{\partial A}{\partial z} = 0$$

$$\left[\frac{-\hbar^2}{2m} \nabla^2 + V \right] \Psi = i \hbar \frac{\partial}{\partial t} \Psi$$



$$\Psi(\mathbf{r}, t) \doteq \psi(\mathbf{r}) \exp[j(E/\hbar)t]$$

$$(\nabla^2 + k^2)U(\mathbf{r}) = 0$$

$$-\frac{\hbar^2}{2m} \nabla^2 \psi(\mathbf{r}) + V(\mathbf{r})\psi(\mathbf{r}) = E\psi(\mathbf{r})$$



Light Modes of Free Space

Uri Levy, Stanislav Derevyanko, Yaron Silberberg
Weizmann Institute of Science, Rehovot, Israel

Contents

1. Introduction	237
1.1 Waves	238
1.2 Beams	240
1.3 Classification	241
1.4 Orthogonality and Completeness	241
1.5 Countability	245
1.6 Diffraction Characteristics	245
2. Waves	247
2.1 Angular Spectrum	247
2.2 Cartesian Coordinates: Plane Waves	249
2.3 Circular-Cylindrical Coordinates: Bessel Waves	251
2.4 Parabolic-Cylindrical Coordinates: Weber Waves	251
2.5 Elliptical-Cylindrical Coordinates: Mathieu Waves	254
3. Beams	255
3.1 Cartesian Coordinates	256
3.2 Circular-Cylindrical coordinates	266
3.3 Parabolic-Cylindrical coordinates	269
3.4 Elliptical-Cylindrical coordinates	273
4. Summary	277

Table 1 Classification of Light Patterns Propagating in Free Space

Coordinate System	Waves (Helmholtz Eq.)	Beams (SVEA-PWE)
Cartesian	A. Plane Waves (PWV)	E. Plane Infinite Beams (PIB)
		F. Airy Infinite Beams (AII)
		G. Airy Finite Beams (AIF)
		H. Airy-Airy Beams (AAB)
		I. Airy-Plane Beams (APB)
Circular-Cylindrical (Polar)	B. Bessel Waves (BSL)	J. Hermite-Gauss Beams (HGB)
		K. Plane-Gauss Beams (PGB)
Parabolic-Cylindrical	C. Weber Waves (WBR)	L. Laguerre-Gauss Beams (LGB)
		M. Bessel-Gauss Beams (BGB)
		N. Parabolic Infinite Beams (PaI)
		O. Parabolic Finite Beams (PaF)
Elliptical-Cylindrical	D. Mathieu Waves (MTH)	P. Weber-Gauss Beams (WGB)
		Q. Ince-Gauss Beams (IGB)
		R. Mathieu-Gauss Beams (MGB)

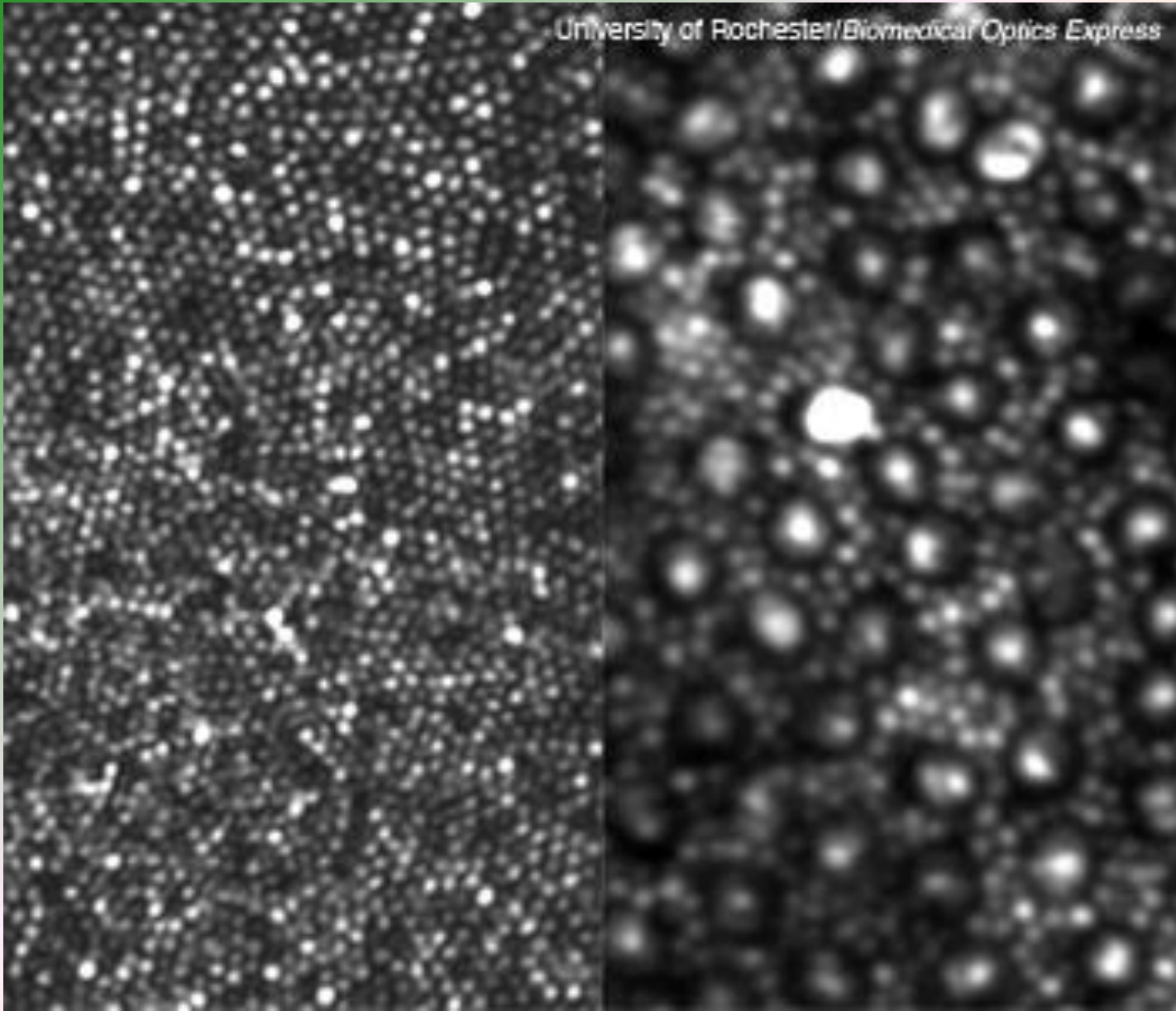
Airy
Bessel
Mathieu
Weber
Gauss
Laguerre
Hermite

The four Waves (center column) are solutions of the exact HE (Equation 4) in the respective coordinate system. The 14 Beams (right column) are solutions of the SVEA-PWE (Equation 5) in the respective coordinate system. The Beams in blue (dark gray in the print version) fonts originate from the respective Waves (cf. Equation 6).

SVEA – PWE – Slowly Varying Envelope Approximation-Paraxial Wave Equation

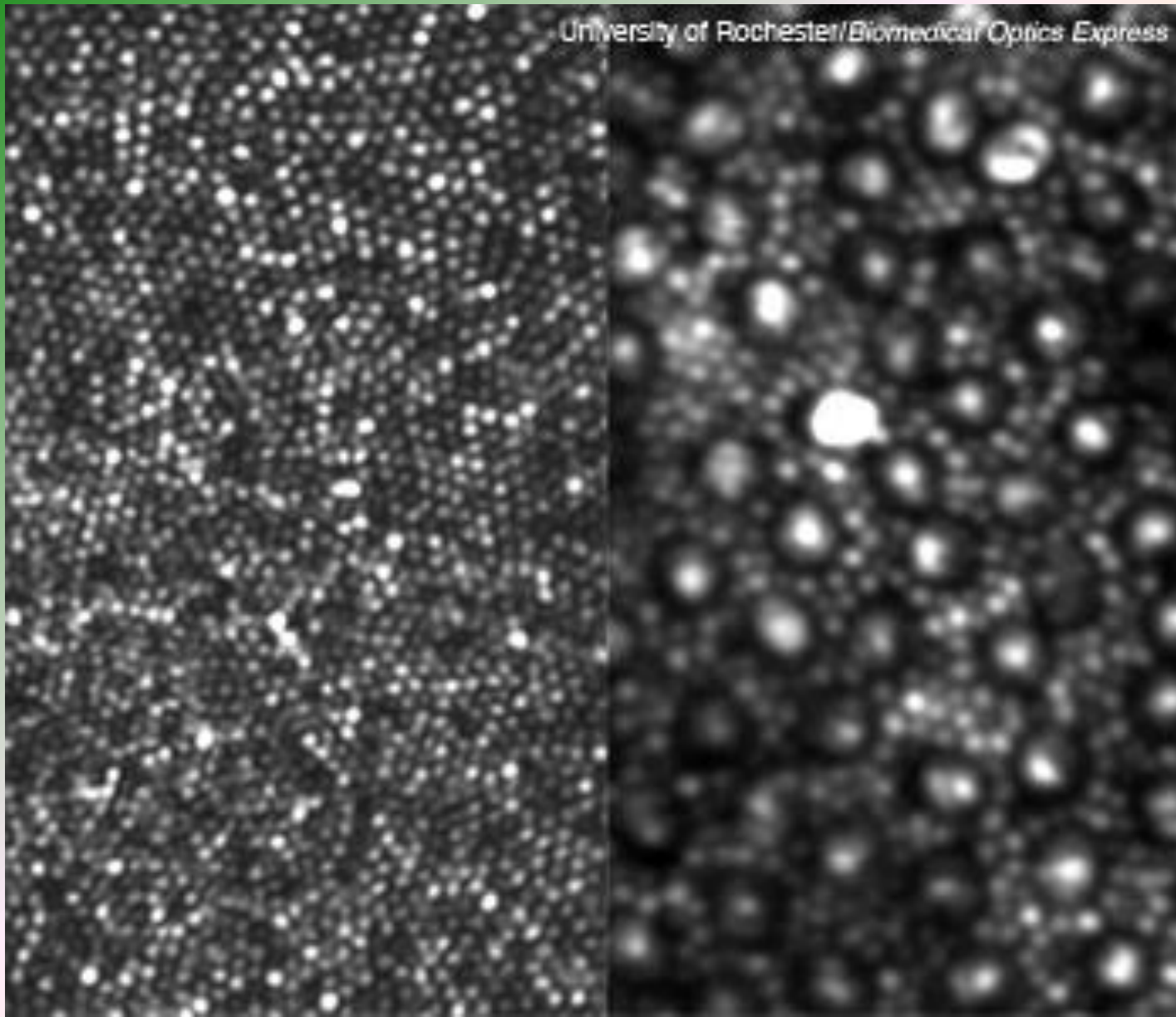
Scientists Image Rods in the Living Eye

([Biomed. Opt. Express 2, 1864, 2011; doi:10.1364/BOE.2.001864](#)).



Scientists Image Rods in the Living Eye

([Biomed. Opt. Express 2, 1864, 2011; doi:10.1364/BOE.2.001864](#)).



(Left) The smallest **cones** at the center of the retina (the fovea).

(Right) The large bright dots with a dark ring around them are **cones**, and the surrounding (and far more abundant) smaller spots are **rods**.

Propagação, feixes e difracção

Como se **propaga** uma onda electromagnética?

Como se descrevem opticamente objectos e componentes ópticos?

A - Reflexão e Refracção

Espelhos e dioptrios planos

B – Transmissão através de componentes ópticos

Lâminas de faces paralelas ou não

Lentes

Redes de difracção

C – Componentes de índice variável

Quais os efeitos de componentes ópticos / objectos difractantes sobre ondas?

Espelhos

Lâminas

Lentes

Prismas

Redes de difracção

Objectos 2D / 3D

Princípios de propagação - *overview*

Óptica geométrica

Princípio de Huygens

Como gerar frentes de onda geométricas a partir de outras?

Óptica ondulatória

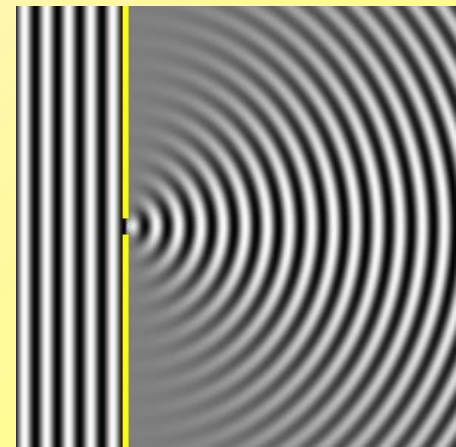
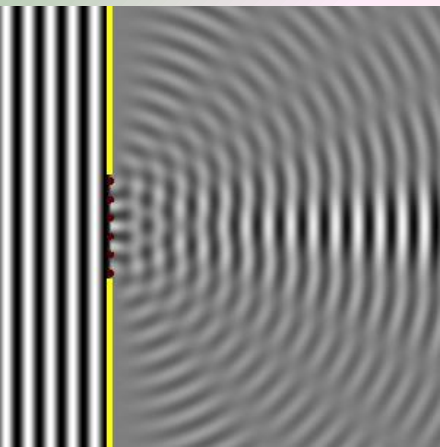
Princípio de Huygens-Fresnel

Como propagar uma onda, com base no conhecimento da sua amplitude num dado plano?

$$f(x, y, \lambda) = 0$$

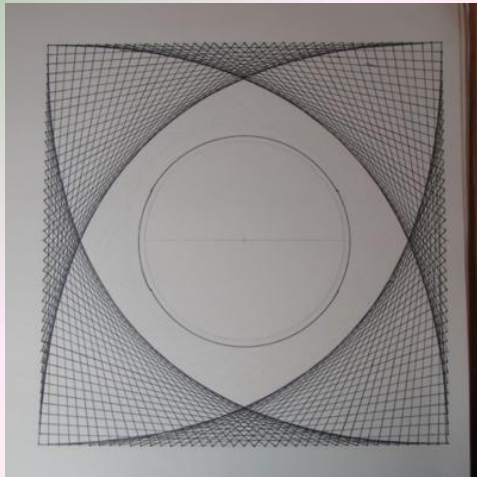
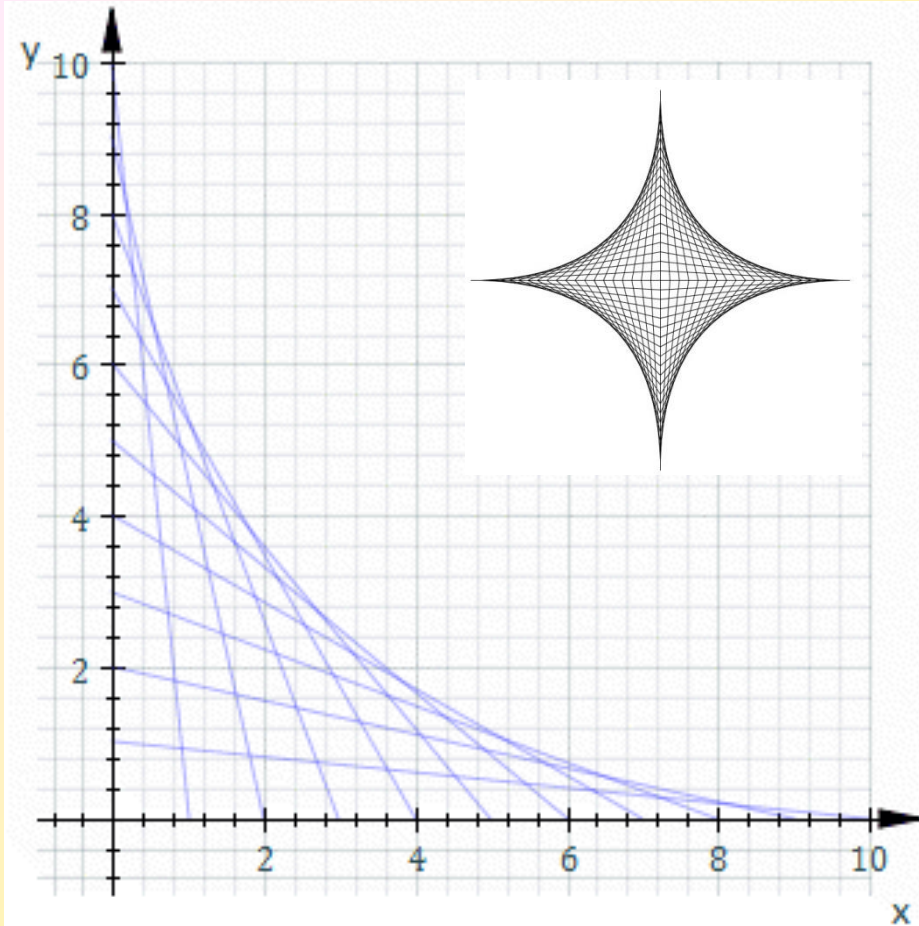
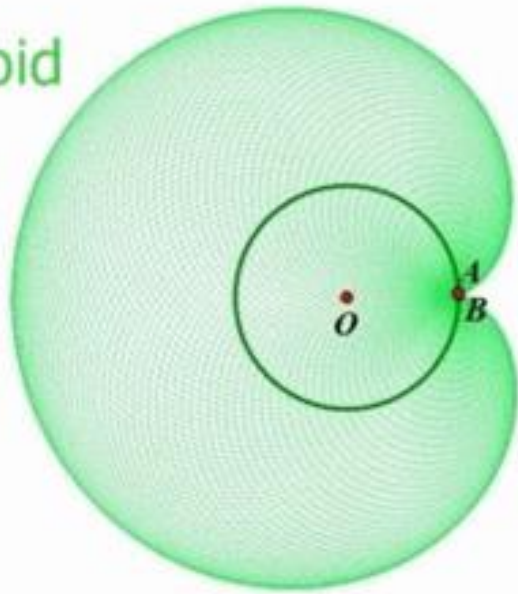
$$f_{\lambda}(x, y, \lambda) = 0$$

$$U(x_0, y_0) = \frac{1}{j\lambda} \iint_{\Sigma} U(x_1, y_1) \frac{e^{jk r_{01}}}{r_{01}} \cos \theta dx_1 dy_1$$



Envolventes. Princípio de Huygens – frentes de onda geométricas

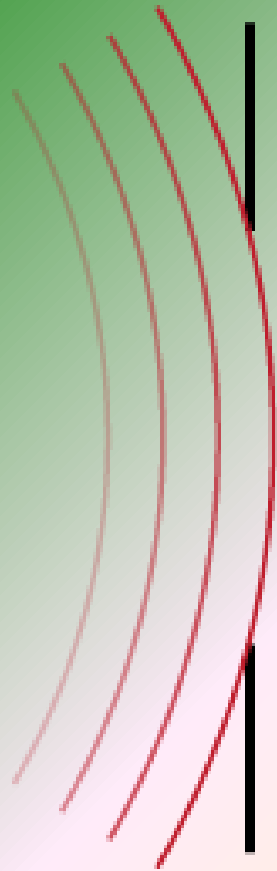
Cardioid



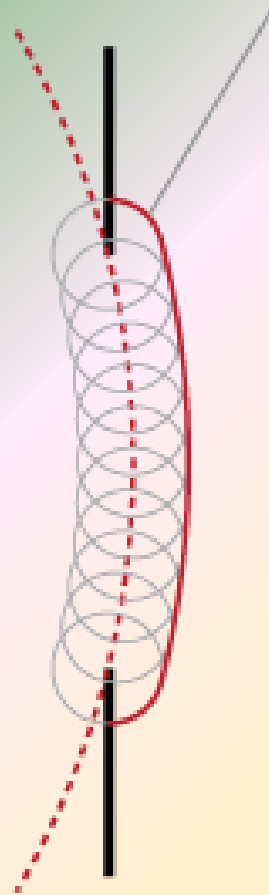
Envolventes. Princípio de Huygens – frentes de onda geométricas

aperture

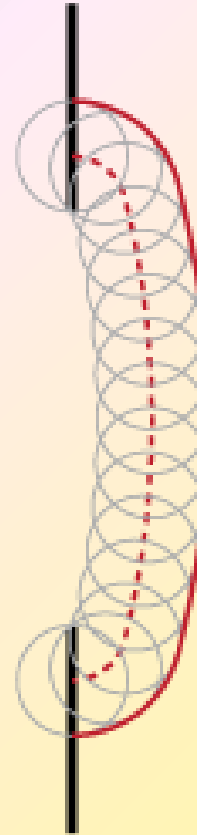
wave front



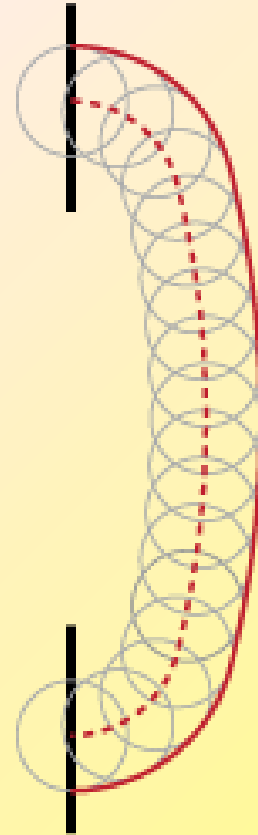
t_0



$t_0 + \frac{\lambda}{c}$

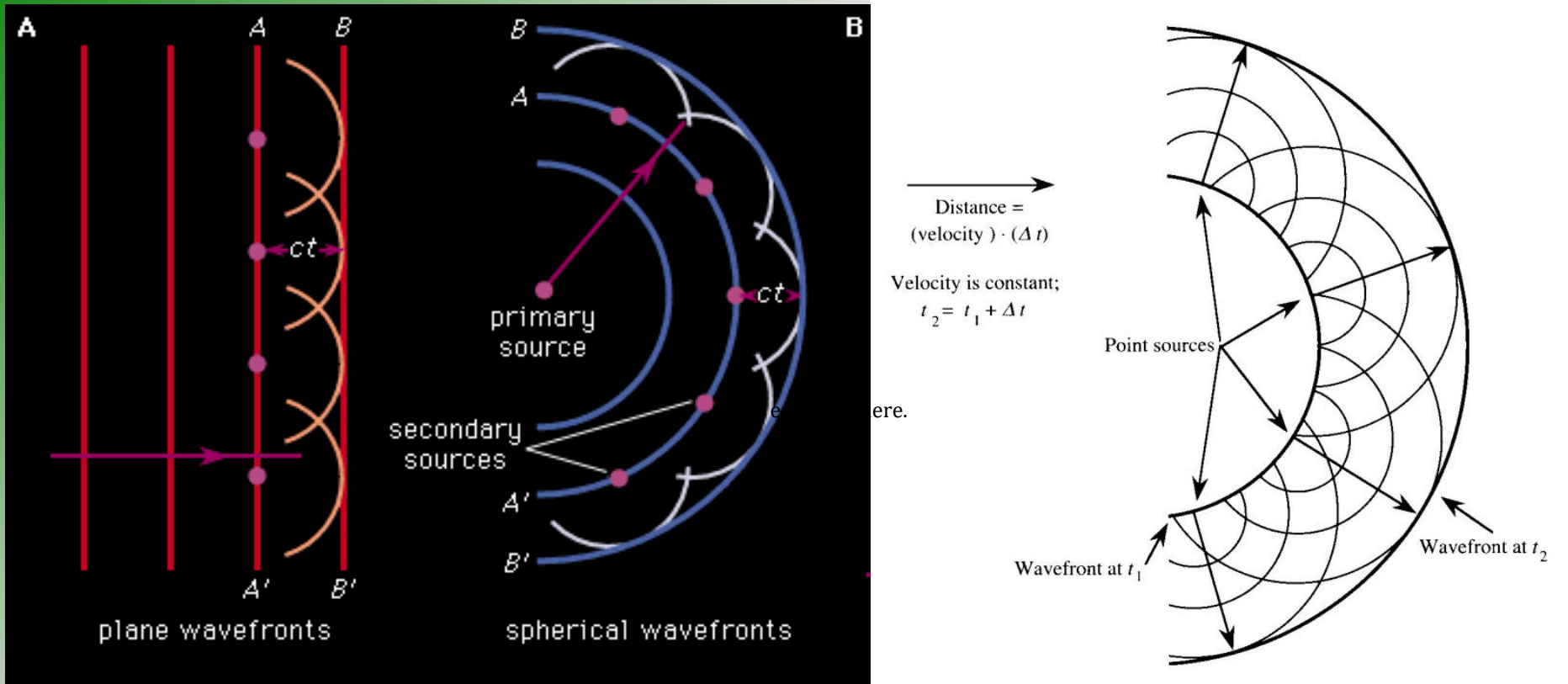


$t_0 + \frac{2\lambda}{c}$



$t_0 + \frac{3\lambda}{c}$

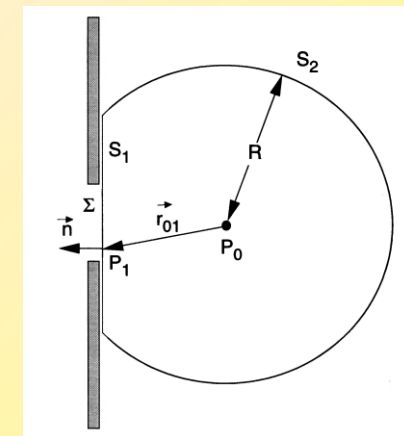
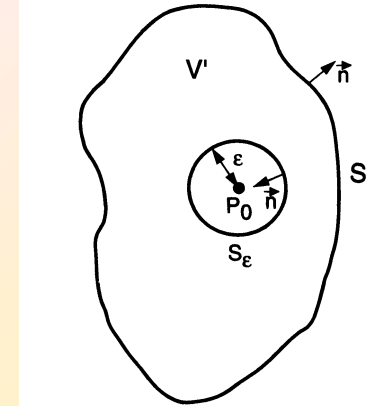
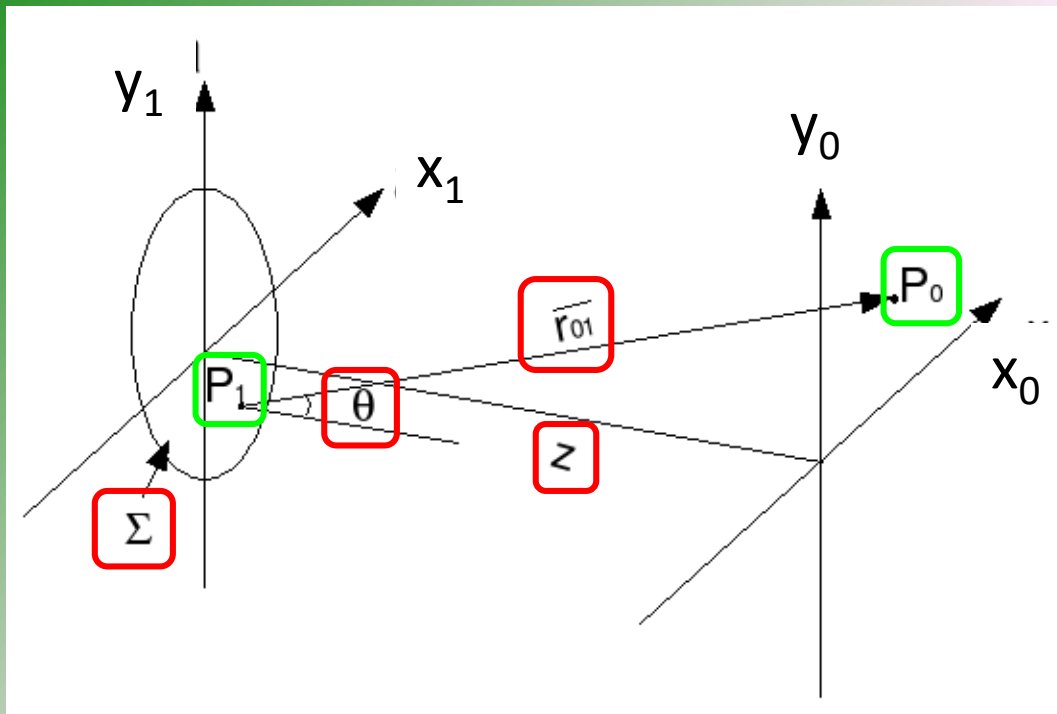
Envolventes. Princípio de Huygens – frentes de onda geométricas



Como se pode reformular o princípio de Huygens, utilizando o conceito de ondas da Óptica Ondulatória, regido pela equação de Ondas e pela Equação de Helmholtz?

Princípio de Huygens-Fresnel – ondas EM

$$(\nabla^2 + k^2)U(\mathbf{r}) = 0$$

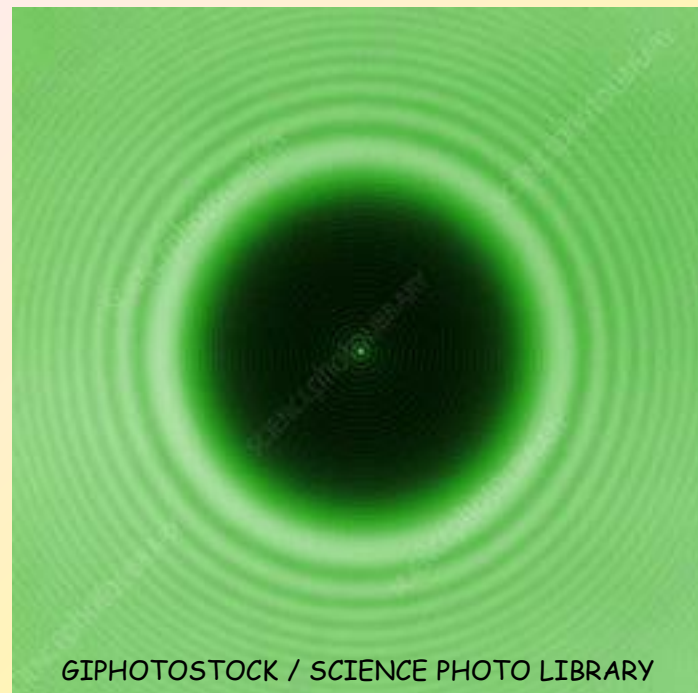
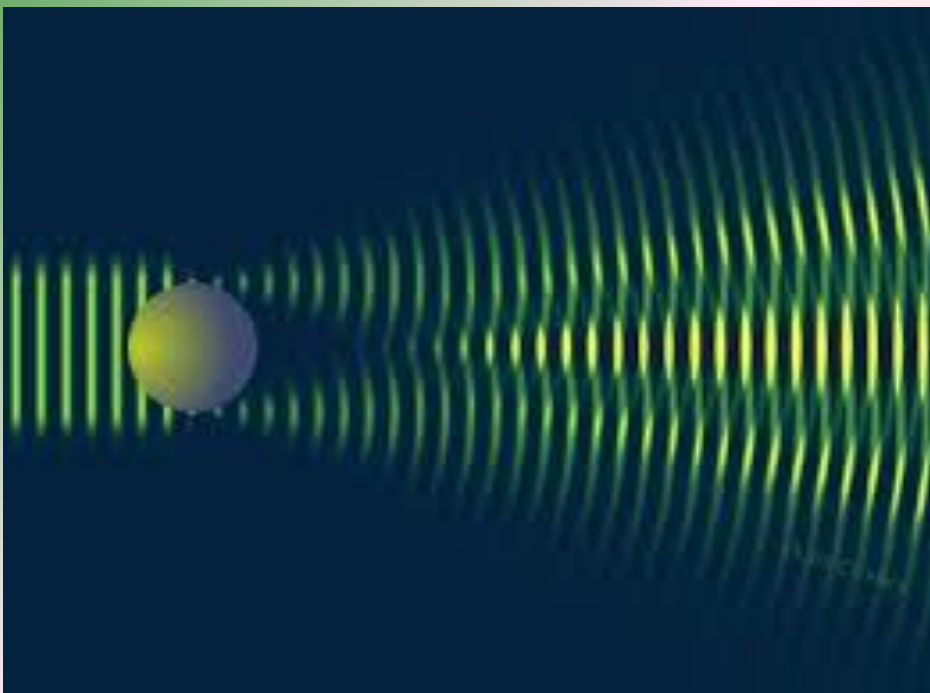


$$U(x_0, y_0) \propto \iint_{\Sigma} U(x_1, y_1) \frac{e^{ikr_{01}}}{r_{01}} dx_1 dy_1$$

$$U(x_0, y_0) = \frac{1}{i\lambda} \iint_{\Sigma} U(x_1, y_1) \frac{e^{ikr_{01}}}{r_{01}} \underline{\underline{\cos\theta}} dx_1 dy_1$$

Princípio de Huygens-Fresnel – ondas EM

$$U(x_0, y_0) = \frac{1}{i\lambda} \iint_{\Sigma} U(x_1, y_1) \frac{e^{ikr_{01}}}{r_{01}} \cos\theta \, dx_1 dy_1$$



$$U_I(P_0) = \frac{1}{j\lambda} \iint_{\Sigma} U(P_1) \frac{\exp(jkr_{01})}{r_{01}} \cos(\vec{n}, \vec{r}_{01}) \, ds$$

Princípio de Huygens-Fresnel

- A 1ª solução de Rayleigh-Sommerfeld

$$U_I(P_0) = \frac{1}{j\lambda} \iint_{\Sigma} U(P_1) \frac{\exp(jkr_{01})}{r_{01}} \cos(\vec{n}, \vec{r}_{01}) ds$$

- pode ser posta na forma de um **integral de sobreposição**, com uma **função impulso h**:

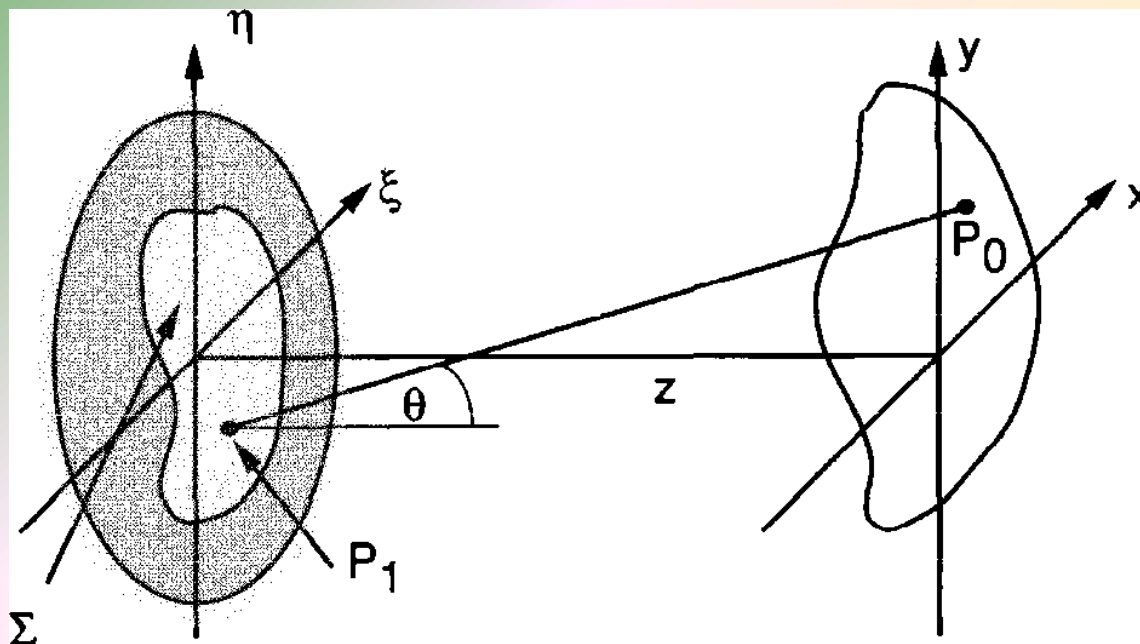
$$U(P_0) = \iint_{\Sigma} h(P_0, P_1) U(P_1) ds,$$

$$h(P_0, P_1) = \frac{1}{j\lambda} \frac{\exp(jkr_{01})}{r_{01}} \cos \theta.$$

- Trata-se de uma teoria **linear**. Será que é também **invariante espacial** (isoplanática), deixando-se descrever sob a forma de **convoluções**?

Princípio de Huygens-Fresnel: coordenadas cartesianas

$$U_I(P_0) = \frac{1}{j\lambda} \iint_{\Sigma} U(P_1) \frac{\exp(jkr_{01})}{r_{01}} \cos(\vec{n}, \vec{r}_{01}) ds$$



$$\cos \theta = \frac{z}{r_{01}}$$

$$r_{01} = \sqrt{z^2 + (x - \xi)^2 + (y - \eta)^2}$$

$$U(x, y) = \frac{z}{j\lambda} \iint_{\Sigma} U(\xi, \eta) \frac{\exp(jkr_{01})}{r_{01}^2} d\xi d\eta,$$

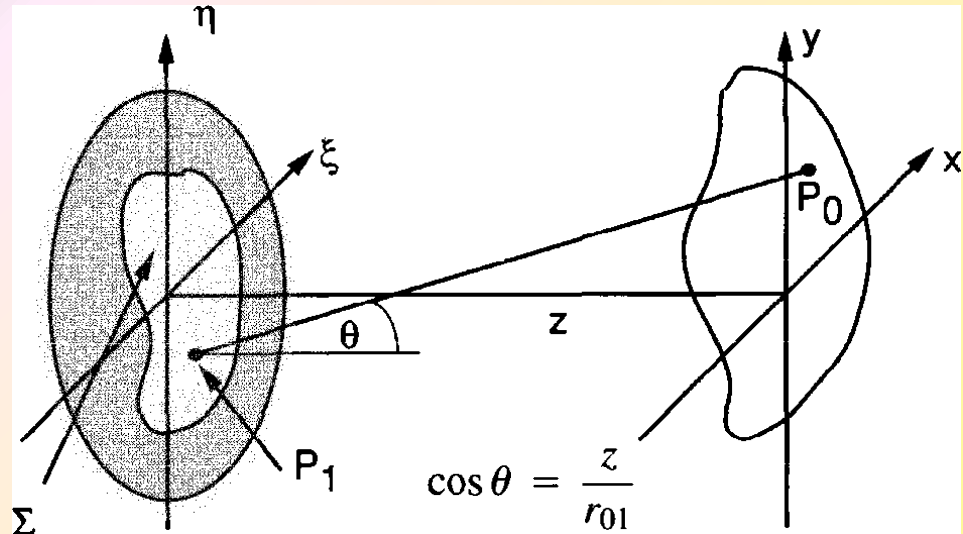
Aproximação de Fresnel

$$U(x, y) = \frac{z}{j\lambda} \iint_{\Sigma} U(\xi, \eta) \frac{\exp(jkr_{01})}{r_{01}^2} d\xi d\eta,$$

- Aproximação binomial para r_{01} :

$$r_{01} = z \sqrt{1 + \left(\frac{x - \xi}{z}\right)^2 + \left(\frac{y - \eta}{z}\right)^2}.$$

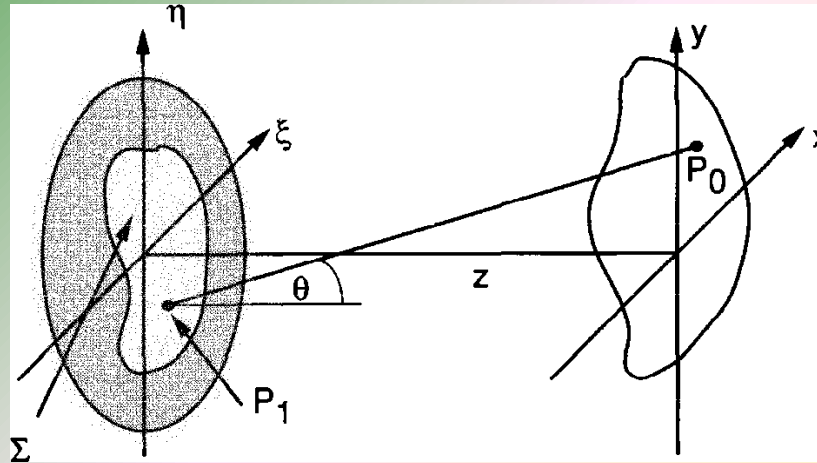
$$r_{01} \approx z \left[1 + \frac{1}{2} \left(\frac{x - \xi}{z}\right)^2 + \frac{1}{2} \left(\frac{y - \eta}{z}\right)^2 \right]$$



- **Denominador:** $r_{01} \sim z$.
- **Expoente:** termos de 2ª ordem, pois $k=2\pi/\lambda$ é muito grande, em geral:

$$U(x, y) = \frac{e^{jkz}}{j\lambda z} \iint_{-\infty}^{\infty} U(\xi, \eta) \exp\left\{ j \frac{k}{2z} [(x - \xi)^2 + (y - \eta)^2] \right\} d\xi d\eta.$$

Aproximação de Fresnel: validade



- 1º termo desprezado na aproximação binomial:

$$\sqrt{1+b} = 1 + \frac{1}{2}b - \frac{1}{8}b^2 + \dots, \quad b = \frac{1}{z^2} [(x - \xi)^2 + (y - \eta)^2]$$

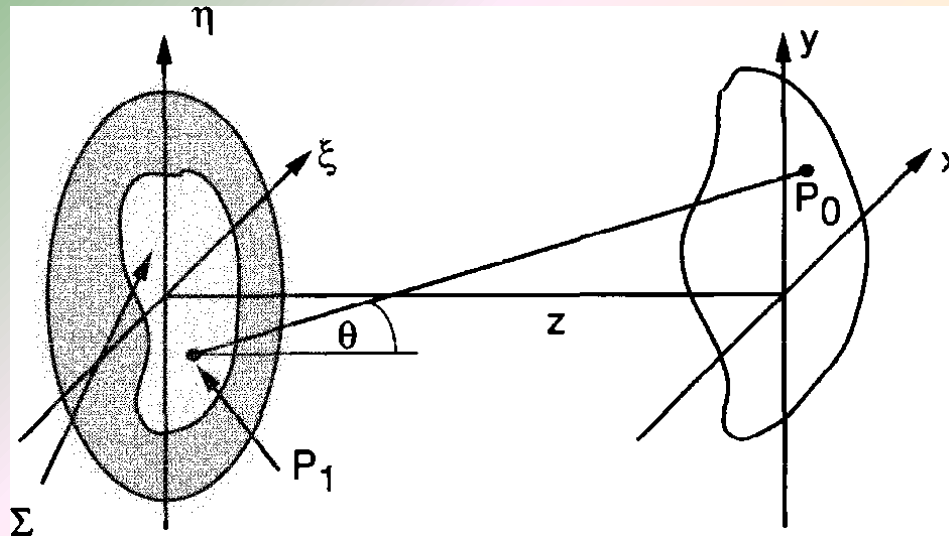
- 1º termo desprezado na **fase**: $kz \frac{b^2}{8}$

- O erro na fase deve ser sempre **<< 1rad** (tomando a distância máxima entre os pontos de observação e os ponto da abertura):

$$z^3 \gg \frac{\pi}{4\lambda} [(x - \xi)^2 + (y - \eta)^2]_{\max}^2$$

Aproximação de Fresnel

$$U(x, y) = \frac{e^{jkz}}{j\lambda z} \iint_{-\infty}^{\infty} U(\xi, \eta) \exp\left\{j\frac{k}{2z} [(x - \xi)^2 + (y - \eta)^2]\right\} d\xi d\eta$$



$h(x,y)$ - Ondas esféricas na aproximação paraboloidal

$$U(x, y) = \iint_{-\infty}^{\infty} U(\xi, \eta) h(x - \xi, y - \eta) d\xi d\eta$$

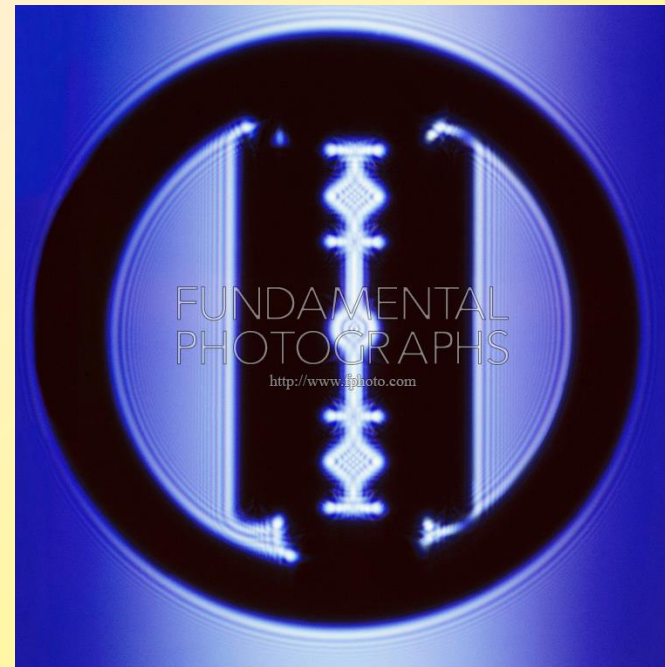
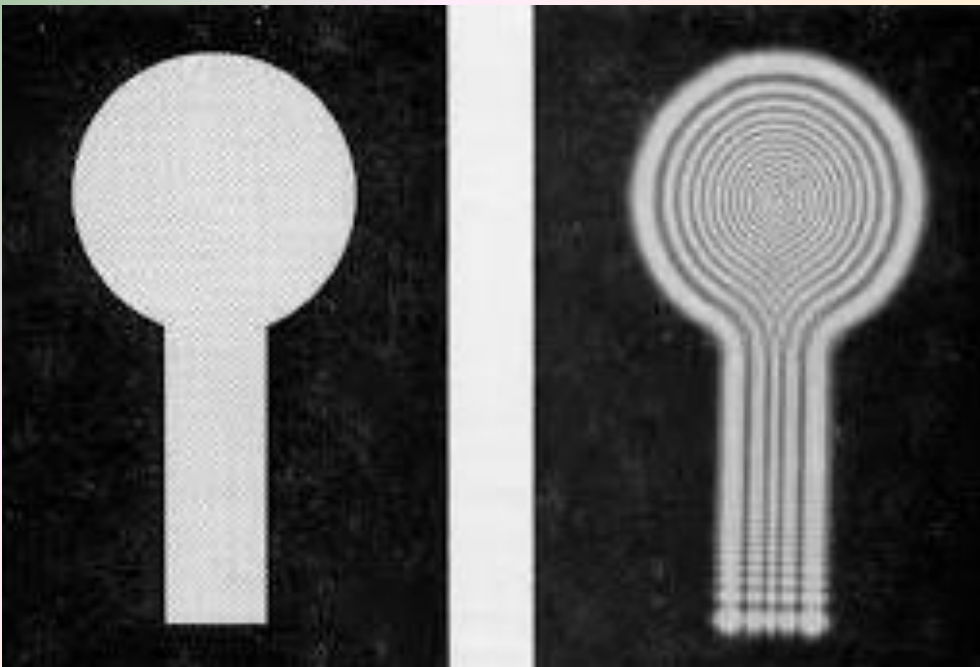
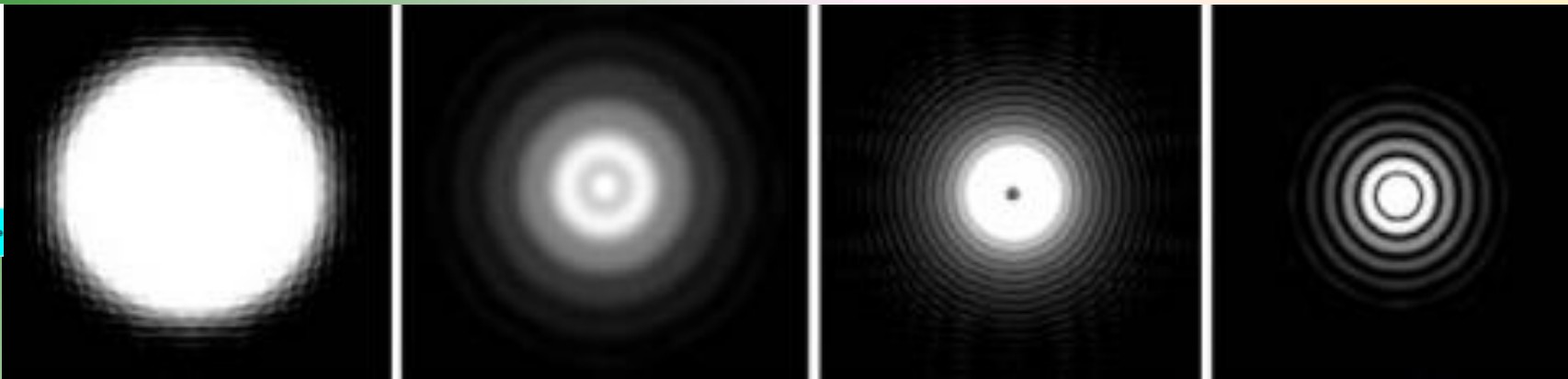
$$h(x, y) = \frac{e^{jkz}}{j\lambda z} \exp\left[\frac{jk}{2z} (x^2 + y^2)\right]$$

$$U(x, y) = \frac{e^{jkz}}{j\lambda z} e^{j\frac{k}{2z}(x^2+y^2)} \iint_{-\infty}^{\infty} \left\{ U(\xi, \eta) e^{j\frac{k}{2z}(\xi^2+\eta^2)} \right\} e^{-j\frac{2\pi}{\lambda z}(x\xi+y\eta)} d\xi d\eta$$

Difracção: Fresnel

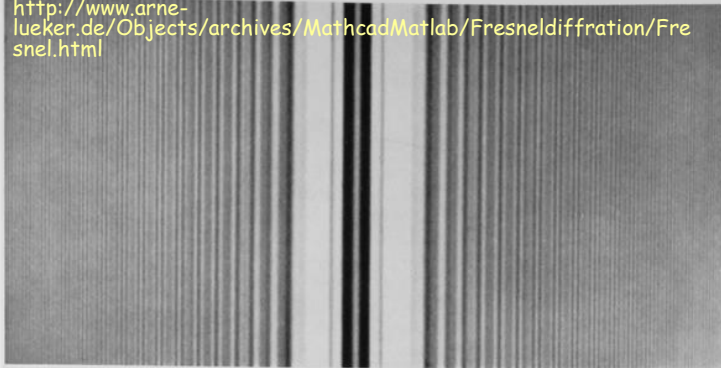


Augustin Jean Fresnel (1788-1827).
Made contributions to transverse nature
of light and diffraction theory

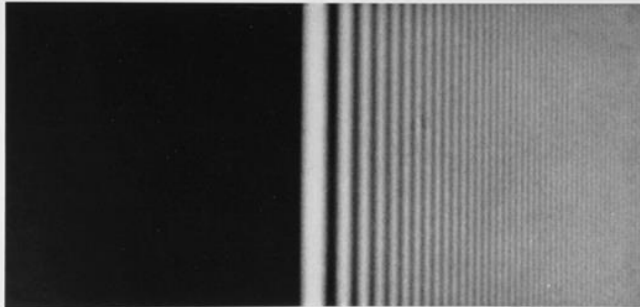


Difracção: Fresnel

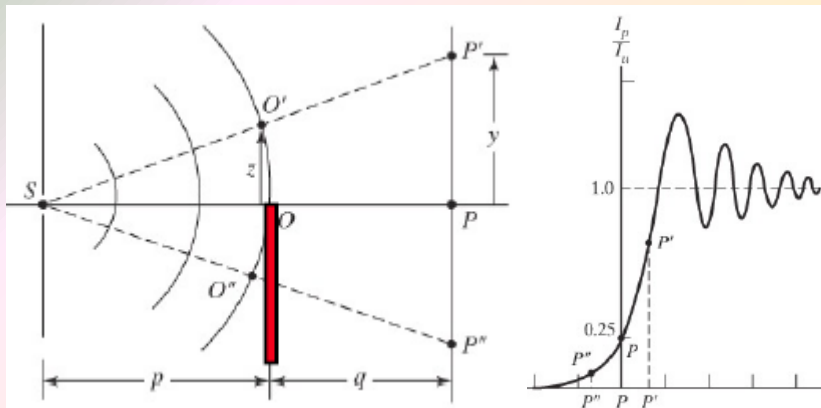
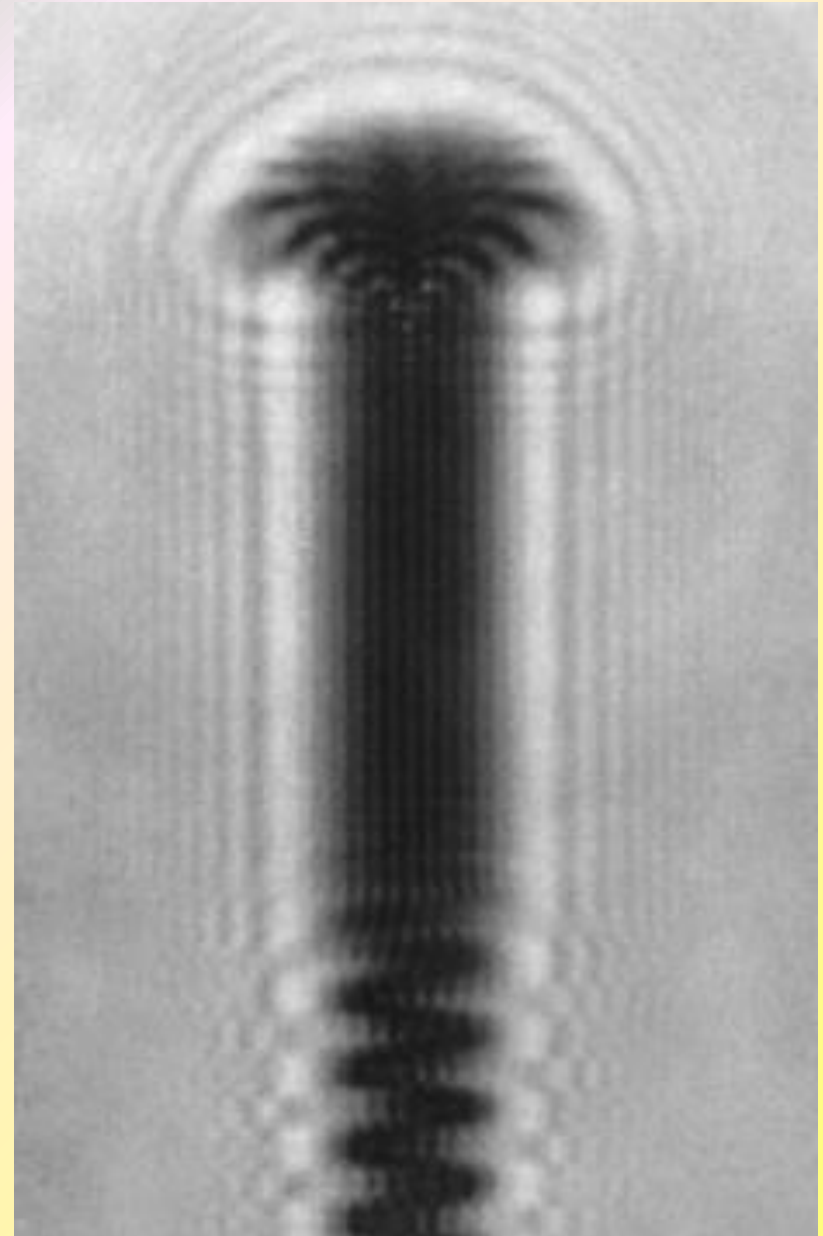
<http://www.arne-lueker.de/Objects/archives/MathcadMatlab/FresnelDiffraction/Fresnel.html>



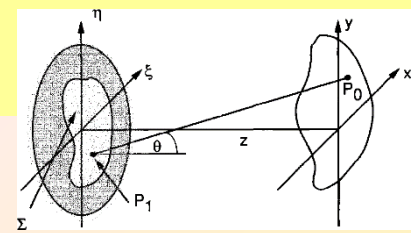
Schatten eines Drahtes • Ombre d'un fil • The shadow of a fine wire



Beugungstreifen an der Kante eines Schirmes • Franges du bord d'un écran • Diffraction fringes from a straight edge



Aproximação de Fraunhofer



Aproximação de Fresnel:

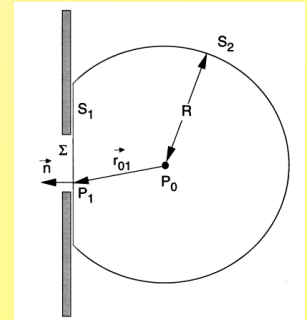
$$U(x, y) = \frac{e^{jkz}}{j\lambda z} e^{j\frac{k}{2z}(x^2+y^2)} \iint_{-\infty}^{\infty} \left\{ U(\xi, \eta) e^{j\frac{k}{2z}(\xi^2+\eta^2)} \right\} e^{-j\frac{2\pi}{\lambda z}(x\xi+y\eta)} d\xi d\eta.$$

Quando se poderá desprezar o termo quadrático $e^{j\frac{k}{2z}(\xi^2+\eta^2)}$?

Basta que $z \gg \frac{k(\xi^2 + \eta^2)_{\max}}{2}$ para que o termo quadrático seja ~ 1 em Σ :

$$U(x, y) = \frac{e^{jkz} e^{j\frac{k}{2z}(x^2+y^2)}}{j\lambda z} \iint_{-\infty}^{\infty} U(\xi, \eta) \exp \left[-j\frac{2\pi}{\lambda z}(x\xi + y\eta) \right] d\xi d\eta.$$

A integração é em **todo o plano** 2D, em $z=0^+$, mesmo que o objecto difractante seja **finito** – neste caso, $U(\xi, \eta) = 0$ fora do objecto...



Aproximação de Fraunhofer

$$U(x, y) = \frac{e^{jkz} e^{j\frac{k}{2z}(x^2+y^2)}}{j\lambda z} \iint_{-\infty}^{\infty} U(\xi, \eta) \exp\left[-j\frac{2\pi}{\lambda z}(x\xi + y\eta)\right] d\xi d\eta.$$

- A amplitude complexa em (x, y) , no plano de observação, é proporcional à Transformada de ********* (TF) do campo para as frequências espaciais:

$$\begin{aligned} f_x &= x/\lambda z \\ f_y &= y/\lambda z \end{aligned}$$

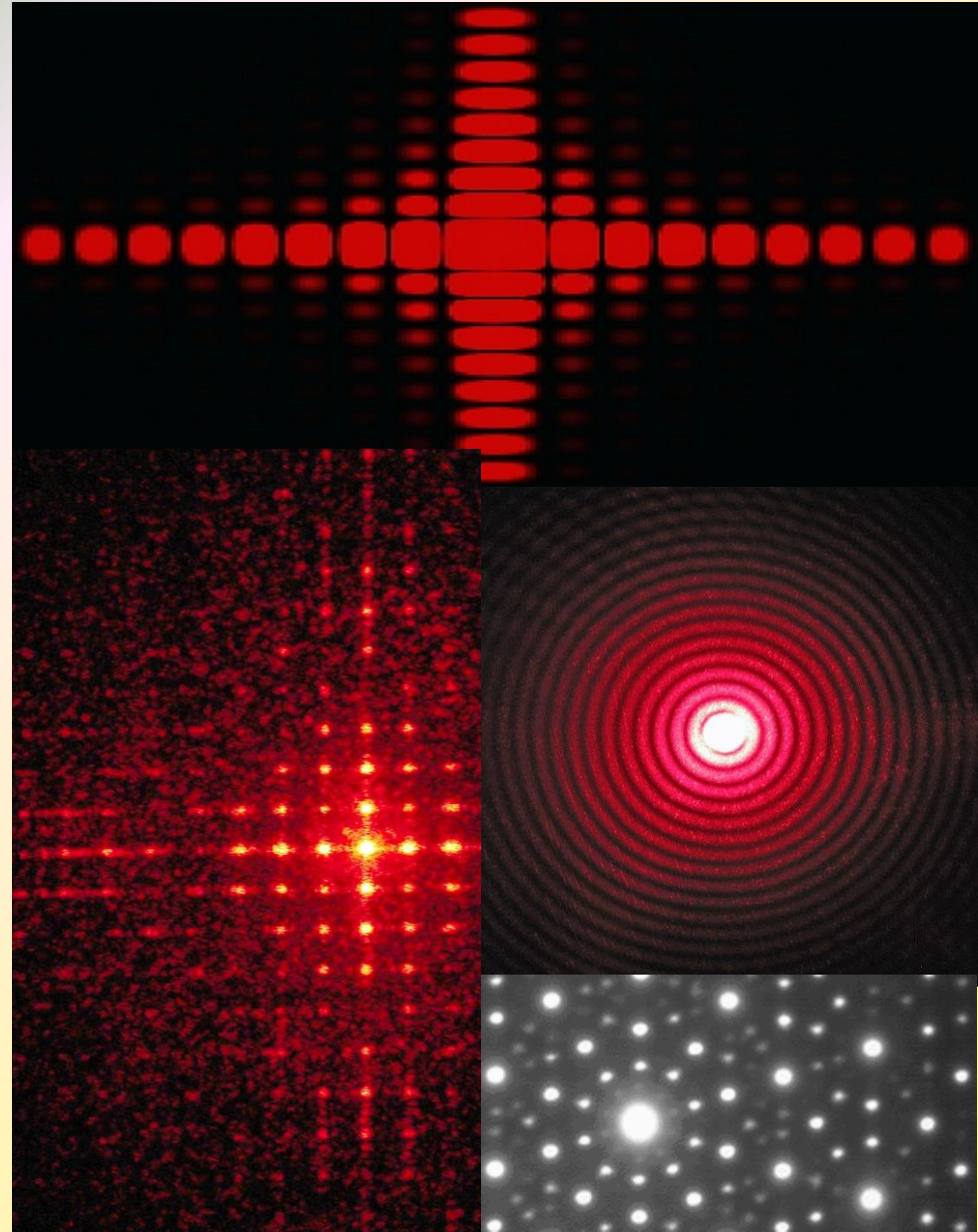
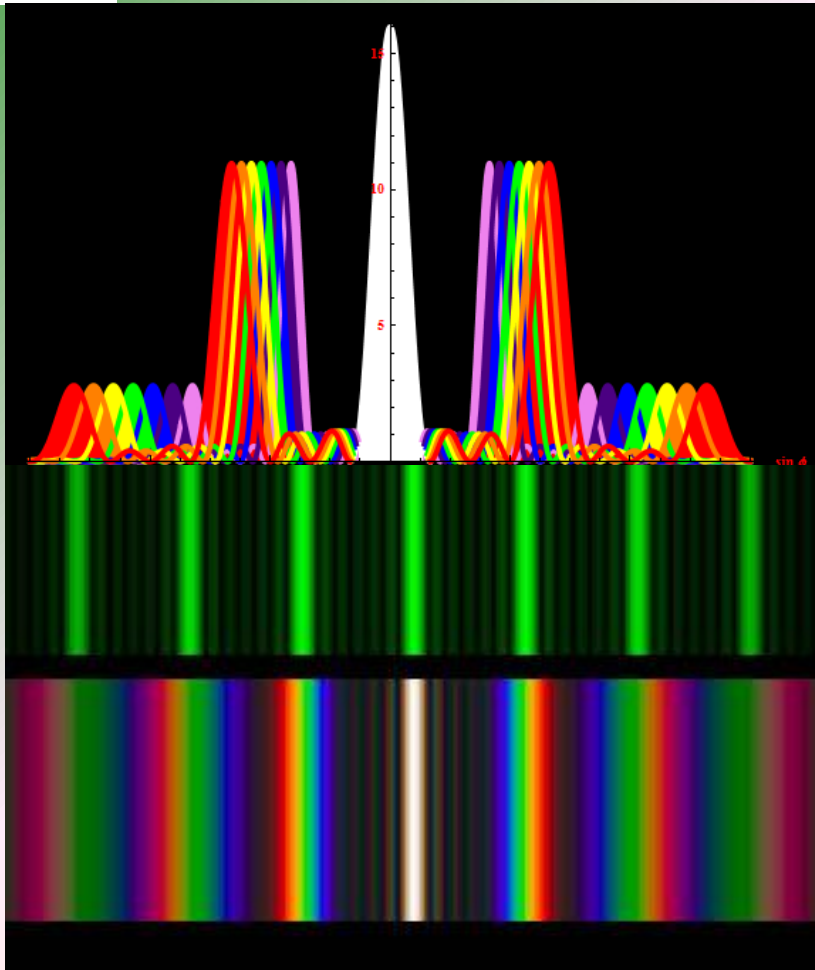
- A aproximação de Fraunhofer pode exigir distâncias consideráveis. Todavia, a aproximação é válida se:
 - A abertura for iluminada por uma onda convergente para o plano que contém P_0 ;
 - Em iluminação paralela, for inserida uma lente positiva de **distância focal f** entre a abertura e o observador. Basta fazer nas equações: **$z \rightarrow f$**

Difracção: Fraunhofer

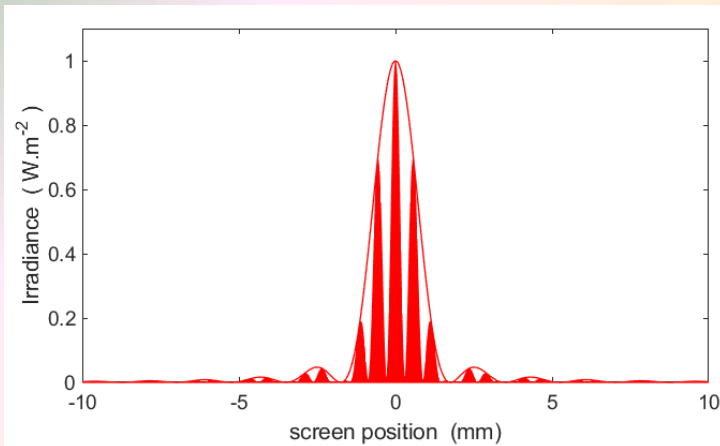
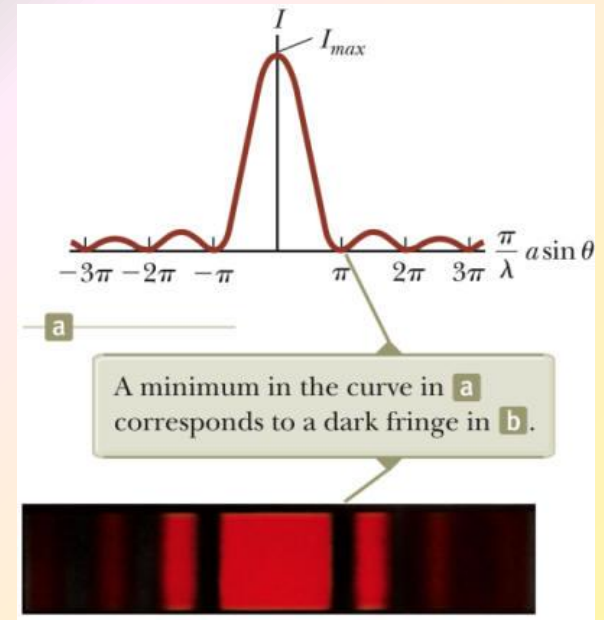
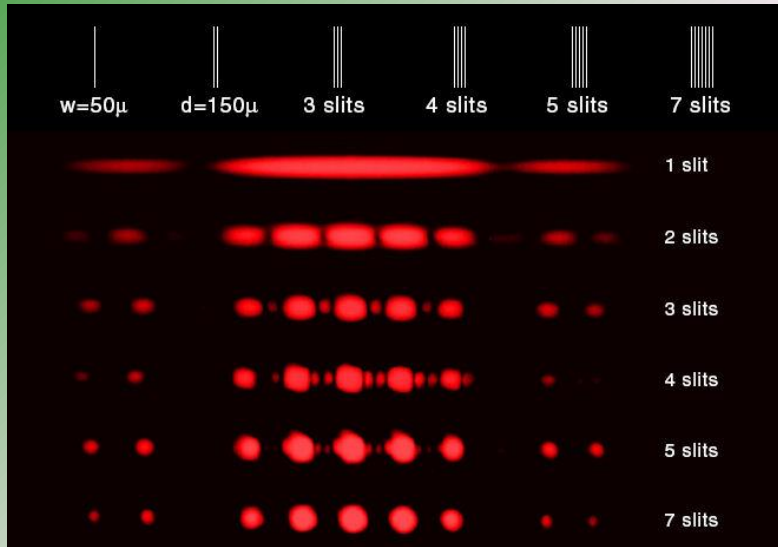


Josef von Fraunhofer (1787-1826)
Developed diffraction gratings and
increased understanding of diffraction

1 Fenda rectangular

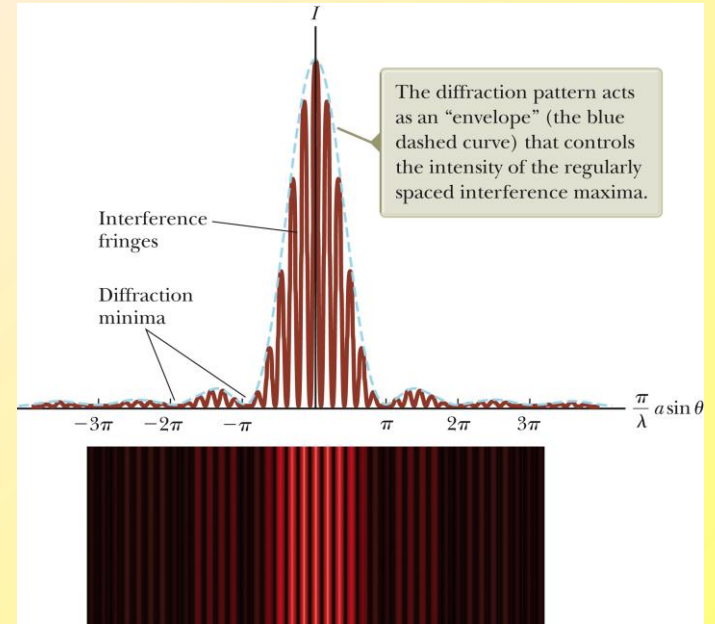


Difracção: Fraunhofer - fendas

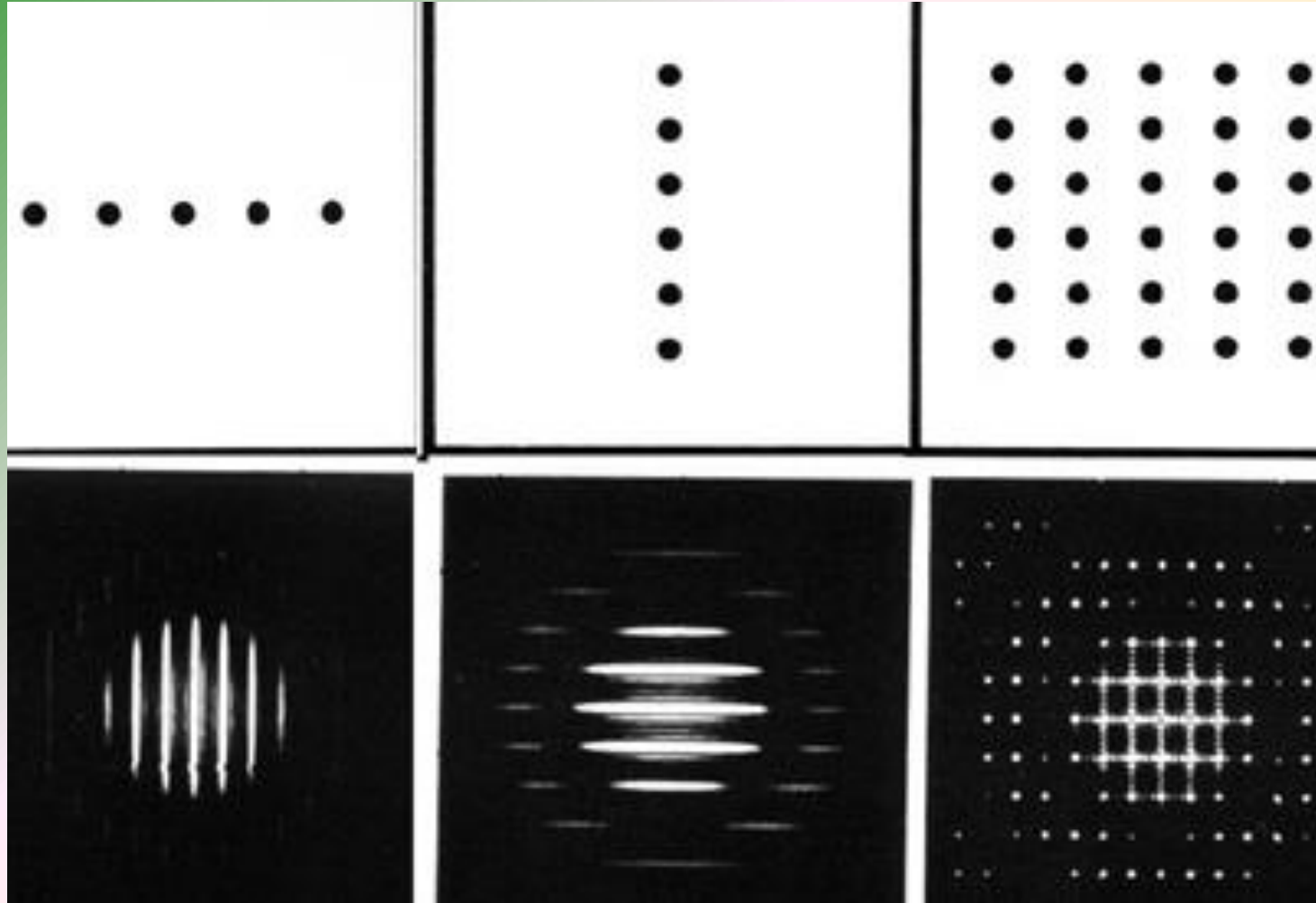


Double Slit

$\lambda = 7.0e-07$ m $b = 4.0e-04$ m $a = 1.2e-03$ m $a/b = 3.0$ $D = 1.0$ m



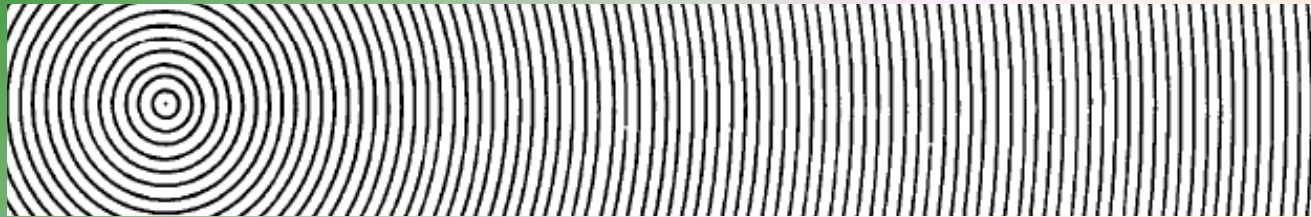
Difracção: Fraunhofer – redes



Difracção: Regimes

CAMPO PRÓXIMO

Integração das equações de Maxwell



CAMPO INTERMÉDIO – APROXIMAÇÃO DE FRESNEL

Ondas esféricas aproximadas por ondas **paraboloidais**

Matemática: transformada de Fresnel

A **forma** do padrão de difracção varia com a distância

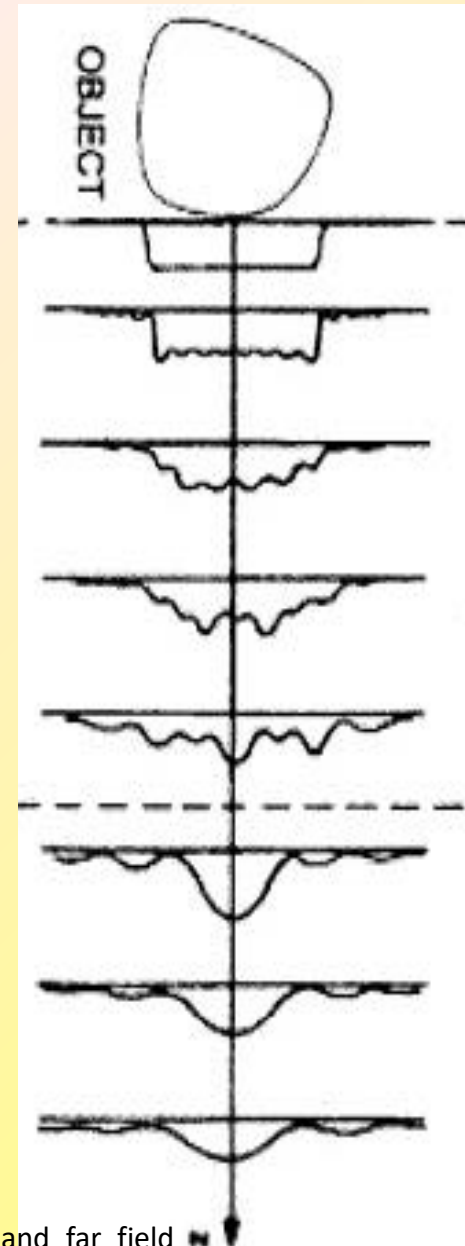
CAMPO LONGÍNQUO – APROXIMAÇÃO DE FRAUNHOFER

Ondas esféricas aproximadas por ondas **planas**

Matemática: transformada de **Fourier**

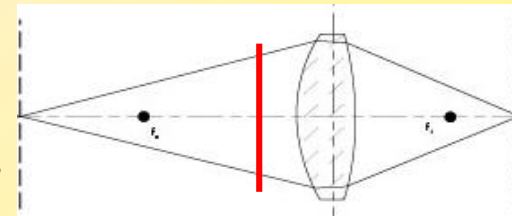
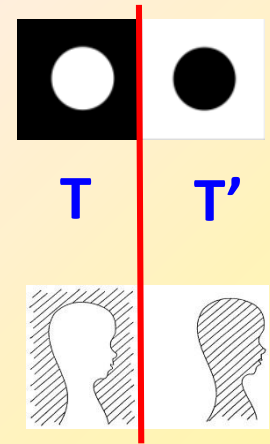
Padrão observável no plano focal imagem de uma lente (f)

Forma do padrão **não** varia, e **escala** com $\lambda z/D$ ou $\lambda f/D$



Difracção: Princípio de Babinet

- O padrão de difracção de um objecto opaco, T , e do seu complementar, T' , são idênticos.
- A soma dos dois campos difractados por $T+T'$, deve ser igual ao campo associado ao feixe não perturbado por nenhum deles.
- Em pontos do campo iluminante em que $E_{\text{total}} = 0$, os campos devidos a T e a T' devem ser simétricos, pois $E_{\text{total}} = E_T + E_{T'} = 0$.
- Nesses casos, $E_T = -E_{T'}$ e as irradiâncias são iguais: $I_T = I_{T'}$. Os padrões de difracção são idênticos!
- Como implementar $E_{\text{total}} = 0$? Para objectos inseridos algures no sistema óptico se a observação dos padrões de difracção for feita **fora da imagem da fonte pontual**, a condição anterior é cumprida.



Propriedades da Transformada de Fourier

Definições:

$$\mathcal{F}\{g\} = \iint_{-\infty}^{\infty} g(x, y) \exp[-j2\pi(f_x x + f_y y)] dx dy$$

$$\mathcal{F}^{-1}\{G\} = \iint_{-\infty}^{\infty} G(f_x, f_y) \exp[j2\pi(f_x x + f_y y)] df_x df_y$$

Dupla transformação:

$$\mathcal{F}\mathcal{F}^{-1}\{g(x, y)\} = \mathcal{F}^{-1}\mathcal{F}\{g(x, y)\} = g(x, y)$$

Linearidade:

$$\mathcal{F}\{\alpha g + \beta h\} = \alpha \mathcal{F}\{g\} + \beta \mathcal{F}\{h\}$$

Translação:

$$\mathcal{F}\{g(x - a, y - b)\} = G(f_x, f_y) \exp[-j2\pi(f_x a + f_y b)]$$

Escala:

$$\mathcal{F}\{g(ax, by)\} = \frac{1}{|ab|} G\left(\frac{f_x}{a}, \frac{f_y}{b}\right)$$

Energia / T. Parseval

$$\iint_{-\infty}^{\infty} |g(x, y)|^2 dx dy = \iint_{-\infty}^{\infty} |G(f_x, f_y)|^2 df_x df_y$$

Propriedades da Transformada de Fourier

Convolução:

$$f(x,y) = g ** h = \iint_{-\infty}^{\infty} g(\xi, \eta) h(x - \xi, y - \eta) d\xi d\eta$$

TF da convolução:

$$\mathcal{F}(f_{x,y}) = \mathcal{F} \left\{ \iint_{-\infty}^{\infty} g(\xi, \eta) h(x - \xi, y - \eta) d\xi d\eta \right\} = G(f_x, f_y) H(f_x, f_y)$$

TF de um produto:

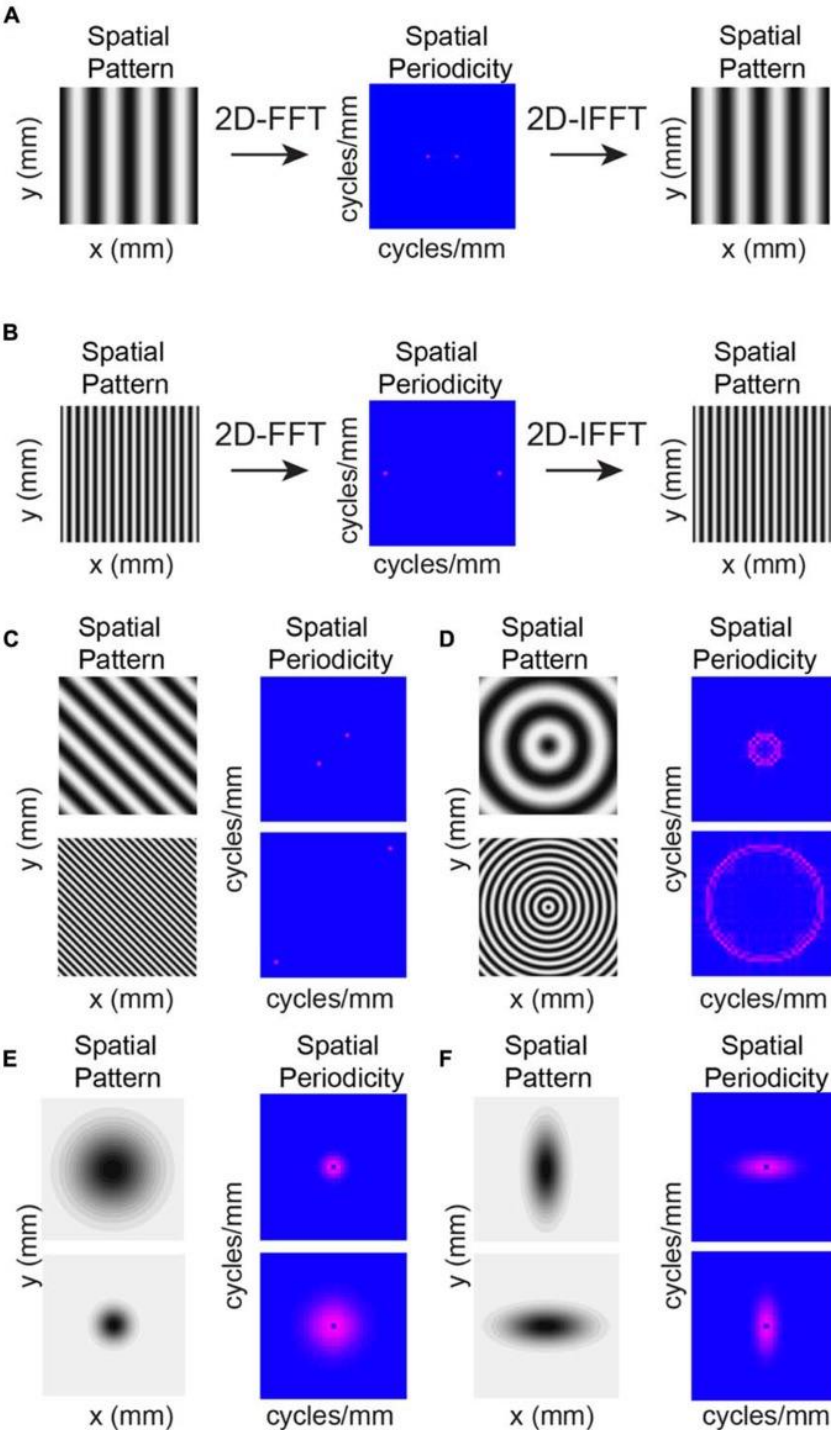
$$\mathcal{F}\{f(x,y)\} = \mathcal{F}\{g \times h\} = G(f_x, f_y) ** H(f_x, f_y)$$

Elemento neutro da convolução: $\delta(\xi, \eta)$

$$\delta ** g = g ** \delta = g$$

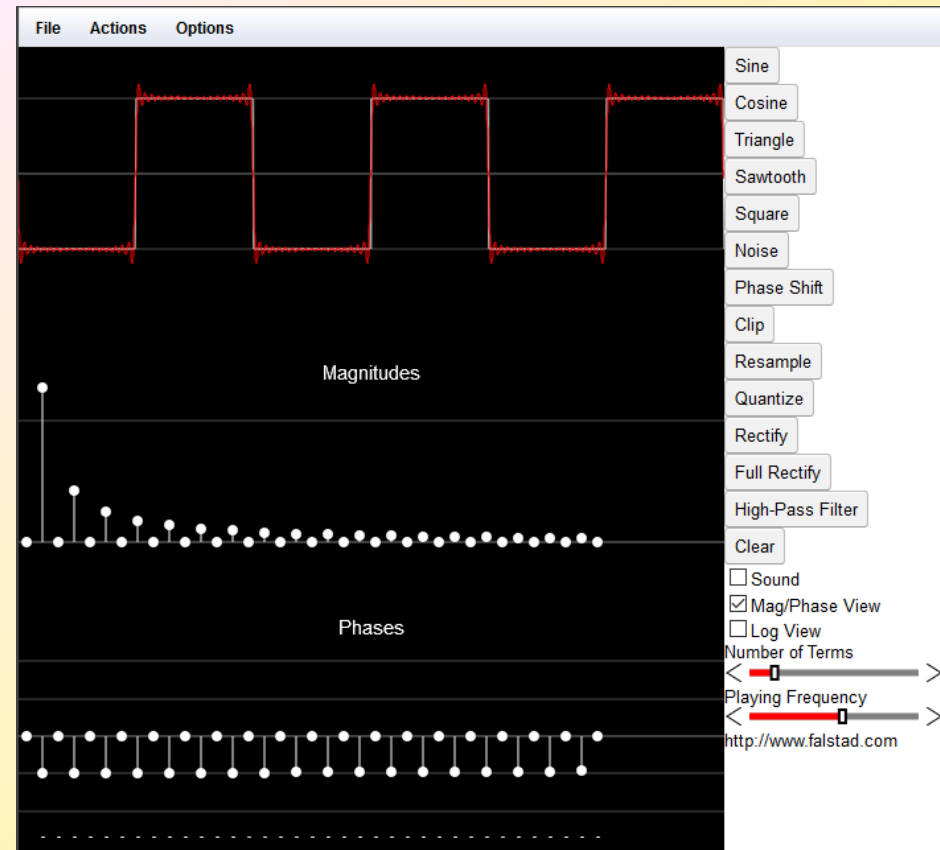
Análise e Síntese de Fourier

https://www.researchgate.net/figure/Example-2D-Fourier-Analysis-FFT-images-demonstrate-conversion-from-space-to-spatial_fig5_260999966



Significado físico da TF 2D

<http://fourier.eng.hmc.edu/e161/lectures/fourier/node10.html>



Análise e síntese de Fourier (1D)

<http://www.falstad.com/fourier/>

Significado físico da TF 2-D

<http://fourier.eng.hmc.edu/e161/lectures/fourier/node10.html>

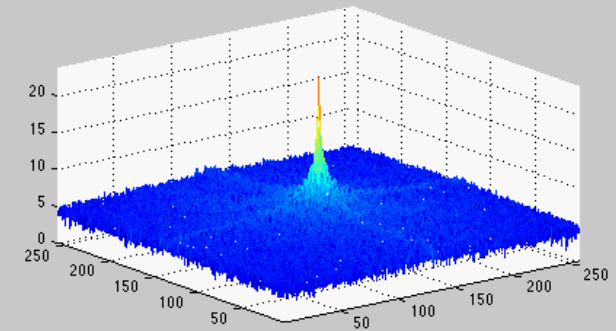
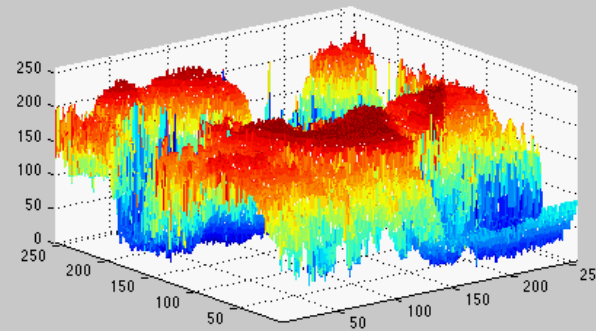
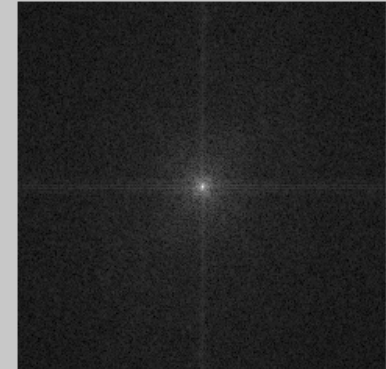
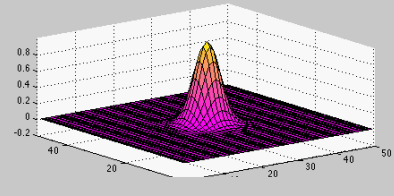
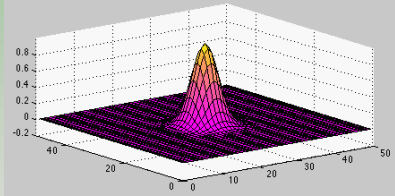
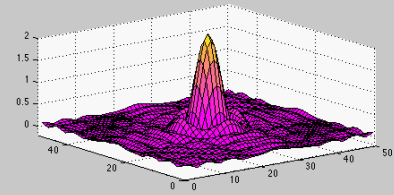
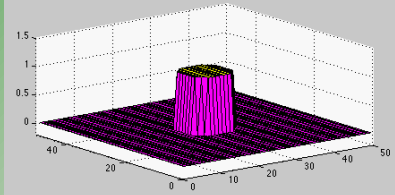
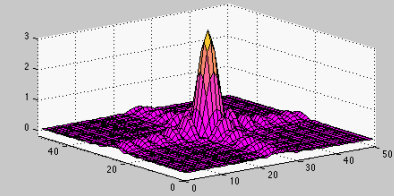
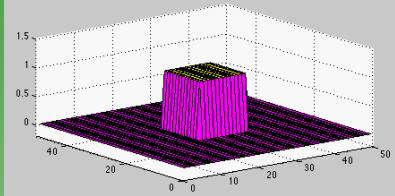
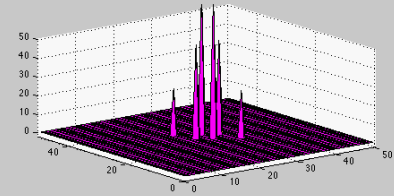
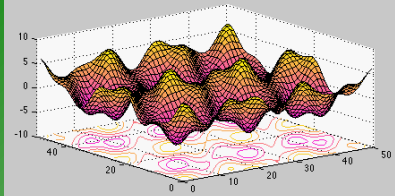
$$f(x, y) = \int \int_{-\infty}^{\infty} F(u, v) e^{j2\pi(xu+yv)} du dv$$

$$|F(u, v)| = \sqrt{F_r(u, v)^2 + F_j(u, v)^2}$$

$$\angle F(u, v) = \tan^{-1}(F_j(u, v)/F_r(u, v))$$

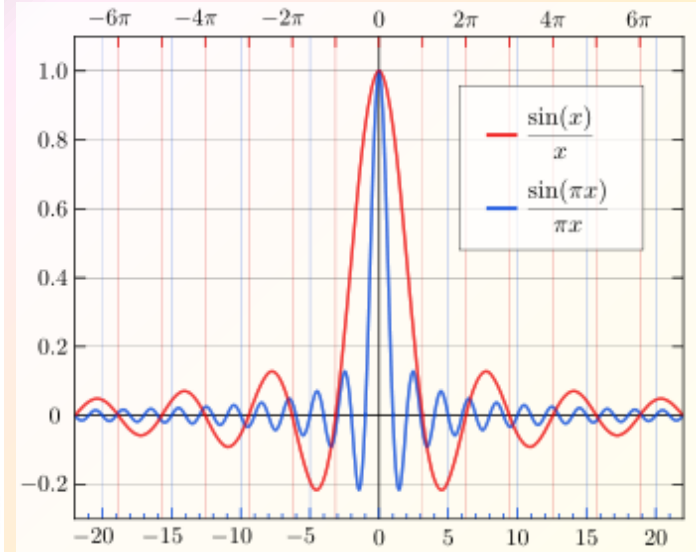
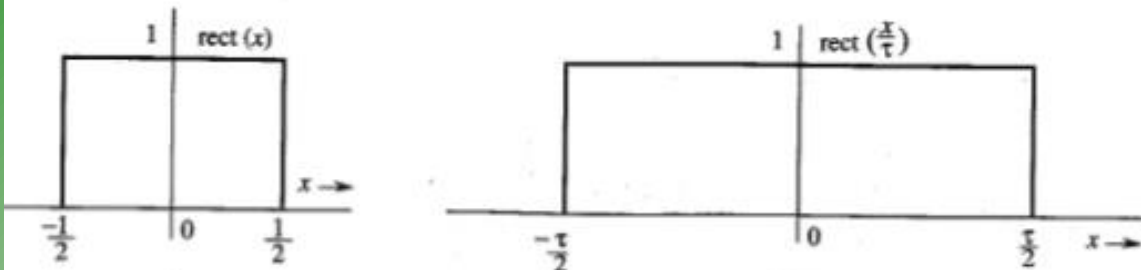
$$w = \sqrt{u^2 + v^2}$$

$$\theta = \tan^{-1}(v/u)$$



Funções úteis da óptica: rectângulo, sinc

$$\Pi\left(\frac{x}{\tau}\right) = \text{rect}\left(\frac{x}{\tau}\right) = \begin{cases} 0, & |x| > \frac{\tau}{2} \\ \frac{1}{2}, & |x| = \frac{\tau}{2} \\ 1, & |x| < \frac{\tau}{2} \end{cases}$$

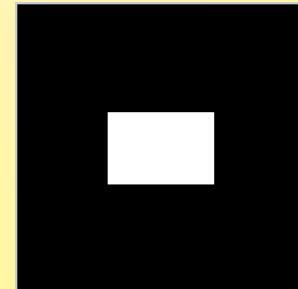


A TF do $\text{rect}(x)$ é a função **Seno Cardinal**, sinc:

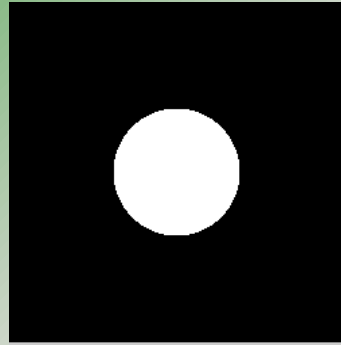
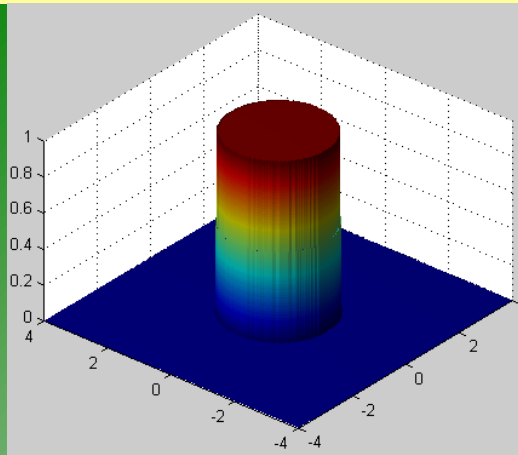
$$\text{sinc}(x) = \frac{\sin(\pi x)}{\pi x}$$

Um rectângulo 2D é um produto de rect 1D:

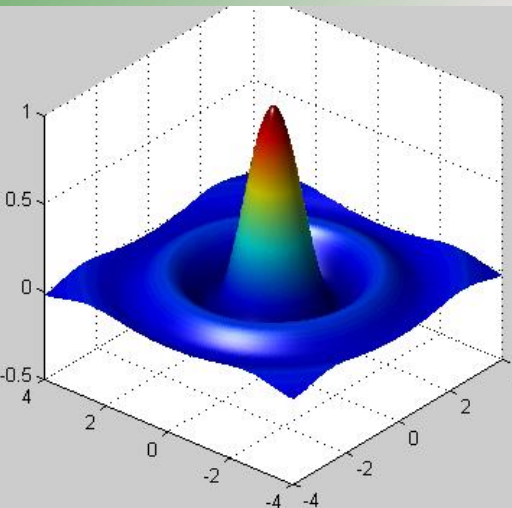
$$\text{rect}(ax) \text{rect}(by) = \frac{1}{|ab|} \text{sinc}(f_x/a) \text{sinc}(f_y/b)$$



Funções úteis da óptica: cilindro (*circ*), *somb*



$$\text{circ}(r) = \begin{cases} 1 & r < 1 \\ \frac{1}{2} & r = 1 \\ 0 & \text{otherwise} \end{cases}$$



A Transformada de Fourier em coordenadas esféricas (ρ, ϕ), para funções simétricas, é conhecida como transformada de **Fourier-Bessel**. Para a função *circ*:

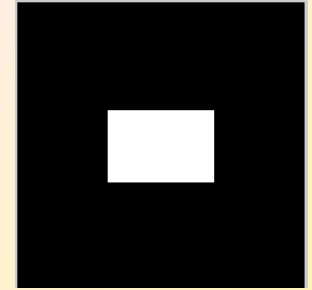
$$\mathcal{B}\{\text{circ}(r)\} = \frac{1}{2\pi\rho^2} \int_0^{2\pi\rho} r' J_0(r') dr' = \frac{J_1(2\pi\rho)}{\rho}$$

A TF de um circ tem a forma de um chapéu mexicano (**Sombrero, *somb***)

Difracção de Fraunhofer: abertura rectangular

- Abertura, no plano $z = 0$:

$$t_A(\xi, \eta) = \text{rect}\left(\frac{\xi}{2w_X}\right) \text{rect}\left(\frac{\eta}{2w_Y}\right)$$



$$A = 4w_X w_Y$$

- Iluminação: onda plana ao longo de Oz: $U_i(\xi, \eta) = 1$.

- Imediatamente **depois** da abertura: $U(\xi, \eta) = 1 \cdot t_A(\xi, \eta)$

- Campo no infinito:

$$U(x, y) = \frac{e^{jkz} e^{j\frac{k}{2z}(x^2+y^2)}}{j\lambda z} \mathcal{F}\{U(\xi, \eta)\} \Bigg|_{\substack{f_X = x/\lambda z \\ f_Y = y/\lambda z}}$$

- TF:

$$\mathcal{F}\{U(\xi, \eta)\} = A \text{sinc}(2w_X f_X) \text{sinc}(2w_Y f_Y)$$

- Campo no infinito:

$$U(x, y) = \frac{e^{jkz} e^{j\frac{k}{2z}(x^2+y^2)}}{j\lambda z} A \text{sinc}\left(\frac{2w_X x}{\lambda z}\right) \text{sinc}\left(\frac{2w_Y y}{\lambda z}\right)$$

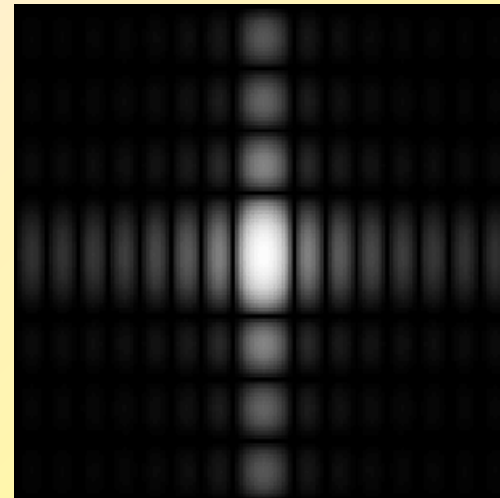
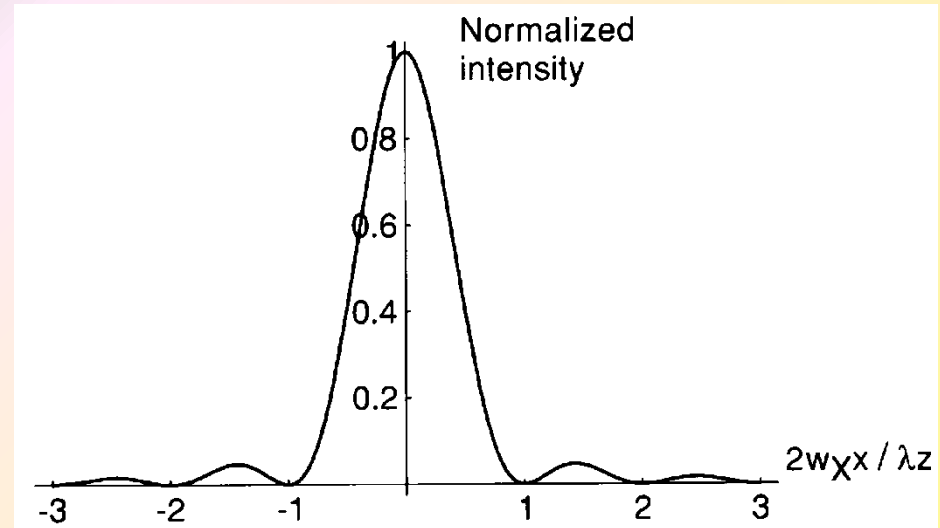
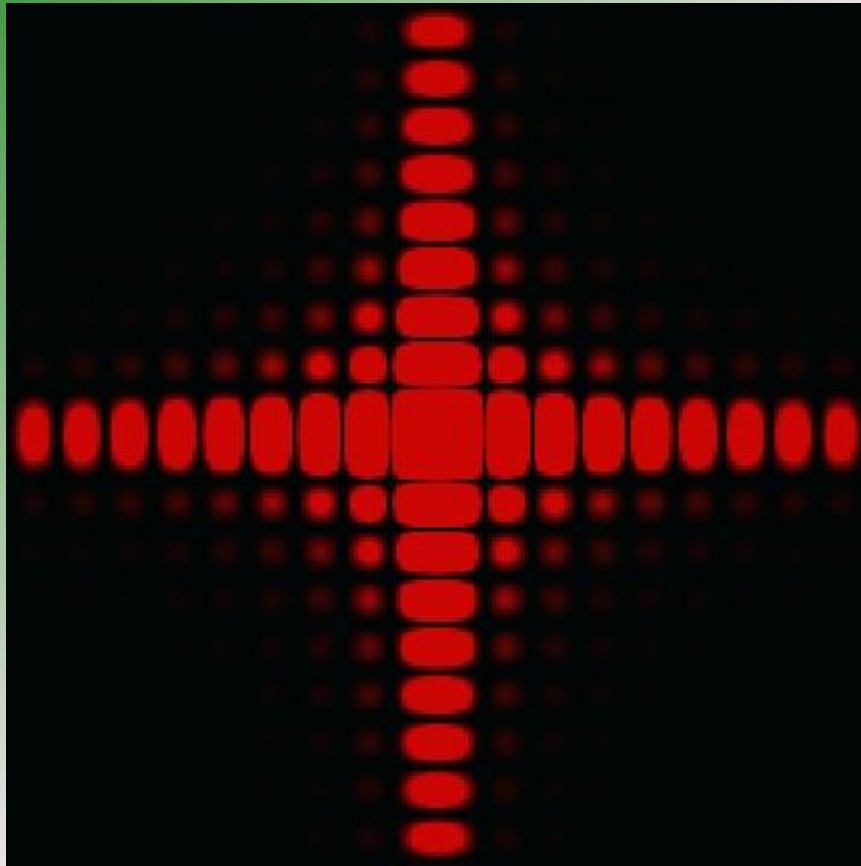
- Irradiância no infinito:

$$I(x, y) = \frac{A^2}{\lambda^2 z^2} \text{sinc}^2\left(\frac{2w_X x}{\lambda z}\right) \text{sinc}^2\left(\frac{2w_Y y}{\lambda z}\right)$$

Difracção de Fraunhofer: abertura rectangular

$$t_A(\xi, \eta) = \text{rect}\left(\frac{\xi}{2w_X}\right) \text{rect}\left(\frac{\eta}{2w_Y}\right)$$

$$I(x, y) = \frac{A^2}{\lambda^2 z^2} \text{sinc}^2\left(\frac{2w_X x}{\lambda z}\right) \text{sinc}^2\left(\frac{2w_Y y}{\lambda z}\right)$$



Difracção de Fraunhofer: abertura circular

➤ Abertura de raio w (simetria radial):

$$t_A(q) = \text{circ}\left(\frac{q}{w}\right)$$

➤ Iluminação por onda plana: $U_i(\xi, \eta) = 1$.

$$q = \sqrt{\xi^2 + \eta^2}$$

➤ Campo no infinito:

$$U(r) = \frac{e^{jkz}}{j\lambda z} \exp\left(j\frac{kr^2}{2z}\right) \mathcal{B}\{U(q)\} \Big|_{\rho=r/\lambda z}$$

➤ Raio no plano de Fourier:

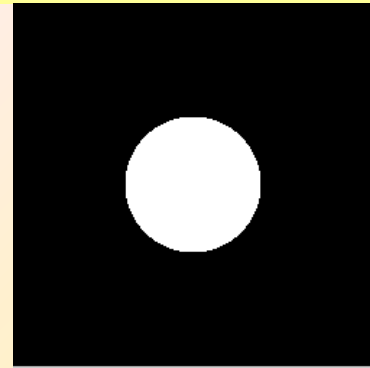
$$\rho = \sqrt{f_x^2 + f_y^2}$$

➤ Campo no infinito:

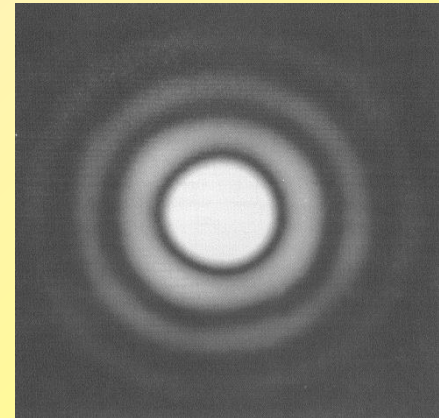
$$U(r) = e^{jkz} e^{j\frac{kr^2}{2z}} \frac{A}{j\lambda z} \left[2 \frac{J_1(kwr/z)}{kwr/z} \right]$$

➤ Irradiância no infinito:

$$I(r) = \left(\frac{A}{\lambda z}\right)^2 \left[2 \frac{J_1(kwr/z)}{kwr/z} \right]^2$$



$$A = \pi w^2$$

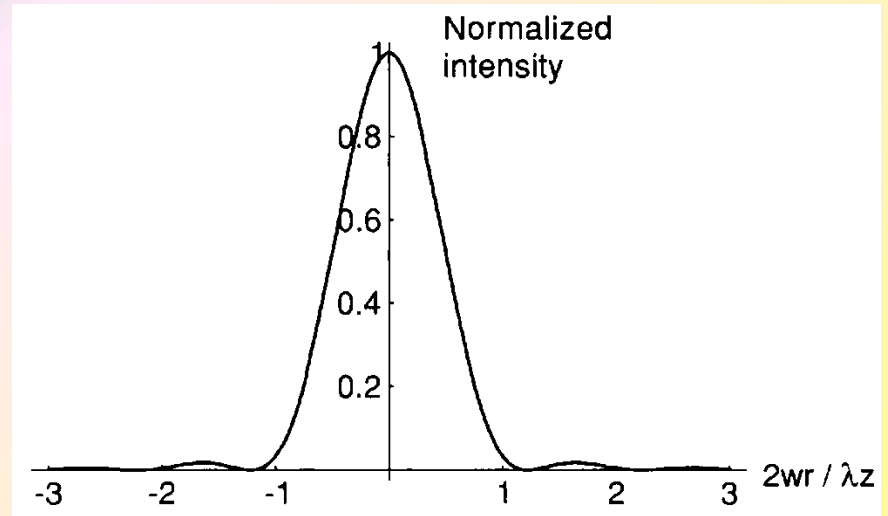
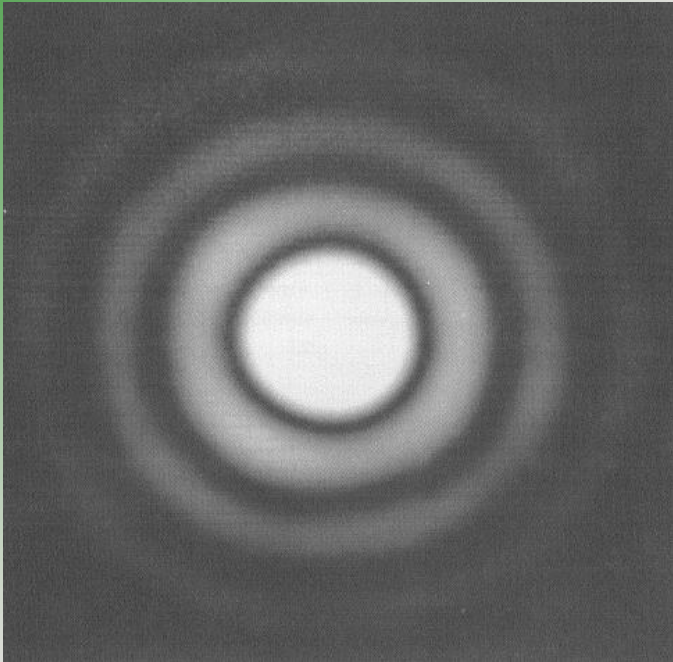


Difracção de Fraunhofer: abertura circular

$$t_A(q) = \text{circ}\left(\frac{q}{w}\right)$$

$A = \pi w^2$

$$I(r) = \left(\frac{A}{\lambda z}\right)^2 \left[2 \frac{J_1(kwr/z)}{kwr/z}\right]^2$$

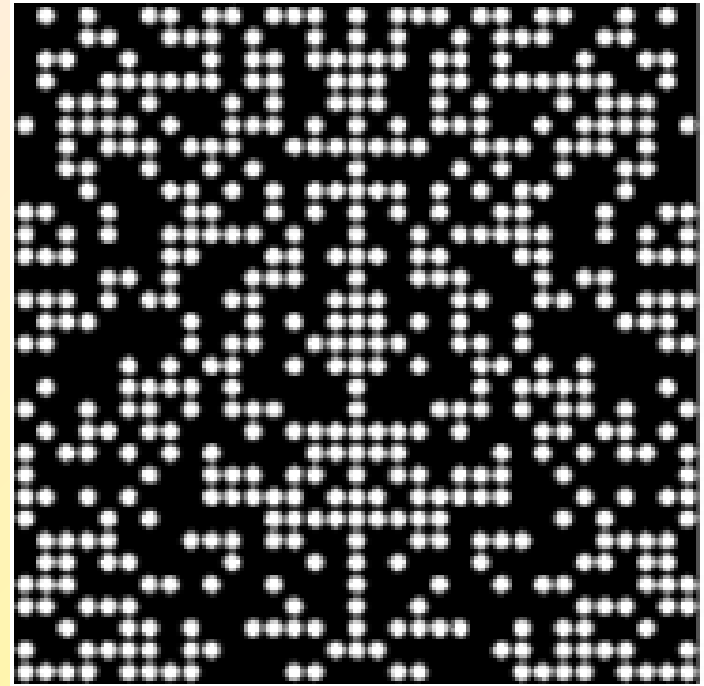
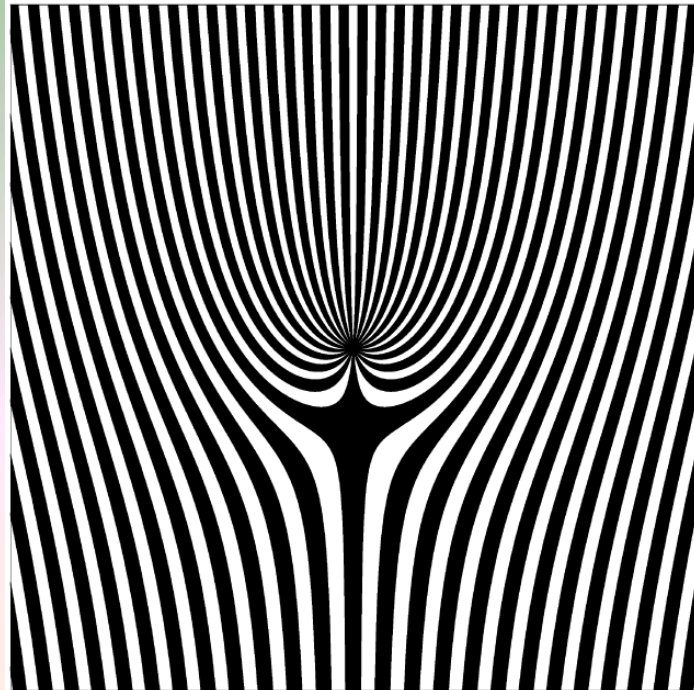
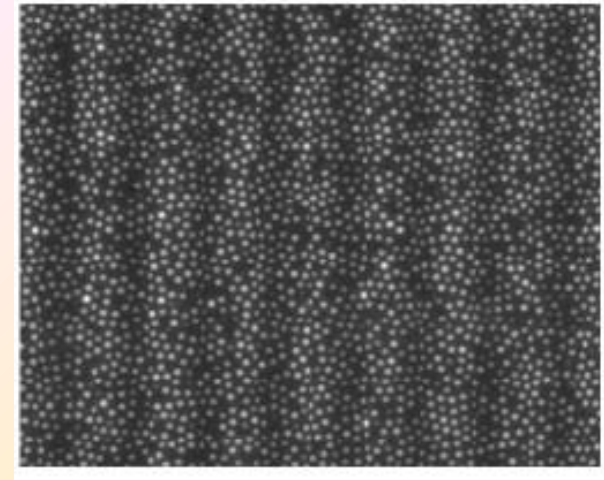
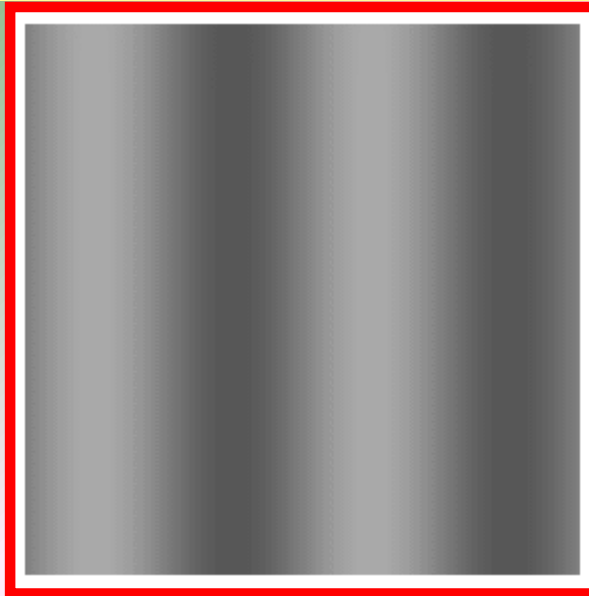


➤ Diâmetro do lobo central:

$$d = 1.22 \frac{\lambda z}{w}$$

x	$\left[2 \frac{J_1(\pi x)}{\pi x}\right]^2$	max, min
0	1	max
1.220	0	min
1.635	0.0175	max
2.233	0	min
2.679	0.0042	max
3.238	0	min
3.699	0.0016	max

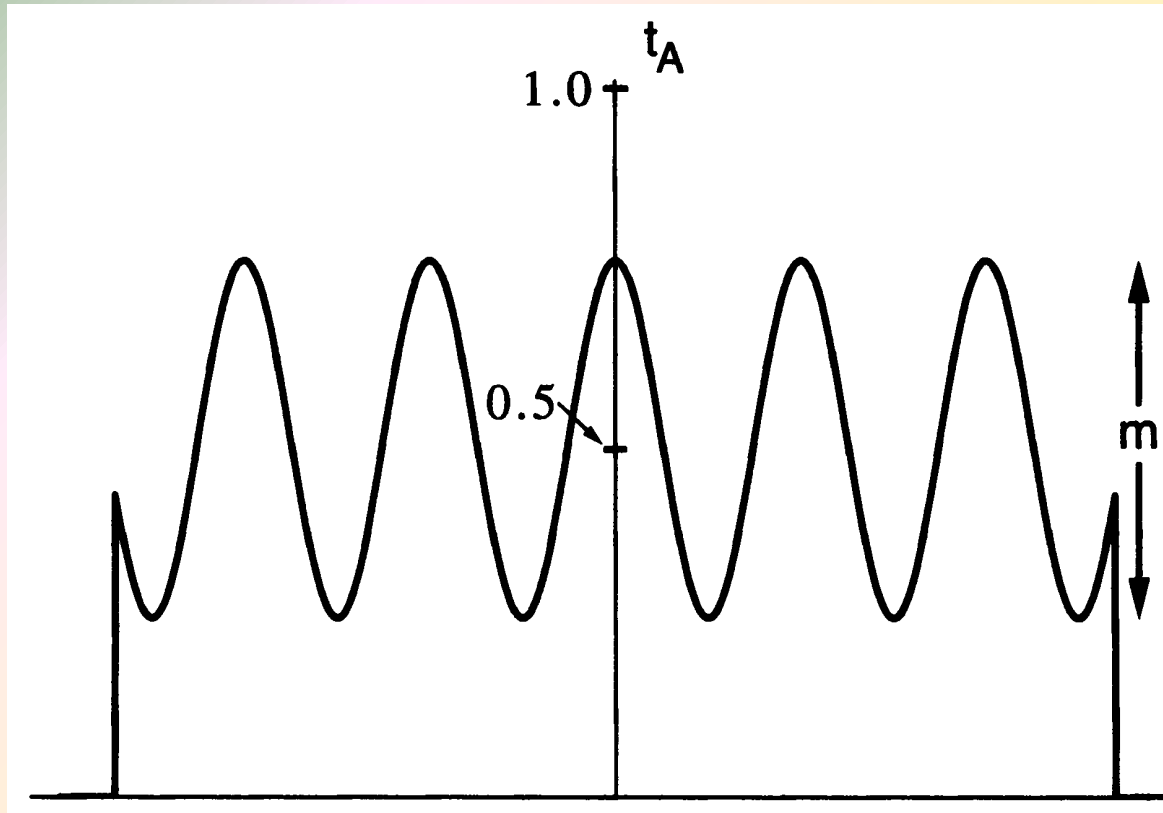
Redes de difracção de amplitude



Redes de difracção de amplitude

- Rede periódica linear, segundo o eixo ξ , 2D, de frequência espacial f_0 , modulação m , inscrita num quadrado de semi-largura w .
- Função de transmissão em amplitude:

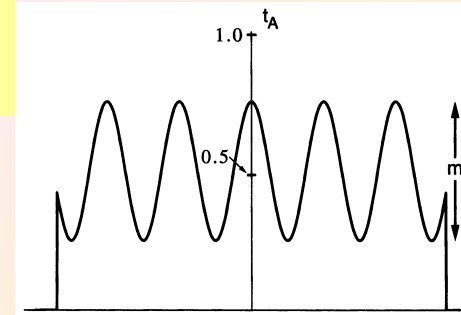
$$t_A(\xi, \eta) = \left[\frac{1}{2} + \frac{m}{2} \cos(2\pi f_0 \xi) \right] \text{rect} \left(\frac{\xi}{2w} \right) \text{rect} \left(\frac{\eta}{2w} \right)$$



Redes de difracção de amplitude

Rede de difracção 1D

$$t(\xi) = (1 + \cos f_0 \xi) \text{rect}(\xi)$$



Transformada de Fourier

$$T(f_X) = \left[\delta(f_X) + \frac{1}{2} \delta(f_X - f_0) + \frac{1}{2} \delta(f_X + f_0) \right] * \text{sinc}(f_X)$$

$$T(f_X) = \text{sinc}(f_X) + \frac{1}{2} \text{sinc}(f_X - f_0) + \frac{1}{2} \text{sinc}(f_X + f_0)$$

$$\cos(2\pi f_0 x) = \frac{e^{+i2\pi f_0 x} + e^{-i2\pi f_0 x}}{2}$$

$$\frac{1}{2} [\delta(f_X - f_0) + \delta(f_X + f_0)]$$

$$g ** \delta = \iint_{-\infty}^{\infty} g(x, y) \delta(\xi - x, \eta - y) dx dy$$

$$= g(\xi, \eta)$$

Usa-se um valor preciso da frequência espacial

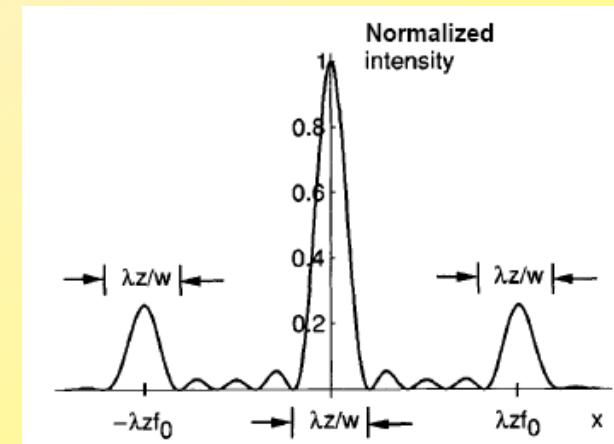
$$f_X = \frac{x}{\lambda z} \rightarrow x \quad (\text{se } \lambda z = 1)$$

Amplitude complexa

$$U(x) = \frac{A}{i\lambda z} \left[\text{sinc}(x) + \frac{1}{2} \text{sinc}(x - f_0) + \frac{1}{2} \text{sinc}(x + f_0) \right]$$

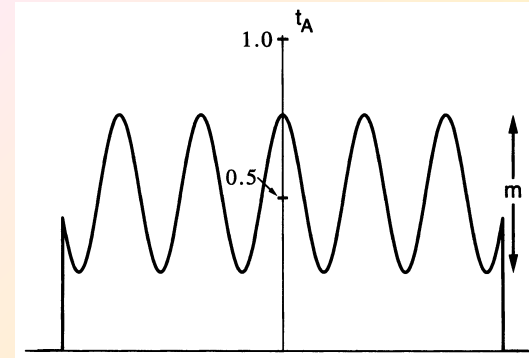
Irradiância, $E = |U|^2$ - sem sobreposição dos sinc's

$$I(x) = \left(\frac{A}{\lambda z} \right)^2 \left[\text{sinc}^2(x) + \frac{1}{4} \text{sinc}^2(x - f_0) + \frac{1}{4} \text{sinc}^2(x + f_0) \right]$$



Redes de difracção de amplitude

$$t_A(\xi, \eta) = \left[\frac{1}{2} + \frac{m}{2} \cos(2\pi f_0 \xi) \right] \text{rect} \left(\frac{\xi}{2w} \right) \text{rect} \left(\frac{\eta}{2w} \right)$$



- Iluminação por onda plana (em $z=0^-$): $U_i(\xi, \eta) = 1$.
- Campo no plano da rede (ξ, η), logo depois da rede (em $z=0^+$): $U(\xi, \eta, 0) = t_A(\xi, \eta)$

- Teorema da Convolução: $\mathcal{F}\{gh\} = G(f_X, f_Y) \star\star H(f_X, f_Y)$

- Transformadas de Fourier dos dois factores:

$$\mathcal{F} \left\{ \frac{1}{2} + \frac{m}{2} \cos(2\pi f_0 \xi) \right\} = \frac{1}{2} \delta(f_X, f_Y) + \frac{m}{4} \delta(f_X + f_0, f_Y) + \frac{m}{4} \delta(f_X - f_0, f_Y)$$

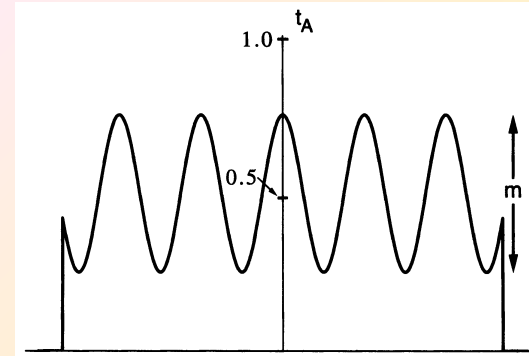
$$\mathcal{F} \left\{ \text{rect} \left(\frac{\xi}{2w} \right) \text{rect} \left(\frac{\eta}{2w} \right) \right\} = A \text{sinc}(2wf_X) \text{sinc}(2wf_Y)$$

- O δ -Dirac é o **elemento neutro** da convolução:

$$g \star\star \delta = \iint_{-\infty}^{\infty} g(x, y) \delta(x - \xi, y - \eta) dx dy = g(\xi, \eta)$$

Redes de difracção de amplitude

$$t_A(\xi, \eta) = \left[\frac{1}{2} + \frac{m}{2} \cos(2\pi f_0 \xi) \right] \text{rect} \left(\frac{\xi}{2w} \right) \text{rect} \left(\frac{\eta}{2w} \right)$$



- Como o δ -Dirac é o elemento neutro da convolução, o campo no infinito é:

$$U(x, y) = \frac{A}{j2\lambda z} e^{jkz} e^{j\frac{k}{2z}(x^2+y^2)} \text{sinc} \left(\frac{2wy}{\lambda z} \right) \left\{ \text{sinc} \left(\frac{2wx}{\lambda z} \right) + \frac{m}{2} \text{sinc} \left[\frac{2w}{\lambda z} (x + f_0 \lambda z) \right] + \frac{m}{2} \text{sinc} \left[\frac{2w}{\lambda z} (x - f_0 \lambda z) \right] \right\}$$

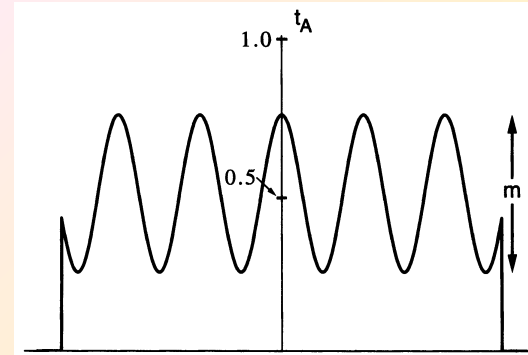
- Para se calcular a Irradiância no infinito, $I(x, y) \sim |U(x, y)|^2$. Se:

$$f_0 \gg 1/w \quad (\text{muitos ciclos de variação no interior da abertura})$$

os três sinc's não se sobrepõem. Os produtos cruzados serão desprezáveis...

Redes de difracção de amplitude

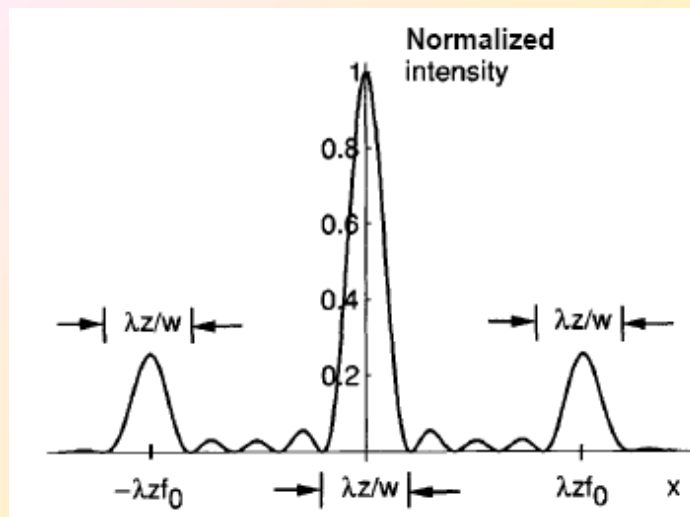
$$t_A(\xi, \eta) = \left[\frac{1}{2} + \frac{m}{2} \cos(2\pi f_0 \xi) \right] \text{rect} \left(\frac{\xi}{2w} \right) \text{rect} \left(\frac{\eta}{2w} \right)$$



➤ A Irradiância no infinito é:

$$I(x, y) \approx \left[\frac{A}{2\lambda z} \right]^2 \text{sinc}^2 \left(\frac{2wy}{\lambda z} \right) \left\{ \text{sinc}^2 \left(\frac{2wx}{\lambda z} \right) + \frac{m^2}{4} \text{sinc}^2 \left[\frac{2w}{\lambda z} (x + f_0 \lambda z) \right] + \frac{m^2}{4} \text{sinc}^2 \left[\frac{2w}{\lambda z} (x - f_0 \lambda z) \right] \right\}$$

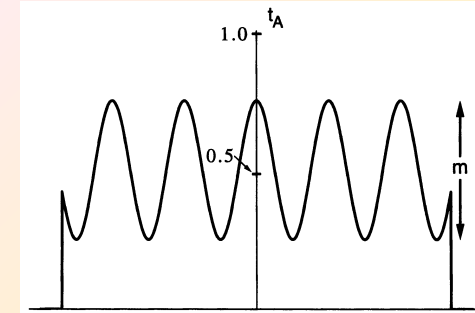
➤ Perfil segundo x:



Redes de difracção de amplitude

$$t_A(\xi, \eta) = \left[\frac{1}{2} + \frac{m}{2} \cos(2\pi f_0 \xi) \right] \text{rect} \left(\frac{\xi}{2w} \right) \text{rect} \left(\frac{\eta}{2w} \right)$$

$$I(x, y) \approx \left[\frac{A}{2\lambda z} \right]^2 \text{sinc}^2 \left(\frac{2wy}{\lambda z} \right) \left\{ \text{sinc}^2 \left(\frac{2wx}{\lambda z} \right) + \frac{m^2}{4} \text{sinc}^2 \left[\frac{2w}{\lambda z} (x + f_0 \lambda z) \right] + \frac{m^2}{4} \text{sinc}^2 \left[\frac{2w}{\lambda z} (x - f_0 \lambda z) \right] \right\}$$

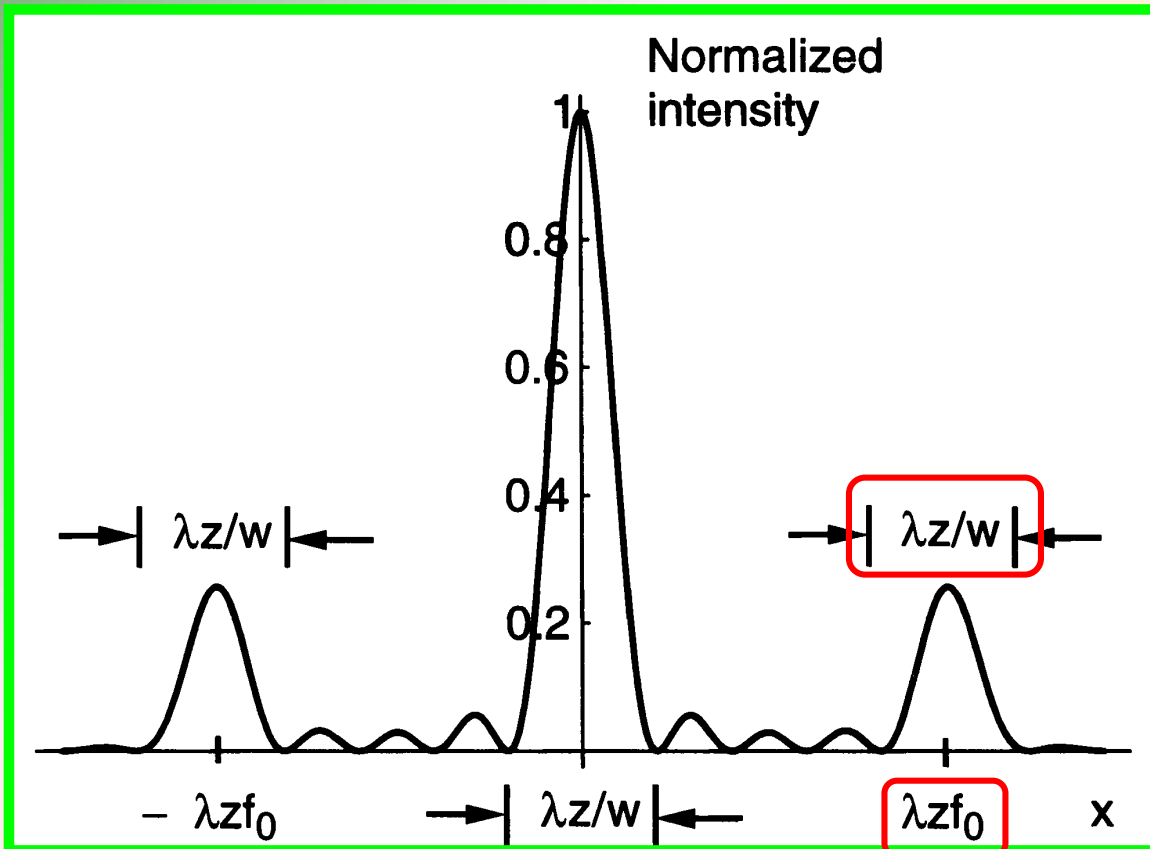


Ordens de difracção

Separação entre ordens

Divisão do fluxo luminoso

Sensibilidade a $\lambda \rightarrow$
Espectometria $\rightarrow \dots$



Redes de difracção de perfil rectangular (1D)

Rede

$$t(\xi) = \left[\text{rect} \frac{\xi}{a} * \sum_{n=-\infty}^{\infty} \delta(\xi - nb) \right] \text{rect} \frac{\xi}{c} = \left[\text{rect} \frac{\xi}{a} * \frac{1}{b} \text{comb} \frac{\xi}{b} \right] \text{rect} \frac{\xi}{c}$$

Transformada de Fourier

$$T(f_X) = [a \text{sinc}(af_X) \text{ comb}(bf_X)] * c \text{sinc}(cf_X)$$

$$f(x)\delta(x - y) = f(y)\delta(x - y)$$

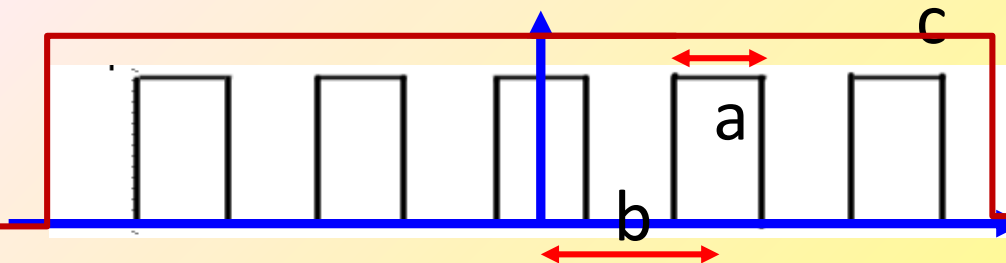
$$T(f_X) = \left[a \text{sinc}(af_X) \frac{1}{b} \sum_{n=-\infty}^{\infty} \delta(f_X - \frac{n}{b}) \right] * c \text{sinc}(cf_X)$$

$$\delta\left(\frac{x-y}{b}\right) = b\delta(x-y)$$

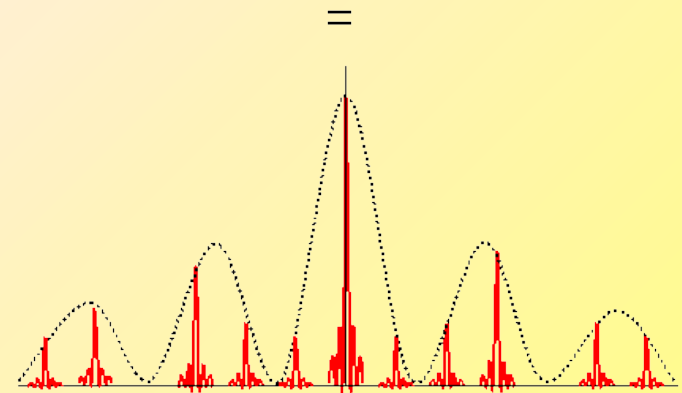
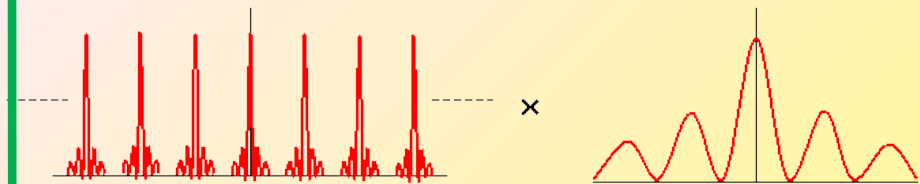
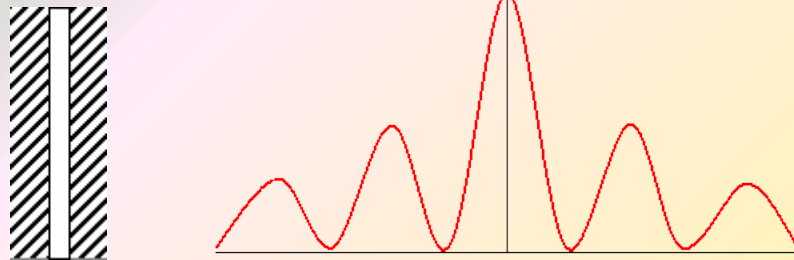
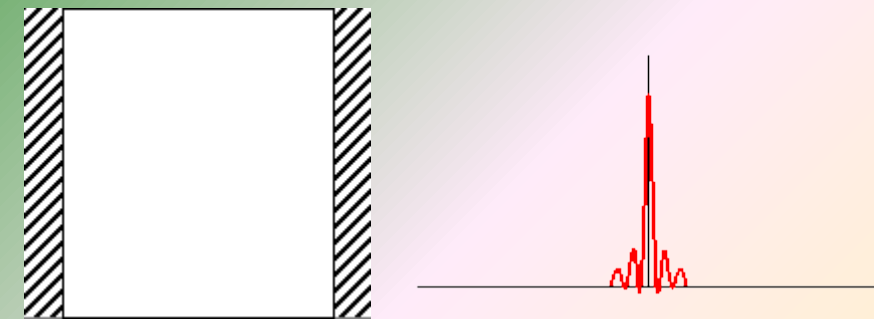
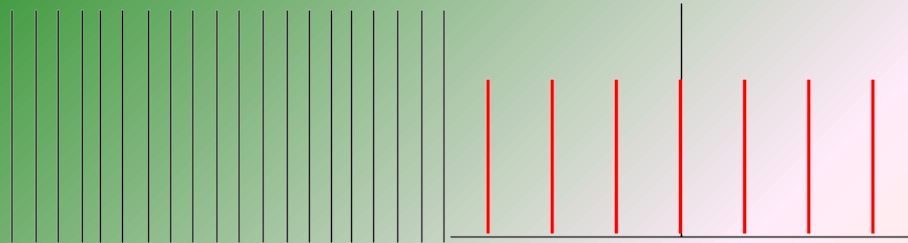
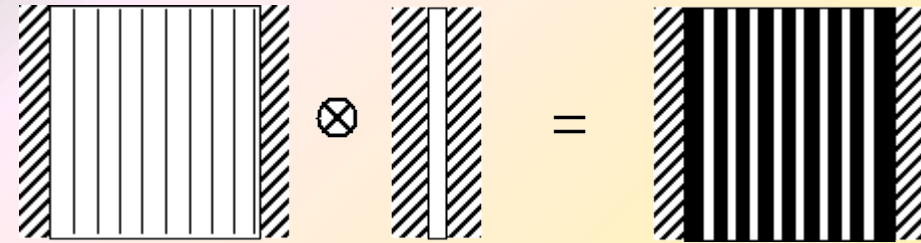
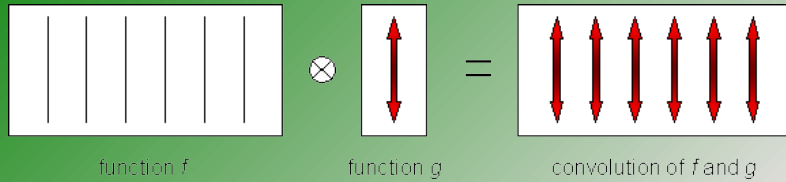
$$T(f_X) = \left[a \sum_{n=-\infty}^{\infty} \text{sinc}\left(\frac{a}{b}n\right) \delta\left(f_X - \frac{n}{b}\right) \right] * c \text{sinc}(cf_X)$$

$$T(f_X) = a \sum_{n=-\infty}^{\infty} \text{sinc}\left(\frac{a}{b}n\right) \delta\left(f_X - \frac{n}{b}\right) * c \text{sinc}(cf_X)$$

$$T(f_X) = ac \sum_{n=-\infty}^{\infty} \text{sinc}\left(\frac{a}{b}n\right) \text{sinc}\left[c\left(f_X - \frac{n}{b}\right)\right]$$

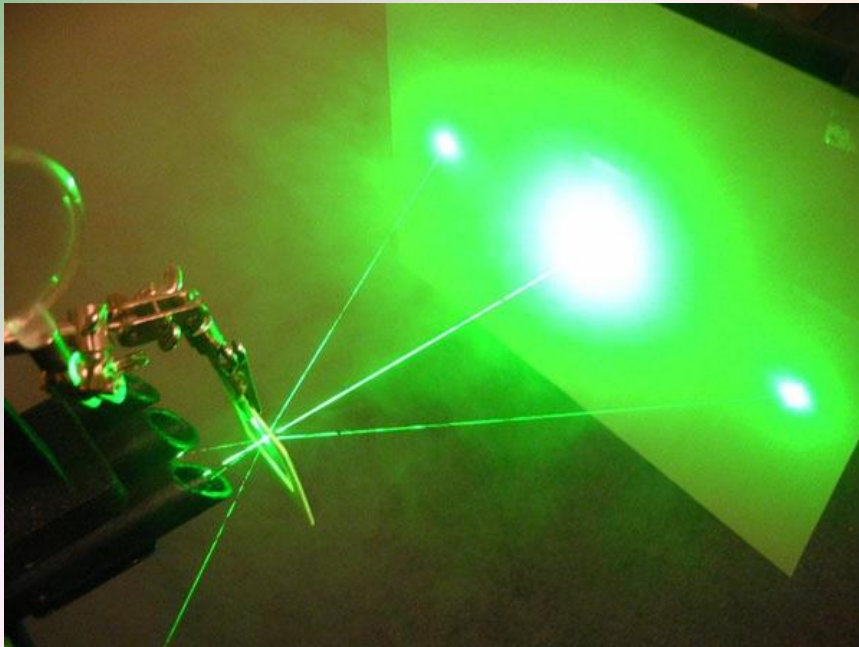
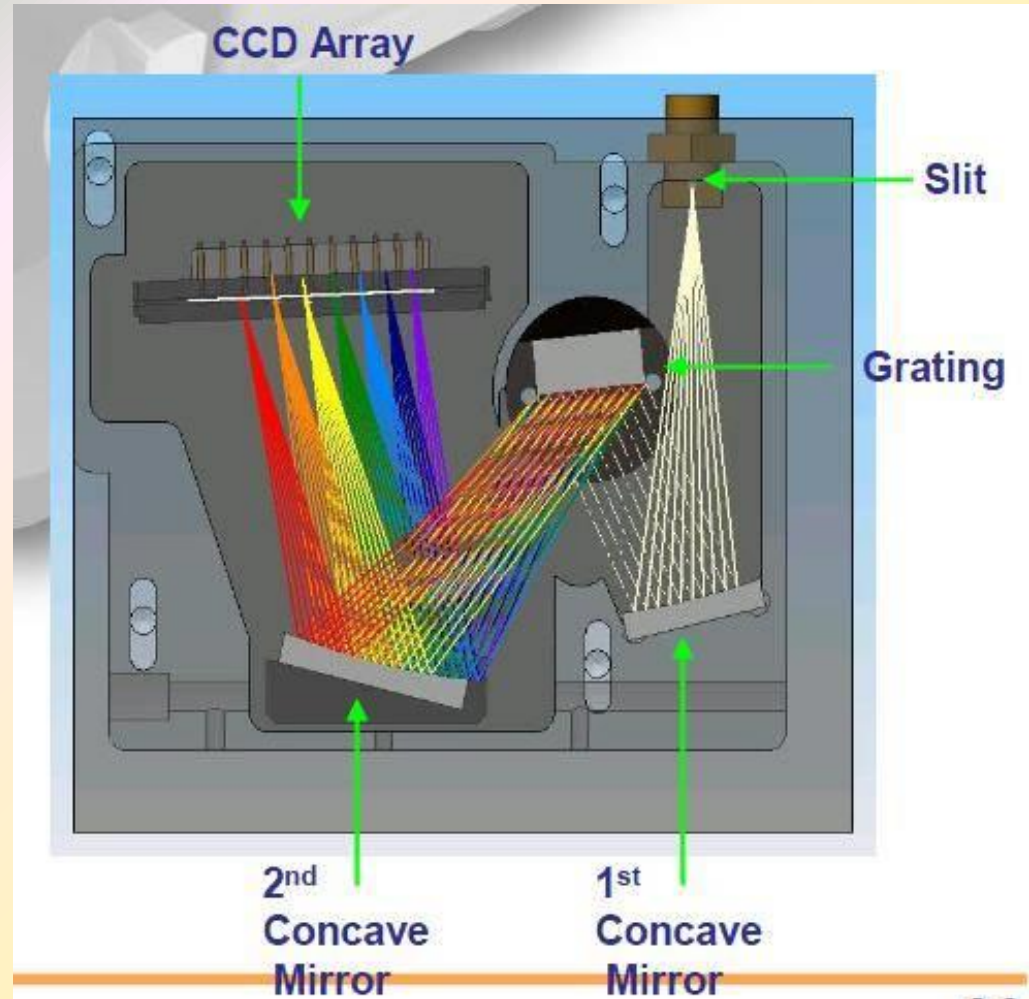
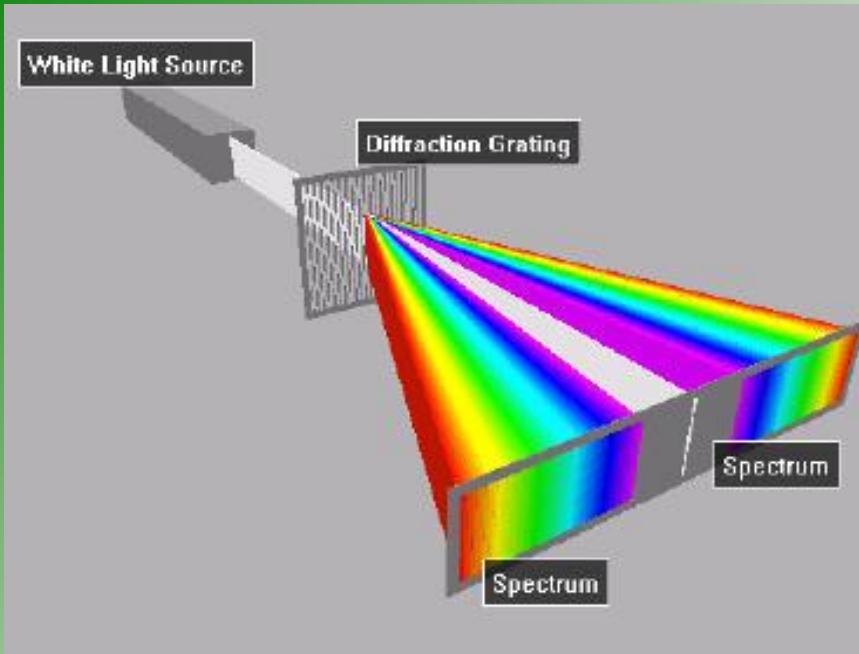


Redes de difracção de perfil rectangular (2D)



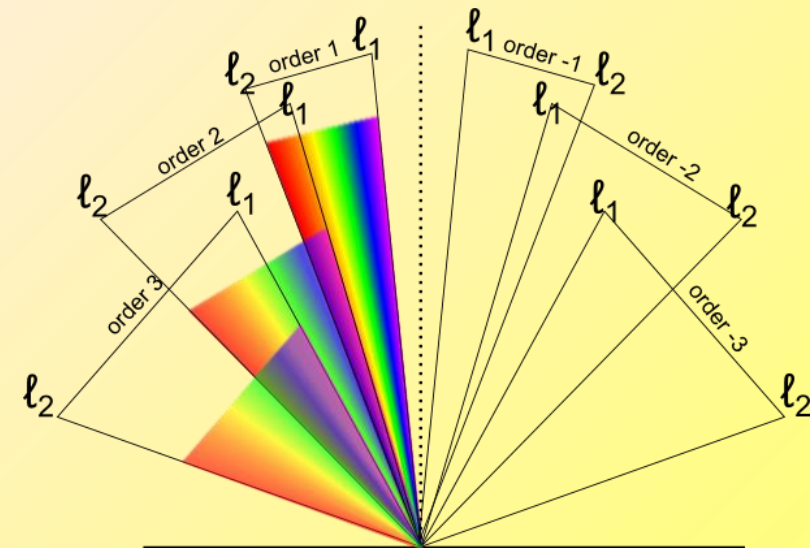
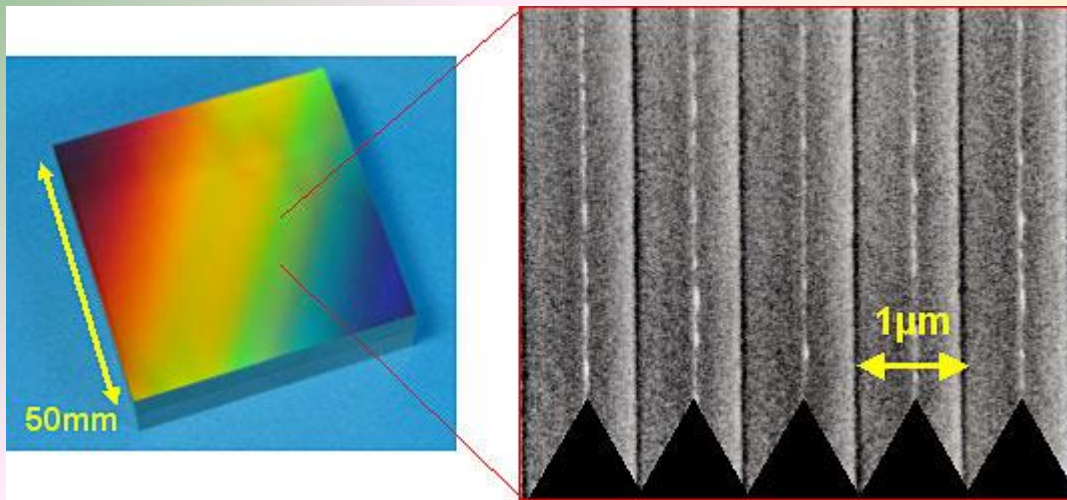
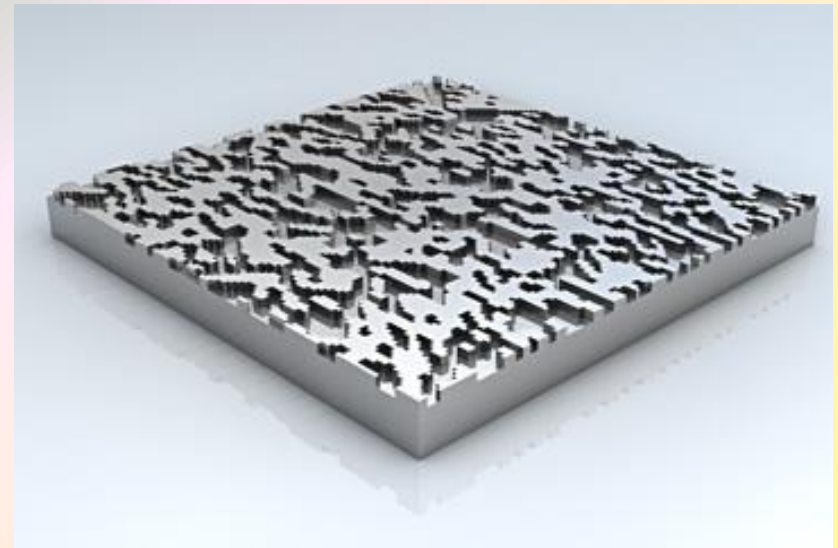
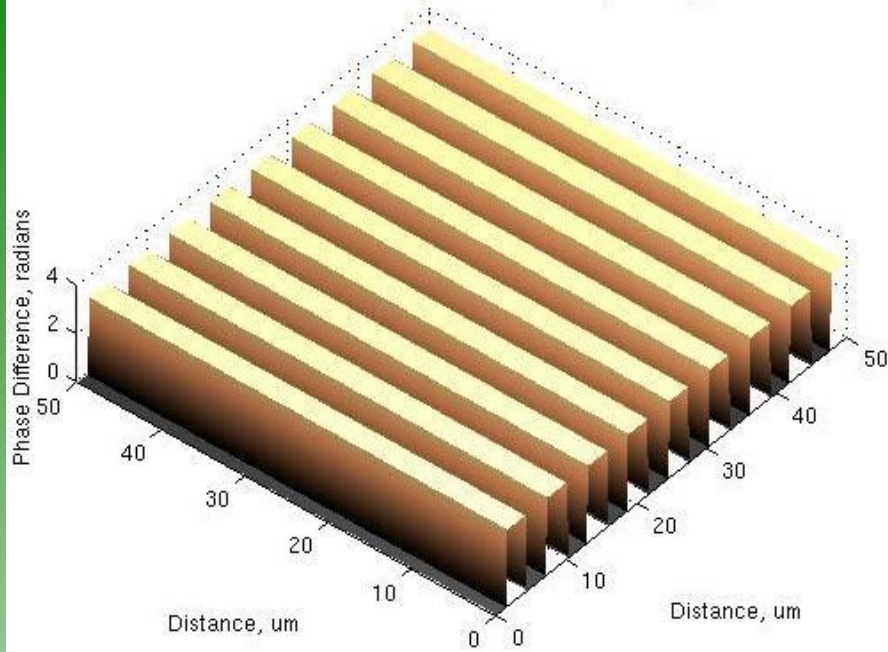
Diffraction pattern from a one dimensional grating with finite width slits. The pattern is comprised of a 'comb' function (from the array of slits), onto which a narrow sinc function is convolved (from the finite width of the grating). The whole pattern is enveloped by a wide sinc function, shown as the dotted line, which arises as a result of the finite slit width.

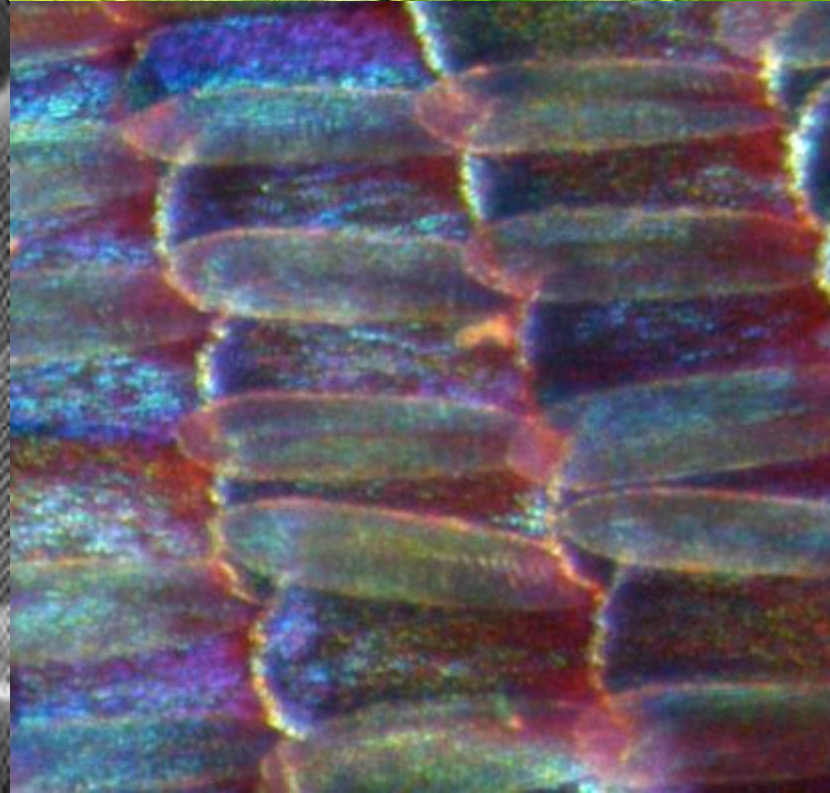
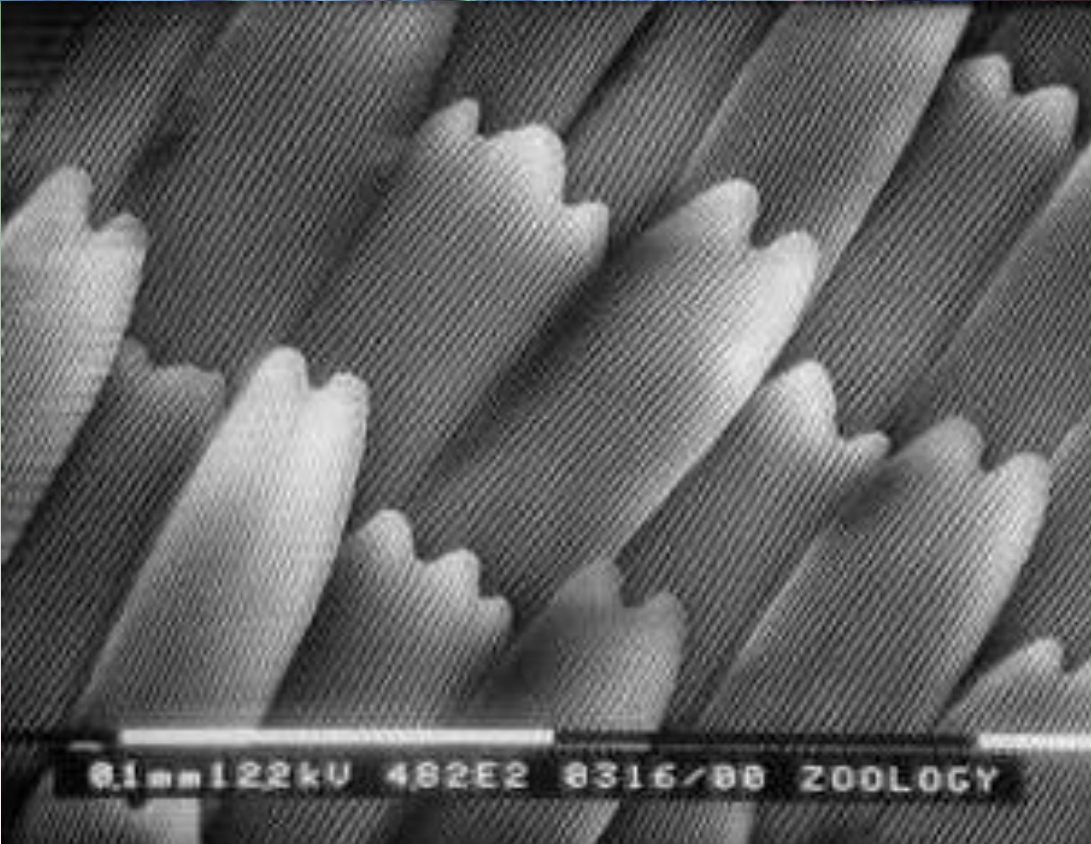
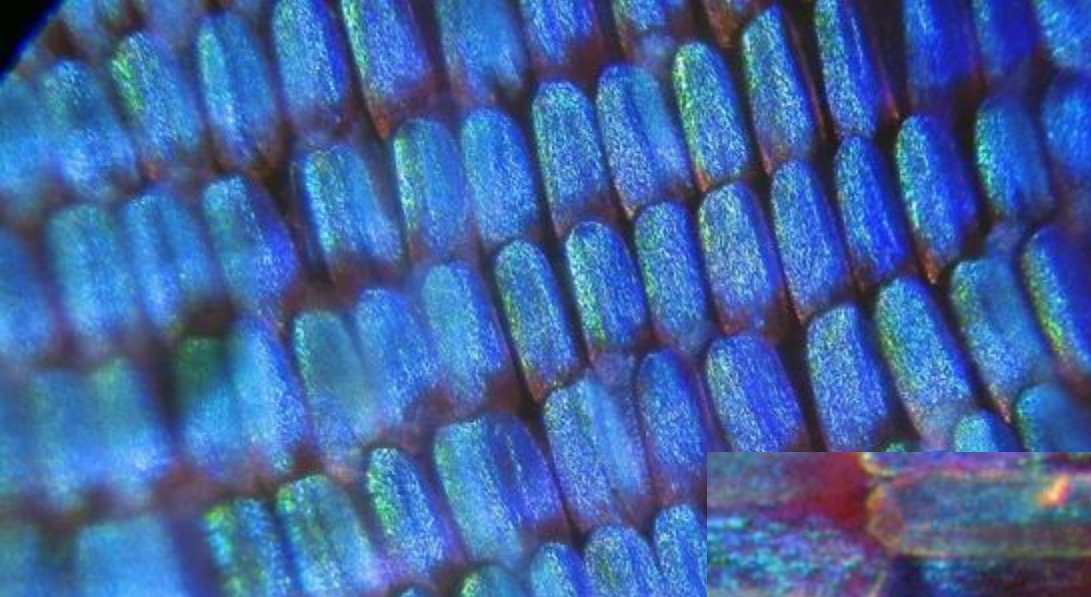
Redes de difracção e espectrómetros



Outras redes de difracção de fase

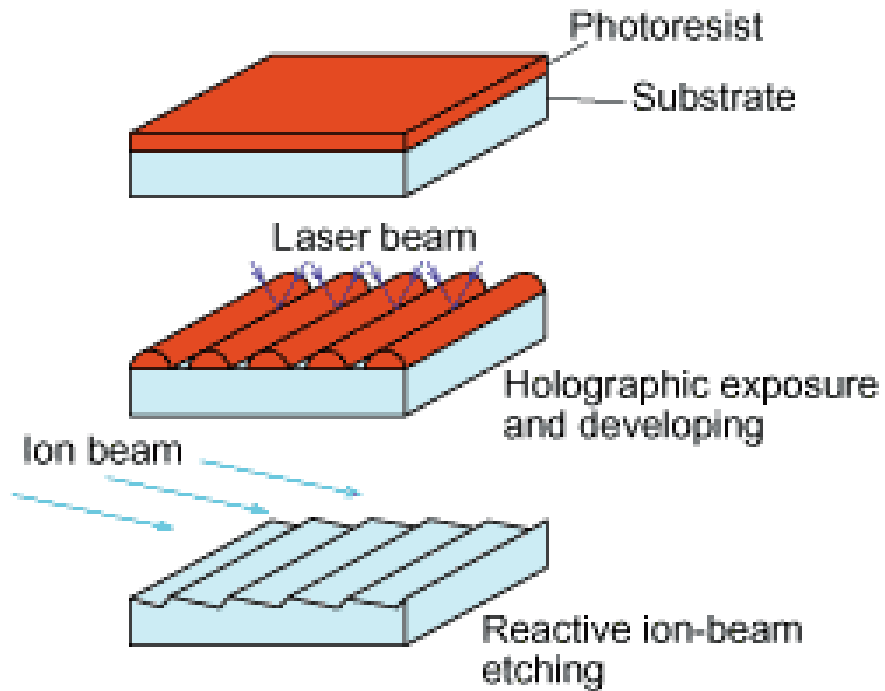
Blazed Phase Profile of the Diffractive Optic Design



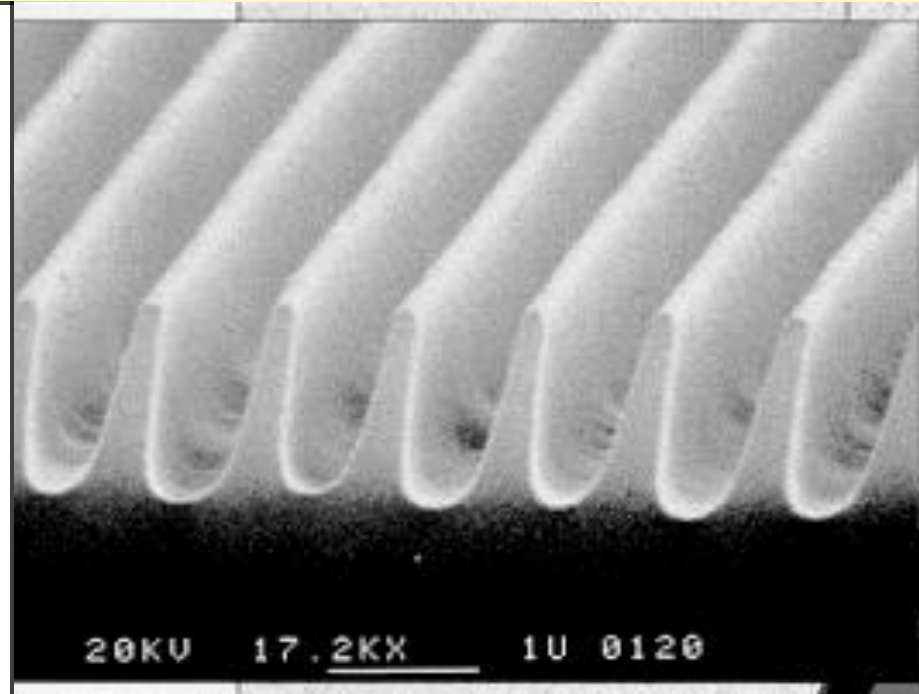
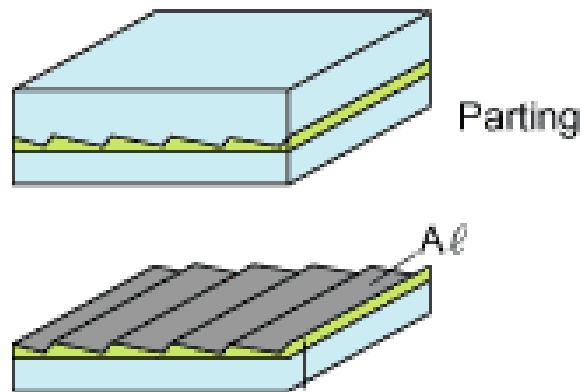


Redes de difracção de fase

Master fabrication process



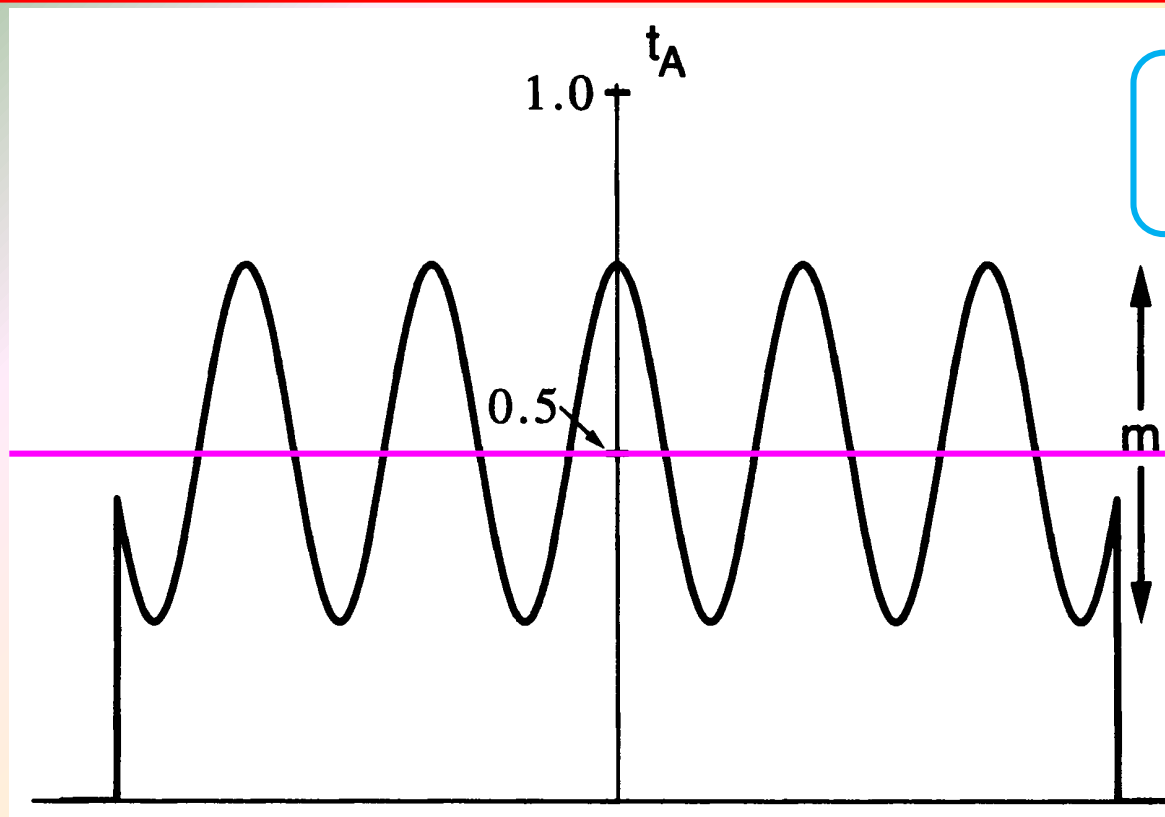
Replicating process



Redes de difracção de fase

- Rede de fase, periódica, linear, segundo o eixo ξ , 2D, de frequência espacial f_0 , modulação m , inscrita num quadrado de semi-largura w .
- Função de transmissão em amplitude (complexa):

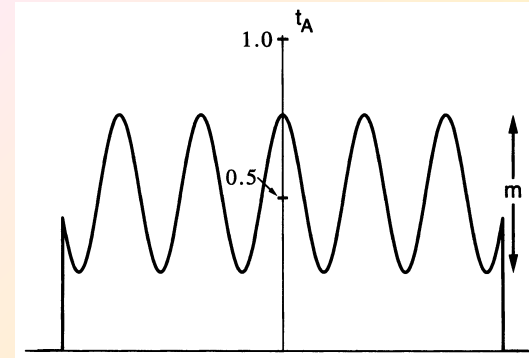
$$t_A(\xi, \eta) = \exp \left[j \frac{m}{2} \sin(2\pi f_0 \xi) \right] \text{rect} \left(\frac{\xi}{2w} \right) \text{rect} \left(\frac{\eta}{2w} \right)$$



Topografia
da rede

Redes de difracção de fase

$$t_A(\xi, \eta) = \exp \left[j \frac{m}{2} \sin(2\pi f_0 \xi) \right] \text{rect} \left(\frac{\xi}{2w} \right) \text{rect} \left(\frac{\eta}{2w} \right)$$



- Iluminação por onda plana (em $z=0^-$): $U_i(\xi, \eta) = 1$.
- Campo no plano da rede (ξ, η), logo depois da rede (em $z=0^+$): $U(\xi, \eta, 0) = t_A(\xi, \eta)$

- Teorema da Convolução: $\mathcal{F}\{gh\} = G(f_X, f_Y) \star\star H(f_X, f_Y)$

- Reformulação conveniente:
(Função Geradora das funções de Bessel de 1ª espécie)

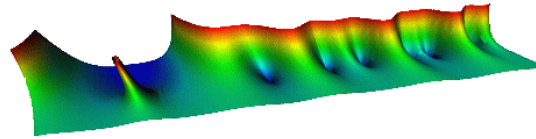
$$\exp \left[j \frac{m}{2} \sin(2\pi f_0 \xi) \right] = \sum_{q=-\infty}^{\infty} J_q \left(\frac{m}{2} \right) \exp(j2\pi q f_0 \xi)$$

- Transformadas de Fourier dos dois factores:

$$\mathcal{F} \left\{ \text{rect} \left(\frac{\xi}{2w} \right) \text{rect} \left(\frac{\eta}{2w} \right) \right\} = A \text{sinc}(2w f_X) \text{sinc}(2w f_Y)$$

$$\mathcal{F} \left\{ \exp \left[j \frac{m}{2} \sin(2\pi f_0 \xi) \right] \right\} = \sum_{q=-\infty}^{\infty} J_q \left(\frac{m}{2} \right) \delta(f_X - q f_0, f_Y)$$

NIST – Dig. Library of Mathematical Functions



NIST Digital Library of Mathematical Functions

Project News

2019-03-15 [DLMF Update; Version 1.0.22](#)

2018-12-15 [DLMF Update; Version 1.0.21](#)

2018-09-15 [DLMF Update; Version 1.0.20](#)

2018-06-22 [DLMF Update; Version 1.0.19](#)

[More news](#)

Foreword

Preface

Mathematical Introduction

1 Algebraic and Analytic Methods

2 Asymptotic Approximations

3 Numerical Methods

4 Elementary Functions

5 Gamma Function

6 Exponential, Logarithmic, Sine, and Cosine Integrals

7 Error Functions, Dawson's and Fresnel Integrals

8 Incomplete Gamma and Related Functions

9 Airy and Related Functions

10 Bessel Functions

11 Struve and Related Functions

12 Parabolic Cylinder Functions

13 Confluent Hypergeometric Functions

14 Legendre and Related Functions

15 Hypergeometric Function

16 Generalized Hypergeometric Functions & Meijer G -Function

17 q -Hypergeometric and Related Functions

18 Orthogonal Polynomials

19 Elliptic Integrals

20 Theta Functions

21 Multidimensional Theta Functions

22 Jacobian Elliptic Functions

23 Weierstrass Elliptic and Modular Functions

24 Bernoulli and Euler Polynomials

25 Zeta and Related Functions

26 Combinatorial Analysis

27 Functions of Number Theory

28 Mathieu Functions and Chapter 26 Combinatorial Analysis

29 Lamé Functions

30 Spheroidal Wave Functions

31 Heun Functions

32 Painlevé Transcendents

33 Coulomb Functions

34 $3j$, $6j$, $9j$ Symbols

35 Functions of Matrix Argument

36 Integrals with Coalescing Saddles

Bibliography

Index

Notations

List of Figures

List of Tables

Software

Errata

<https://dlmf.nist.gov/>

NIST – Dig. Library of Mathematical Functions

▲ [10 Bessel Functions](#) ▲ [Bessel and Hankel Functions](#)

◀ [10.11 Analytic Continuation](#)

§10.12 Generating Function and Associated Series

For $z \in \mathbb{C}$ and $t \in \mathbb{C} \setminus \{0\}$,

10.12.1
$$e^{\frac{1}{2}z(t-t^{-1})} = \sum_{m=-\infty}^{\infty} t^m J_m(z).$$

Jacobi–Anger expansions: for $z, \theta \in \mathbb{C}$,

10.12.2
$$\cos(z \sin \theta) = J_0(z) + 2 \sum_{k=1}^{\infty} J_{2k}(z) \cos(2k\theta),$$

$$\sin(z \sin \theta) = 2 \sum_{k=0}^{\infty} J_{2k+1}(z) \sin((2k+1)\theta),$$

10.12.3
$$\cos(z \cos \theta) = J_0(z) + 2 \sum_{k=1}^{\infty} (-1)^k J_{2k}(z) \cos(2k\theta),$$

$$\sin(z \cos \theta) = 2 \sum_{k=0}^{\infty} (-1)^k J_{2k+1}(z) \cos((2k+1)\theta).$$

10.12.4
$$1 = J_0(z) + 2J_2(z) + 2J_4(z) + 2J_6(z) + \dots,$$

10.12.5
$$\cos z = J_0(z) - 2J_2(z) + 2J_4(z) - 2J_6(z) + \dots,$$

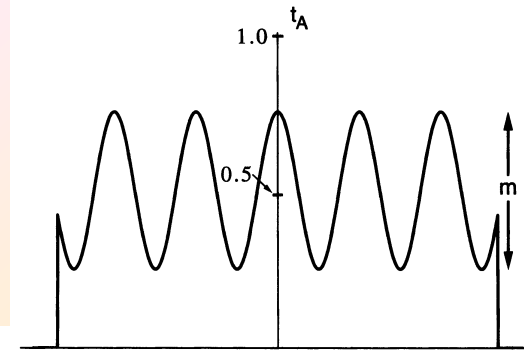
$$\sin z = 2J_1(z) - 2J_3(z) + 2J_5(z) - \dots,$$

10.12.6
$$\frac{1}{2}z \cos z = J_1(z) - 9J_3(z) + 25J_5(z) - 49J_7(z) + \dots,$$

$$\frac{1}{2}z \sin z = 4J_2(z) - 16J_4(z) + 36J_6(z) - \dots.$$

Redes de difracção de fase

$$t_A(\xi, \eta) = \exp \left[j \frac{m}{2} \sin(2\pi f_0 \xi) \right] \text{rect} \left(\frac{\xi}{2w} \right) \text{rect} \left(\frac{\eta}{2w} \right)$$



➤ Combinando:

$$\mathcal{F}\{U(\xi, \eta)\} = \mathcal{F}\{t_A(\xi, \eta)\}$$

$$= [A \text{sinc}(2wf_X) \text{sinc}(2wf_Y)] \otimes \left[\sum_{q=-\infty}^{\infty} J_q \left(\frac{m}{2} \right) \delta(f_X - qf_0, f_Y) \right]$$

$$= \sum_{q=-\infty}^{\infty} A J_q \left(\frac{m}{2} \right) \text{sinc}[2w(f_X - qf_0)] \text{sinc}(2wf_Y).$$

$$U(x, y) = \frac{A}{j\lambda z} e^{jkz} e^{j\frac{k}{2z}(x^2+y^2)} \sum_{q=-\infty}^{\infty} J_q \left(\frac{m}{2} \right) \text{sinc} \left[\frac{2w}{\lambda z} (x - qf_0\lambda z) \right] \text{sinc} \left(\frac{2wy}{\lambda z} \right)$$

➤ Para se calcular a Irradiância no infinito, $I(x, y) \sim |U(x, y)|^2$. assume-se novamente que:

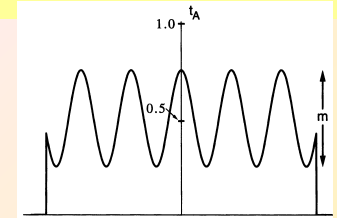
$$f_0 \gg 1/w \quad (\text{muitos ciclos de variação no interior da abertura})$$

e os inúmeros **sinc**'s não se sobrepõem. Os produtos cruzados são desprezáveis...

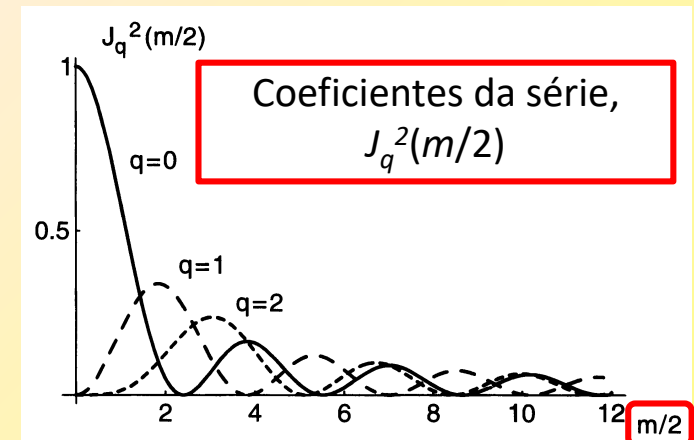
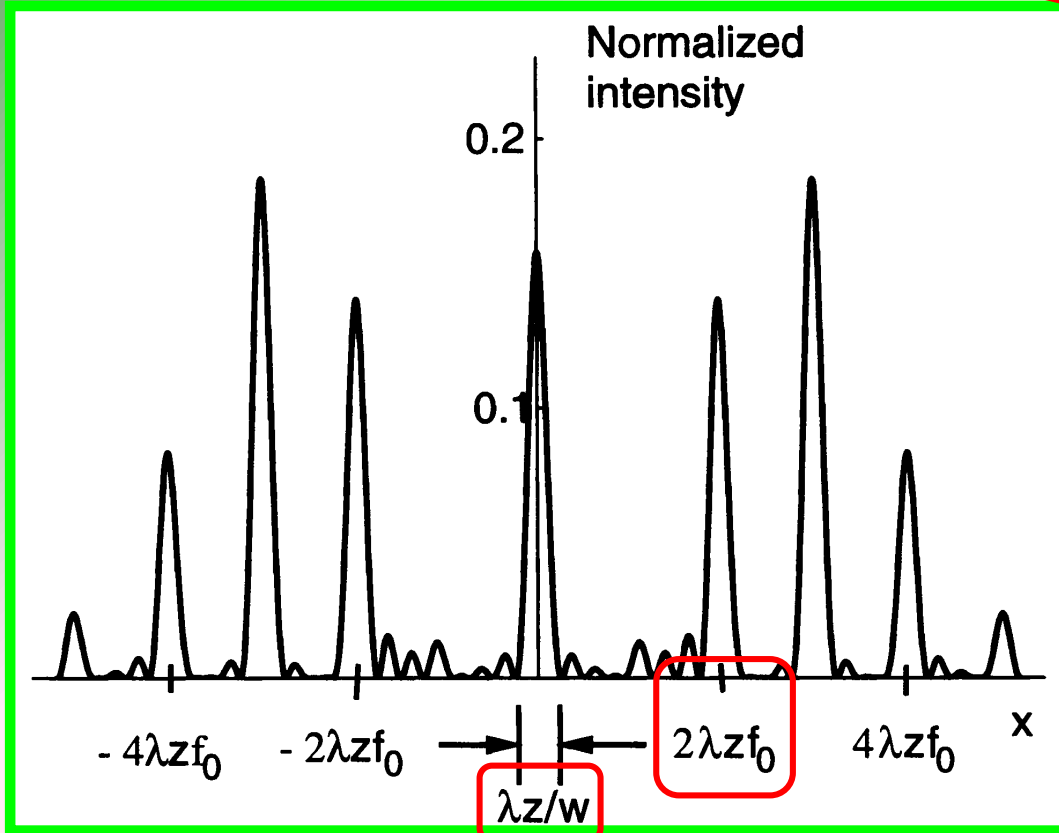
➤ Logo, a Irradiância será:

Redes de difracção de fase

$$t_A(\xi, \eta) = \left[\frac{1}{2} + \frac{m}{2} \cos(2\pi f_0 \xi) \right] \text{rect} \left(\frac{\xi}{2w} \right) \text{rect} \left(\frac{\eta}{2w} \right)$$

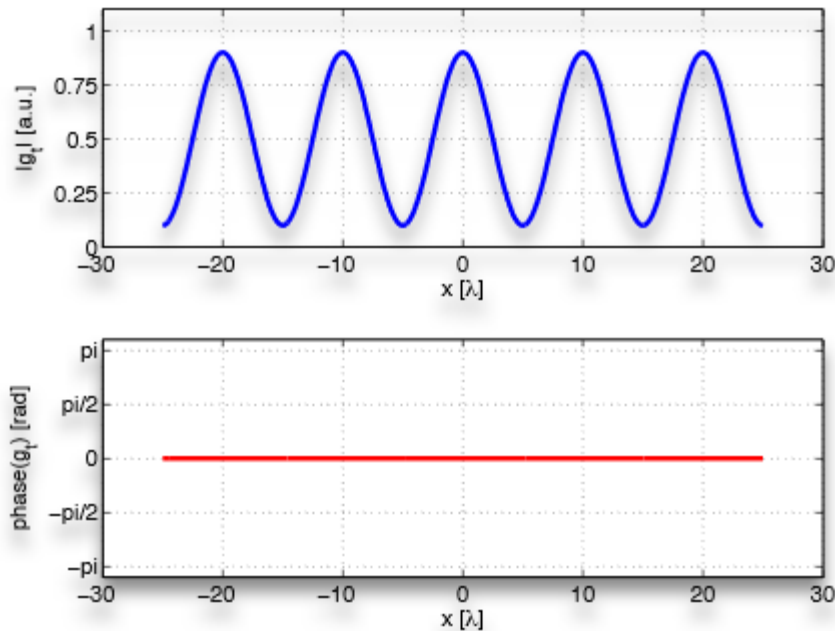


$$I(x, y) \approx \left(\frac{A}{\lambda z} \right)^2 \sum_{q=-\infty}^{\infty} J_q^2 \left(\frac{m}{2} \right) \text{sinc}^2 \left[\frac{2w}{\lambda z} (x - q f_0 \lambda z) \right] \text{sinc}^2 \left(\frac{2w y}{\lambda z} \right)$$



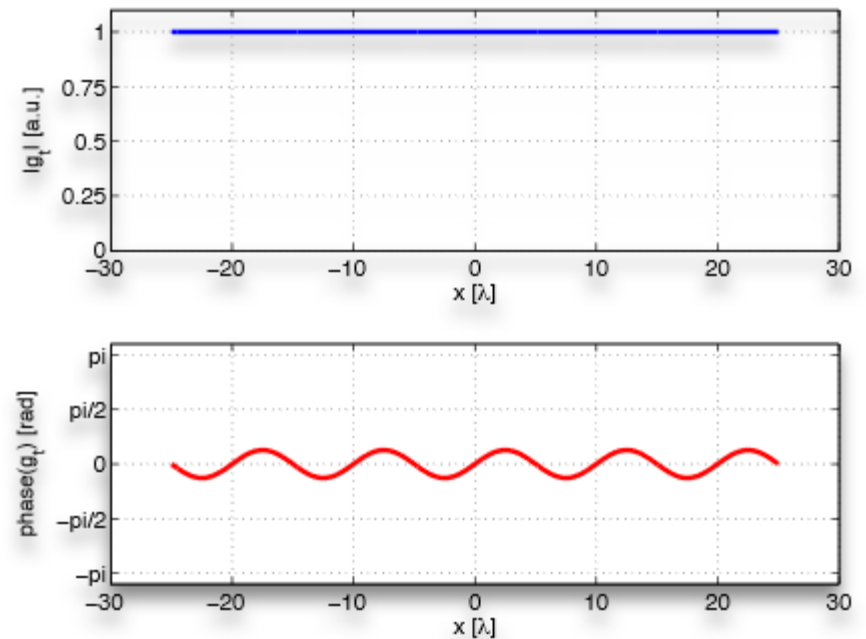
Redes de difracção

Redes de amplitude



$$g_t(x) = \frac{1}{2} \left[1 + m \cos \left(2\pi \frac{x}{\Lambda} + \phi \right) \right]$$
$$|g_t(x)| = \frac{1}{2} \left[1 + m \cos \left(2\pi \frac{x}{\Lambda} + \phi \right) \right]$$
$$\angle g_t(x) = 0.$$

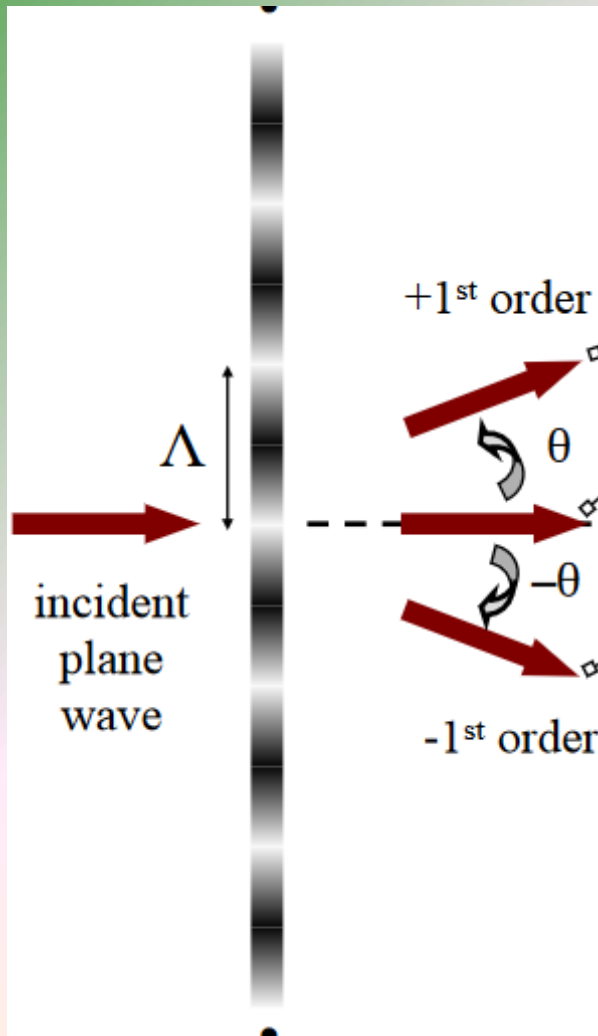
Redes de fase



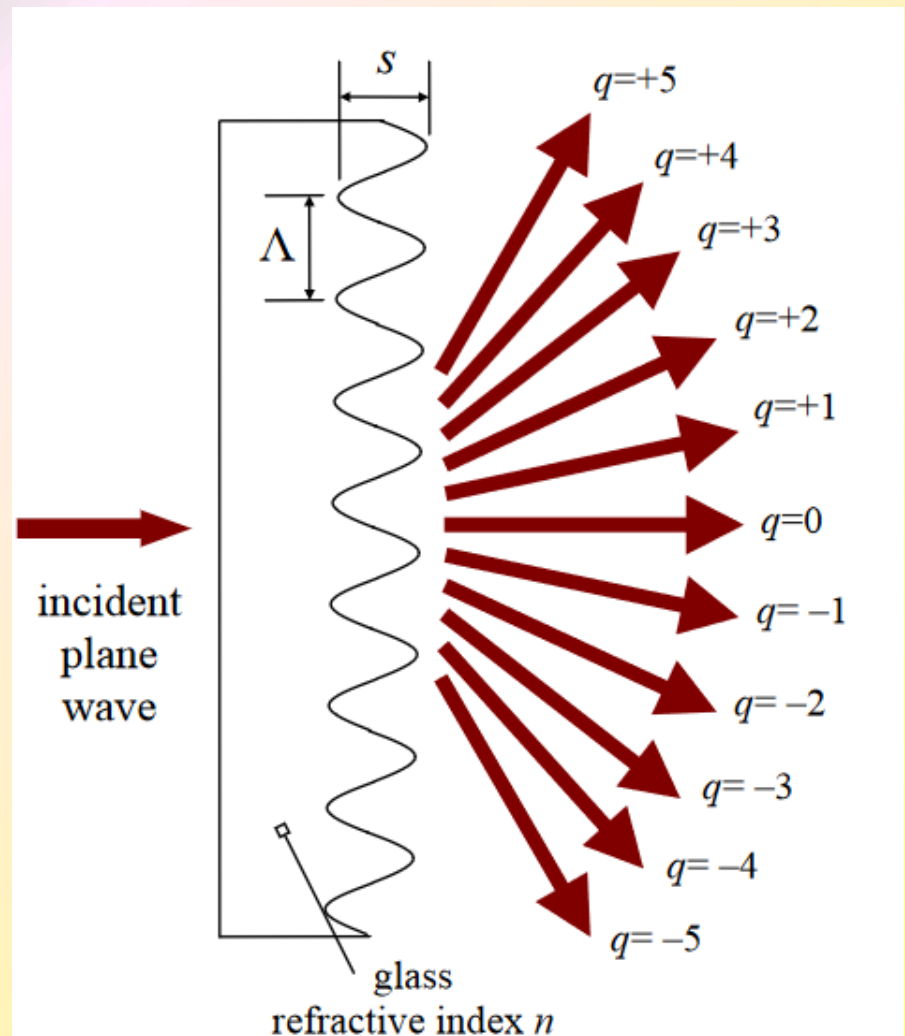
$$g_t(x) = \exp \left[i \frac{m}{2} \sin \left(2\pi \frac{x}{\Lambda} + \phi \right) \right]$$
$$|g_t(x)| = 1$$
$$\angle g_t(x) = \frac{m}{2} \sin \left(2\pi \frac{x}{\Lambda} + \phi \right).$$

Redes de difracção

Redes de amplitude sinusoidais

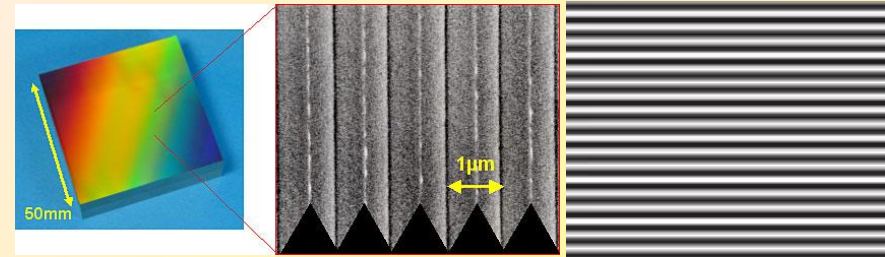
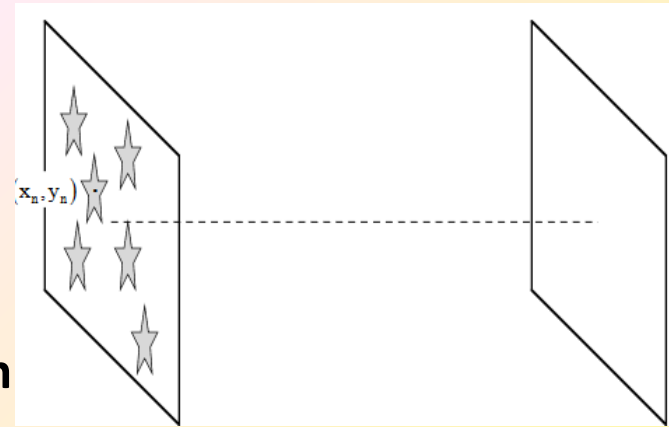


Redes de fase sinusoidais



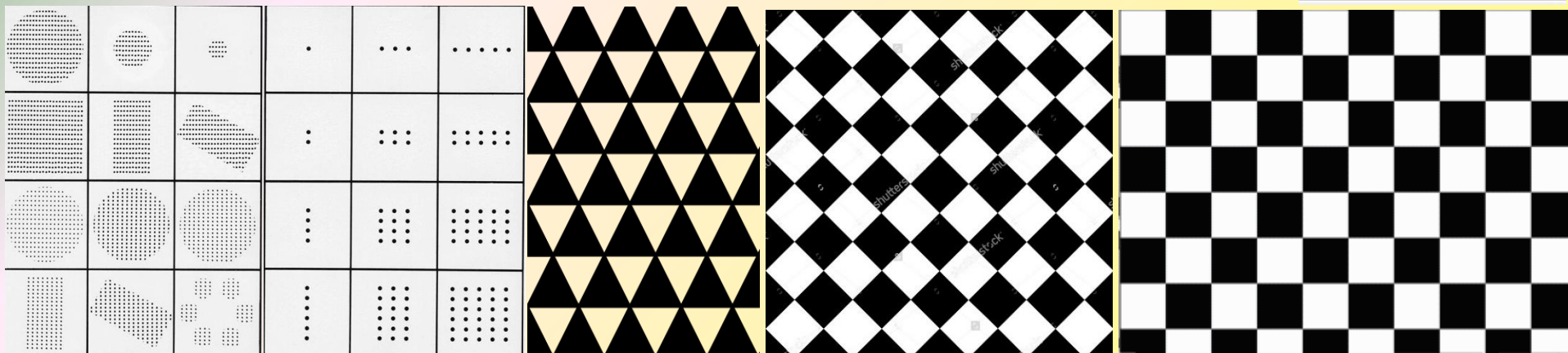
Múltiplas aberturas idênticas

- Um objecto pode ser constituído por um conjunto de muitos motivos (*de amplitude ou de fase*) M idênticos, distribuídos periódica ou aleatoriamente:
- O padrão de difracção **do conjunto** é determinado pelo padrão de difracção do motivo, D_M , multiplicado por uma função, Φ , com **máximos bem definidos**, tanto mais bem definidos quanto mais **periódica** for a distribuição e maior o número de **repetições**: Equação das rede, Teorema matricial



Hecht, 10.2.9, pág. 4.8.3

<http://optics.byu.edu/PrevText/BYUOptics11.pdf>



Equação das redes

Para motivos muito finos, os **MÁXIMOS** ocorrem segundo direcções θ_m ao longo das quais as ondas **interferam construtivamente**:

- diferenças de fase entre feixes consecutivos múltiplas de 2π
- diferenças entre percursos ópticos múltiplas de λ

$$d (\sin \theta_m + \sin \theta_i) = m\lambda$$

$$\theta_i = 0 \rightarrow d \sin \theta_m = m\lambda$$

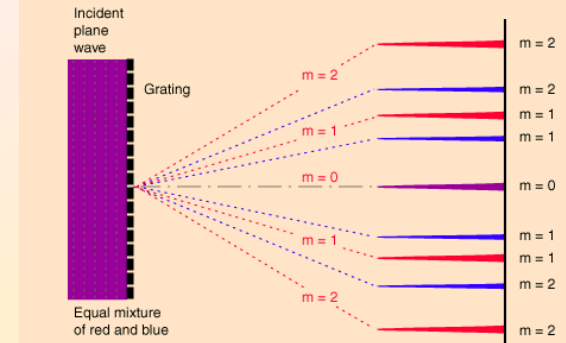
$$m = 0, \pm 1, \pm 2, \pm 3, \dots$$

A equação das redes **nada diz** sobre a distribuição de energia entre as várias *ordens*, nem sobre a estrutura fina de cada ordem.

NUNCA CONFUNDIR COM ... ➔

Diffraction Grating

A diffraction grating is the tool of choice for separating the colors in incident light.



The condition for maximum intensity is the same as that for a double slit. However, angular separation of the maxima is generally much greater because the slit spacing is so small for a diffraction grating.

Displacement y = (Order m x Wavelength x Distance D)/(slit separation d)

For a diffraction grating with lines/mm = lines/inch, the slit separation is $d =$ micrometers = $\times 10^{-5}$ m.

For incident light wavelength $\lambda =$ nm at order $m =$.

projected on a screen at distance $D =$ cm,

the displacement from the centerline for maximum intensity will be

$$y \approx \frac{m\lambda D}{d} = \text{} \text{ cm.}$$

This corresponds to an angle of $\theta =$ $^\circ$.

<http://hyperphysics.phy-astr.gsu.edu/hbase/phyopt/gratcal.html>

<https://terpconnect.umd.edu/~toh/models/DiffractionGrating.html>

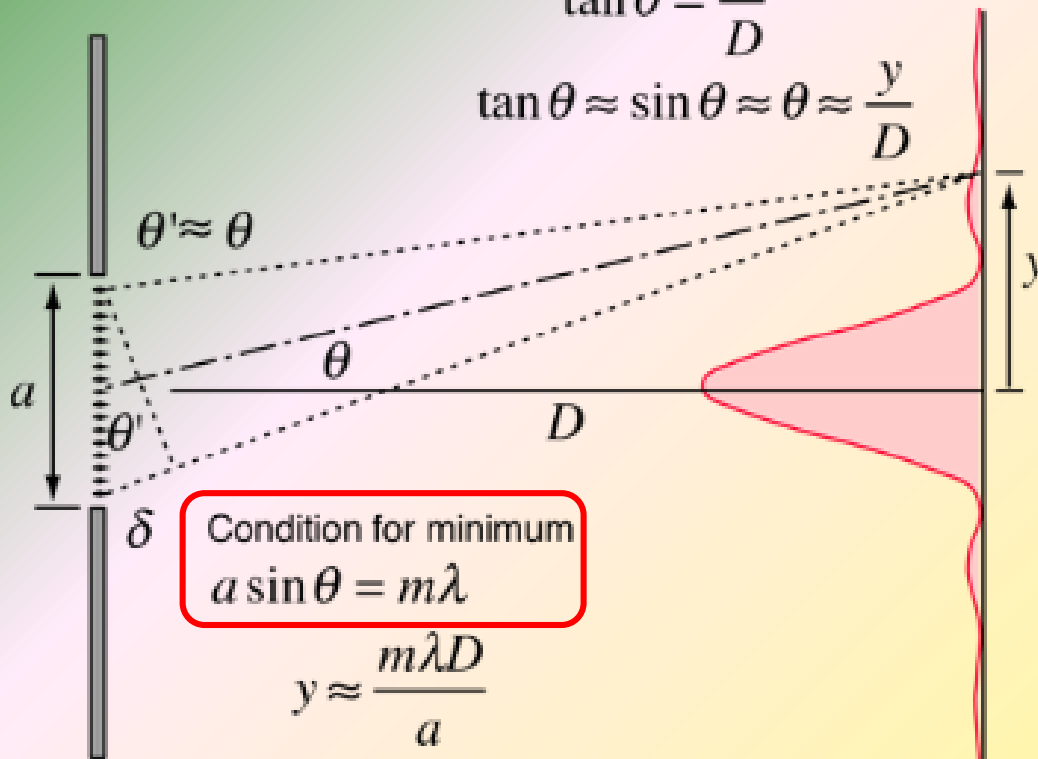
Difracção por uma fenda

Para fendas únicas de largura a , o m ésimo **MÍNIMO** ocorre segundo a direcção θ_m para a qual:

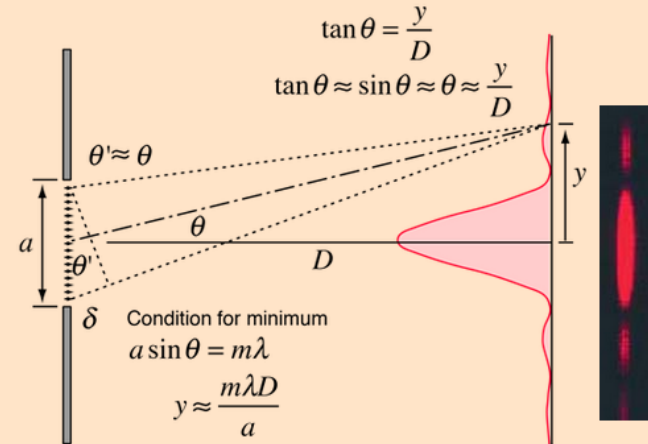
$$a \sin \theta_m = m\lambda$$

$$\tan \theta = \frac{y}{D}$$

$$\tan \theta \approx \sin \theta \approx \theta \approx \frac{y}{D}$$



Fraunhofer Single Slit



The diffraction pattern at the right is taken with a [helium-neon laser](#) and a narrow single slit.

[More conceptual details about single slit diffraction](#)

The active formula below can be used to model the different parameters which affect diffraction through a single slit. Enter the available measurements or model parameters and then click on the parameter you wish to calculate.

Displacement y = (Order m x Wavelength x Distance D) / (slit width a)

For a slit of width a = micrometers = x 10⁻⁶ m

and light wavelength λ = nm at order m = .

on a screen at distance D = cm

the displacement from the centerline for minimum intensity will be

$$y \approx \frac{m\lambda D}{a} = \text{ cm.}$$

This corresponds to a diffraction angle of θ = °.

Redes de difracção

Nas redes, o motivo individual, de largura a , replica-se **periodicamente**, N vezes.

O **espectro de difracção do motivo** determina a intensidade relativa das várias ordens.

A **equação das redes** ($d \sin \theta_m = m\lambda$) fixa, através de d , as direcções segundo as quais se distribuem as ordens.

Quanto menor for d (e maior a frequência da rede, $f = 1/d$) maior o ângulo entre ordens consecutivas (e maiores são os valores dos ângulos de difracção).

Quanto maior for N , menor é a **largura de cada ordem**, e mais reduzido é o nível do sinal entre as ordens.

As **distâncias entre ordens** no plano de observação (à distância z da rede) **não** são constantes. Se x_n representar a posição da ordem n :

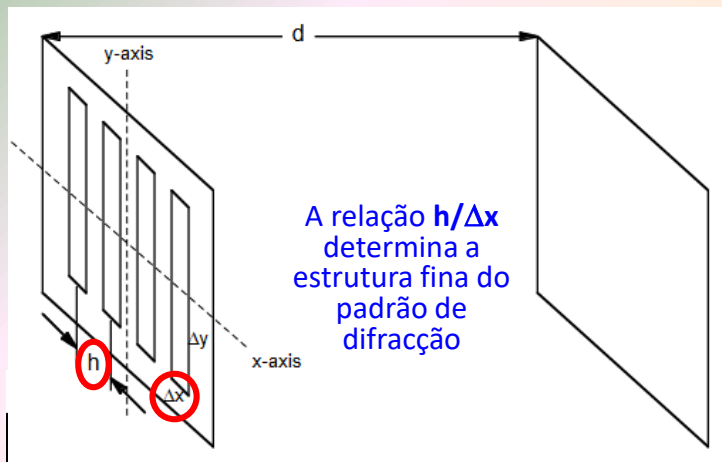
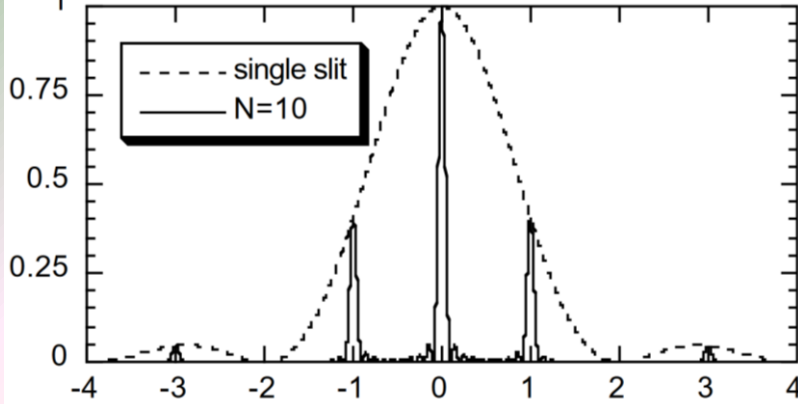
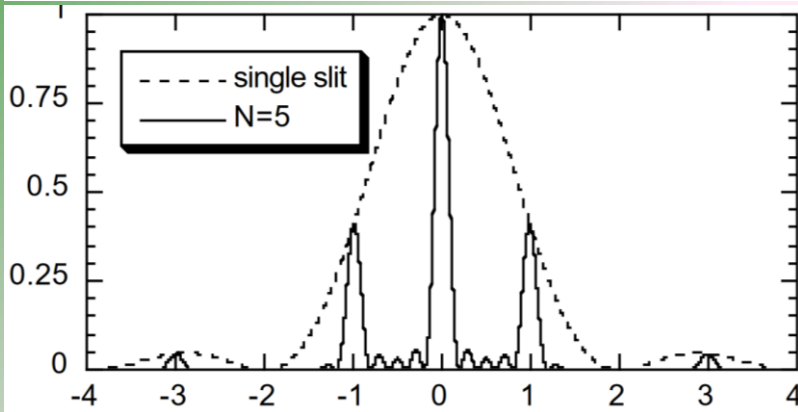
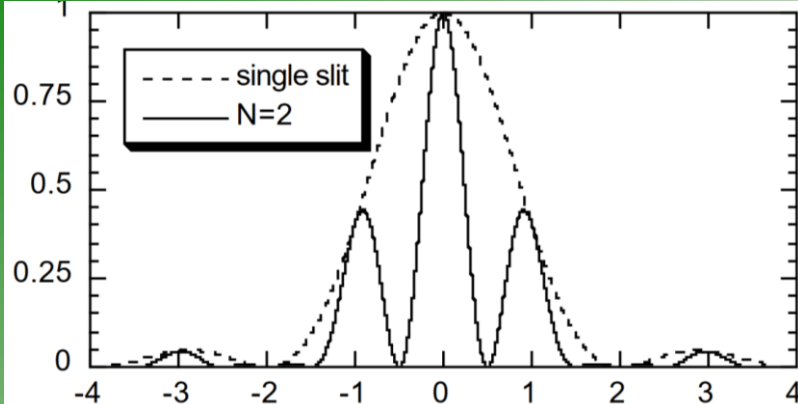
$$x_n = n\lambda z (d^2 - n^2\lambda^2)^{-1/2}$$

Como a radicanda tem de ser positiva, o **número máximo de ordens** (inteiro):

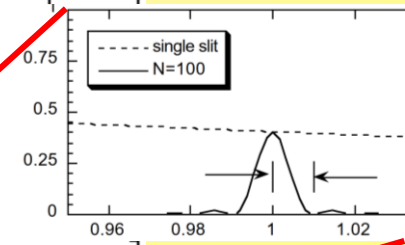
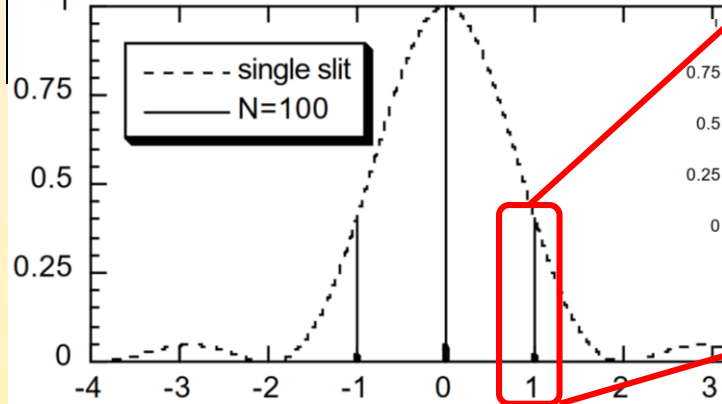
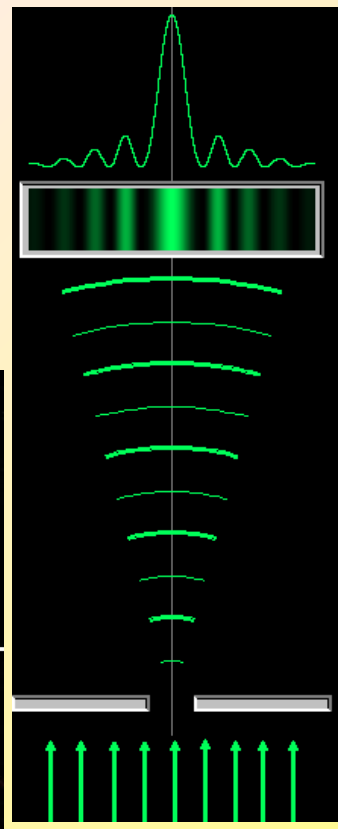
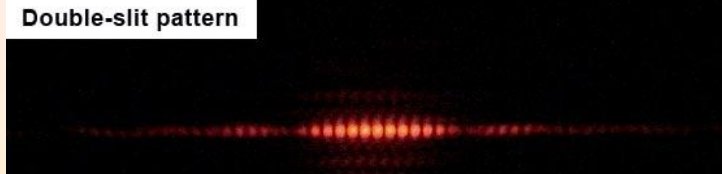
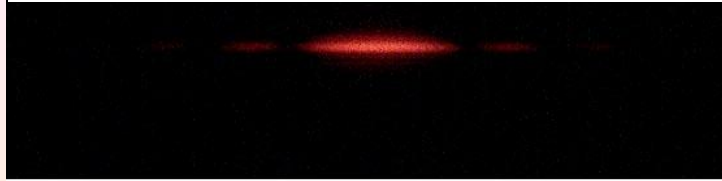
$$n \leq d/\lambda.$$

Consoante a relação entre a e d , podem **não ser visíveis** todas as ordens.

Redes de difracção (amplitude)

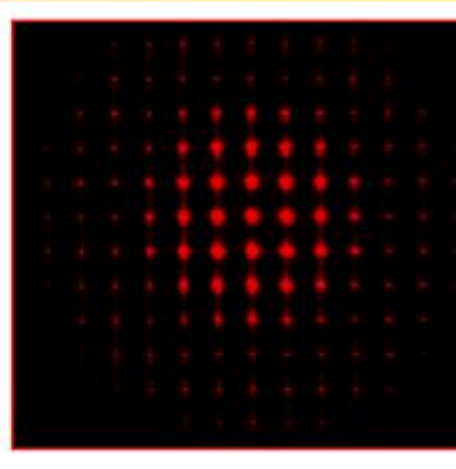
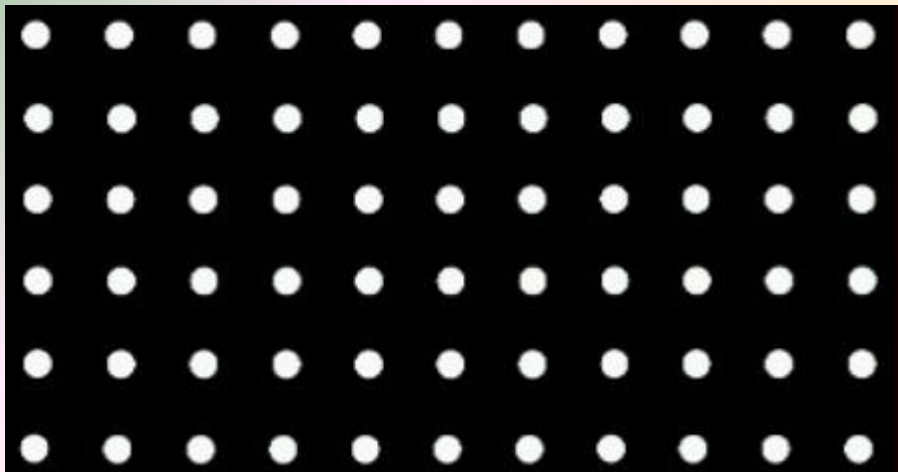
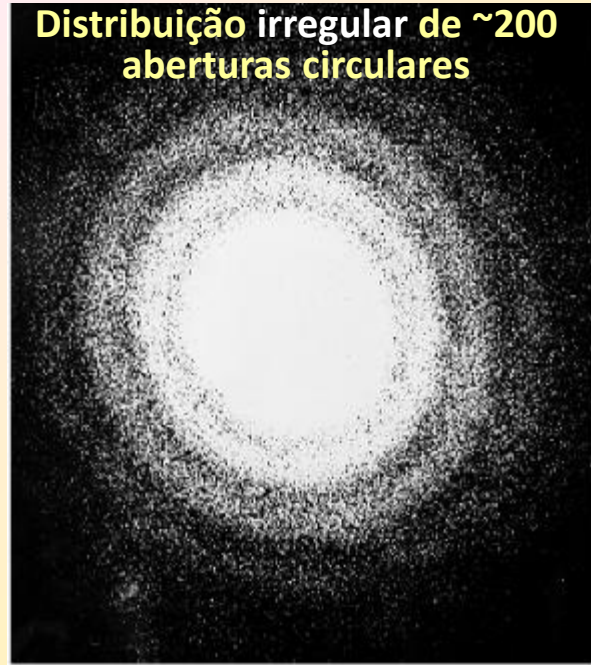
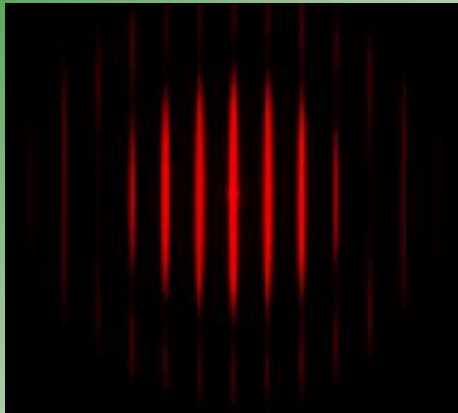


A relação $h/\Delta x$ determina a estrutura fina do padrão de difracção



Redes de difracção (amplitude): regulares e irregulares

$$\mathcal{F}\{g(x - a, y - b)\} = G(f_x, f_y) \exp[-j2\pi(f_x a + f_y b)]$$



Função de Transmissão em Amplitude (FTA)

1. FONTE GERA UMA ONDA QUE SE PROPAGA, EM z , ATÉ AO **OBJECTO**, QUE SE ENCONTRA EM $z = 0$: $U^-(x,y) = |U^-| \exp(i\phi^-)$
2. O OBJECTO ALTERA A ONDA INCIDENTE ($z=0^-$), GERANDO-SE UMA ONDA EMERGENTE ($z=0^+$), $U^+(x,y) = |U^+| \exp(i\phi^+)$
3. A ONDA EMERGENTE CONTINUA A PROPAGAR-SE, DE ACORDO COM O PRINCÍPIO DE H-F, ALTERADA COM AS CARACTERÍSTICAS DO OBJECTO.

Como se descreve o objecto, de forma a calcular a onda emergente?

Considera-se o objecto inscrito num paralelepípedo, com faces planas.

Define-se a **Função de Transmissão em Amplitude**, $t(x,y)$, [FTA] tal que:

$$U^+(x,y) = t(x,y) U^-(x,y)$$

$$|U^+(x,y)| = |t(x,y)| |U^-(x,y)| \quad \text{e} \quad \phi^+(x,y) = \phi_0(x,y) + \phi^-(x,y)$$

A FTA pode ser de:

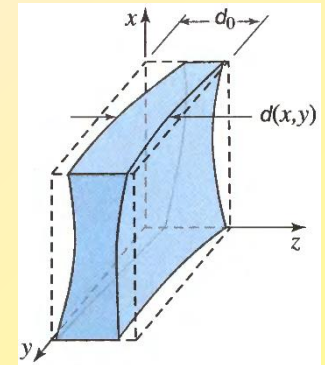
Fase $|t| = t_0$

Amplitude $\phi = \phi_0$

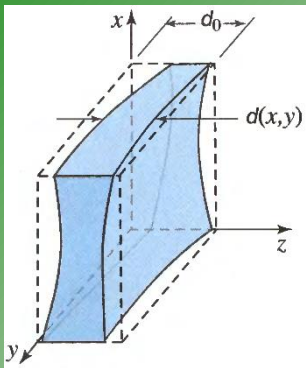
Híbrida $t(x,y) = |t(x,y)| e^{i\phi(x,y)}$

Apenas varia a fase de U^-

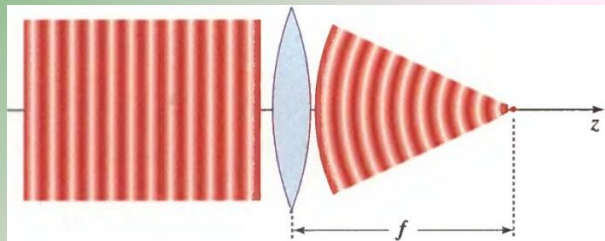
Apenas varia o módulo de U^-



Exemples de FTA's

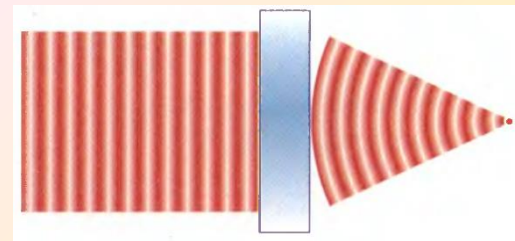


$$t(x,y) = h_0 \exp[-i(n-1) k_0 d(x,y)]$$

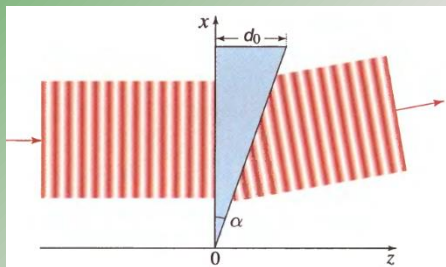


$$t(x,y) \approx h_0 \exp\left[-jk_0 \frac{x^2 + y^2}{2f}\right]$$

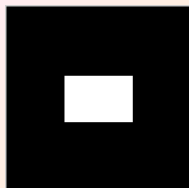
$$\frac{1}{f} = (n-1) \left(\frac{1}{R_1} - \frac{1}{R_2} \right)$$



$$t(x,y) = h_0 \exp[-i n(x,y) k_0 d_0]$$

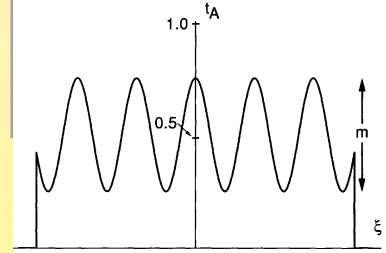
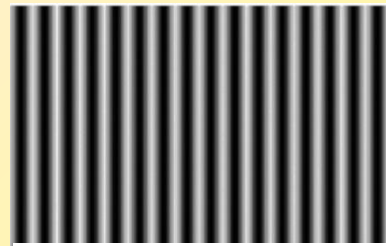
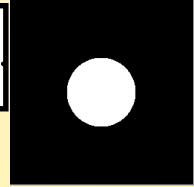


$$t(x,y) = h_0 \exp[-j(n-1)k_0 \alpha x]$$

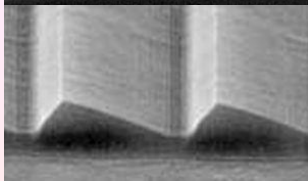
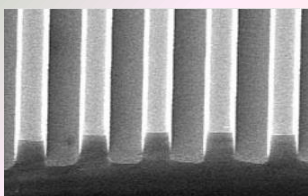


$$t_A(\xi, \eta) = \text{rect}\left(\frac{\xi}{2w_x}\right) \text{rect}\left(\frac{\eta}{2w_y}\right)$$

$$t_A(q) = \text{circ}\left(\frac{q}{w}\right)$$



$$t_A(\xi, \eta) = \left[\frac{1}{2} + \frac{m}{2} \cos(2\pi f_0 \xi) \right] \text{rect}\left(\frac{\xi}{2w}\right) \text{rect}\left(\frac{\eta}{2w}\right)$$



$$t_A(\xi, \eta) = \exp\left[j \frac{m}{2} \sin(2\pi f_0 \xi)\right] \text{rect}\left(\frac{\xi}{2w}\right) \text{rect}\left(\frac{\eta}{2w}\right)$$

Elementos transmissivos

Um componente é limitado pelos planos $z=0$ e $z=d_0$.

A espessura $d(x,y)$ varia *lentamente*.

O onda incidente é descrita na aproximação **paraxial**, os ângulos de incidência são pequenos, o desvio lateral insignificante

A **função de transmissão em amplitude (FTA)** do componente refere-se à estrutura paralelepípedica de espessura d_0 , com índices:

$$\text{ar} - \text{n} - \text{ar}$$

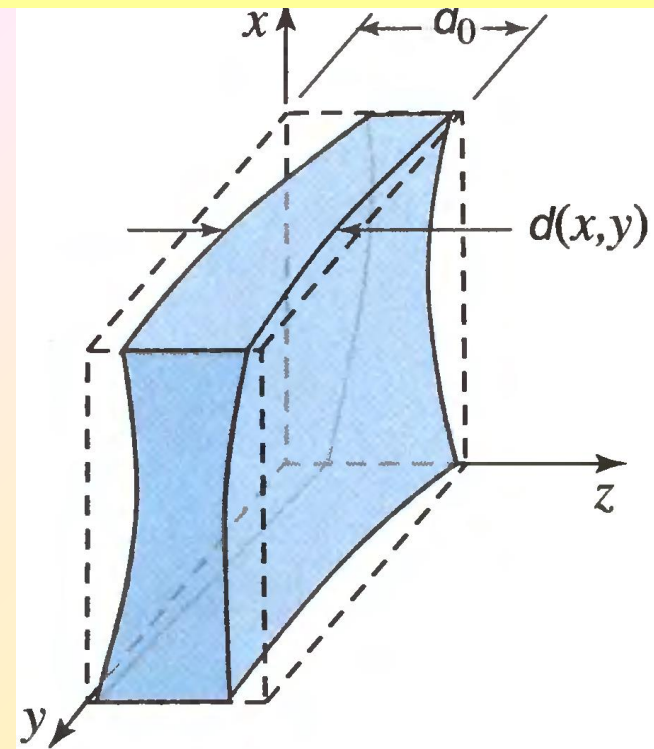
A onda atravessa:

uma espessura $d(x,y)$ de **material** (índice n)

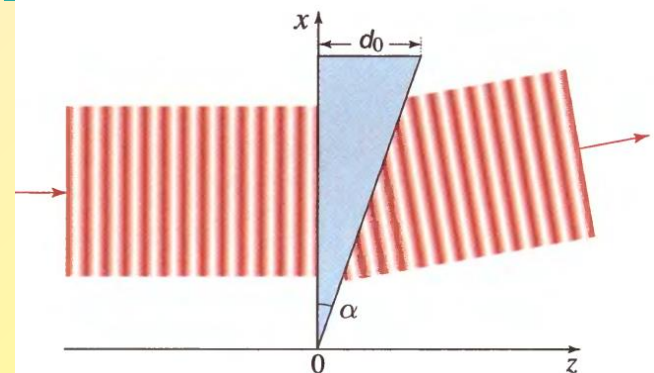
uma espessura $d_0 - d(x,y)$ de **ar** (índice 1)

$$t(x,y) = h'_0 \exp[-ink_0 d(x,y)] \exp\{-ik_0 [d_0 - d(x,y)]\}$$

$$t(x,y) = h_0 \exp[-i(n-1) k_0 d(x,y)]$$



Prismas - Saleh, Problema 2.4-1



$$t(x,y) = h_0 \exp[-j(n-1)k_0 \alpha x]$$

Lente delgada

Função de transmissão em amplitude (FTA) geral

$$t(x,y) = h_0 \exp[-i(n-1)k_0 d(x,y)]$$

Espessura de uma lente *plano-convexa* é

$$d(x,y) = d_0 - \left\{ R - \left[R^2 - (x^2 + y^2) \right]^{1/2} \right\}$$

Aproximação paraxial (plano-convexa) $x^2 + y^2 \ll R^2$ e espessura

$$\left[R^2 - (x^2 + y^2) \right]^{1/2} = R \left(1 - \frac{x^2 + y^2}{R^2} \right)^{1/2} \approx R \left(1 - \frac{x^2 + y^2}{2R^2} \right)$$

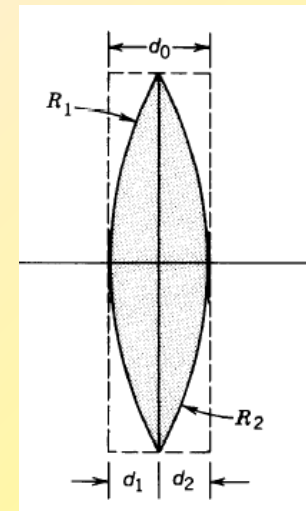
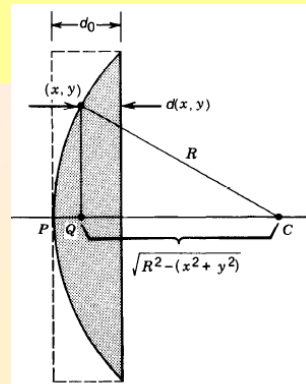
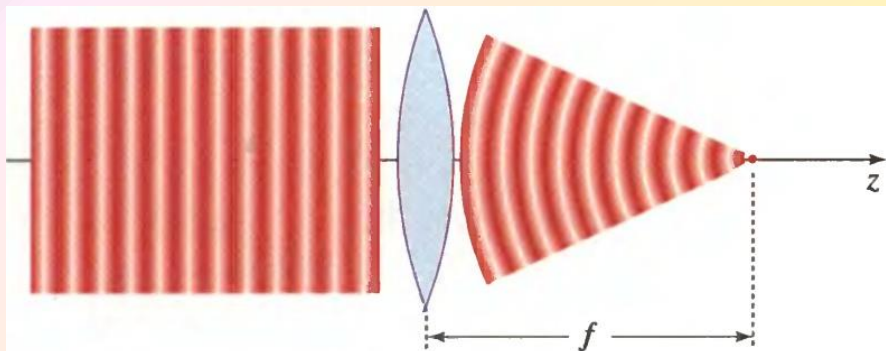
$$d(x,y) \approx d_0 - \frac{x^2 + y^2}{2R}$$

FTA (lente completa)

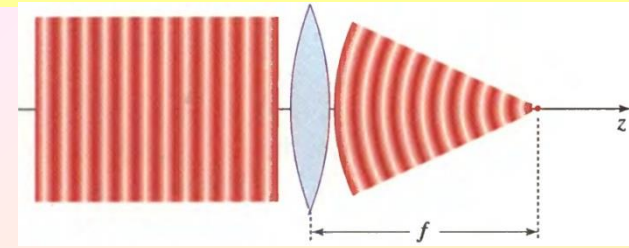
$$t(x,y) = h_0 e^{-ik \frac{x^2 + y^2}{2f}}$$

Com $\frac{1}{f} = (n-1) \left(\frac{1}{R_1} - \frac{1}{R_2} \right)$ (**distância focal** de uma lente delgada)

Uma lente positiva de distância focal **f** transforma **ondas planas** em **ondas paraboloïdais convergentes** para o foco:



Resolução: critério de Rayleigh



A lente (de raio ρ) **difracta** a onda incidente:

➤ Iluminação por onda plana: $U_i(\xi, \eta) = 1$.

➤ FTA da lente: $t(\xi, \eta) = h_0 e^{-ik \frac{\xi^2 + \eta^2}{2f}} \cdot \text{circ} \left(\frac{\sqrt{\xi^2 + \eta^2}}{\rho} \right)$

➤ Campo imediatamente depois da lente ($z=0^+$): $U(\xi, \eta) = U_i(\xi, \eta) \times t(\xi, \eta)$

➤ Propagação para o plano focal da lente ($z = f$) (condições de **Fresnel**):

$$U(x, y) = \frac{e^{jkz}}{j\lambda z} e^{j\frac{k}{2z}(x^2+y^2)} \iint_{-\infty}^{\infty} \left\{ U(\xi, \eta) e^{j\frac{k}{2z}(\xi^2+\eta^2)} \right\} e^{-j\frac{2\pi}{\lambda z}(x\xi+y\eta)} d\xi d\eta$$

$$U(x, y) = \frac{e^{ikz} e^{-i\frac{k}{2f}(x^2+y^2)}}{i\lambda f} \mathcal{F}\{\text{circ}\}_{f_X=\frac{x}{\lambda f}, f_Y=\frac{y}{\lambda f}}$$

➤ Situação normal de formação de imagem num **telescópio**!

➤ No plano focal, a **irradiância** é descrita pelo quadrado do módulo da TF da pupila:

➤ Uma estrela → um padrão de Airy

➤ Duas estrelas angularmente próximas: dois padrões de Airy, porventura sobrepostos.

➤ Duas estrelas serão resolvidas se a separação entre os dois padrões de Airy satisfizer, por exemplo, o **critério de Rayleigh**!

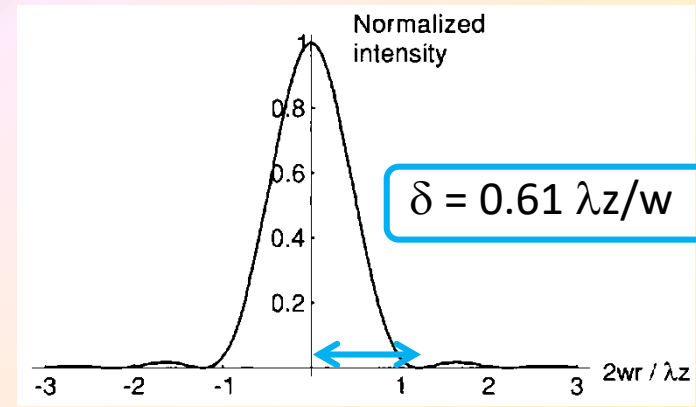
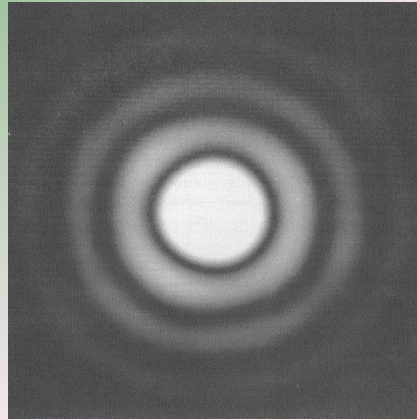
Resolução: critério de Rayleigh

$$I(r) = \left(\frac{A}{\lambda z}\right)^2 \left[2 \frac{J_1(kwr/z)}{kwr/z}\right]^2$$

Raio w , Diâmetro $D = 2w$

Diâmetro do lobo central:

$$d = 1.22 \frac{\lambda z}{w}$$



➤ **Critério de resolução de Rayleigh:** duas fontes incoerentes podem ser resolvidas por um sistema limitado por difracção e com uma pupila circular quando o centro do padrão de irradiância de Airy de uma coincidir com o primeiro zero do padrão de Airy da outra.

➤ O 1º zero de J_1 ocorre para $\pi x = 1.22$.

➤ A separação mínima *radial* no plano imagem ($z=f$) é metade da largura do lobo central (d) do padrão de Airy:

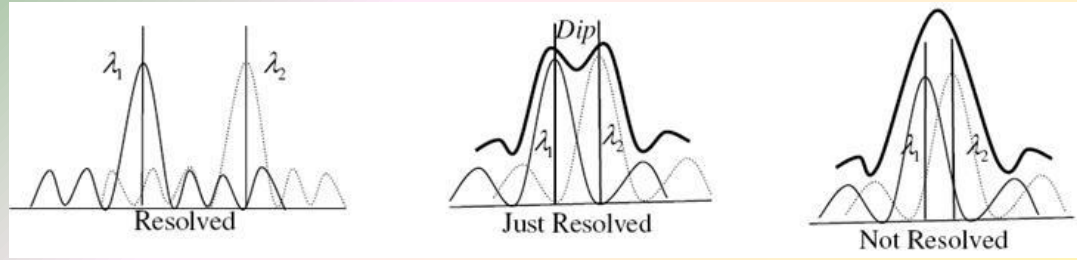
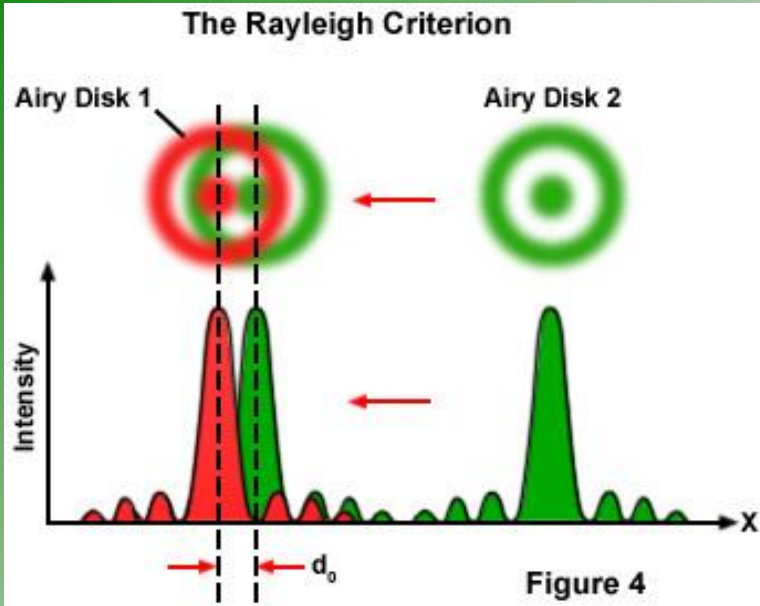
$$d = 0.61 \lambda f/w \rightarrow 1.22 \lambda f/D$$

➤ A separação *angular* (no espaço objecto) será:

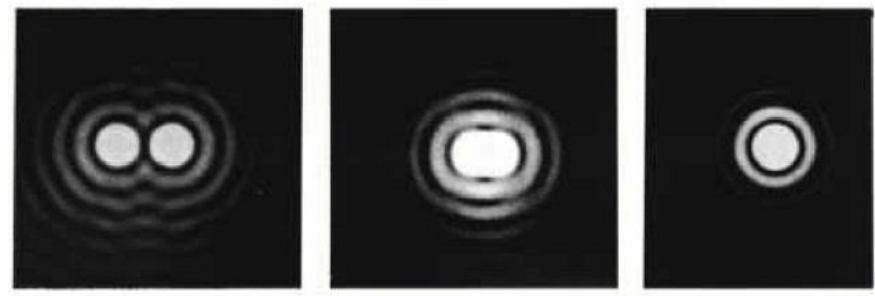
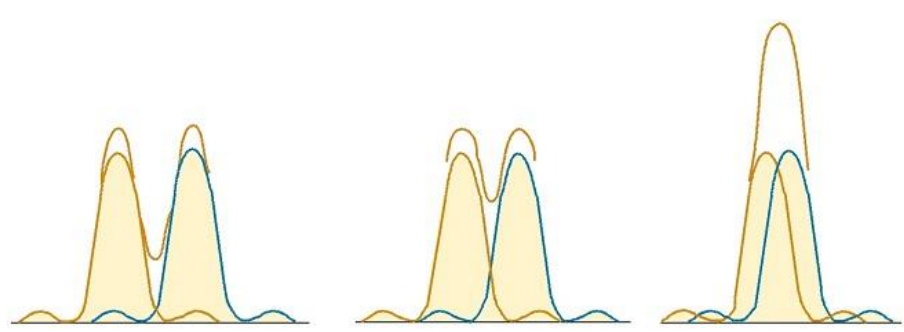
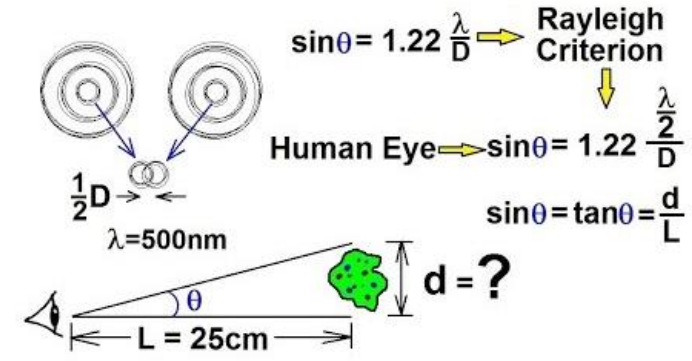
$$\theta = 1.22 \lambda/D \text{ (rad)}$$

x	$\left[2 \frac{J_1(\pi x)}{\pi x}\right]^2$	max, min
0	1	max
1.220	0	min
1.635	0.0175	max
2.233	0	min
2.679	0.0042	max
3.238	0	min
3.699	0.0016	max

Resolution: Rayleigh criterium



How Rayleigh's Criterion Affects Angle of Resolution

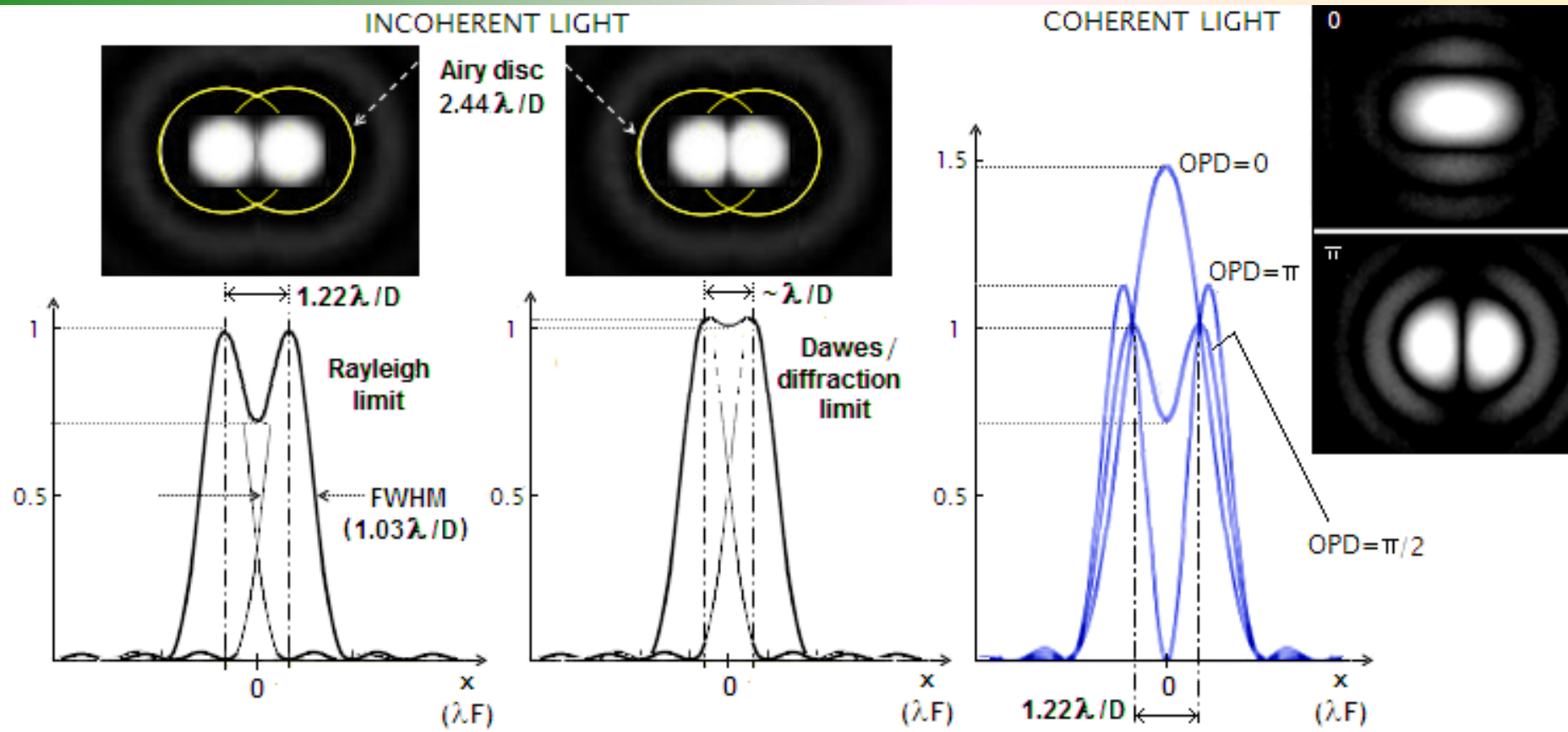


(a) (b) (c)

lambda	5,00E-07	m
Diameter	2,00E-03	m
theta	62,911	arc sec
f	0,020	m
dx	6,100	micron

lambda	5,00E-07	m
Diameter	8,00E-03	m
theta	15,728	arc sec
f	0,020	m
dx	1,525	micron

Resolution: coherent and incoherent cases

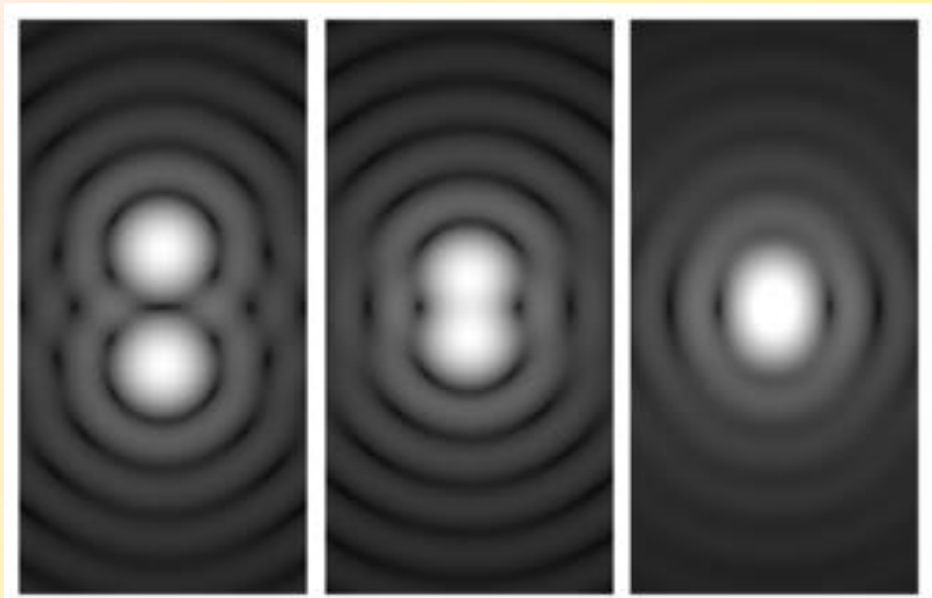
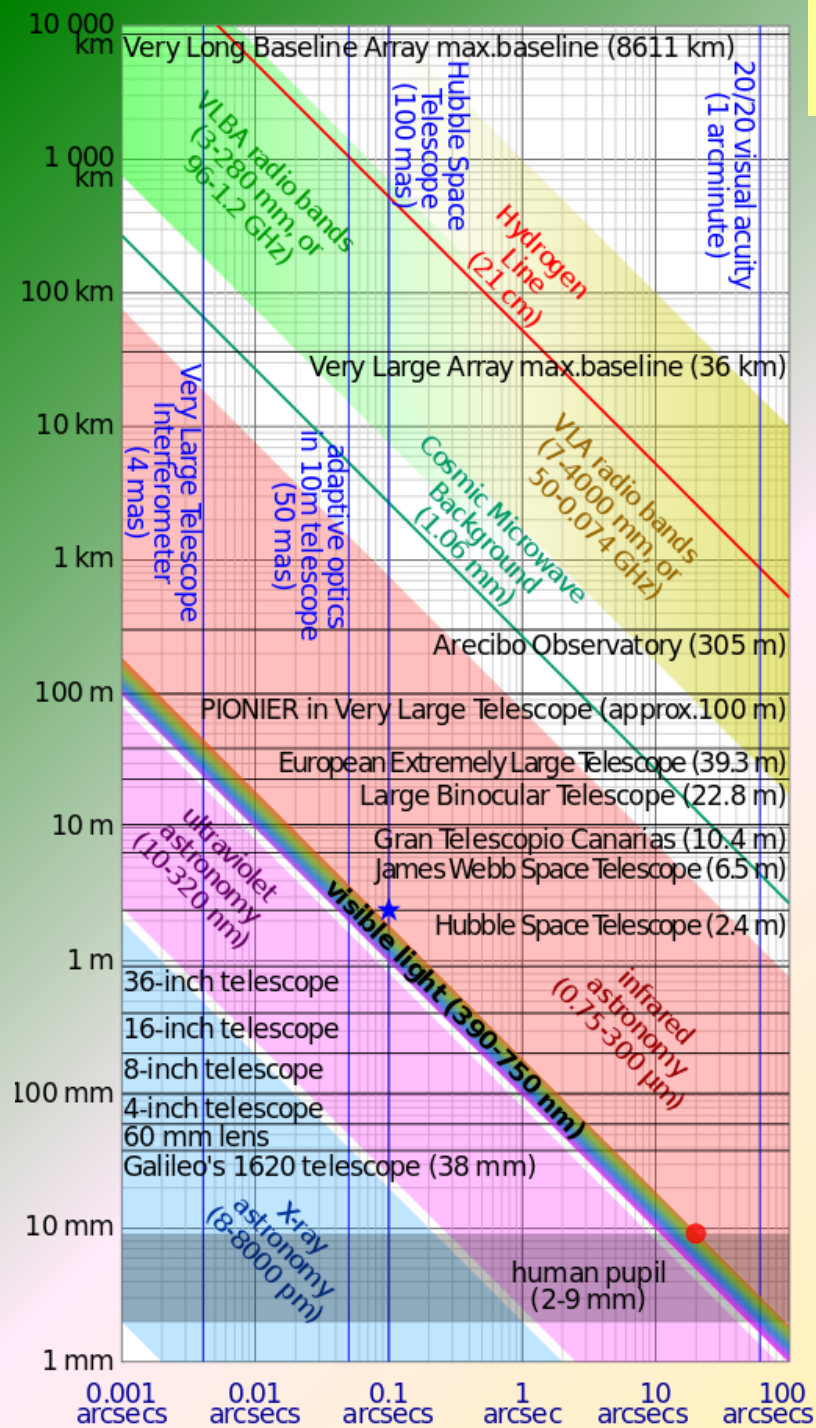


Resolution: Rayleigh criterium

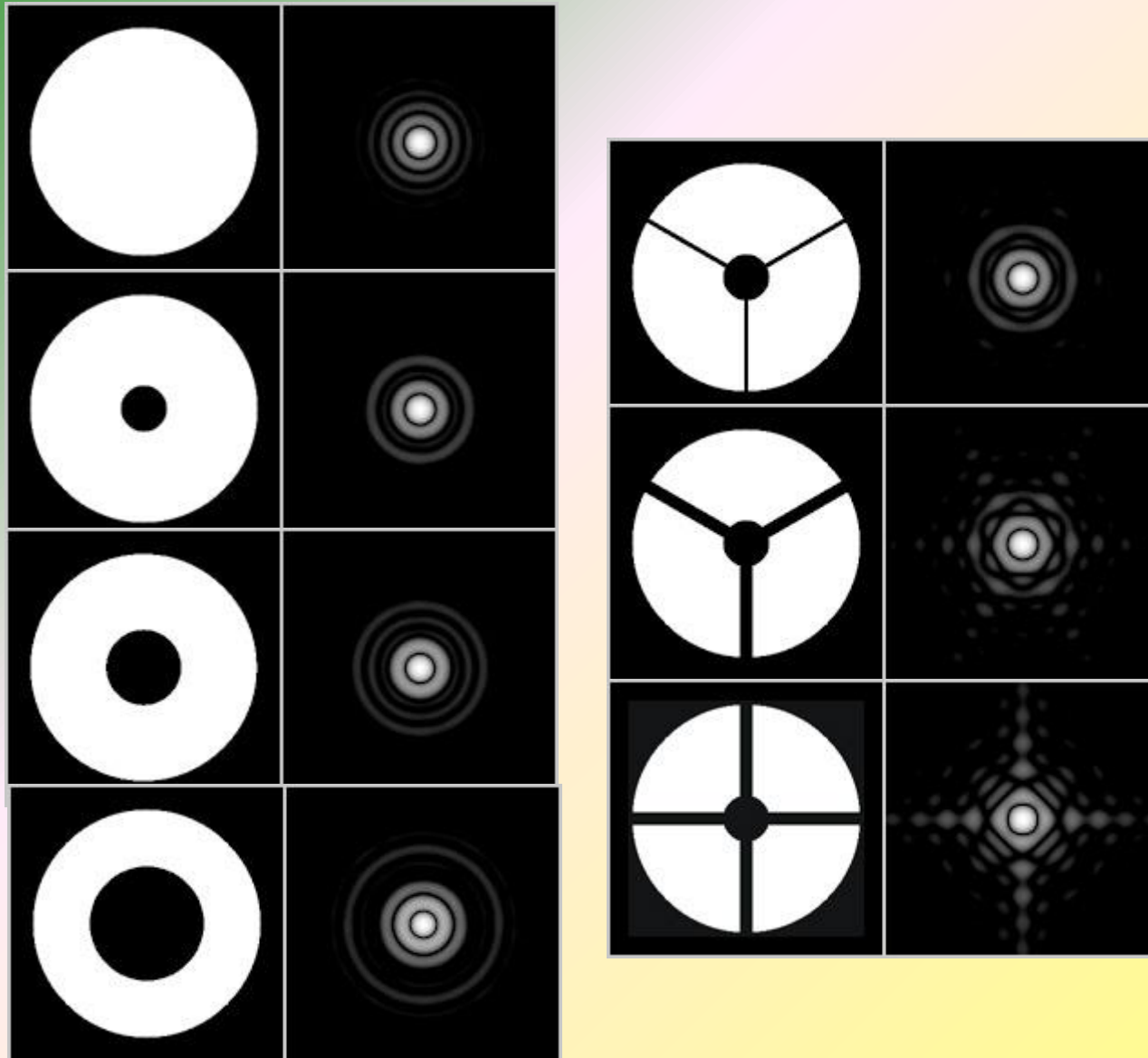
Aperture diameter vs **angular resolution**
at diffraction limit, for various λ .

Examples:

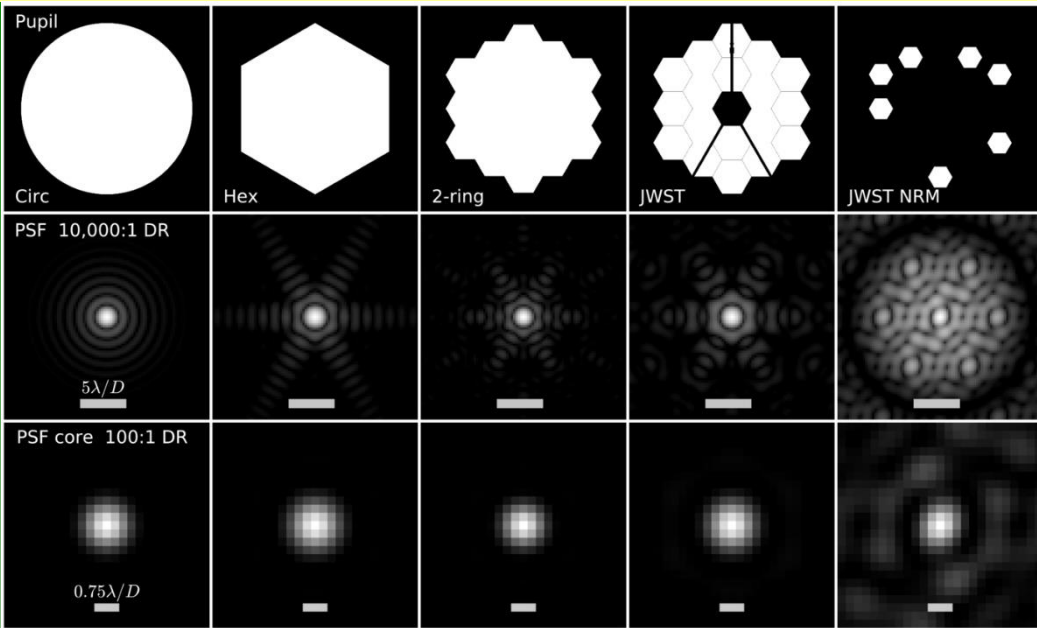
- * Hubble Space Telescope is almost diffraction-limited in the visible, at **0.1"**
- Human eye should have a resolving power of **20"** in theory (**60"**, in practice).



Estrutura da pupila e padrões de difracção (PSF)

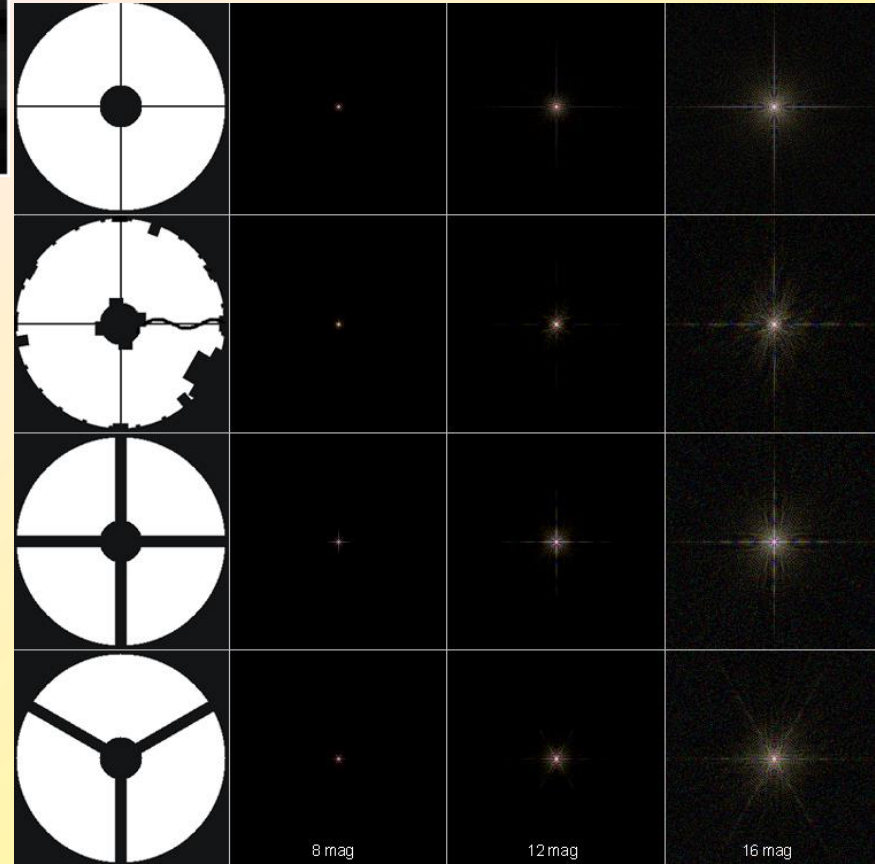
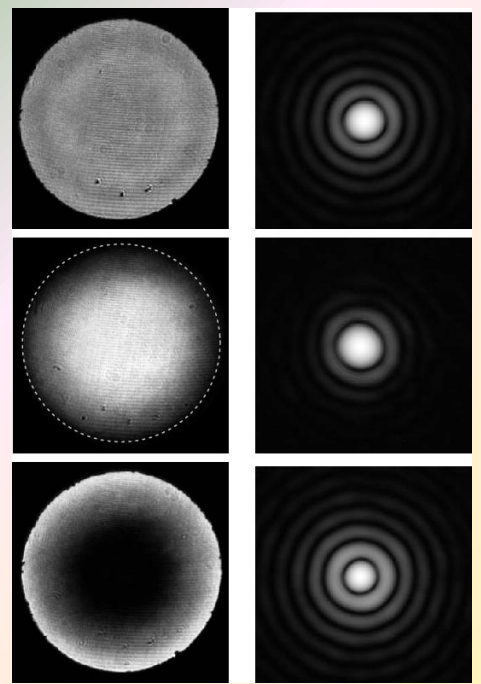


Estrutura da pupila e padrões de difracção (PSF)



<http://www.beugungsbild.de/diffraction/diffraction.html>

<http://iopscience.iop.org/article/10.1088/0004-637X/783/2/73>



<https://www.aanda.org/articles/aa/full/2008/49/aa8270-07/aa8270-07.html>

Resolução: critério de Rayleigh

Sites & Java Aplets

- <http://www.olympusfluoview.com/java/resolution3d/index.html>
- <http://micro.magnet.fsu.edu/primer/java/imageformation/rayleighdisks/>
- <http://www.microscopyu.com/articles/formulas/formulasresolution.html>

Propagação, feixes e difracção

Como se **propaga** uma onda electromagnética?

Como se descrevem opticamente objectos e componentes ópticos?

A - Reflexão e Refracção

Espelhos e dioptros planos

B – Transmissão através de componentes ópticos

Lâminas de faces paralelas ou não

Lentes

Redes de difracção

C – Componentes de índice variável

Quais os efeitos de componentes ópticos / objectos difractantes sobre ondas?

Espelhos

Lâminas

Lentes

Prismas

Redes de difracção

Objectos 2D / 3D

Feixes e espelhos planos

A soma das **duas** ondas satisfaz a Eq. Helmholtz. Logo $k_1 = k_2 = k_0$

A imposição das condições fronteira sobre o espelho obriga a que as fases das **duas** ondas sejam idênticas **em $z=0$** . Logo:

$$\mathbf{k}_1 \cdot \mathbf{r} = \mathbf{k}_2 \cdot \mathbf{r}$$

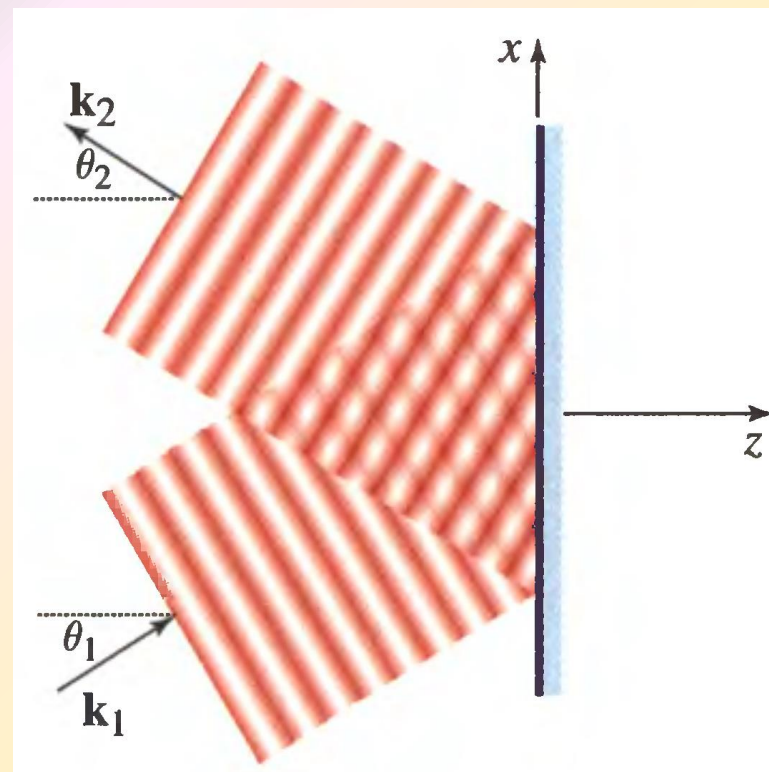
Se

$$\mathbf{r} = (x, y, 0)$$

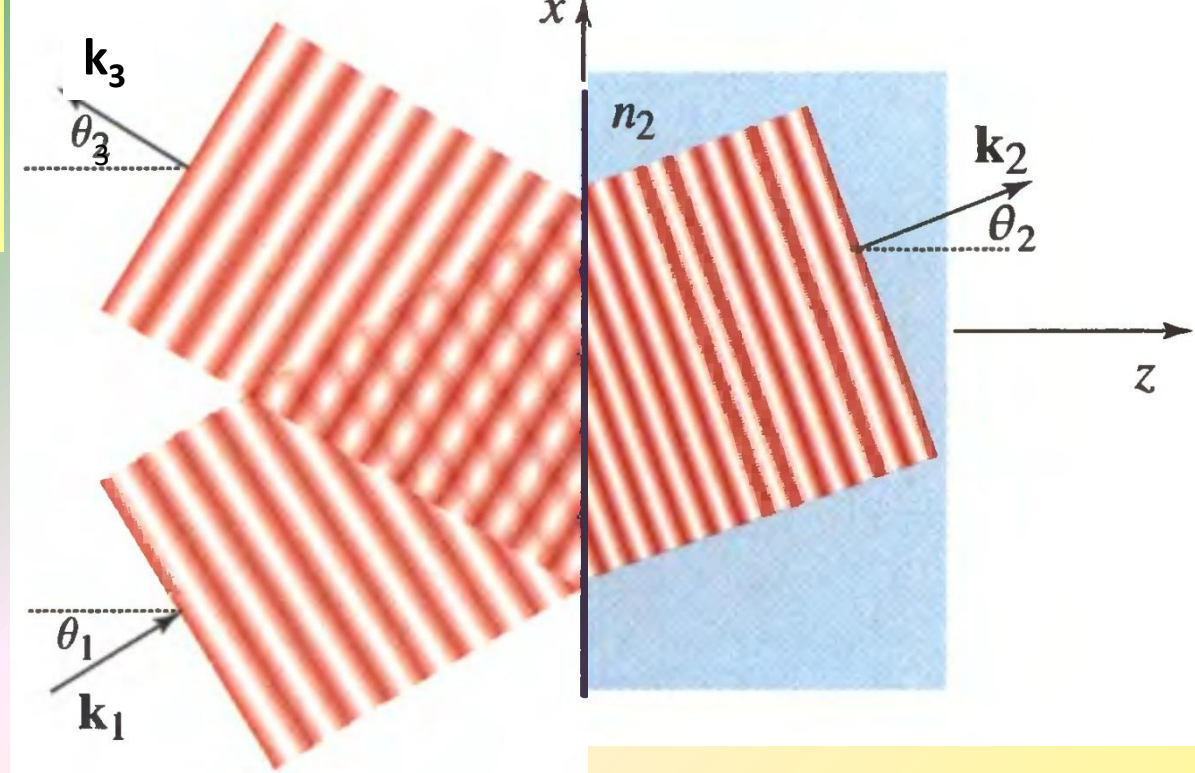
$$\mathbf{k}_i = (k_0 \sin \theta_i, 0, k_0 \cos \theta_i), \quad i=1,2$$

então

$$\theta_1 = \theta_2$$



Feixes e dioptros planos



→ A soma das **três** ondas satisfaz a Eq. Helmholtz. Logo:

$$k_1 = k_3 = n_1 k_0$$

$$k_2 = n_2 k_0$$

→ A imposição das condições fronteira sobre o espelho obriga a que as fases das **três** ondas sejam idênticas **em $z=0$** . Logo:

$$\mathbf{k}_1 \cdot \mathbf{r} = \mathbf{k}_2 \cdot \mathbf{r} = \mathbf{k}_3 \cdot \mathbf{r}$$

Daqui resulta que:

$$\theta_1 = \theta_3$$

$$n_1 \sin \theta_1 = n_2 \sin \theta_2$$

As amplitudes das três ondas são determinadas pelas **equações de Fresnel**

Função de transmissão em amplitude

Amplitude ← amplitude complexa, equação de Helmholtz

Transmissão ou Reflexão

Objecto: limitado por planos paralelos, normais a ZZ

Amplitude incidente: $U(x, y)$

Amplitude transmitida: $U'(x, y)$

Função de transmissão / reflexão em amplitude, $t(x, y)$:

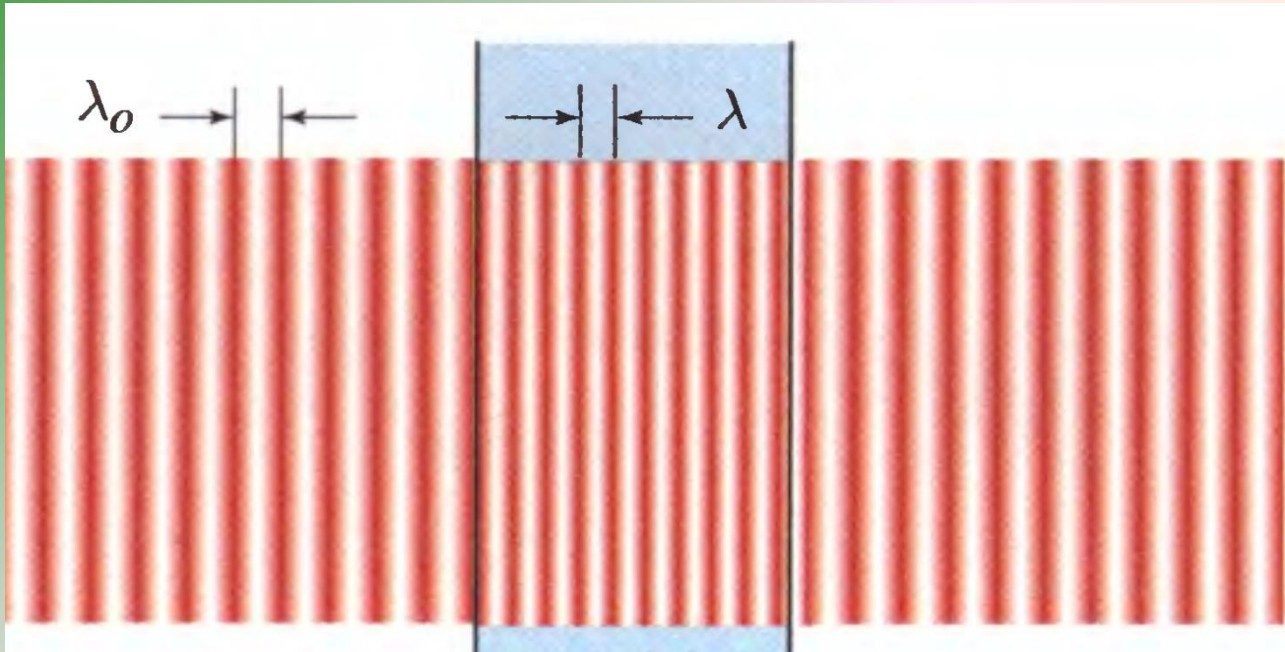
$$U'(x, y) = t(x, y) U(x, y)$$

Variação de fase de uma **onda plana** que se propaga de uma distância **d**:

$$e^{i\mathbf{k}\cdot\mathbf{r}} = e^{ik\Delta z} = e^{ikd} = e^{i\Delta\varphi}$$

$$\Delta\varphi = kd = \frac{2\pi}{\lambda} d = 2\pi \frac{d}{\lambda} = 2\pi n \frac{d}{\lambda_0} = \frac{2\pi}{\lambda_0} nd = nk_0 d$$

Transmissão plana



Amplitude incidente: $U(x,y,0)$

Amplitude transmitida: $U(x,y,d)$

Função de transmissão em amplitude: $\mathbf{t}(x,y) = U(x,y,d) / U(x,y,0)$

$0 < z < d$: Onda plana – $U(x,y,z) = U(x,y,0) \exp(-ink_0z)$

A lâmina introduz uma variação de fase de $\Delta\varphi = nk_0d = 2\pi d/\lambda$

A função de transmissão em amplitude é: $\mathbf{t}(x,y) = \exp(-ink_0d)$

Elementos transmissivos

Um elemento é limitado pelos planos $z=0$ e $z=d_0$.

A espessura $d(x,y)$ varia lentamente.

Onda incidente é **paraxial**, os ângulos de incidência são pequenos, o desvio lateral insignificante

A **função de transmissão em amplitude (FTA)** do componente refere-se à estrutura paralelepédica de espessura d_0 , com índices:

$$\text{ar} - n - \text{ar}$$

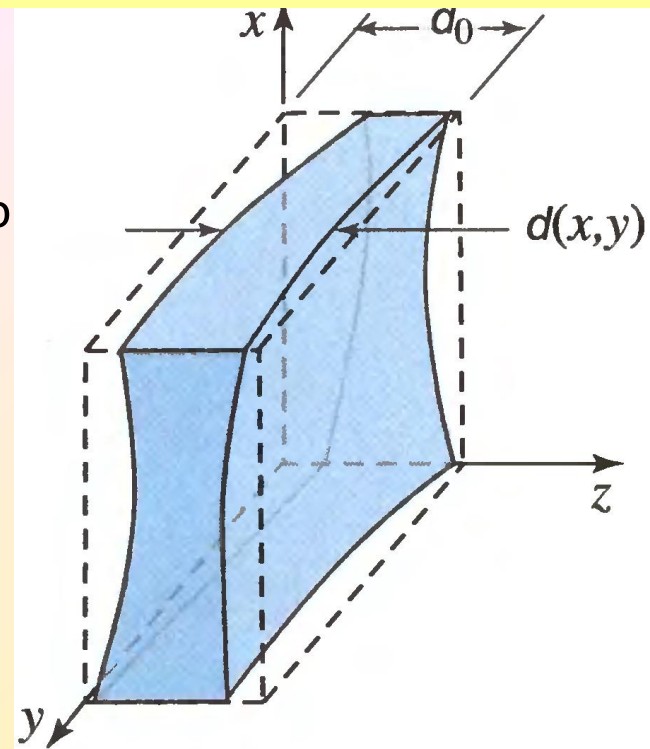
A onda atravessa:

uma espessura $d(x,y)$ de **material** (n)

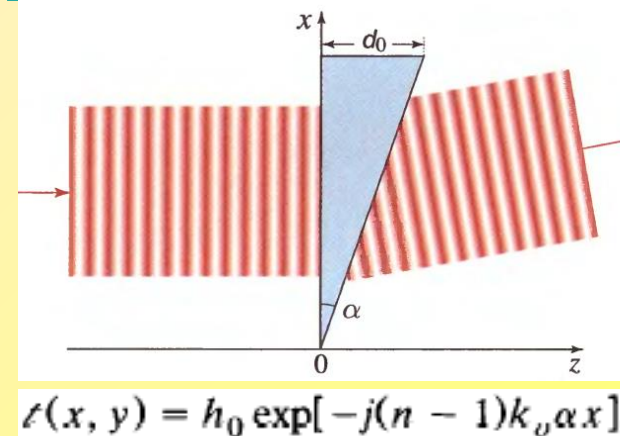
uma espessura $d_0 - d(x,y)$ de **ar** (1)

$$t(x,y) = h'_0 \exp[-ink_0 d(x,y)] \exp\{-ik_0 [d_0 - d(x,y)]\}$$

$$t(x,y) = h_0 \exp[-i(n-1) k_0 d(x,y)]$$



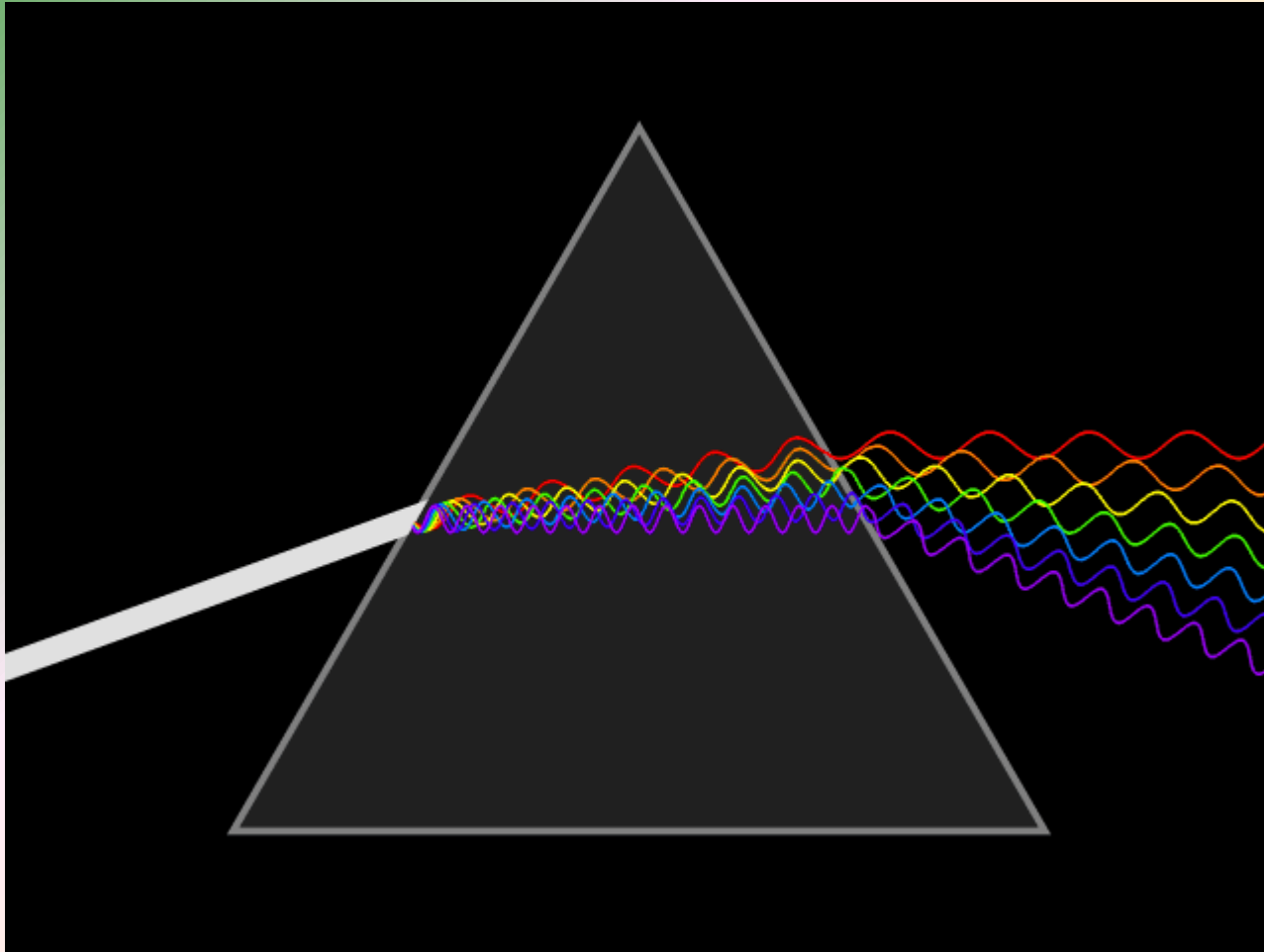
Prismas - Saleh, Problema 2.4-1



$$t(x,y) = h_0 \exp[-j(n-1)k_0 \alpha x]$$

Elementos transmisivos: prismas

$$t(x,y) = h_0 \exp\{-i[n(\lambda)-1] k_0 d(x,y)\}$$



$$t(x, y) = h_0 \exp[-j(n - 1)k_0 \alpha x]$$

Lentes delgadas

$$t(x,y) = h_0 \exp[-i(n-1)k_0 d(x,y)]$$

A espessura de uma lente *plano-convexa* é:

$$d(x,y) = d_0 - \left\{ R - \left[R^2 - (x^2 + y^2) \right]^{1/2} \right\}$$

Se a zona útil for pequena em relação a R ,

$$x^2 + y^2 \ll R^2$$

$$\left[R^2 - (x^2 + y^2) \right]^{1/2} = R \left(1 - \frac{x^2 + y^2}{R^2} \right)^{1/2} \approx R \left(1 - \frac{x^2 + y^2}{2R^2} \right)$$

Logo

$$d(x,y) \approx d_0 - \frac{x^2 + y^2}{2R}$$

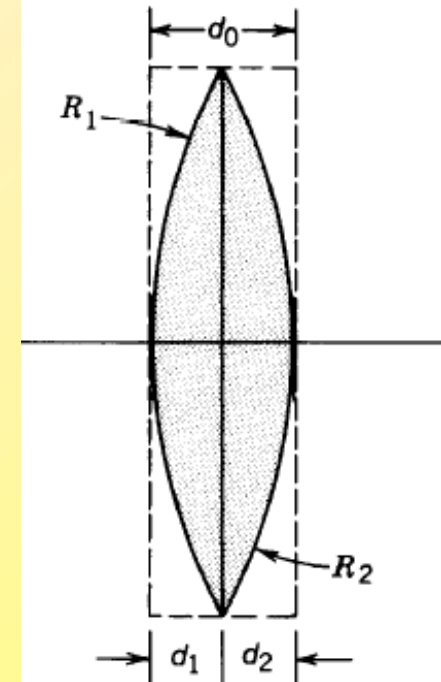
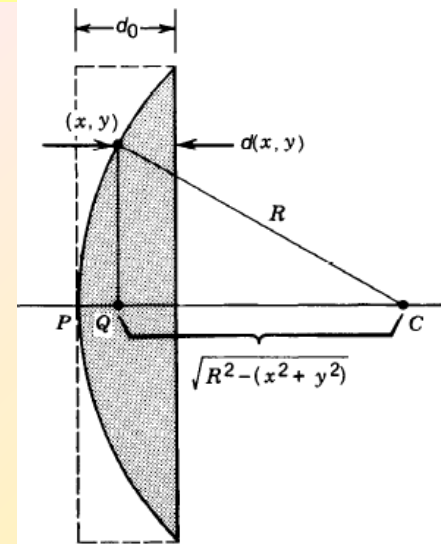
A FTA é:

$$t(x,y) \approx h_0 \exp \left[jk_0 \frac{x^2 + y^2}{2f} \right]$$

Recupera-se a **distância focal** de uma lente simples:

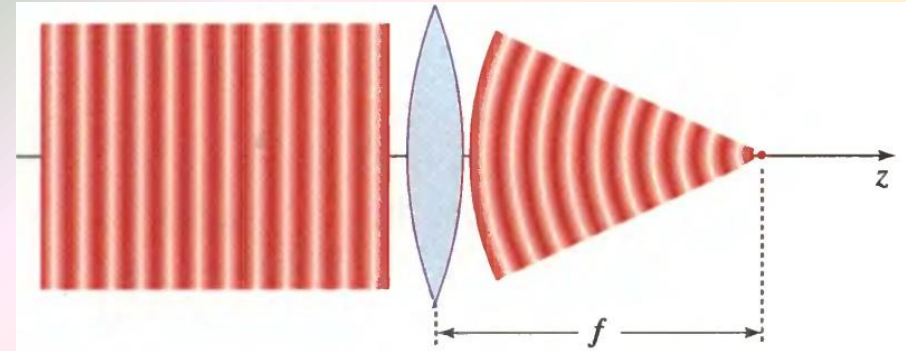
$$f = \frac{R}{n - 1}$$

$$\frac{1}{f} = (n - 1) \left(\frac{1}{R_1} - \frac{1}{R_2} \right)$$



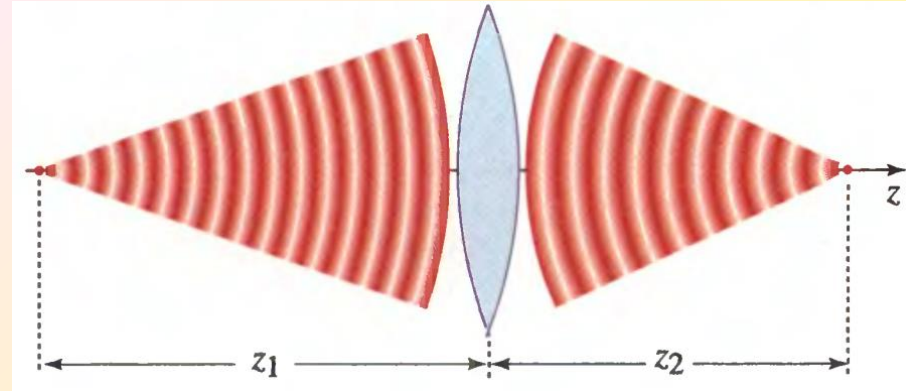
Lentes delgadas

$$t(x, y) \approx h_0 \exp \left[jk_0 \frac{x^2 + y^2}{2f} \right]$$



Onda esférica / paraboloïdal

$$U(\mathbf{r}) \approx \frac{A}{z} \exp(-jkz) \exp \left[-jk \frac{x^2 + y^2}{2z} \right]$$



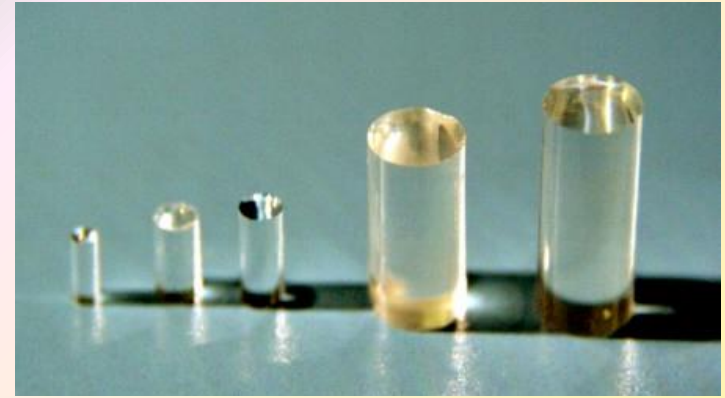
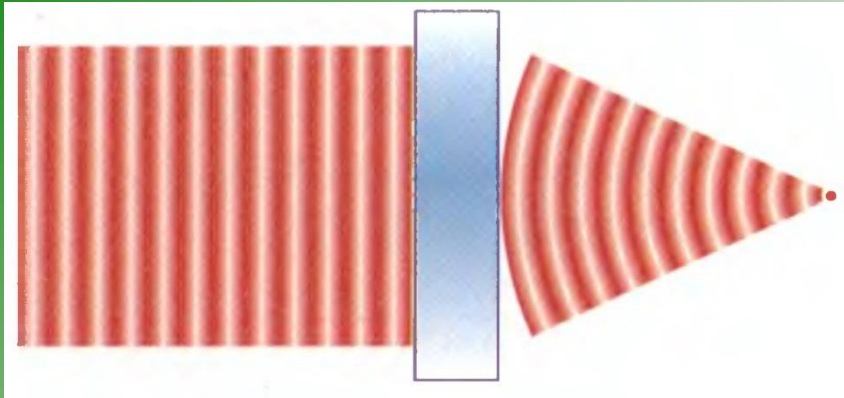
Uma lente positiva de distância focal **f** transforma ondas planas em ondas paraboloïdais convergentes para o foco.

Conjuga planos (formação de imagens),

→ transforma uma onda paraboloïdal centrada em P_1 (objecto) noutra centrada em P_2 , (imagem),

→ satisfaz a **Equação dos Planos Conjugados**: $1/z_1 + 1/z_2 = 1/f$

Componentes GRIN – Gradient Index



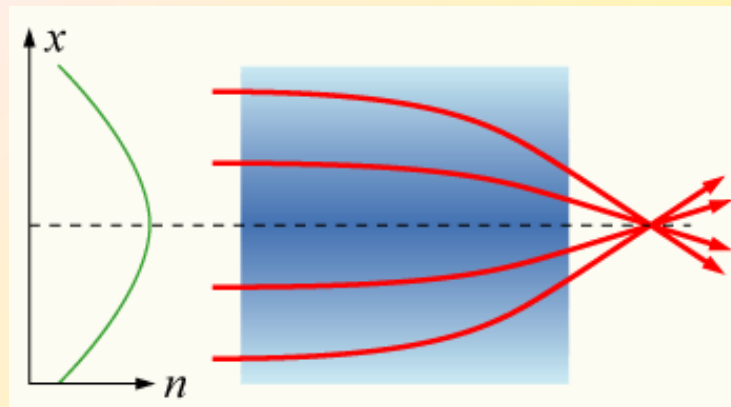
$$t(x,y) = h_0 \exp [-i n(x,y) k_0 d_0]$$

$n(x,y)$ é o perfil de variação do índice de refração do material

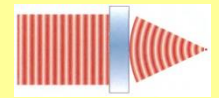
Por exemplo, se $n(x, y) = n_0 [1 - \frac{1}{2} \alpha^2 (x^2 + y^2)]$

com $\alpha d_0 \ll 1$, a lâmina comporta-se como uma lente de distância focal

$$f = \alpha d_0^2 / n_0$$



Ópticas GRIN



Lente Olho-de-peixe de Maxwell

$$n = n_0 / [1 + (r/R)^2]$$

A imagem de um ponto sobre a esfera forma-se na posição diametralmente oposta

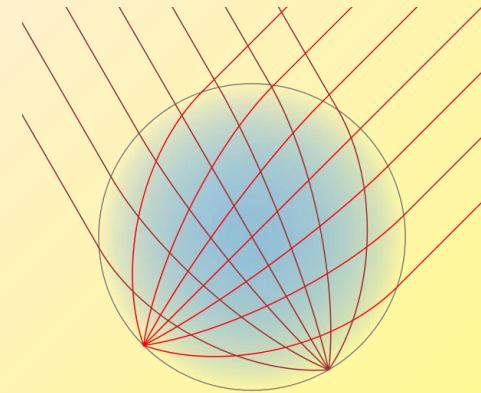


Lente de Luneburg

$$n = [2 - (r/R)^2]^{1/2}$$

Conjuga duas esferas concêntricas uma na outra

Um feixe colimado é focado na superfície oposta

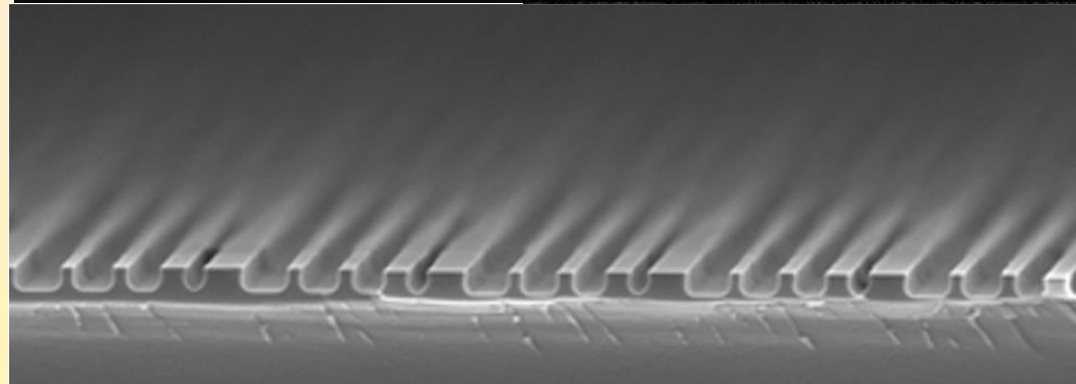
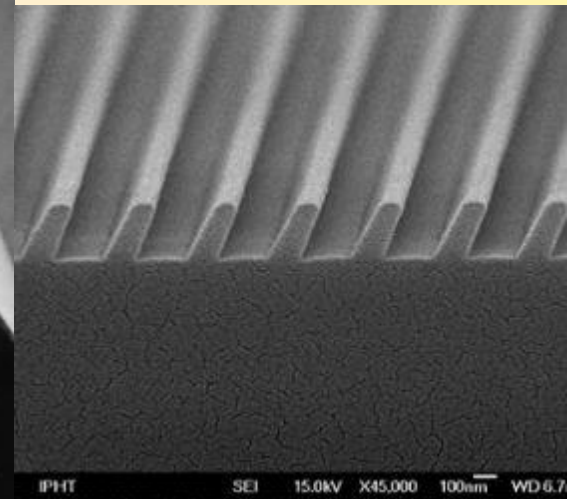
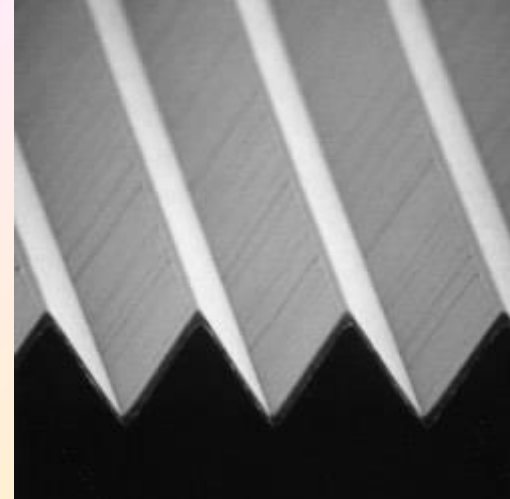
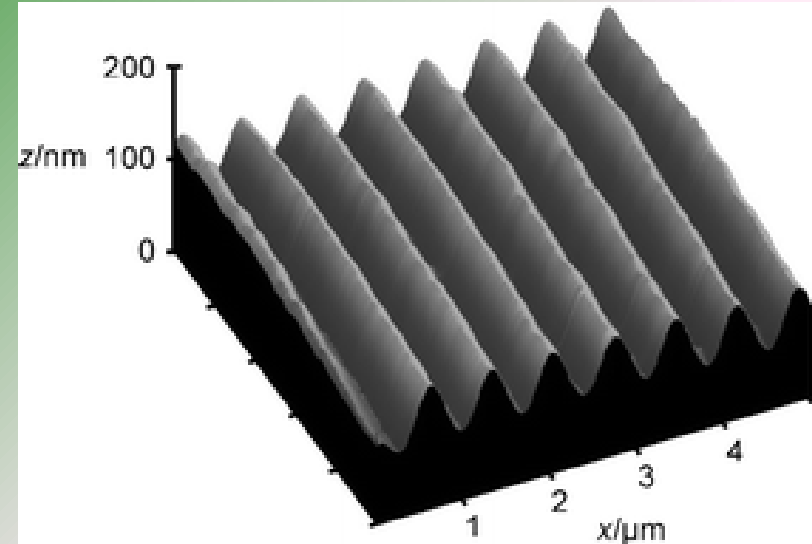
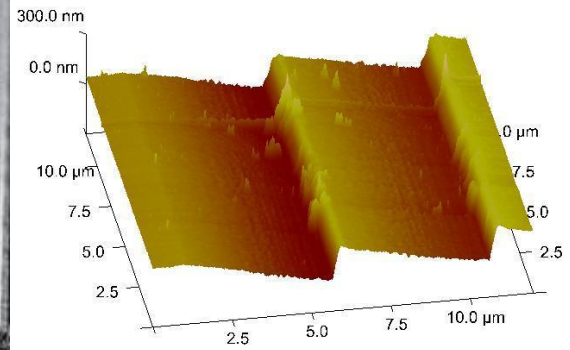
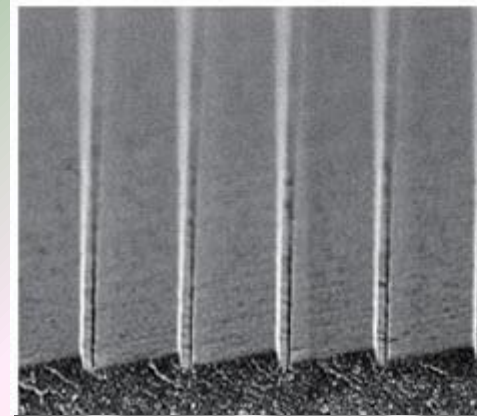
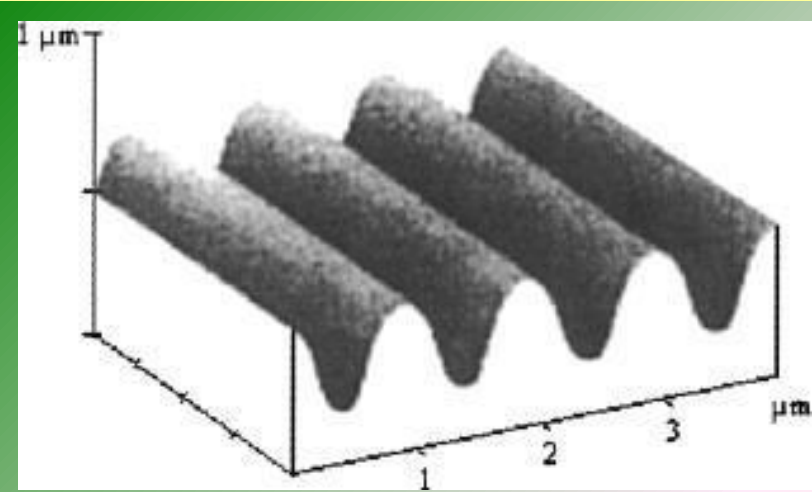


Cristalino ocular

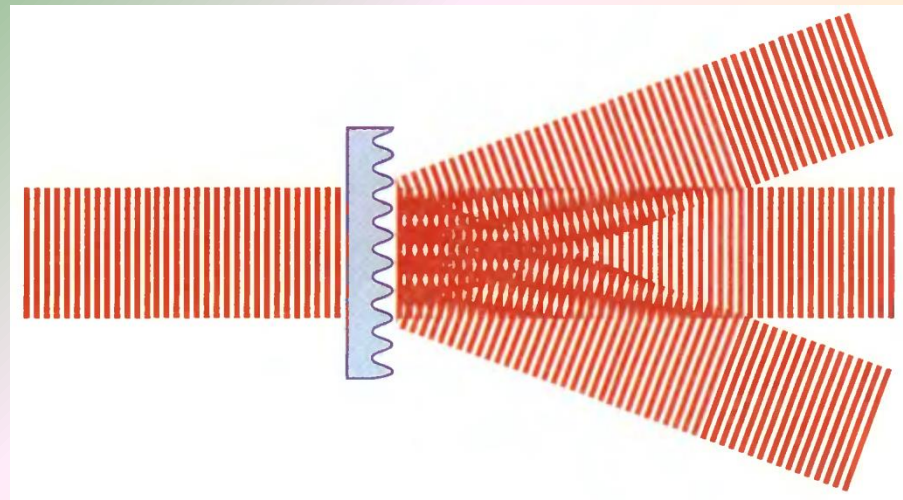
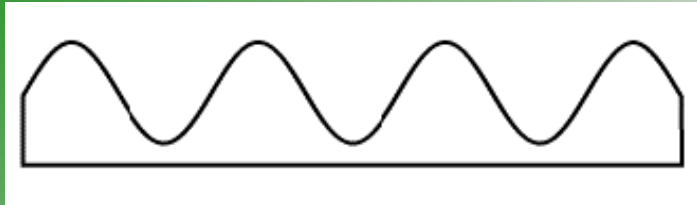
$n : 1.406$ (camadas centrais) $\rightarrow 1.386$

+ Miragens. Lentes gravitacionais. Microondas na atmosfera. ...

Redes de difracção de fase



Redes de difracção de fase



$$t(x,y) = h_0 \exp[-i(n-1)k_0 d(x,y)]$$

Se

$$d(x,y) = \frac{1}{2}d_0[1 + \cos(2\pi x/\Lambda)]$$

$$t(x,y) = h_0 \exp\left[-j\frac{1}{2}(n-1)k_0 d_0 \cos(2\pi x/\Lambda)\right]$$

$$\exp\left[j\frac{m}{2}\sin(2\pi f_0\xi)\right] = \sum_{q=-\infty}^{\infty} J_q\left(\frac{m}{2}\right) \exp(j2\pi q f_0\xi)$$

Redes de difracção

$$t(x,y) = h_0(x,y) \exp[-i(n-1)k_0d(x,y)]$$

$d(x,y)$ e $h_0(x,y)$: funções reais, periódicas, de período Λ .

As redes de difracção podem ser:

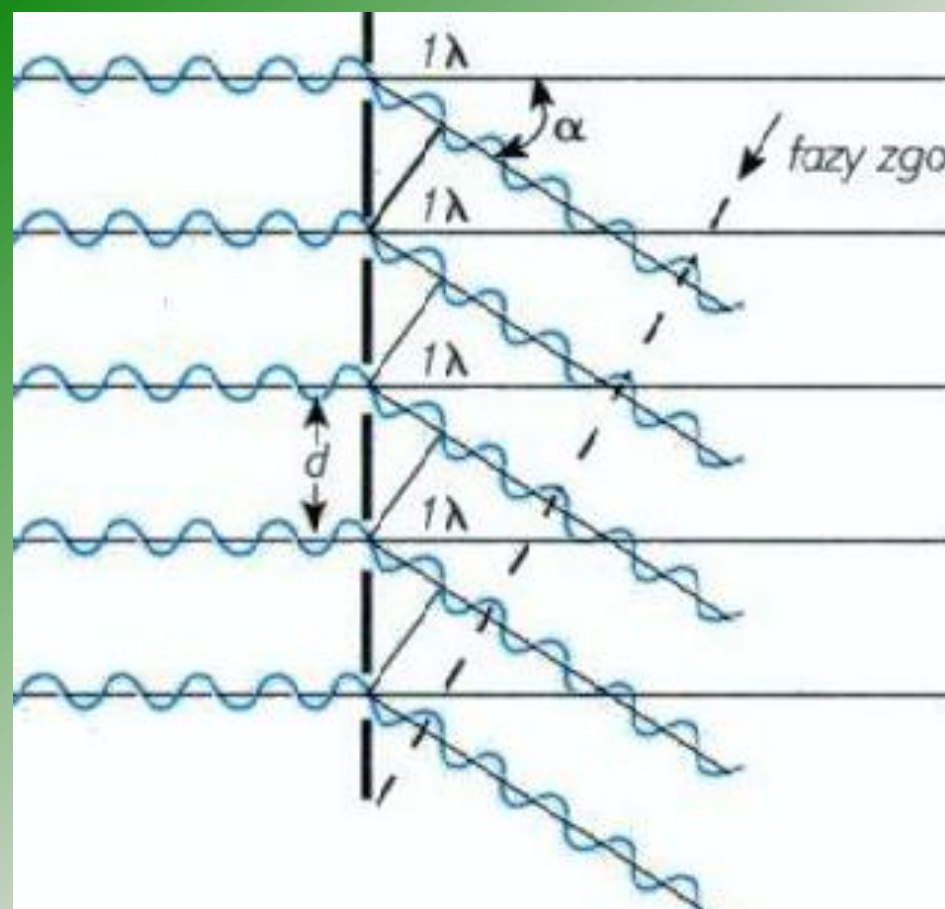
de amplitude: $d(x,y) = \text{constante}$

de fase: $h_0(x,y) = \text{constante}$

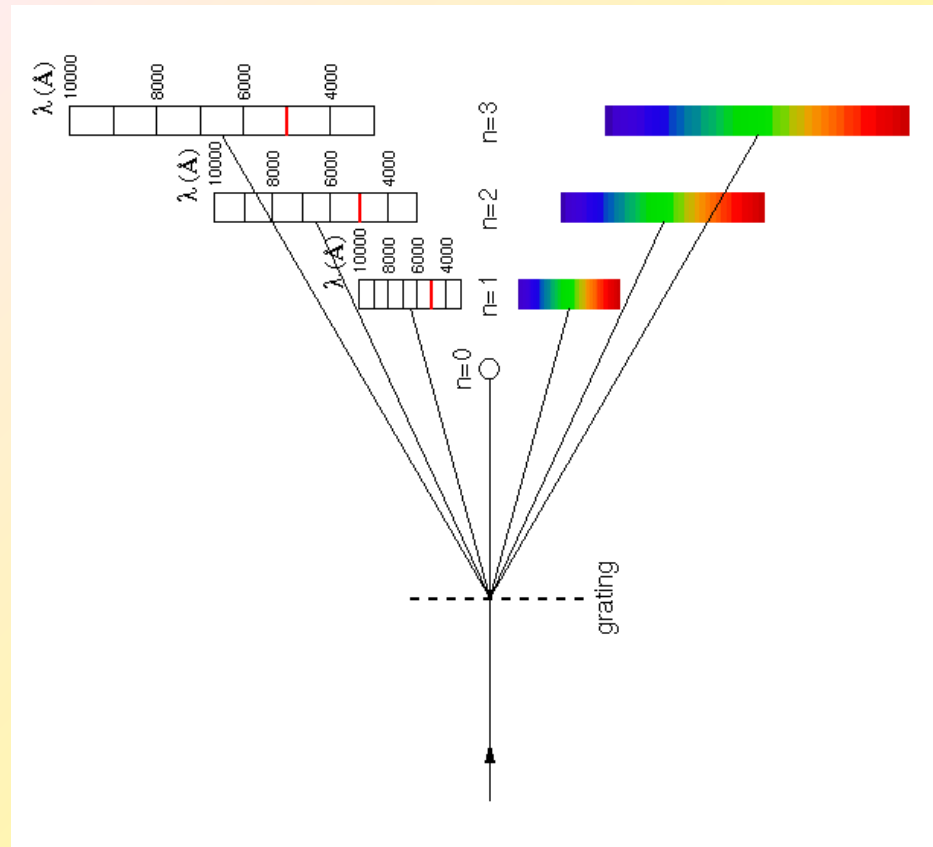
No caso de redes de amplitude, uma onda **plana** incidente segundo θ_i , é difractada em várias ordens que se propagam segundo ângulos θ_q , e:

$$\sin \theta_q = \sin \theta_i + q \frac{\lambda}{\Lambda}$$

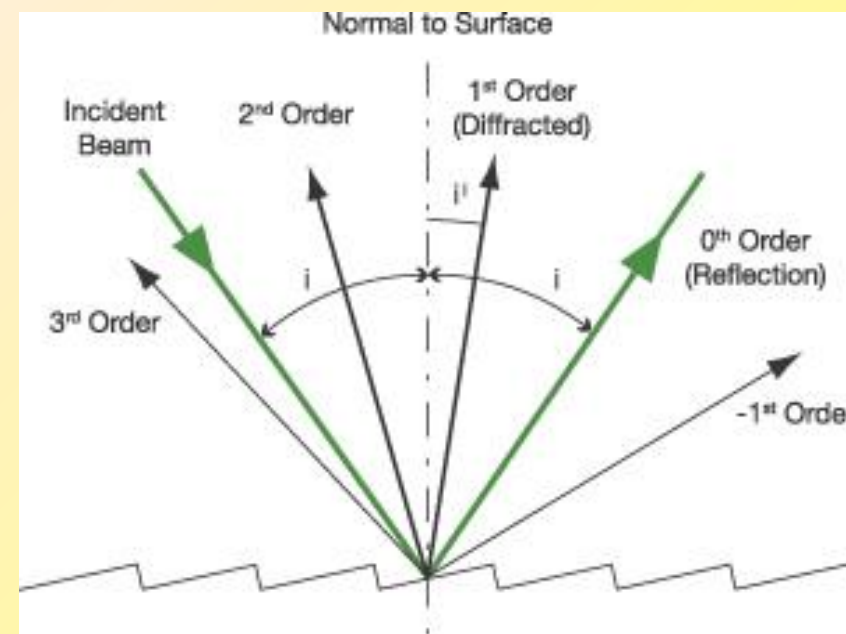
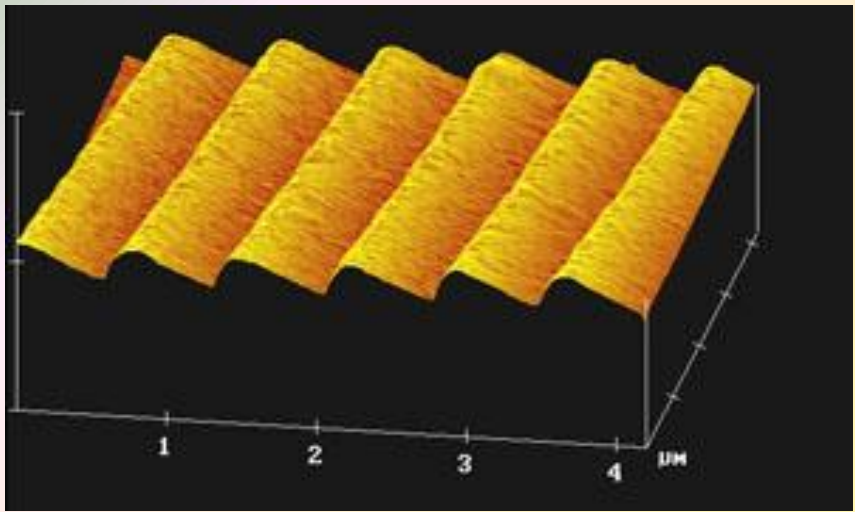
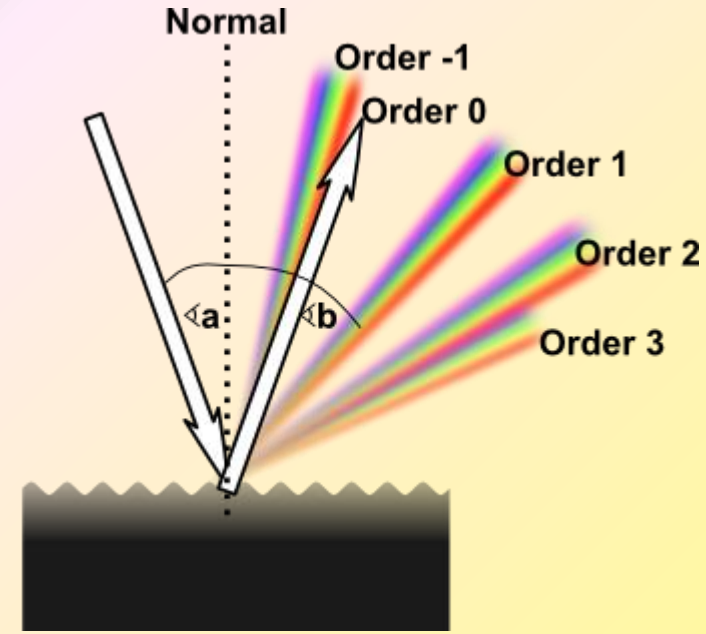
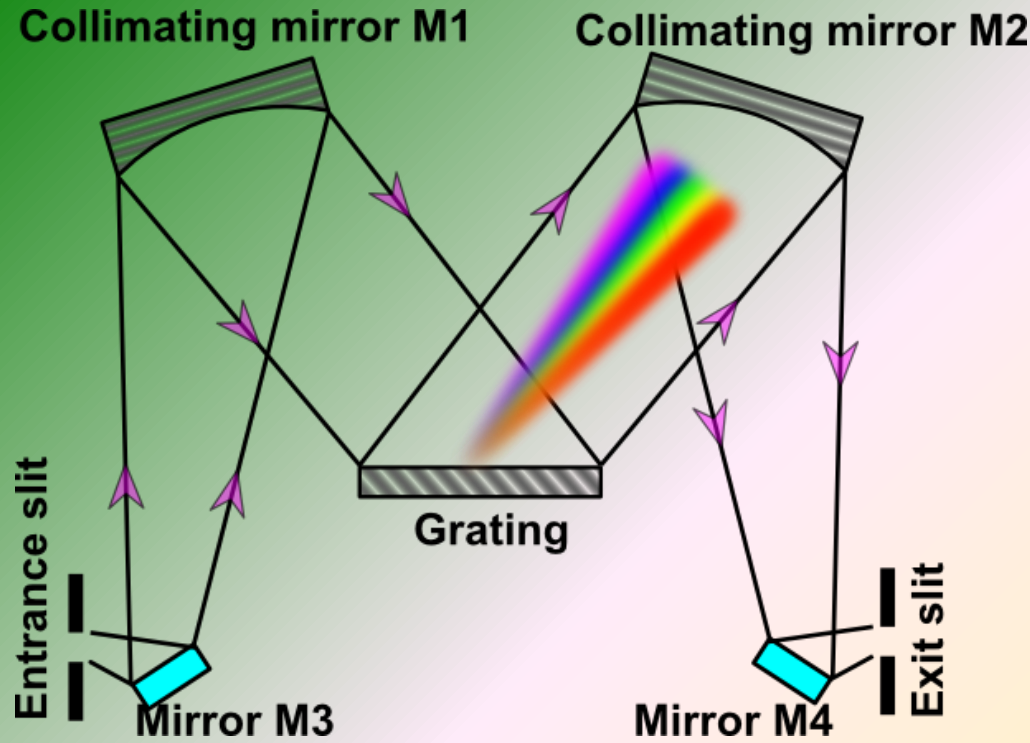
Redes de difracção



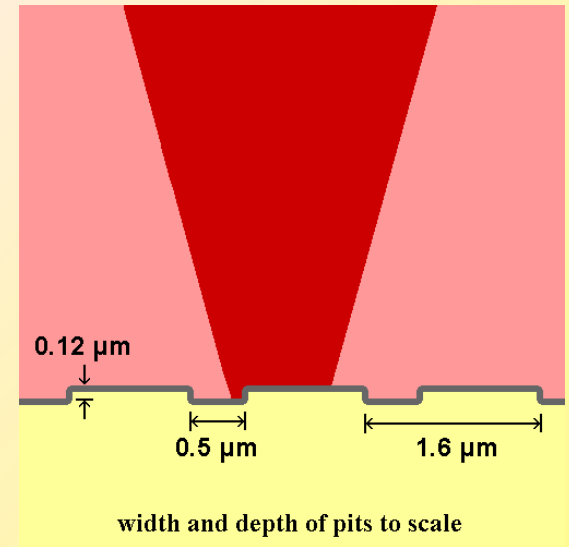
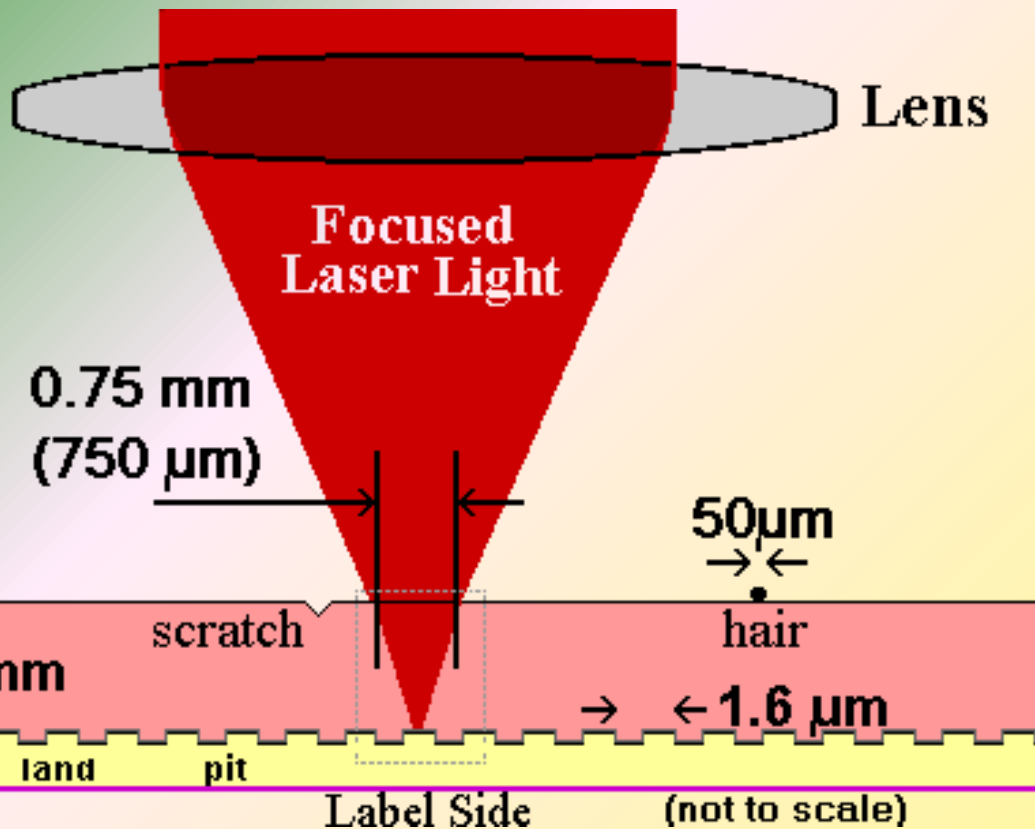
$$\sin \theta_q = \sin \theta_i + q \frac{\lambda}{\Lambda}$$



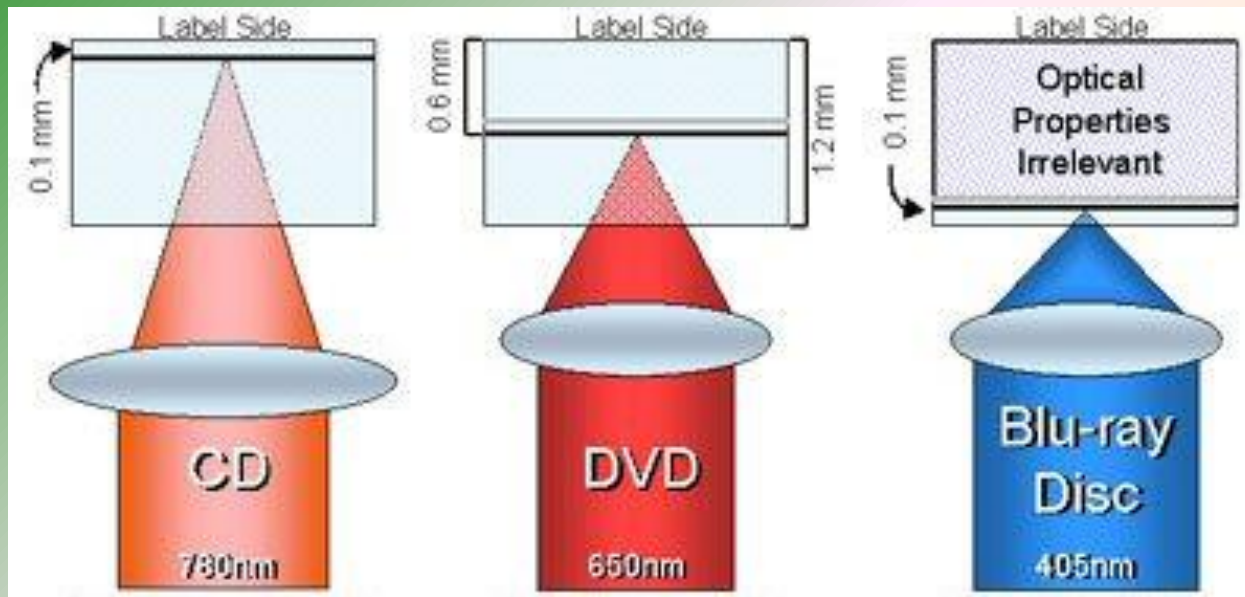
Redes de difracção de fase - espectrómetros



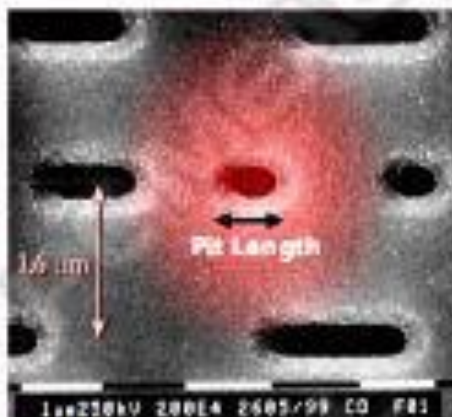
Feixes e redes de difracção: CD & DVD



Feixes e redes de difracção: CD & DVD

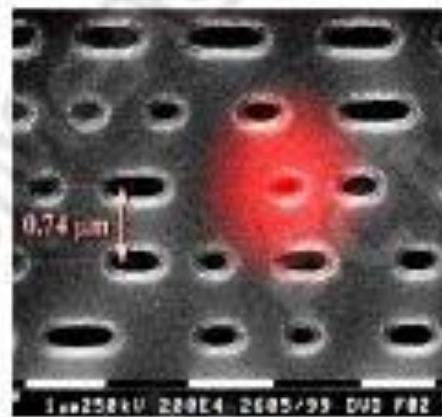


CD 0.7 GB



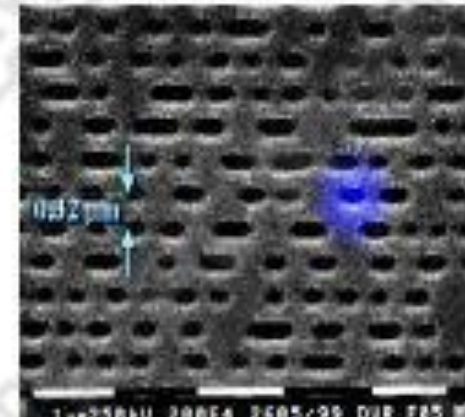
Track Pitch: 1,6 μm
Minimum Pit Length: 0,8 μm
Storage Density: 0,41Gb/in²

DVD 4.7GB



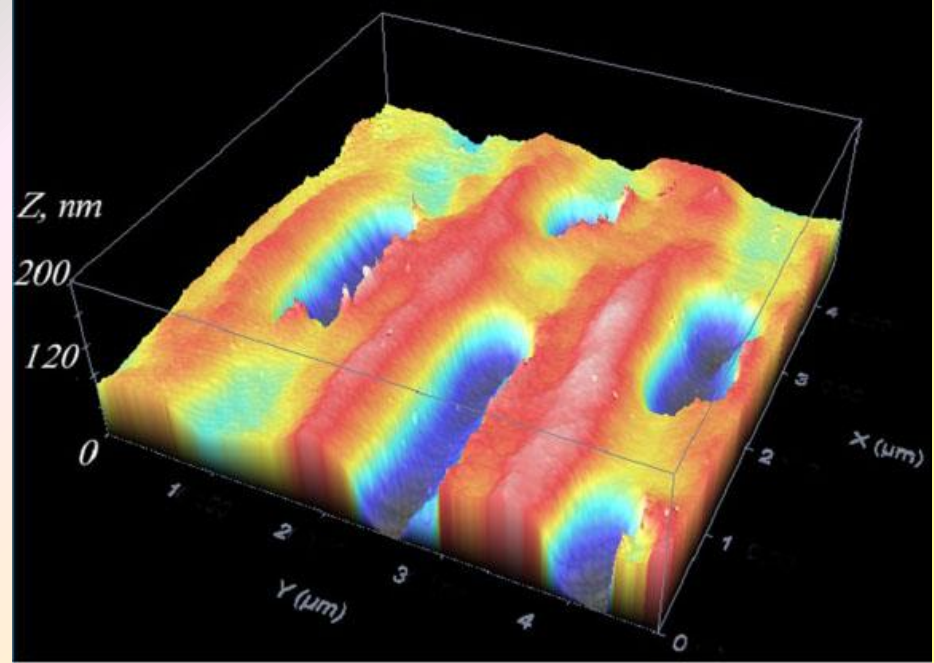
Track Pitch: 0,74μm
Minimum Pit Length: 0,4μm
Storage Density: 2,77Gb/in²

Blu-ray Disc 25GB

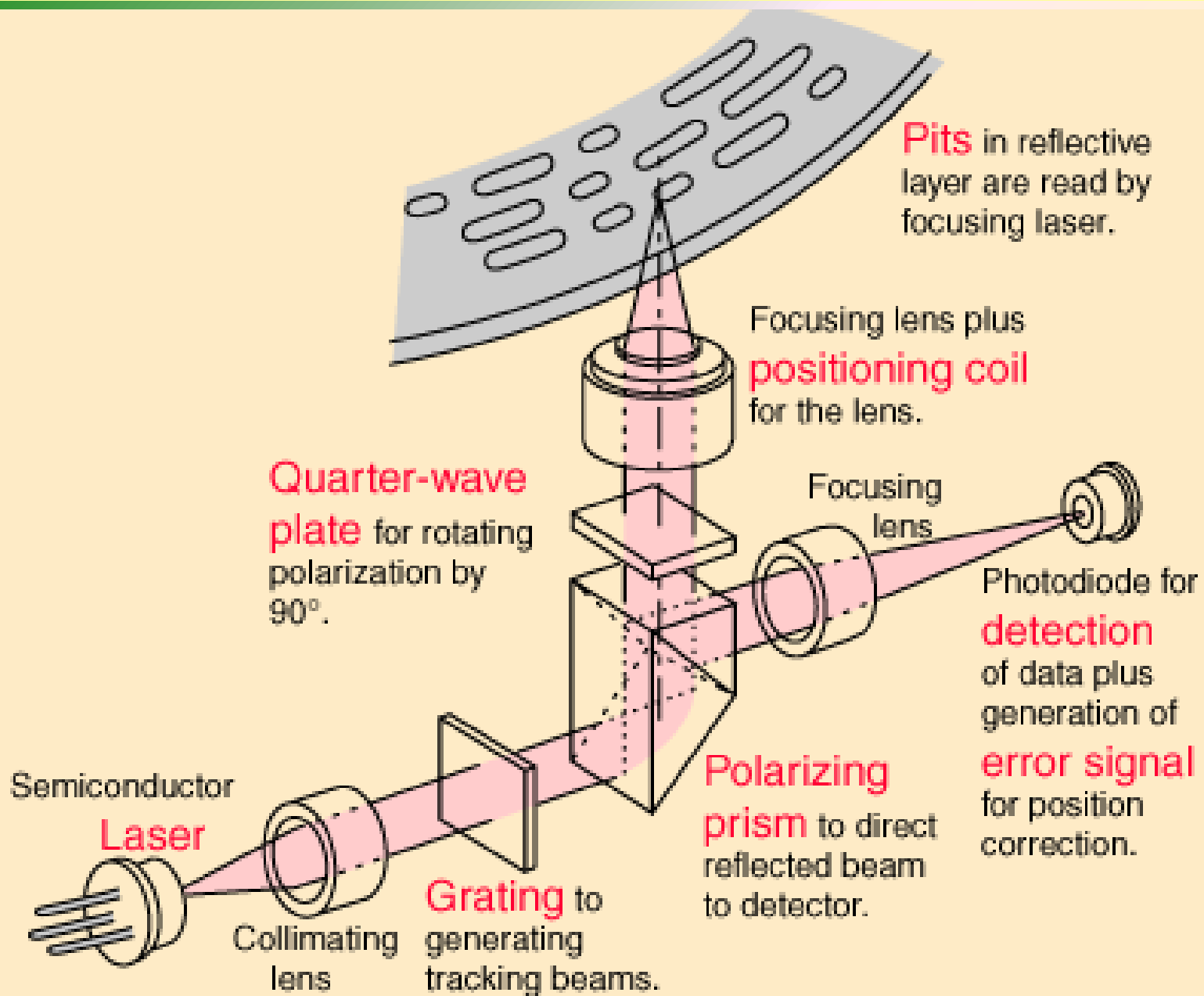


Track Pitch: 0,32μm
Minimum Pit Length: 0,15μm
Storage Density: 14,73Gb/in²

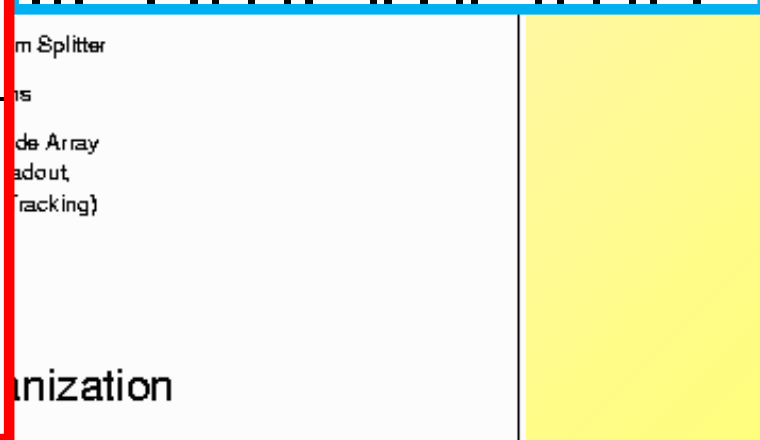
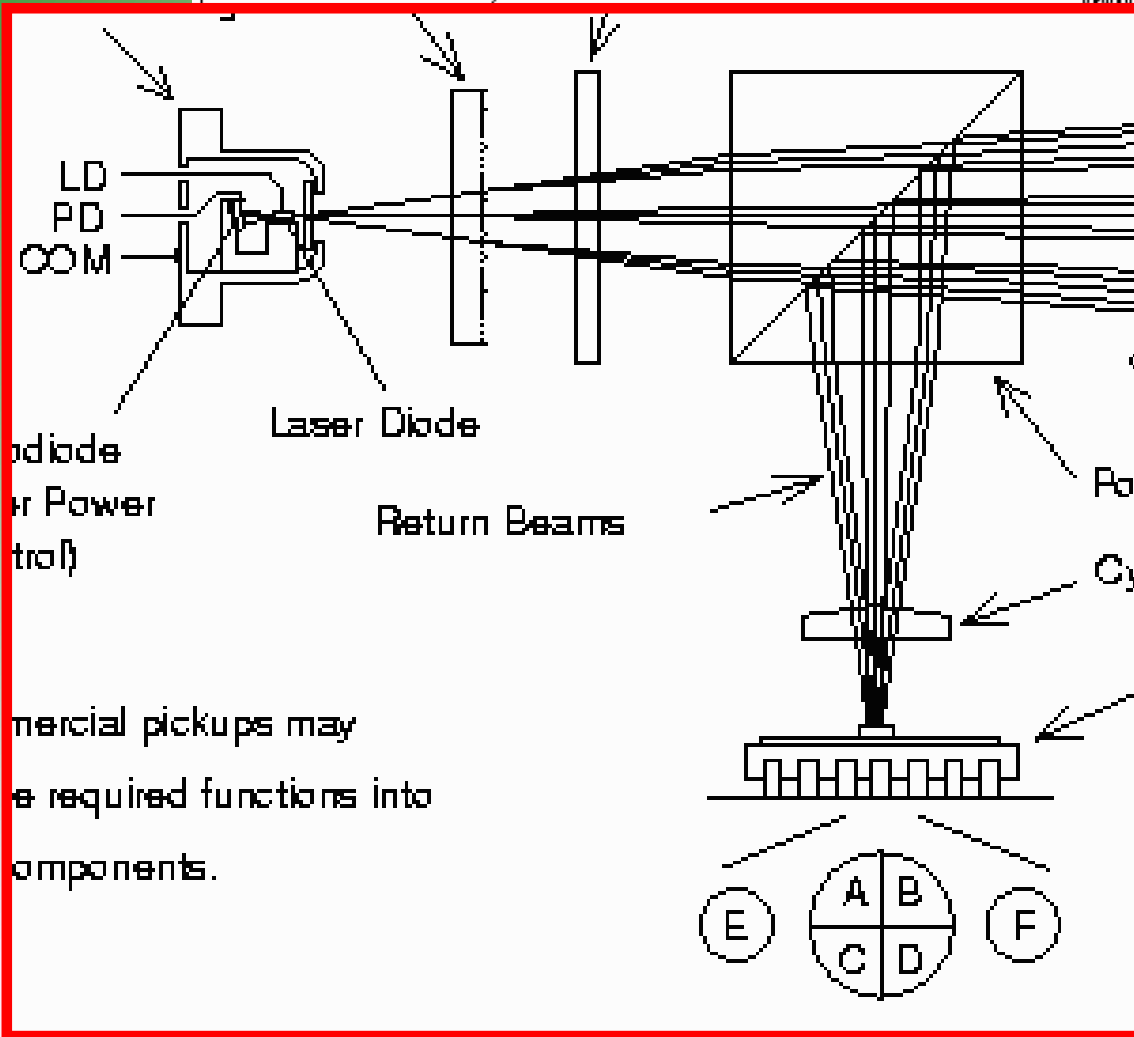
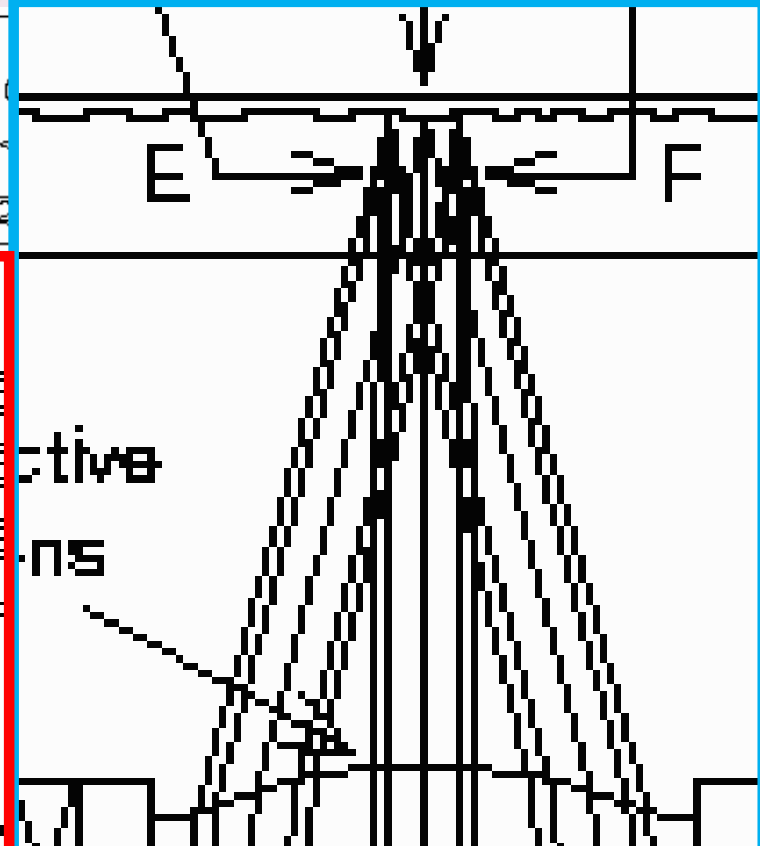
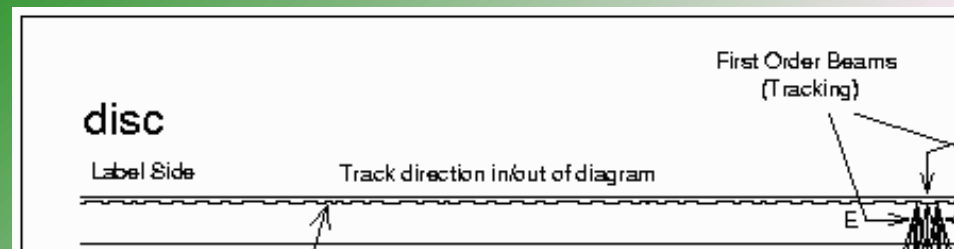
Feixes e redes de difracção: CD & DVD



Redes de difracção: CD & DVD



Redes de difracção: CD & DVD



Acção de lentes sobre feixes gaussianos

Como é que uma lente transforma feixes gaussianos?

$$U(\mathbf{r}) = A_0 \frac{W_0}{W(z)} \exp\left[-\frac{\rho^2}{W^2(z)}\right] \exp\left[-jkz - jk \frac{\rho^2}{2R(z)} + j\zeta(z)\right]$$

$$W(z) = W_0 \left[1 + \left(\frac{z}{z_0}\right)^2\right]^{1/2}$$
$$R(z) = z \left[1 + \left(\frac{z_0}{z}\right)^2\right]$$

$$\zeta(z) = \tan^{-1} \frac{z}{z_0}$$
$$W_0 = \left(\frac{\lambda z_0}{\pi}\right)^{1/2}$$

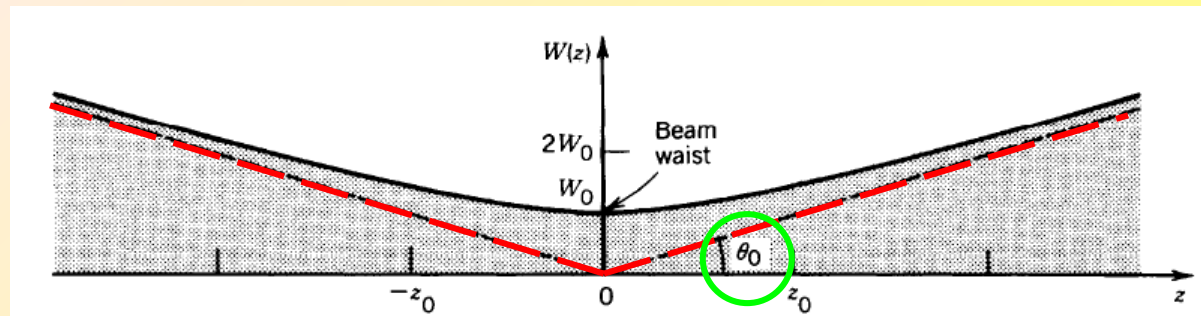
$$A_0 = A_1 / jz_0$$

$$\theta_0 = \frac{\lambda}{\pi W_0} = W_0 / z_0$$

$$2z_0 = \frac{2\pi W_0^2}{\lambda}$$

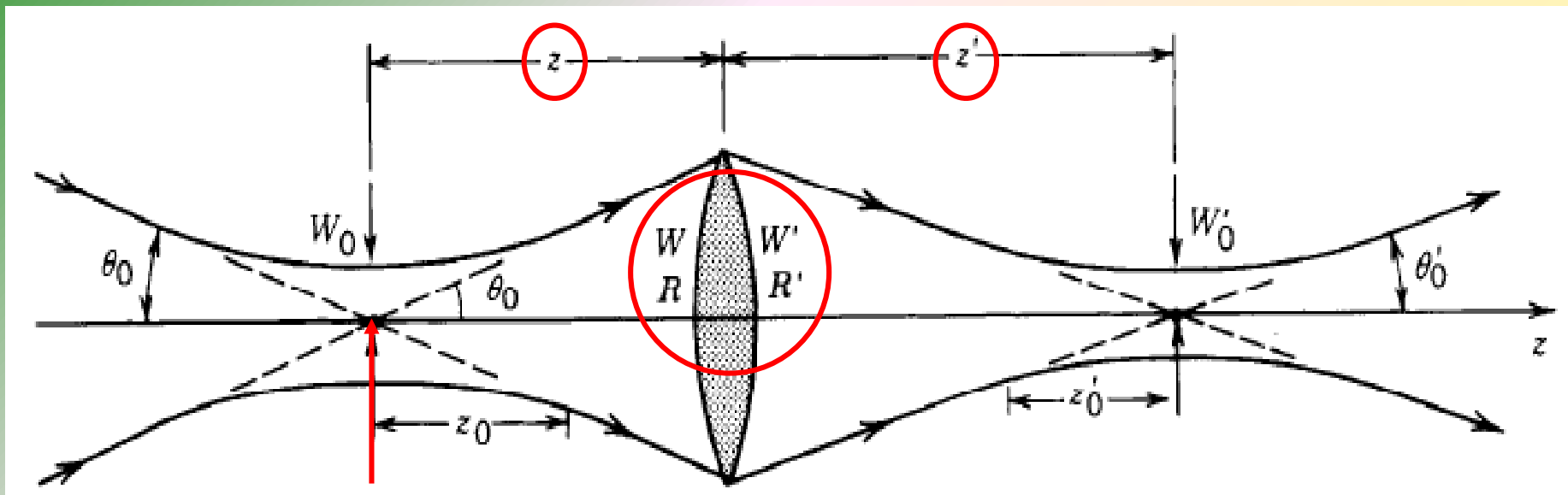
Parâmetros independentes: A_0 , z_0 , λ .

$$W(z) \approx \frac{W_0}{z_0} z = \theta_0 z$$



Acção de lentes sobre feixes

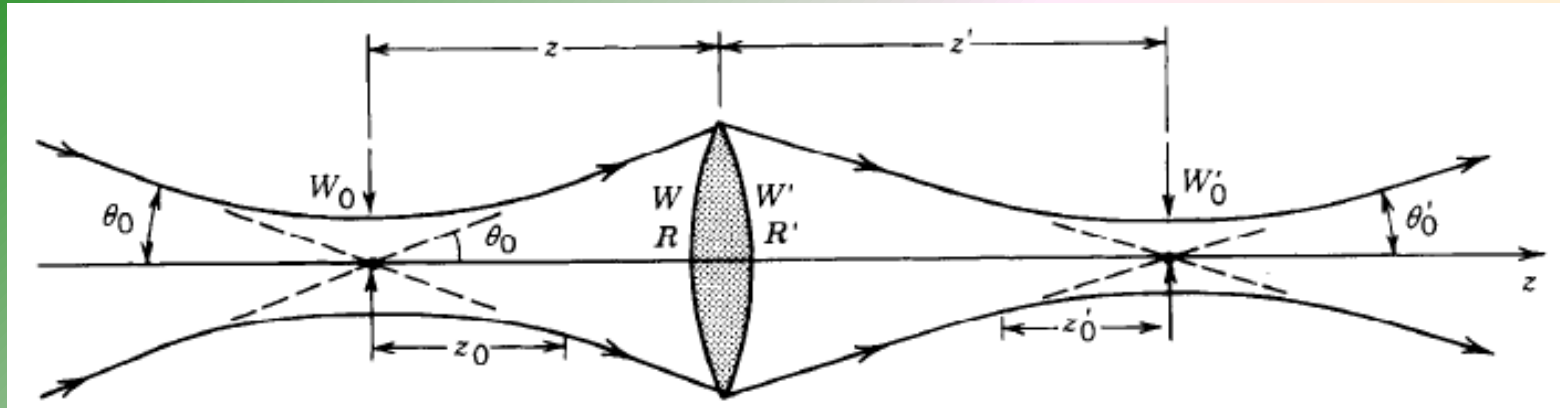
Um feixe Gaussiano permanece Gaussiano quando é transmitido por uma lente delgada? Quais os seus novos parâmetros?



A FTA de uma lente delgada é $\mathbf{t}(\rho)=\exp[jk\rho^2/2f]$.

A amplitude complexa $\mathbf{U}(\mathbf{r})$ da onda incidente é multiplicada por $\mathbf{t}(\rho)$.

Acção de lentes sobre feixes



Relação entre as **fases antes** e **depois** da lente:

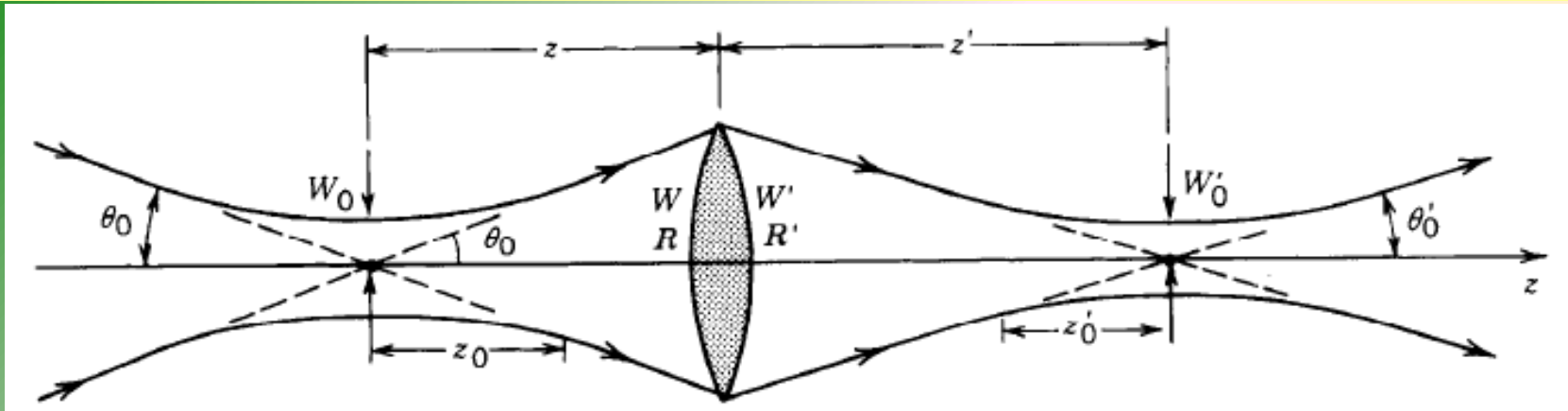
$$kz + k \frac{\rho^2}{2R} - \zeta + k \frac{\rho^2}{2f} = kz + k \frac{\rho^2}{2R'} - \zeta$$

$$\frac{1}{R'} = \frac{1}{R} + \frac{1}{f}$$

O feixe transmitido é gaussiano, com $\phi' = \phi$ mas com a função curvatura R' .

Os demais parâmetros do feixe transmitido podem ser determinados a partir de W e de R num dado ponto (Exercício Saleh, 3.1-3):

Acção de lentes sobre feixes



Parâmetros do feixe gaussiano transmitido:

Waist radius

$$W'_0 = M W_0$$

Waist location

$$(z' - f) = M^2(z - f)$$

Depth of focus

$$2z'_0 = M^2(2z_0)$$

Divergence

$$2\theta'_0 = \frac{2\theta_0}{M}$$

Magnification

$$M = \frac{M_r}{(1 + r^2)^{1/2}}$$

$$r = \frac{z_0}{z - f},$$

$$M_r = \left| \frac{f}{z - f} \right|.$$

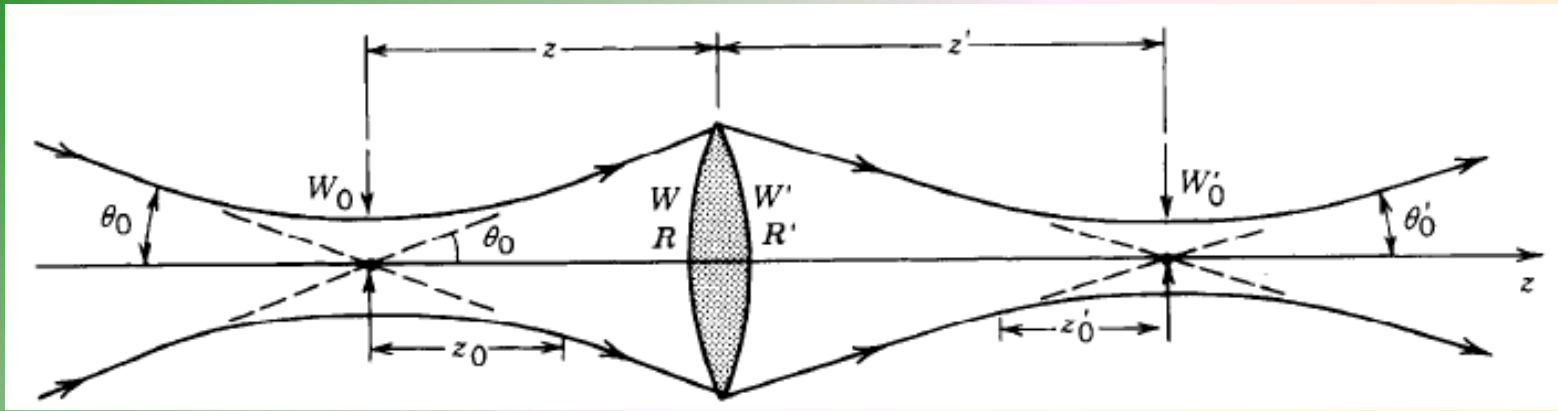
Note-se que:

$$W'_0 \theta'_0 = W_0 \theta_0$$

Este produto é invariante com a propagação.

Representa a **Étendue** do feixe laser.

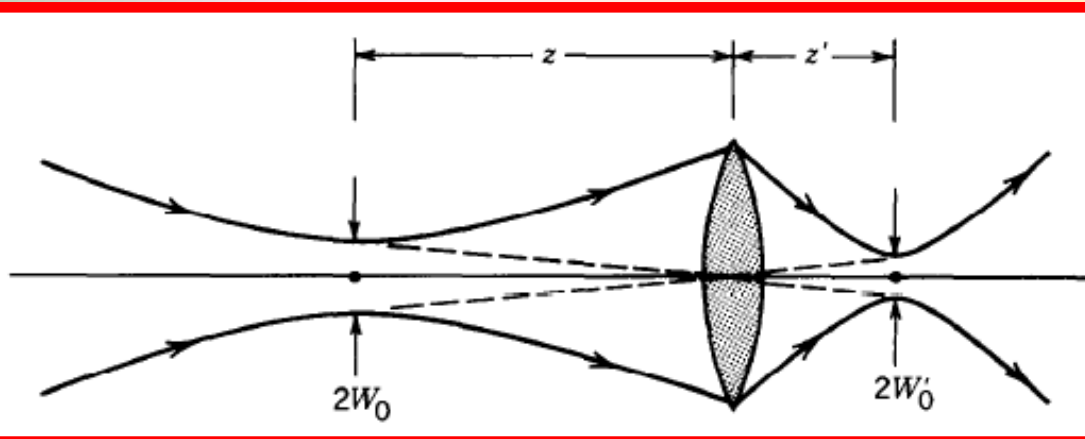
Acção de lentes sobre feixes



Aproximação geométrica: Se $(z-f) \gg z_0$

A lente está bem afastada da cintura (+/- z_0)

A onda pode ser considerada esférica



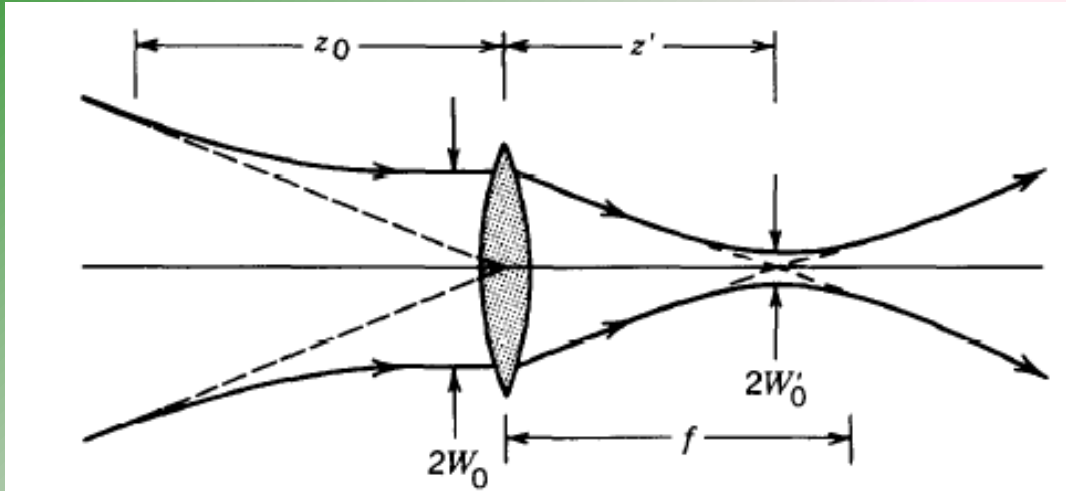
$$W'_0 \approx MW_0$$

$$\frac{1}{z'} + \frac{1}{z} \approx \frac{1}{f}$$

$$M \approx M_r = \left| \frac{f}{z-f} \right|$$

Formatação de feixes

Focagem – lente colocada na cintura ($z = 0$)

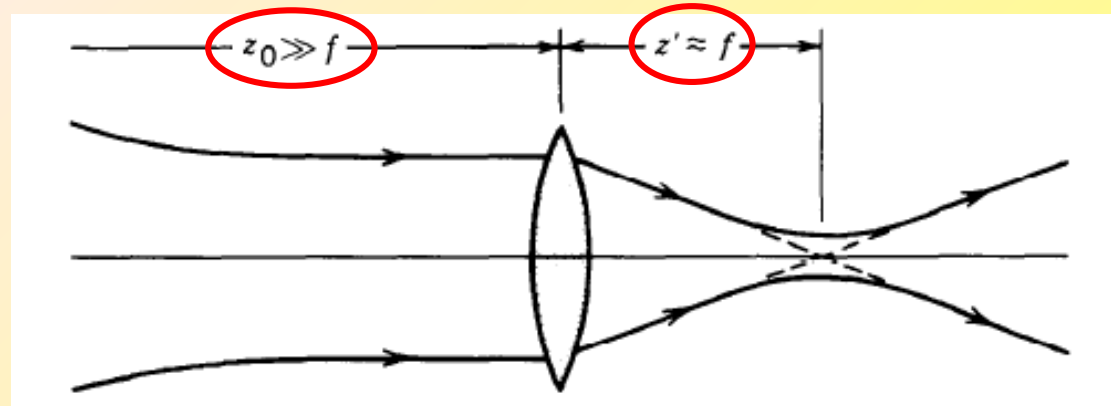


$$W'_0 = \frac{W_0}{\left[1 + (z_0/f)^2\right]^{1/2}}$$
$$z' = \frac{f}{1 + (f/z_0)^2}$$

Se $2z_0 \gg f$ (focagem de um feixe colimado)

$$W'_0 \approx \frac{\lambda}{\pi W_0} f = \theta_0 f$$

$$z' \approx f.$$



Formatação de feixes

Em aplicações tais como

Laser scanning,

Impressão laser

Leitura de CD

Fusão laser

W'_0 deve ser tão pequeno quanto possível:

λ e f tão pequenos quanto possível

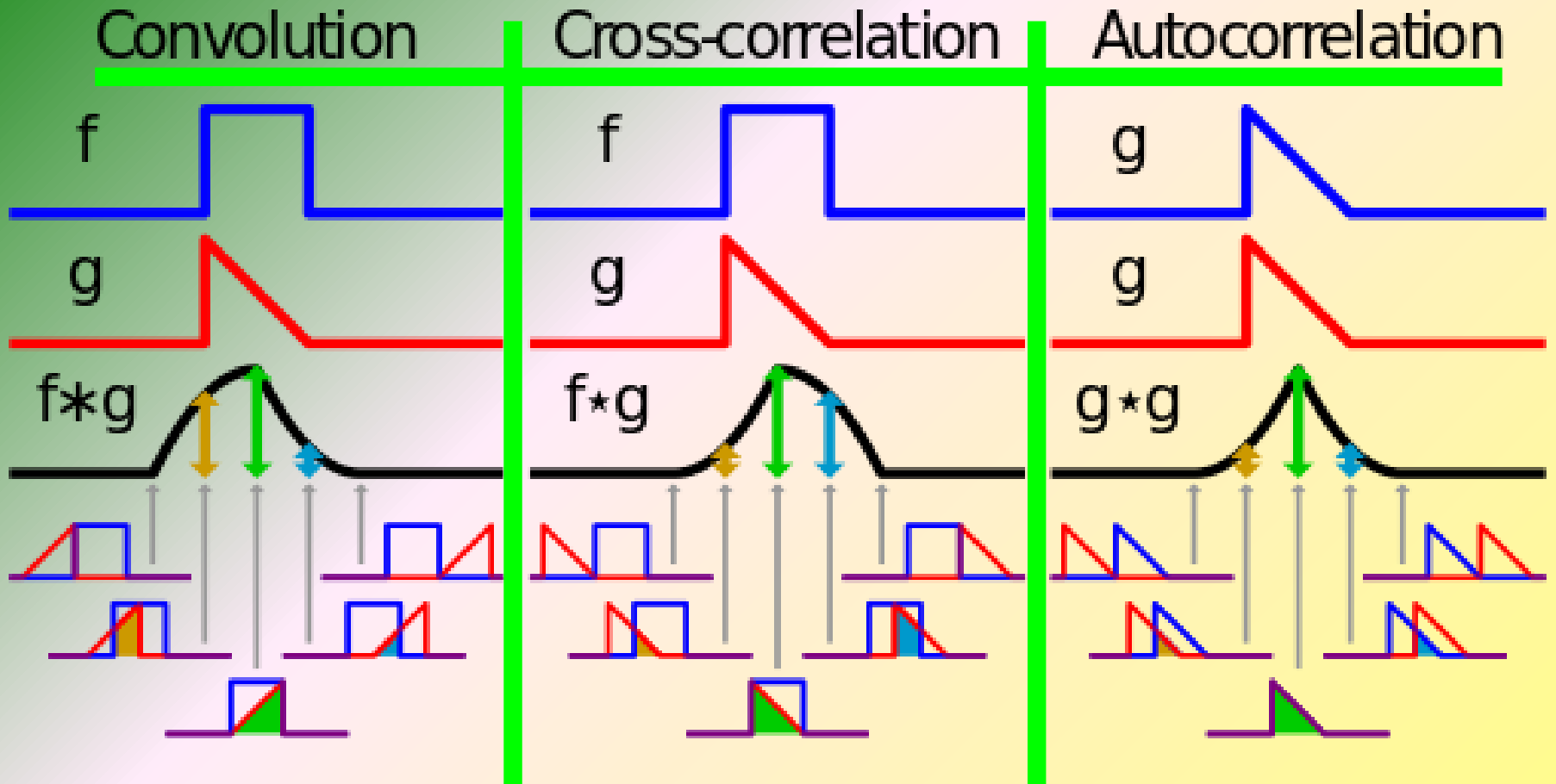
W_0 tão grande quanto possível

Diâmetro **mínimo** da lente de **focagem**: $D = 2 W_0$. Logo:

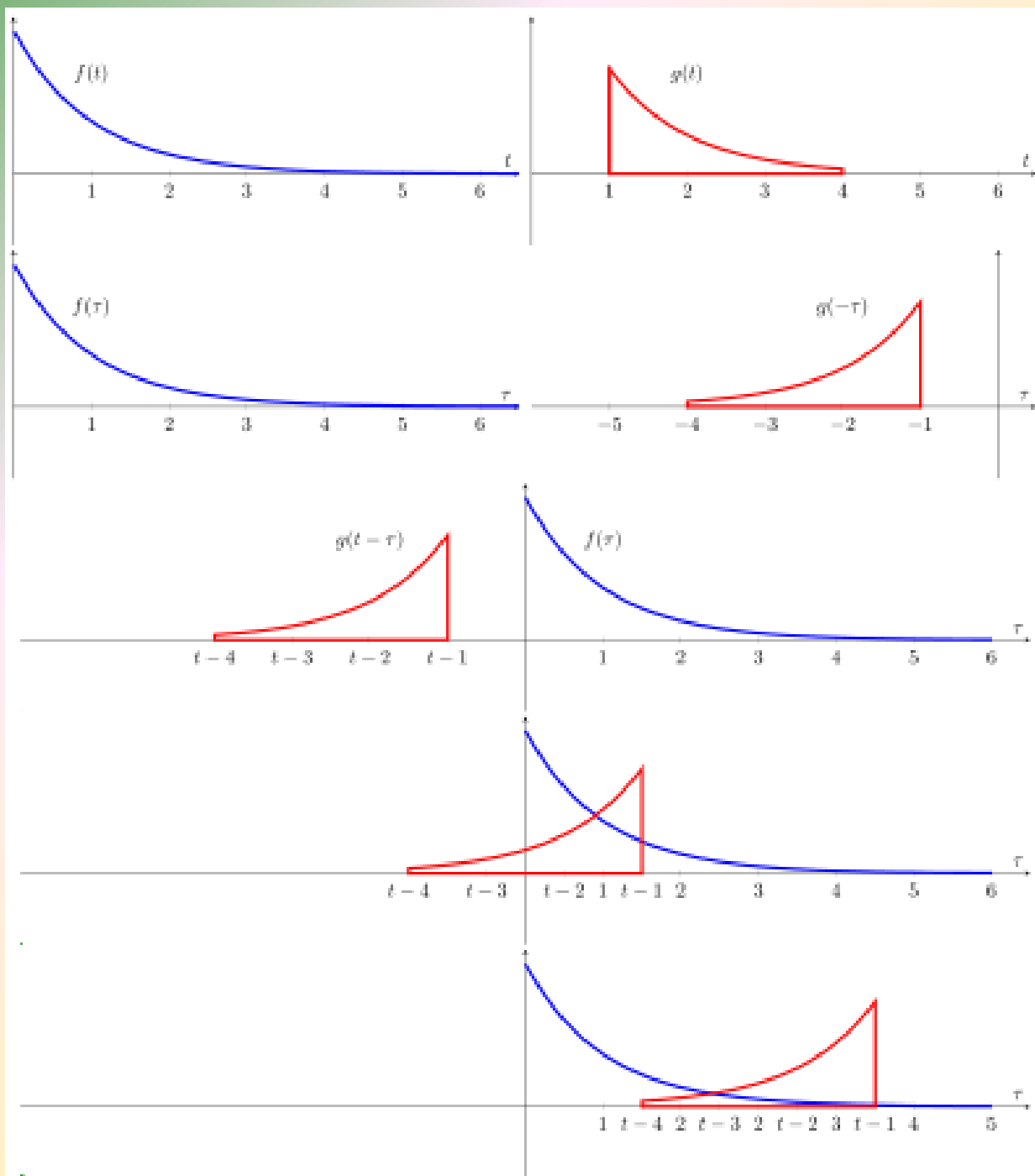
$$2W'_0 \approx \frac{4}{\pi} \lambda F_{\#}$$

$$F_{\#} = \frac{f}{D}$$

Convolução, correlação (1D)



Convolução



Convolução

